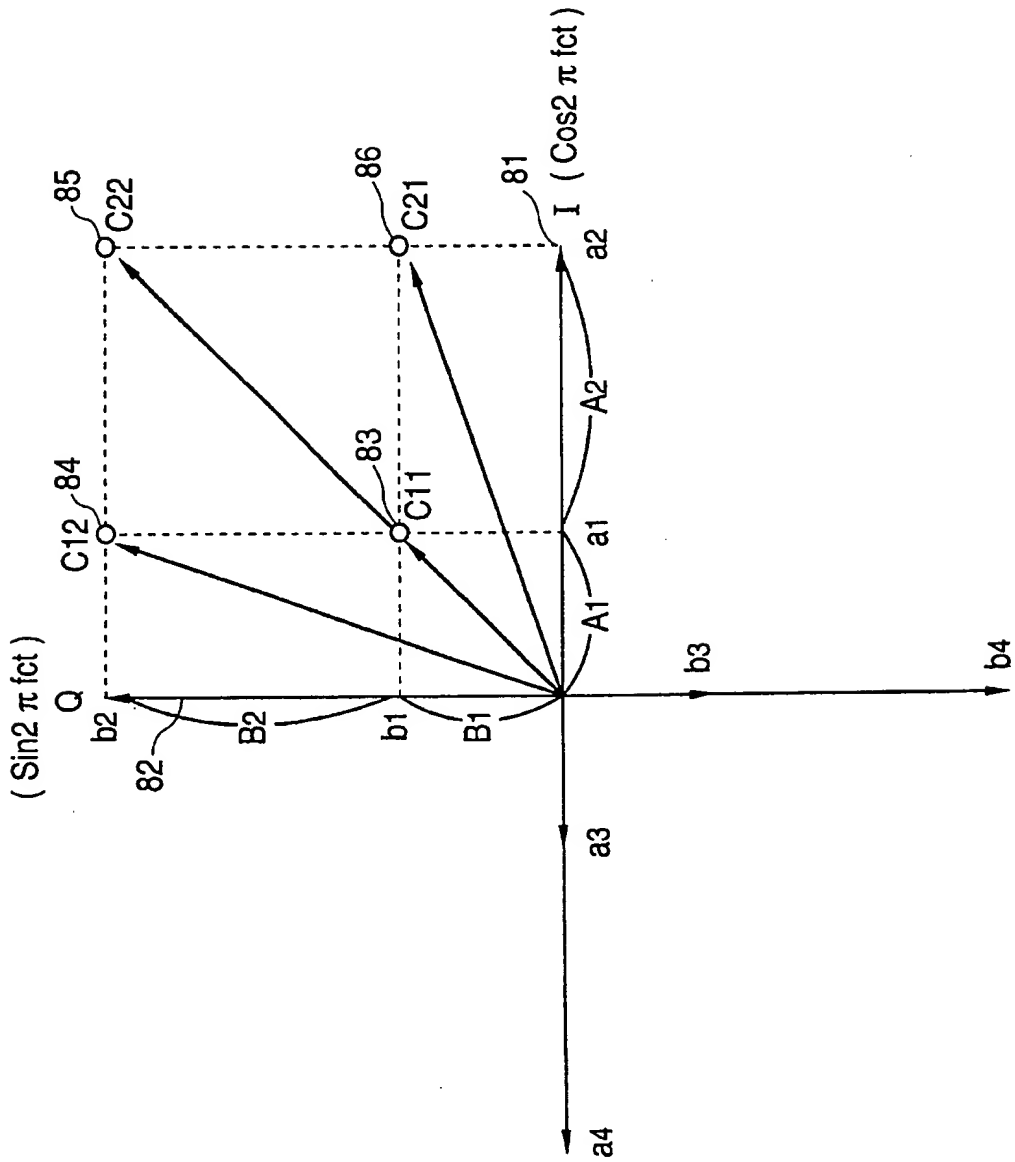


FIG. 3



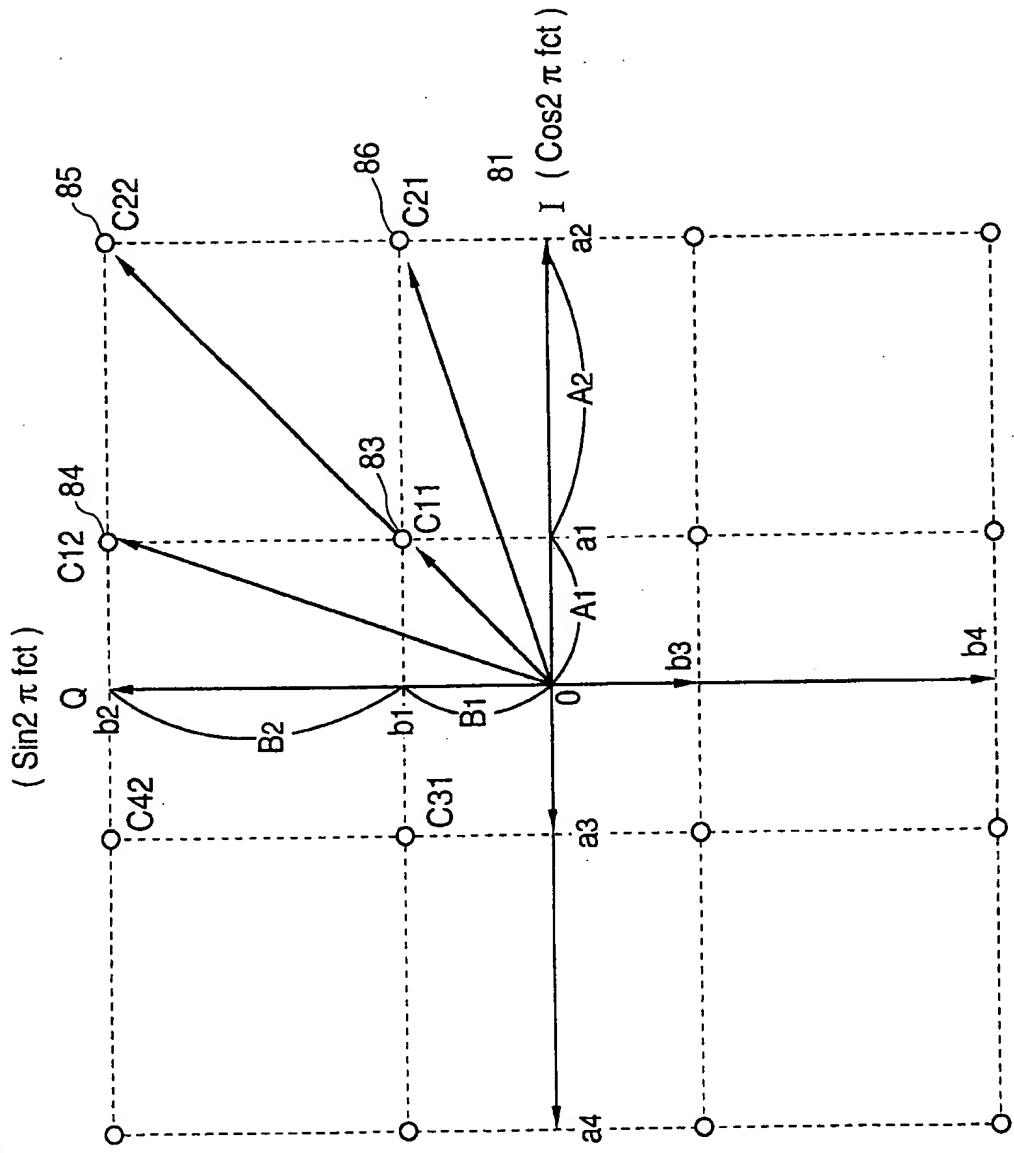
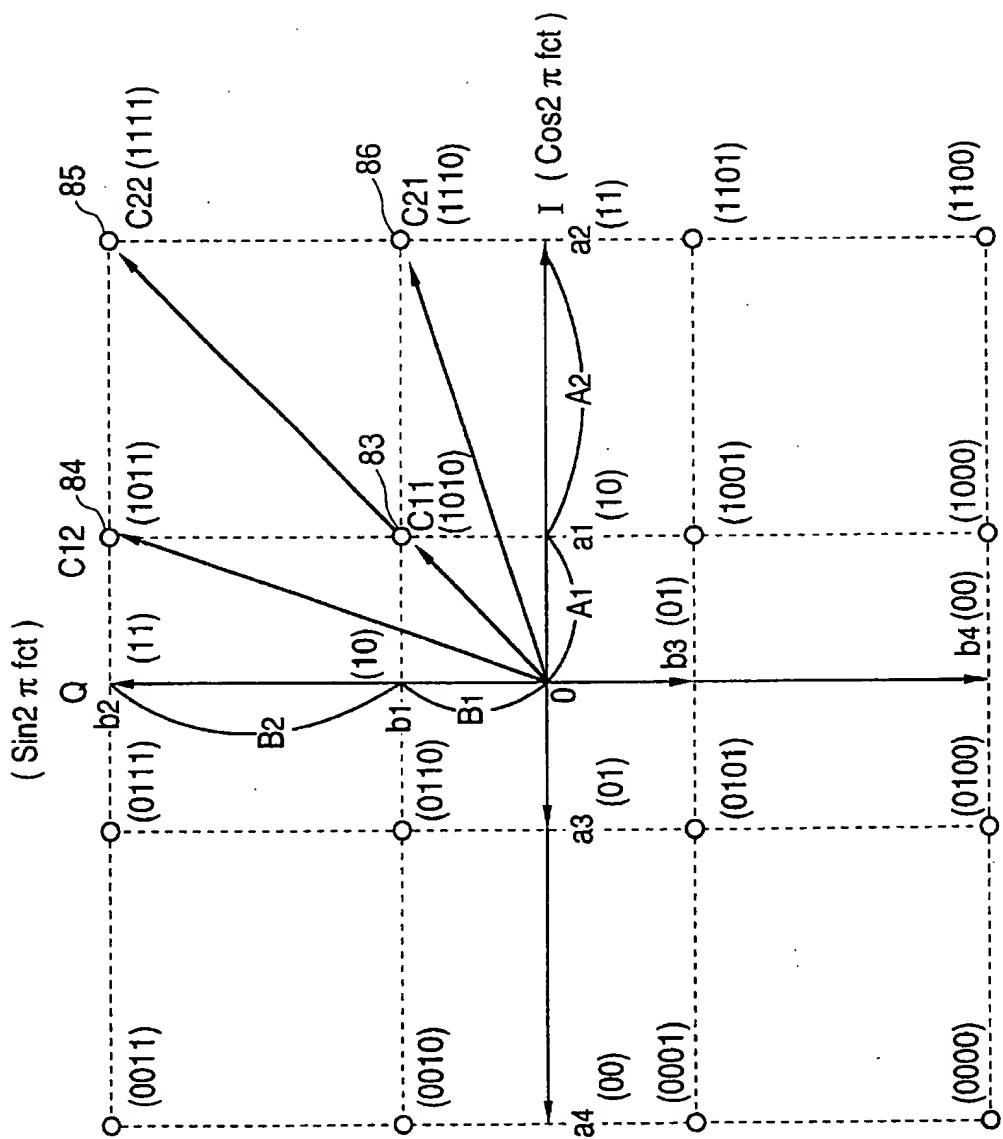
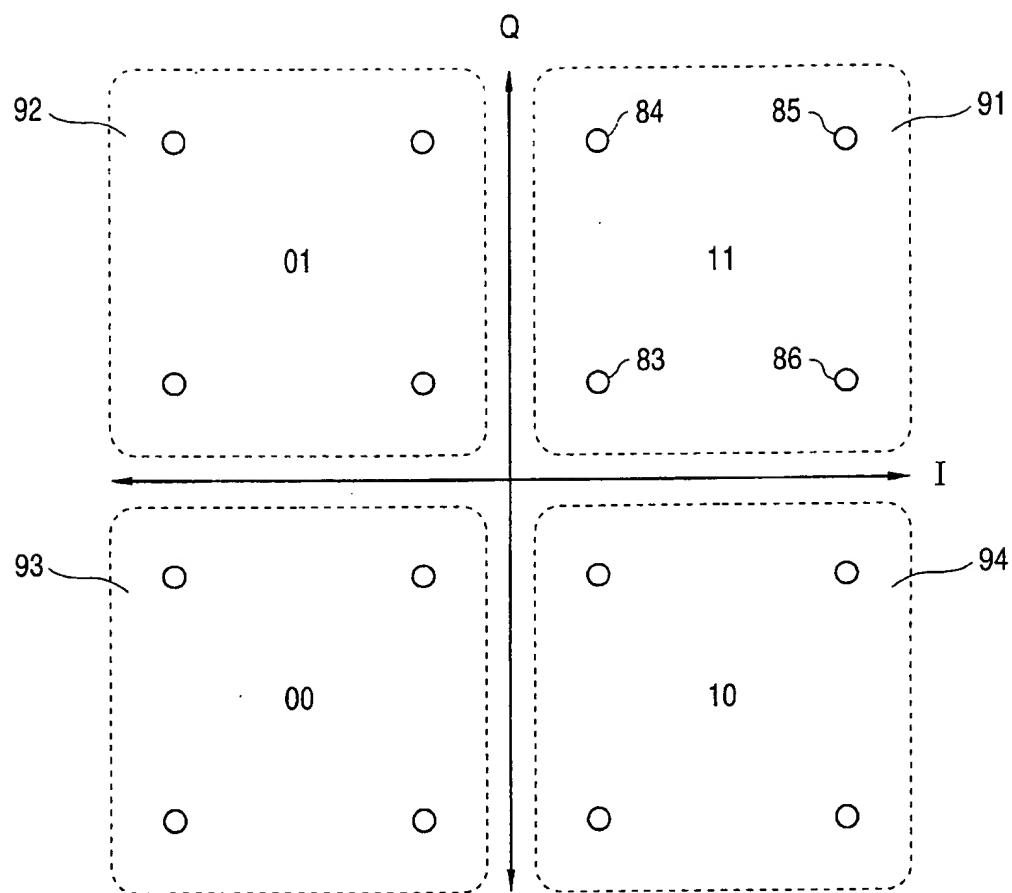
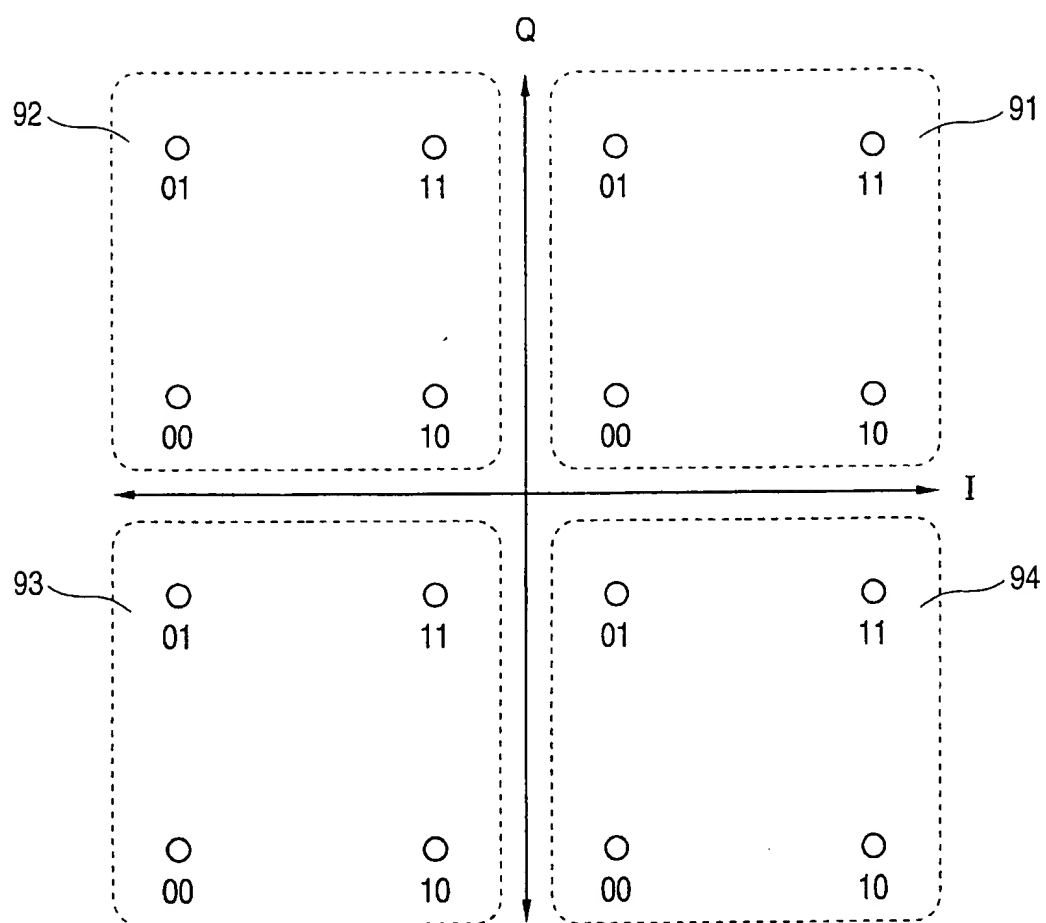
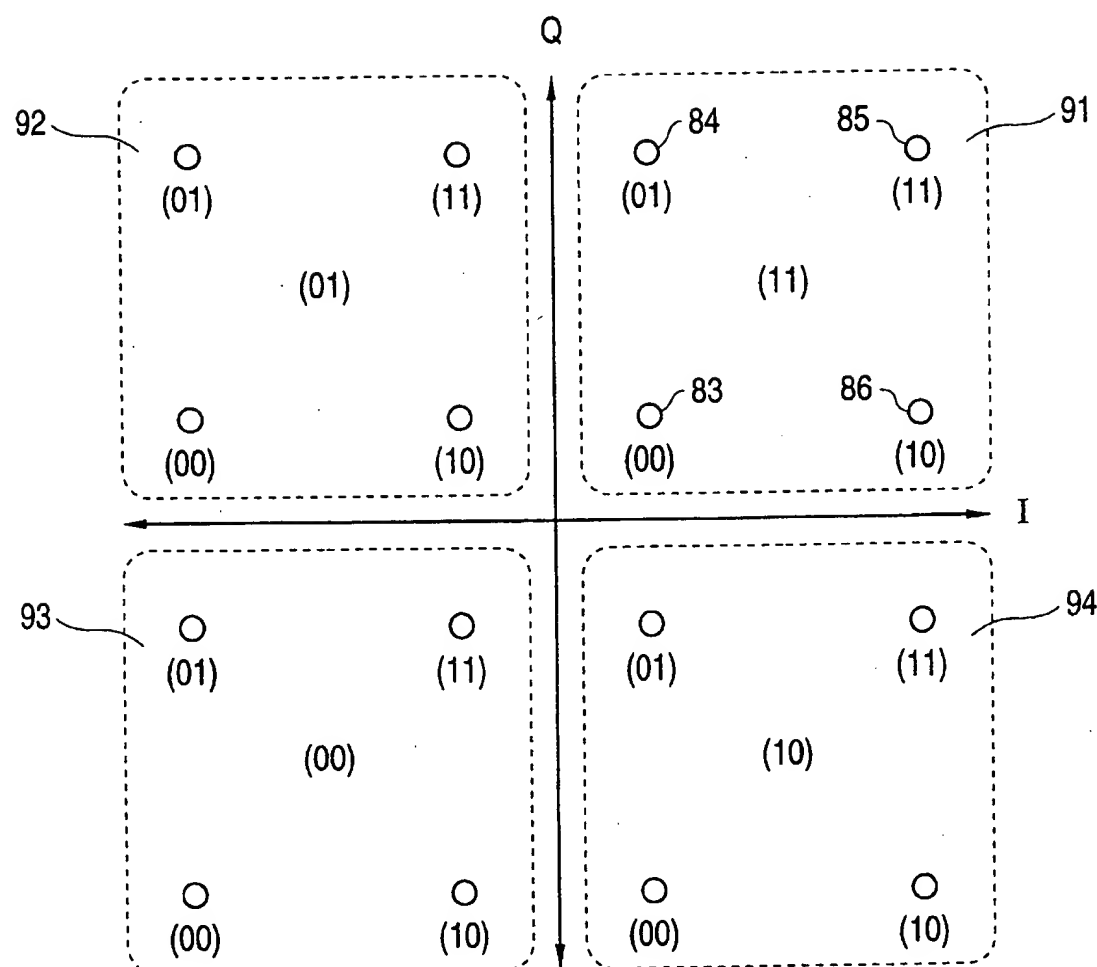
**FIG. 4**

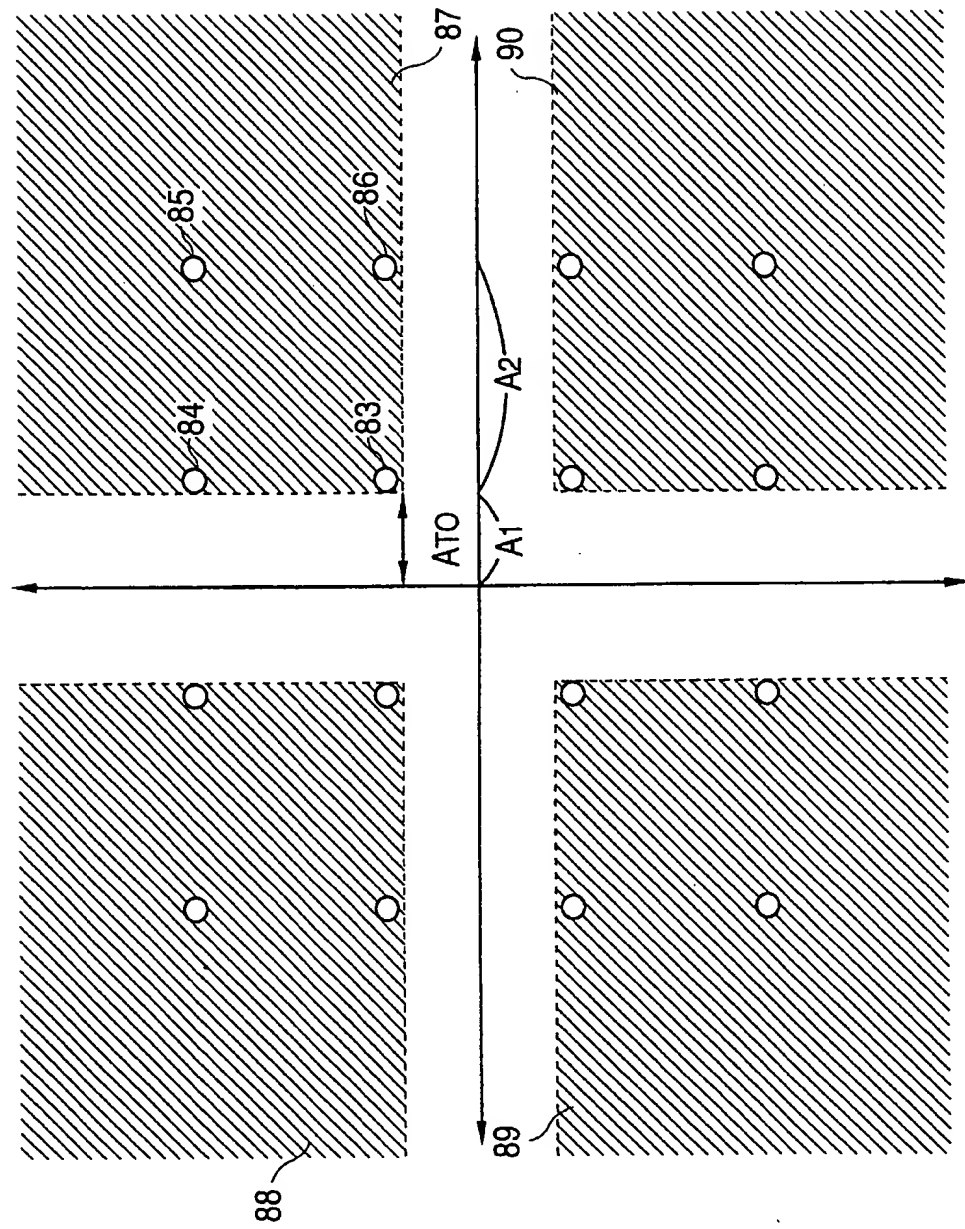
FIG. 5

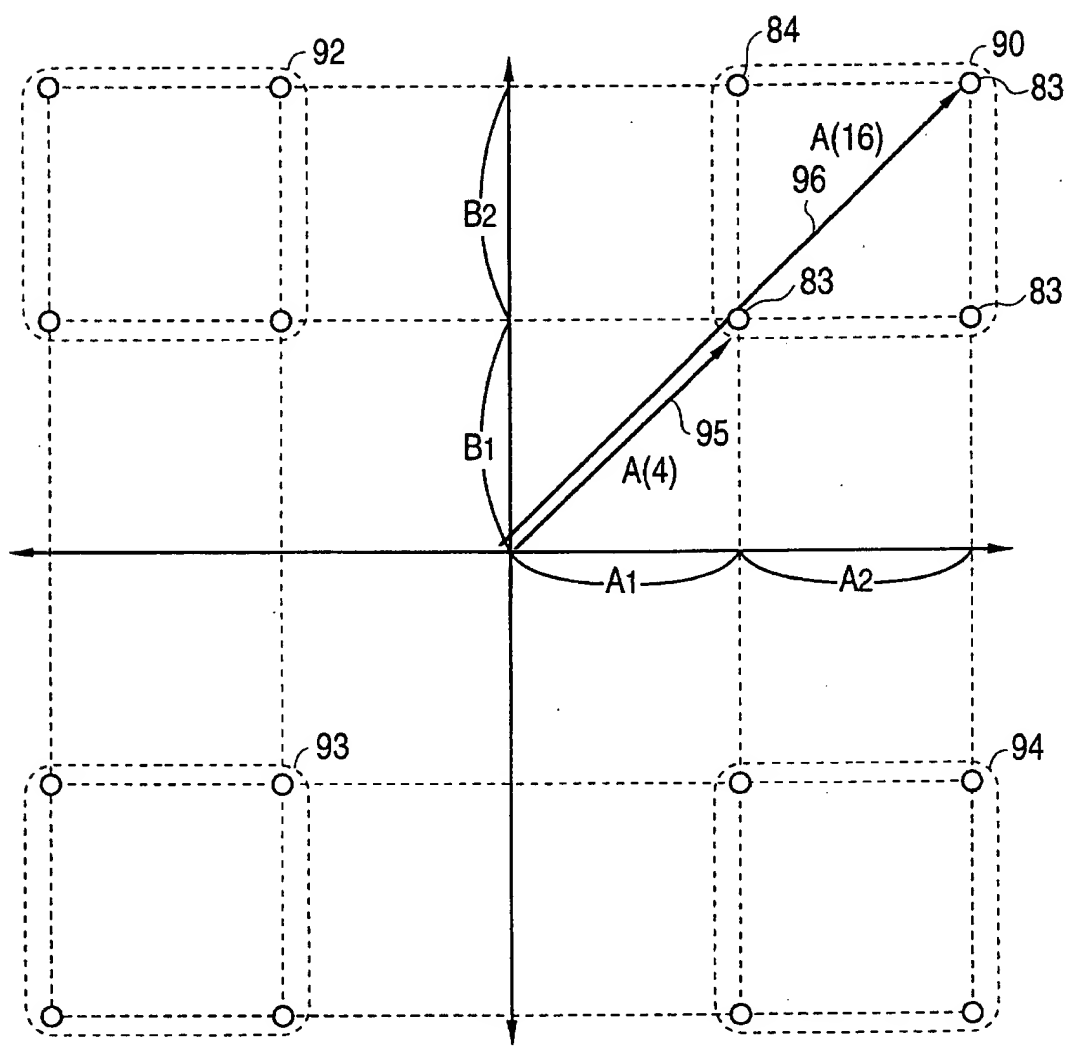


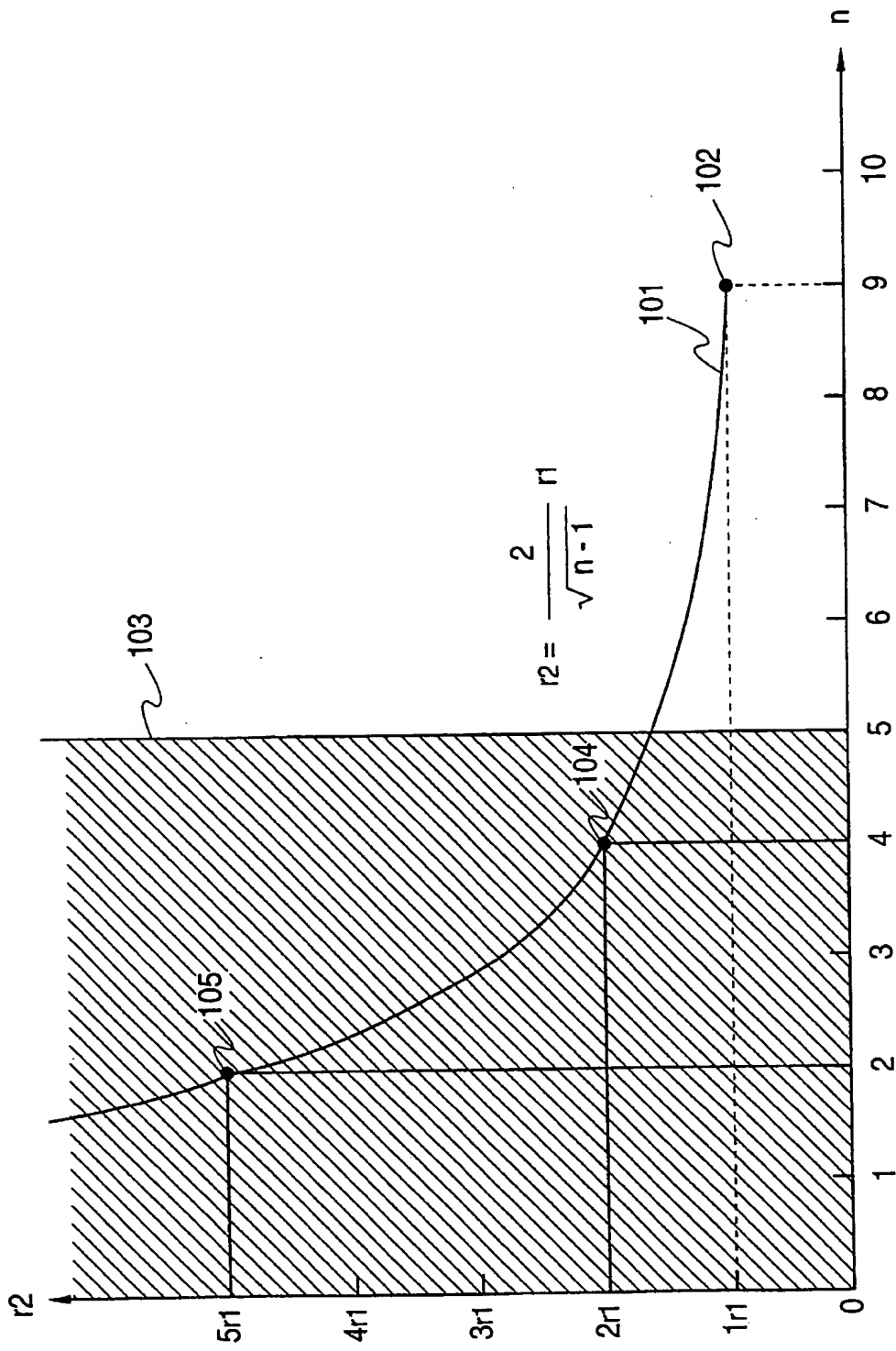
*FIG. 6*

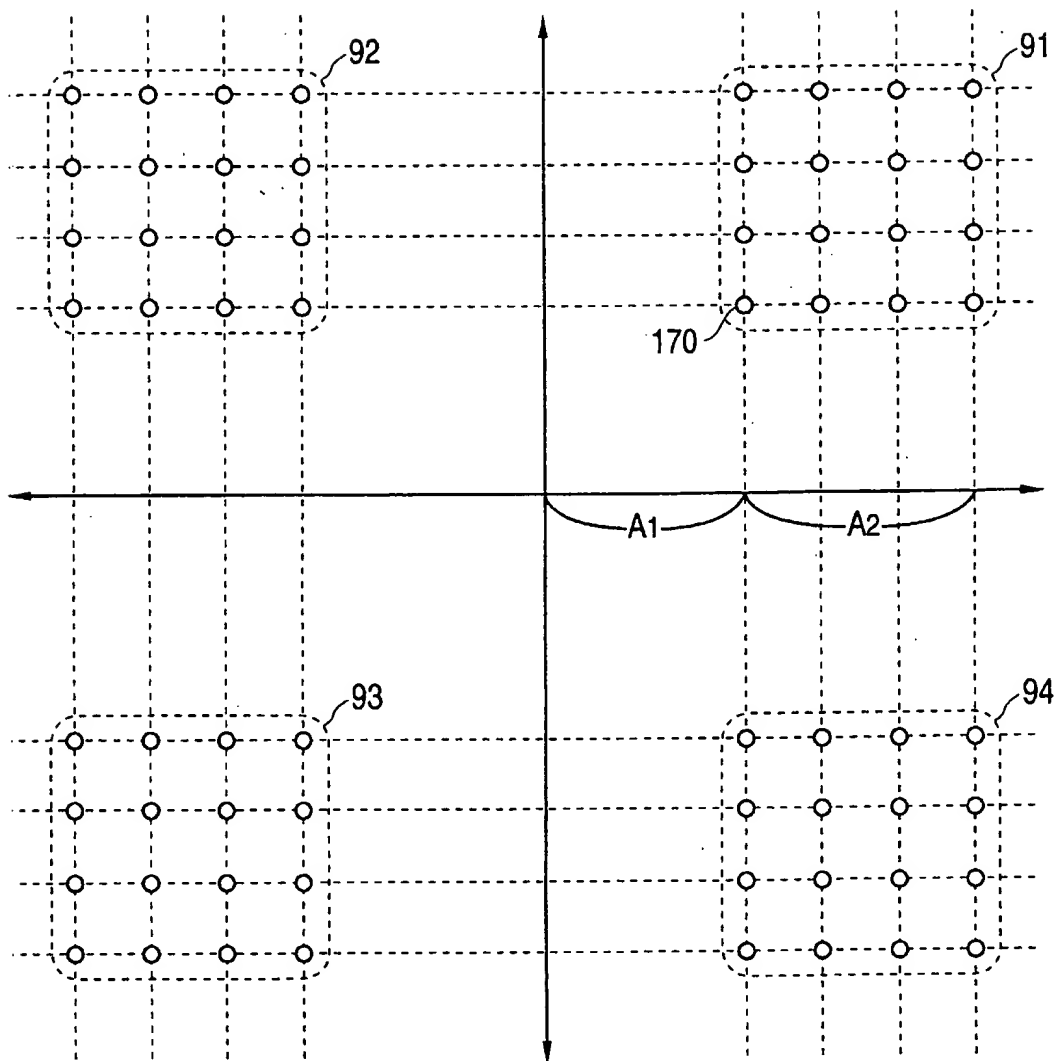
**FIG. 7**

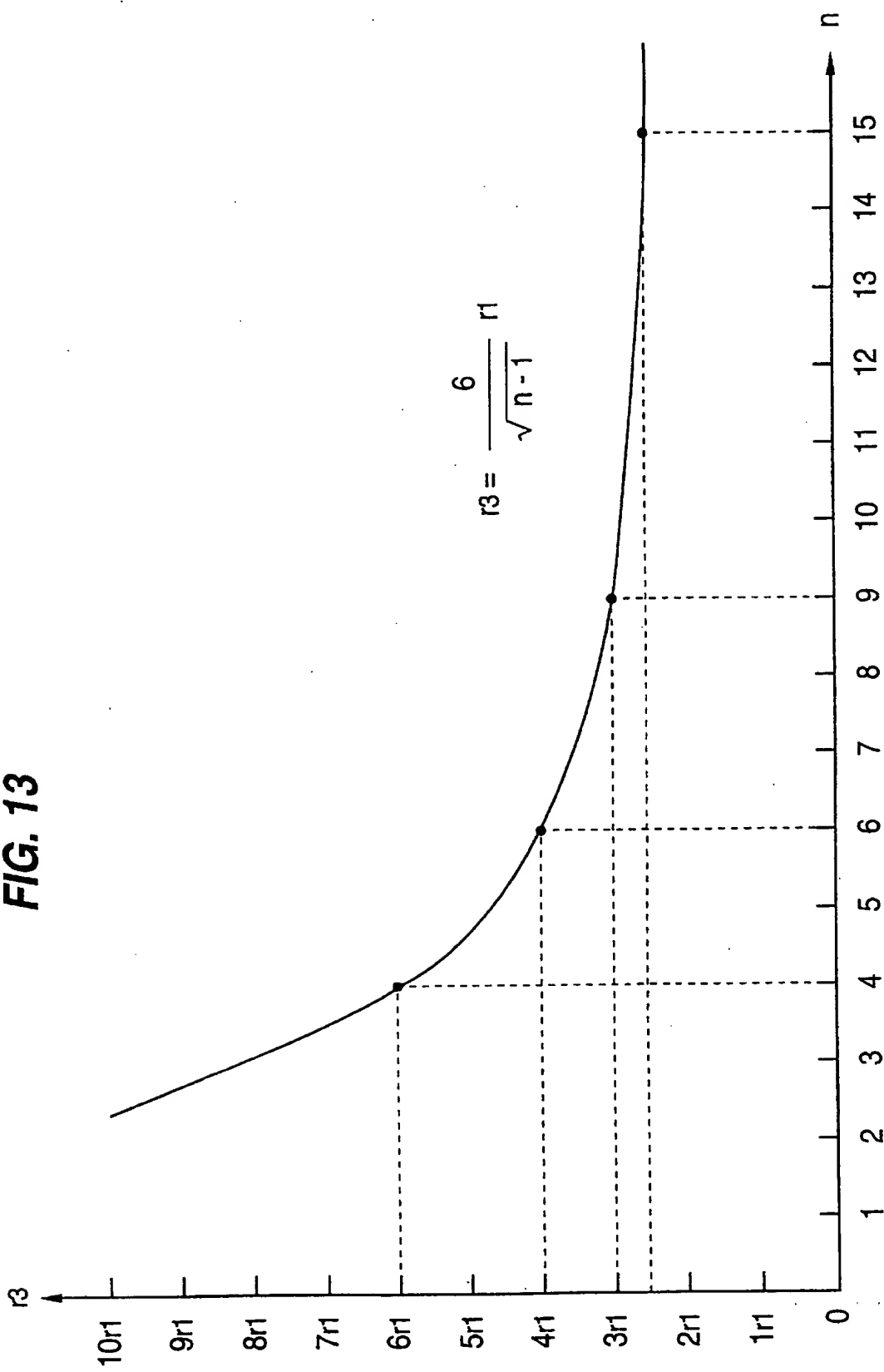
**FIG. 8**

**FIG. 9**

**FIG. 10**

**FIG. 11**

**FIG. 12**

**FIG. 13**

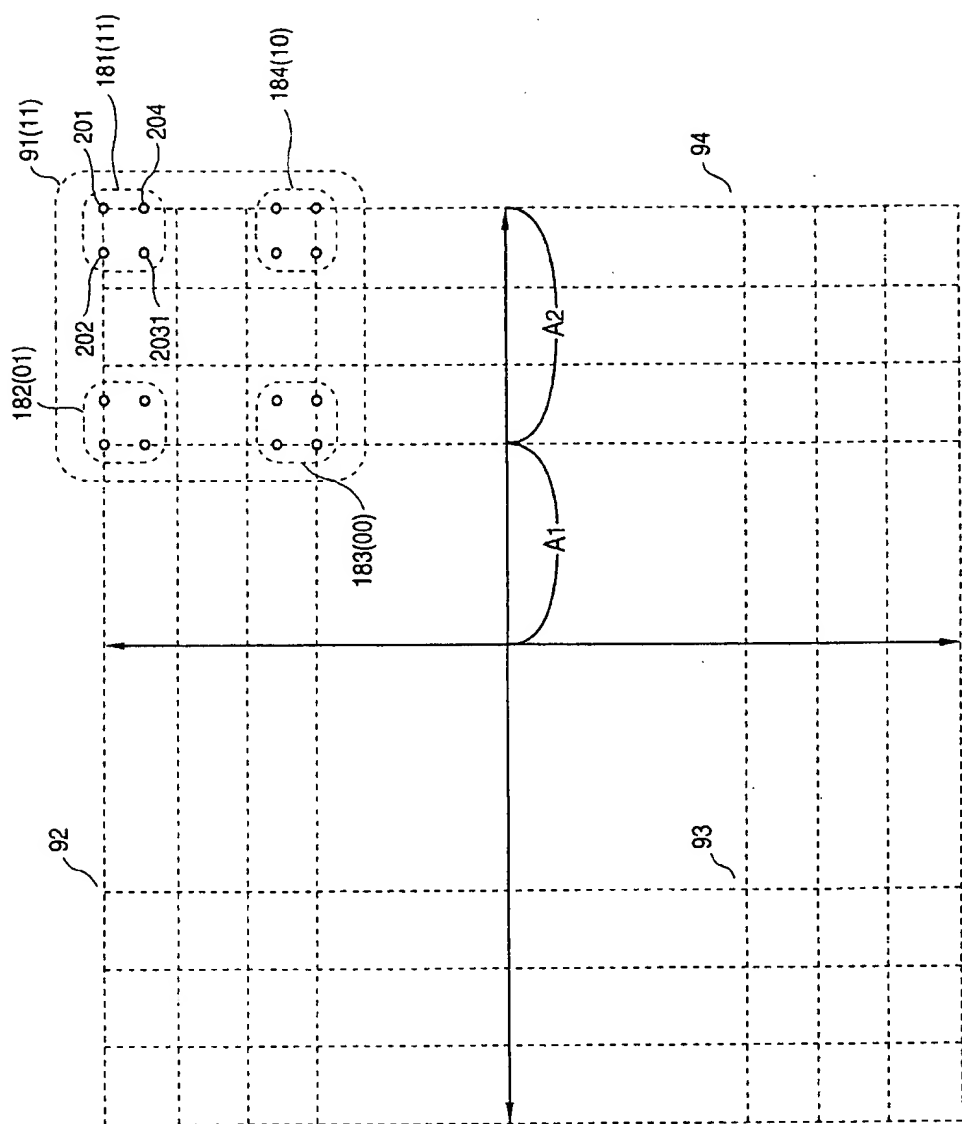
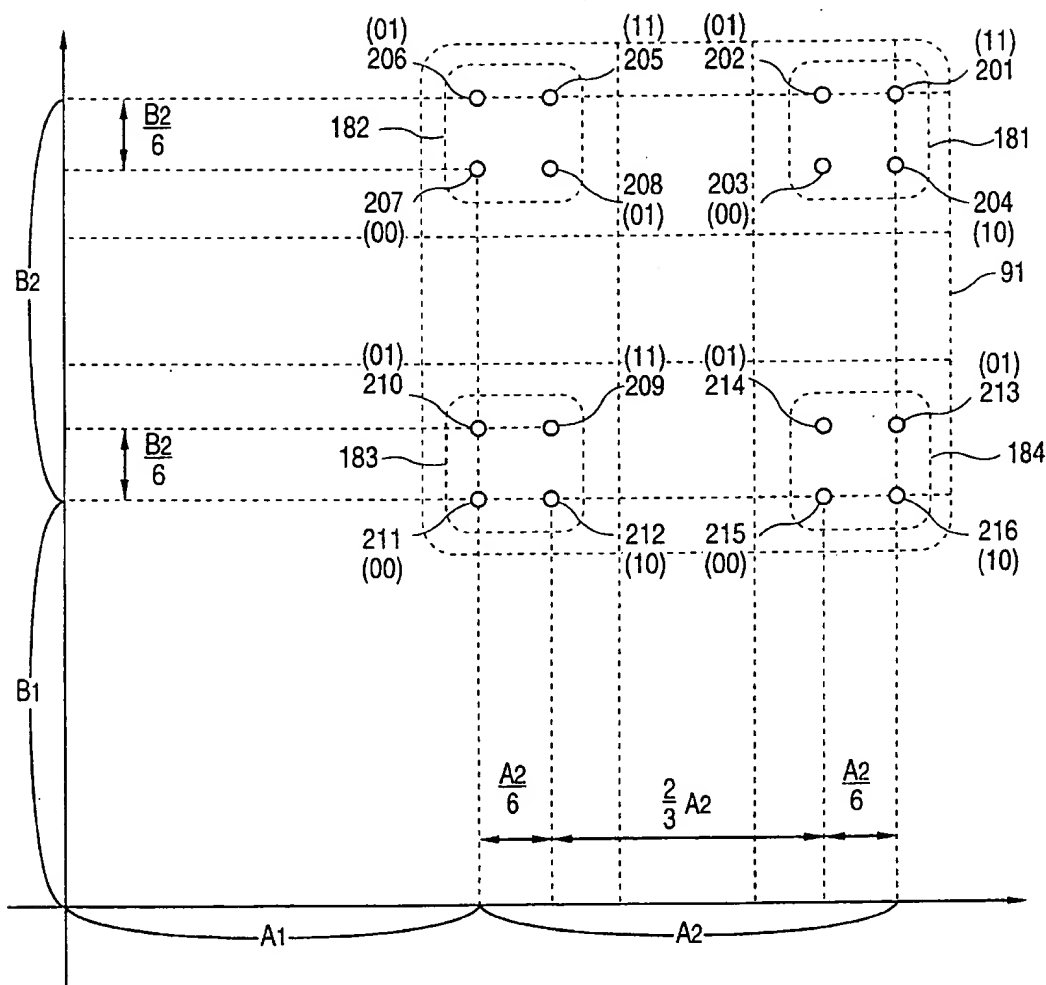
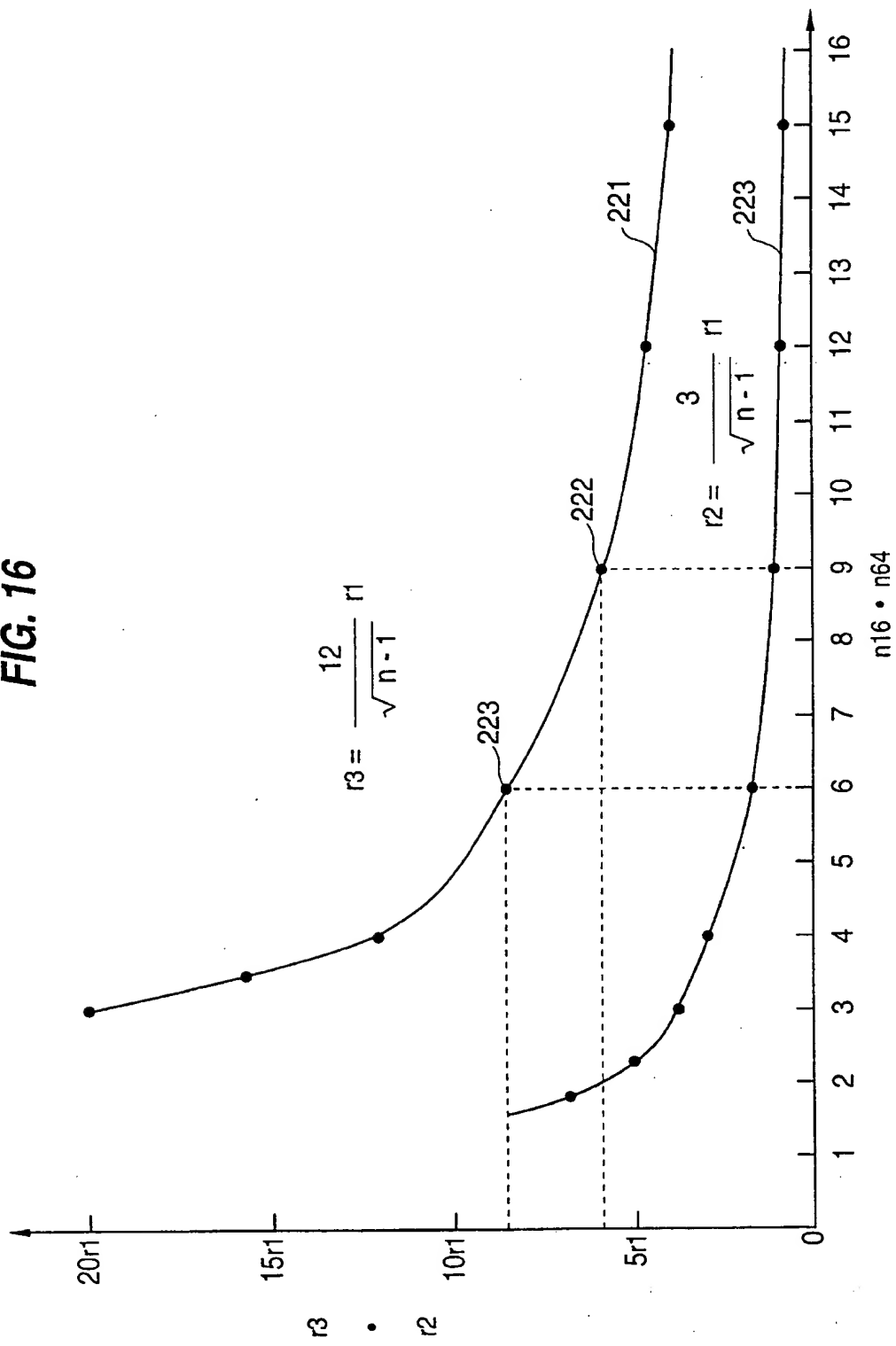
**FIG. 14**

FIG. 15



**FIG. 16**

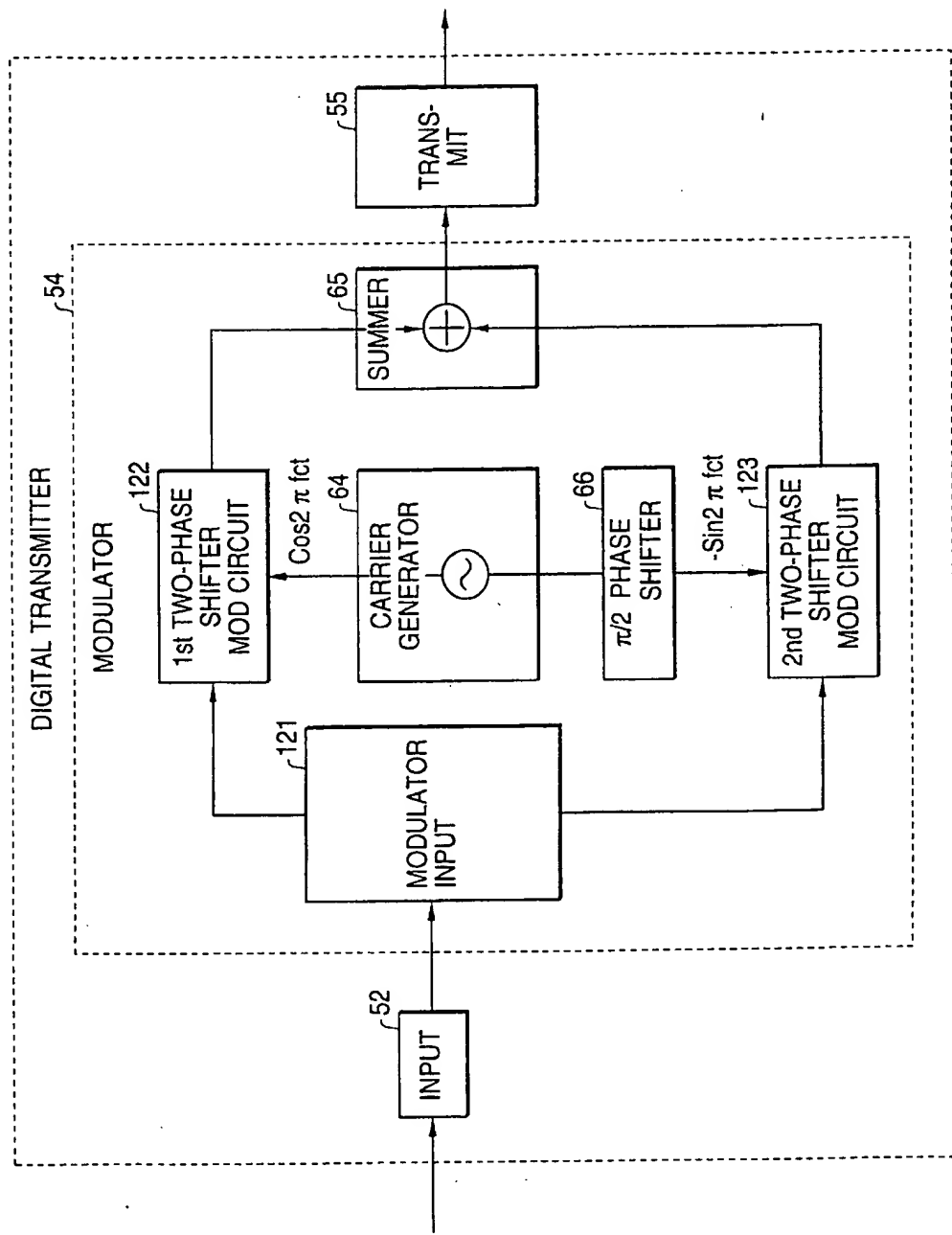


FIG. 17

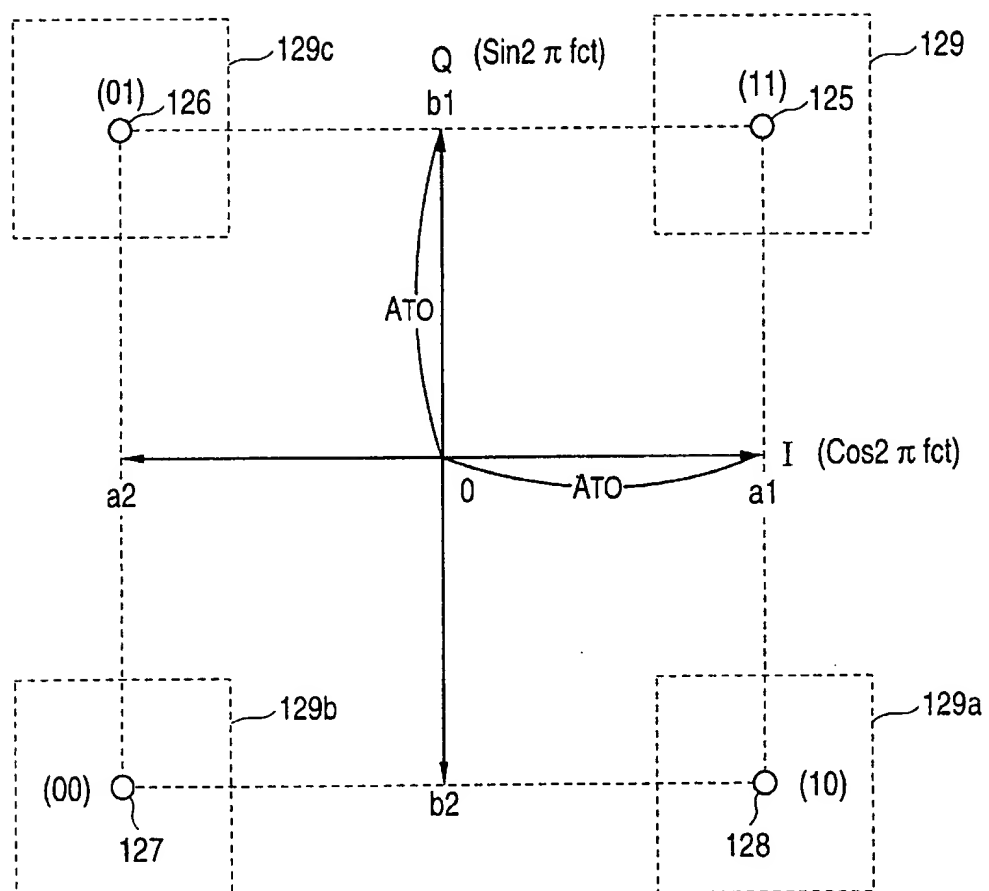
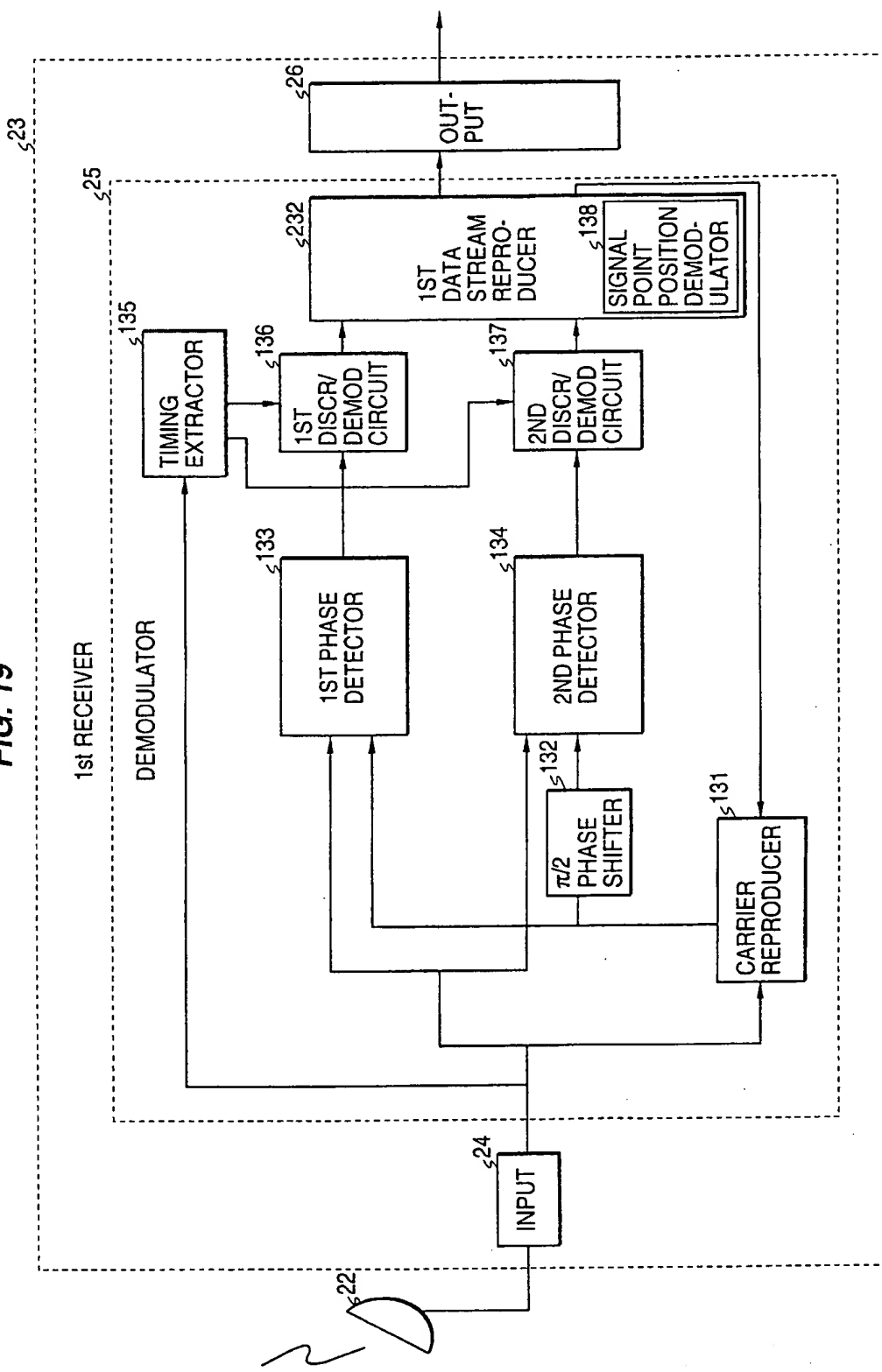
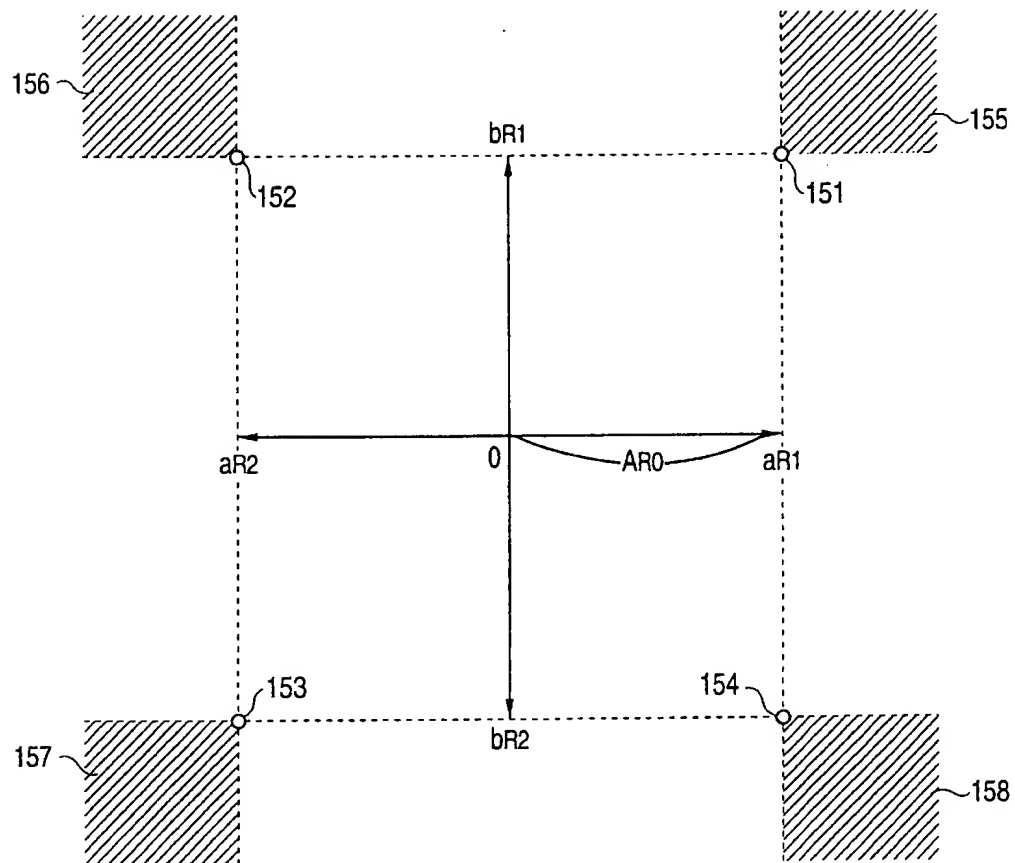
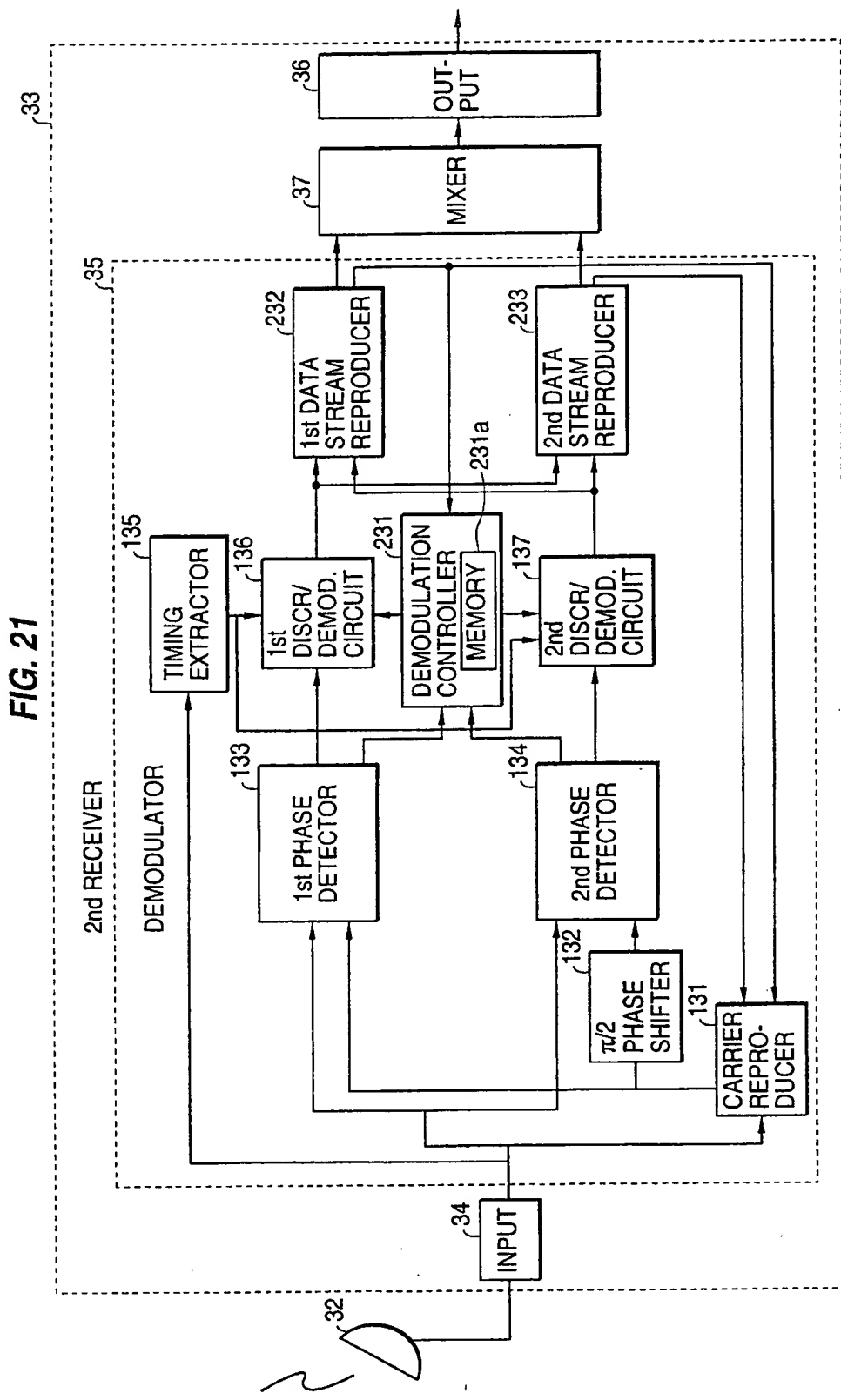
**FIG. 18**

FIG. 19



**FIG. 20**



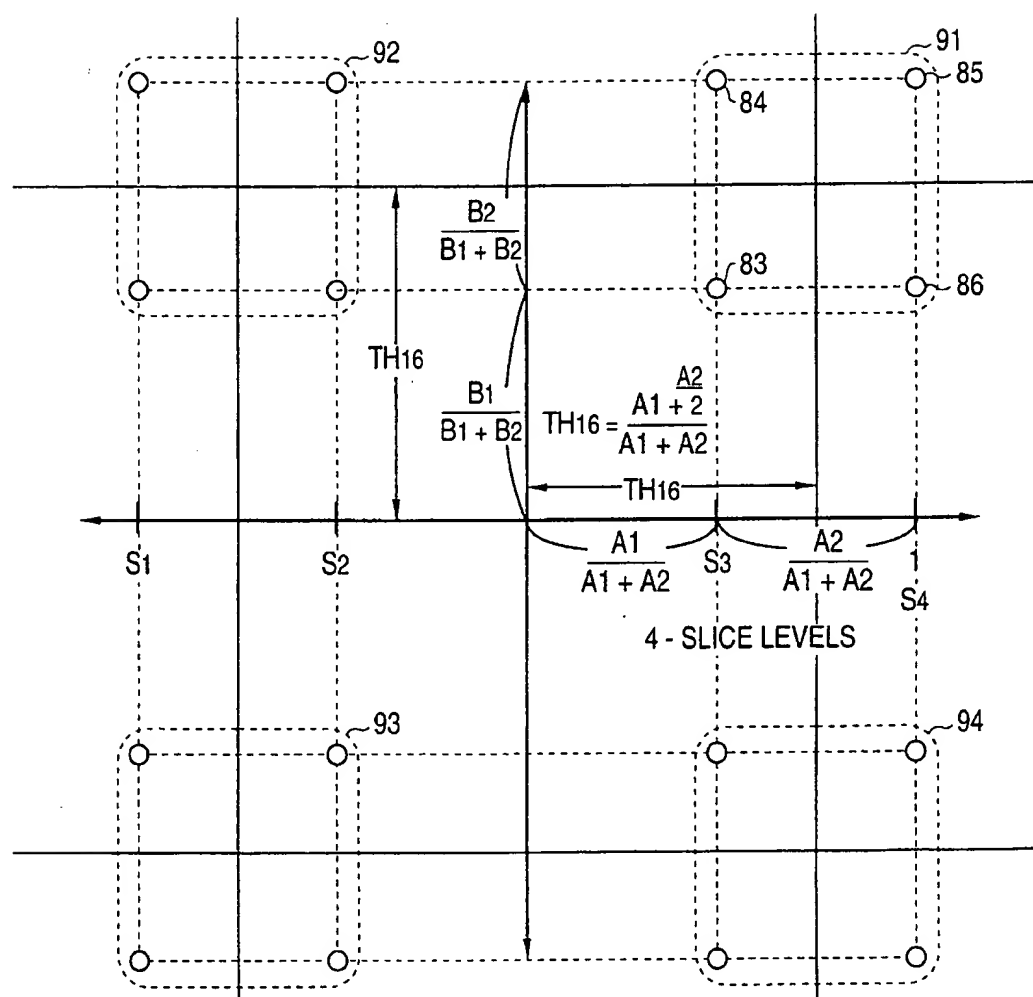
**FIG. 22**

FIG. 23

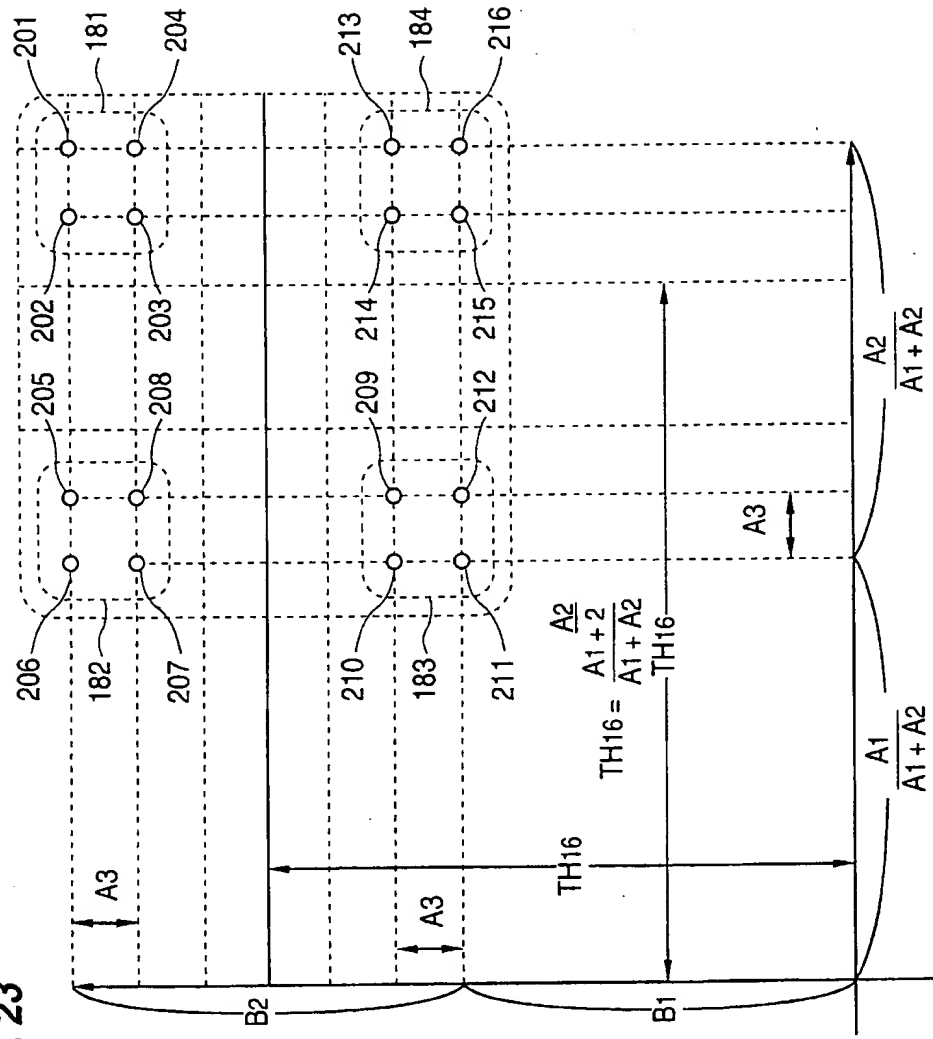
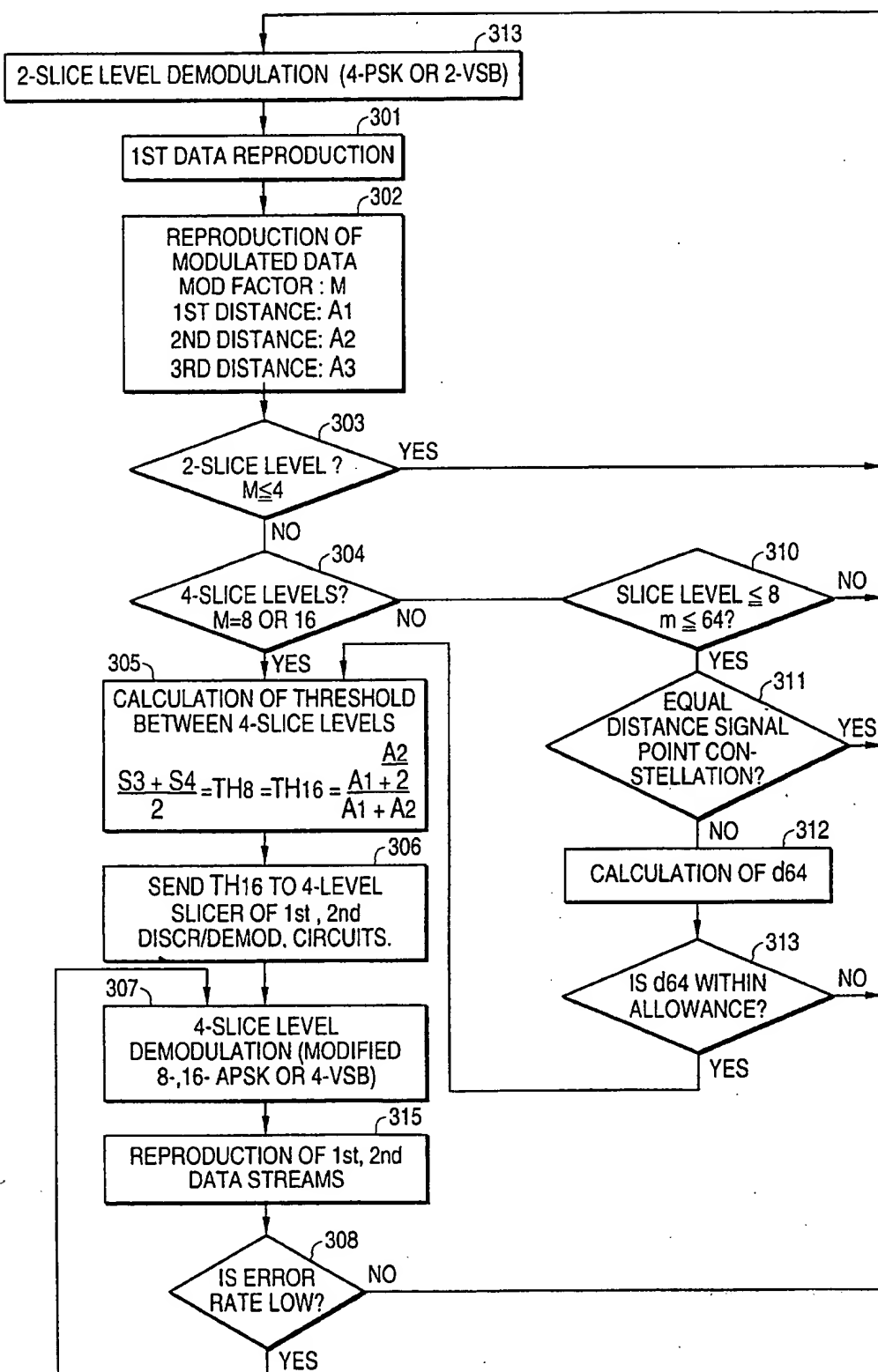


FIG. 24



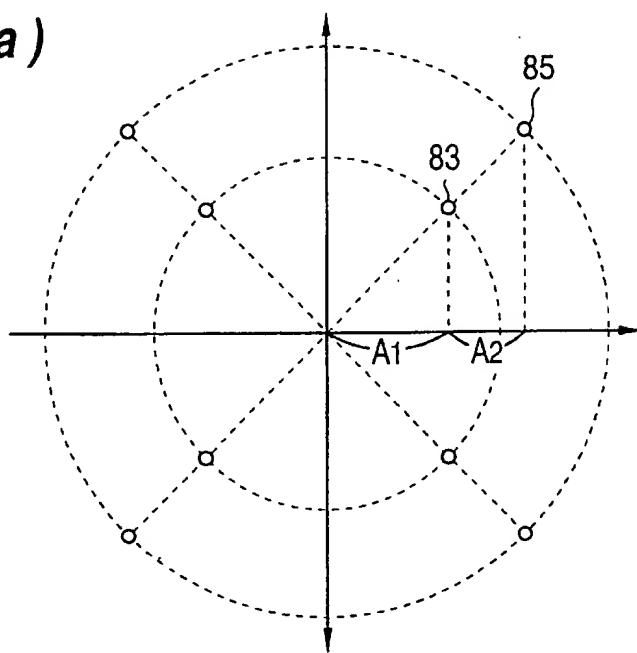
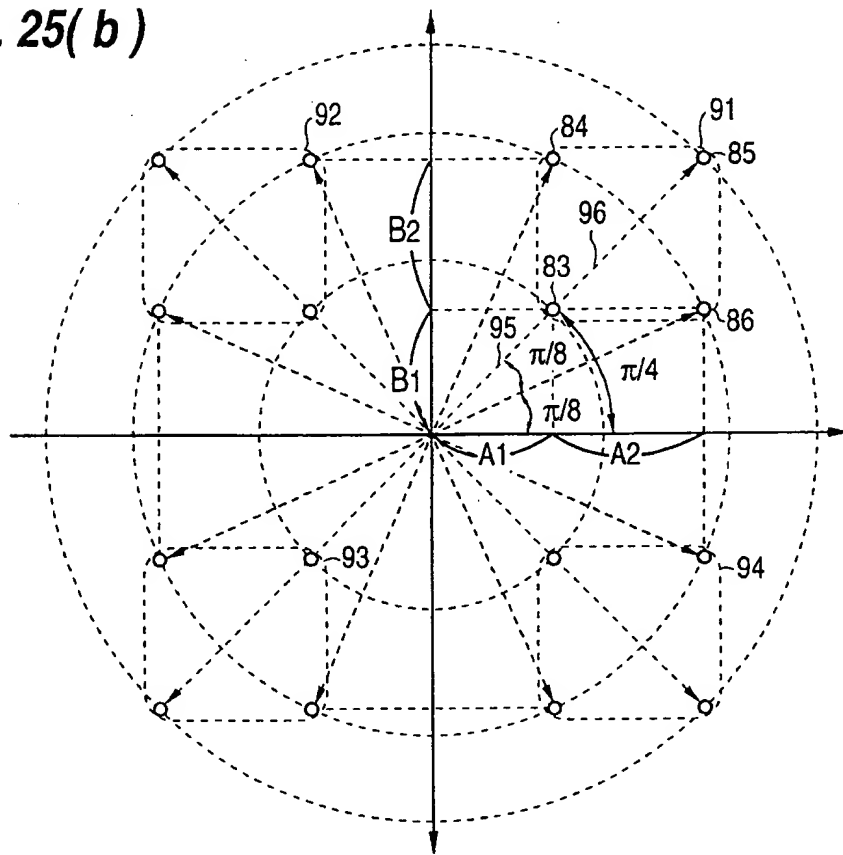
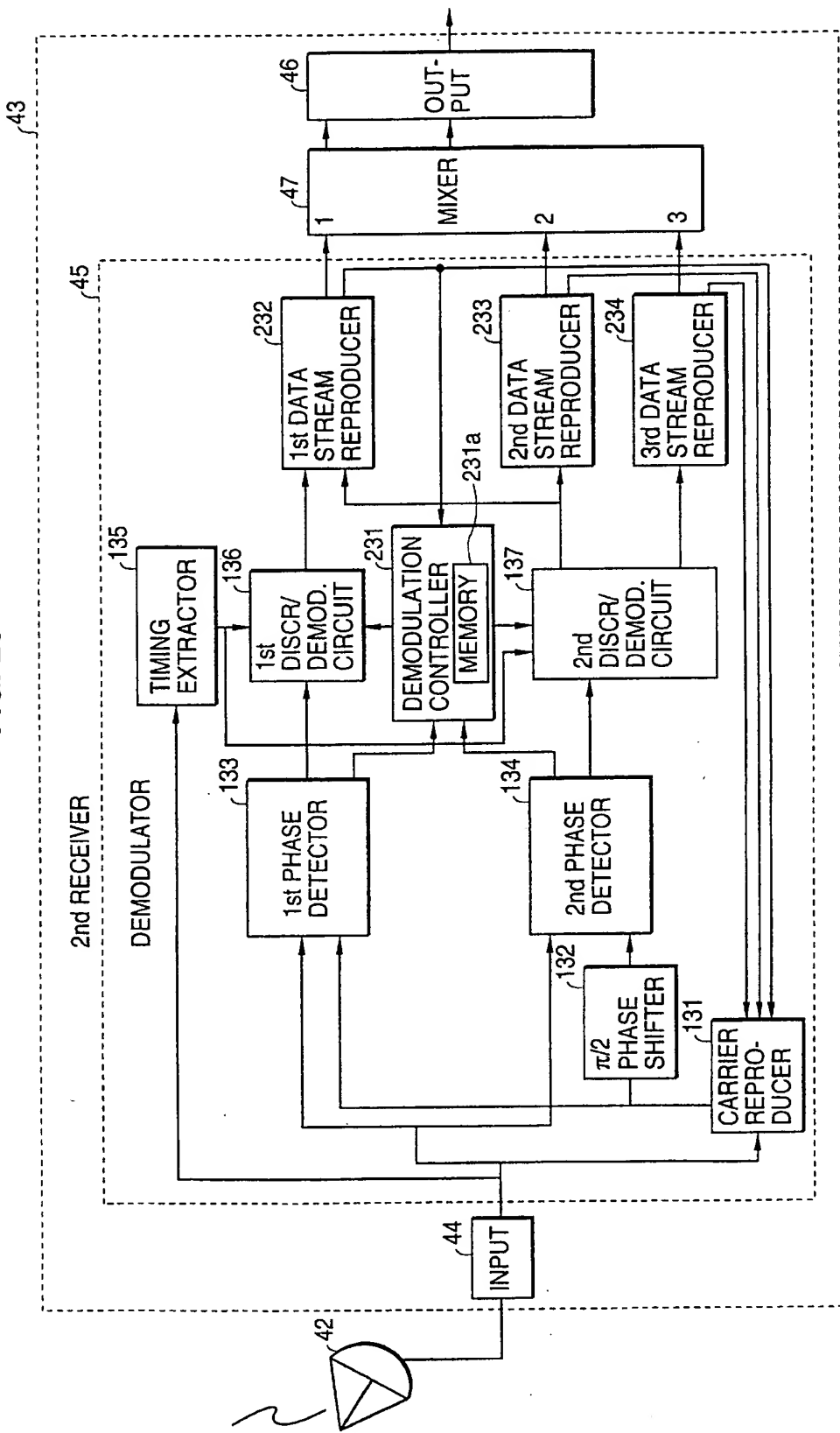
**FIG. 25( a )****FIG. 25( b )**

FIG. 26



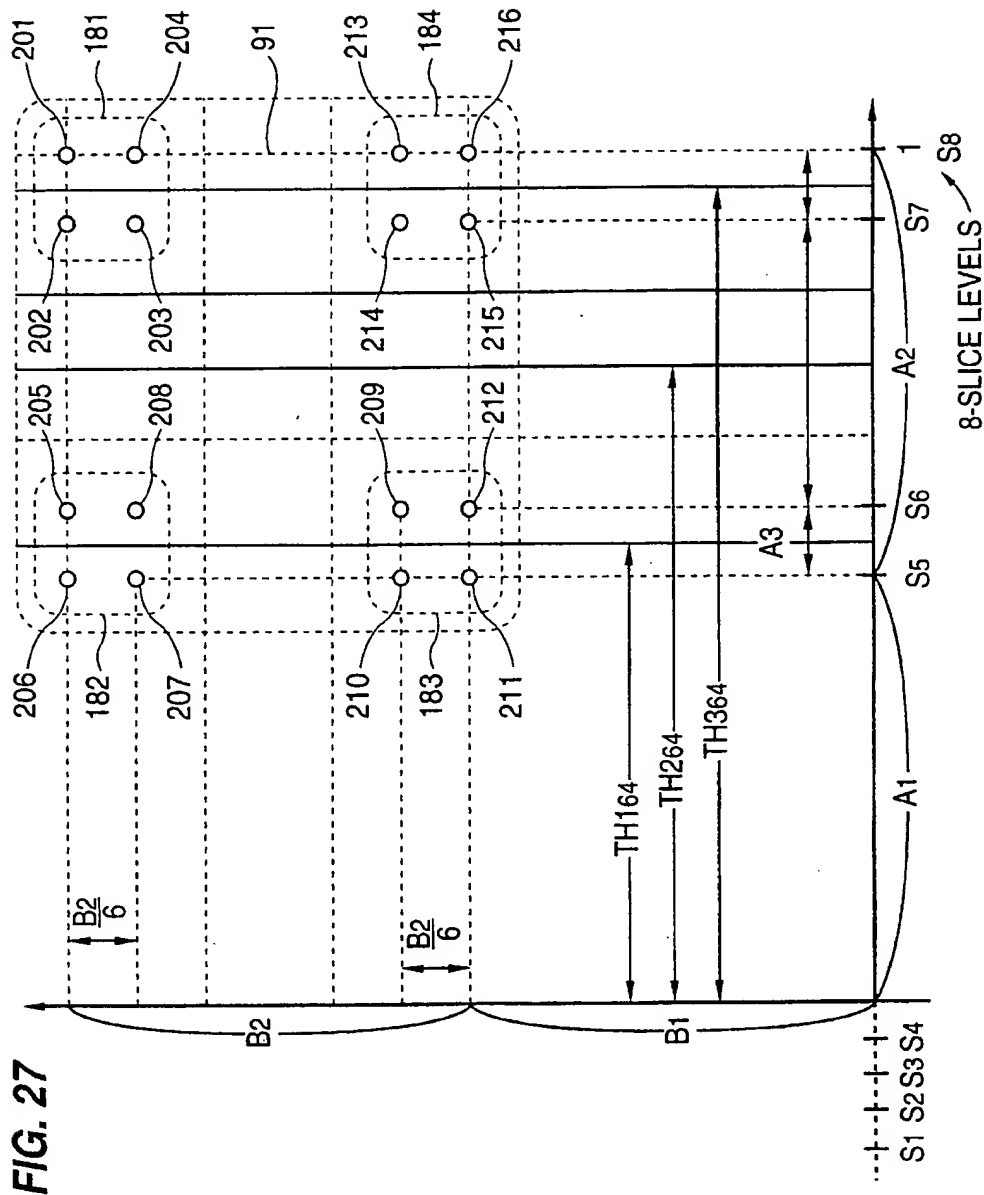


FIG. 27

FIG. 28

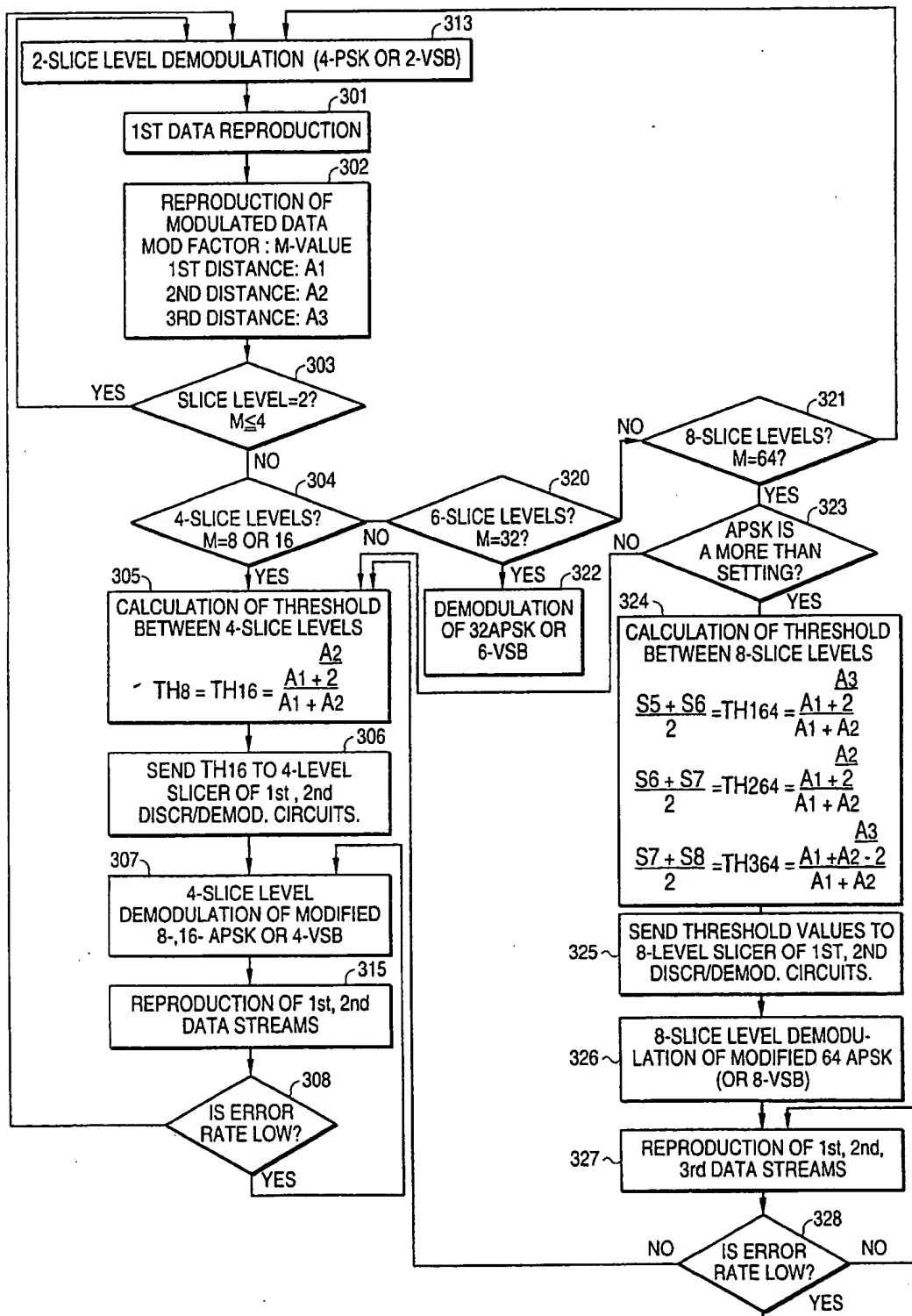
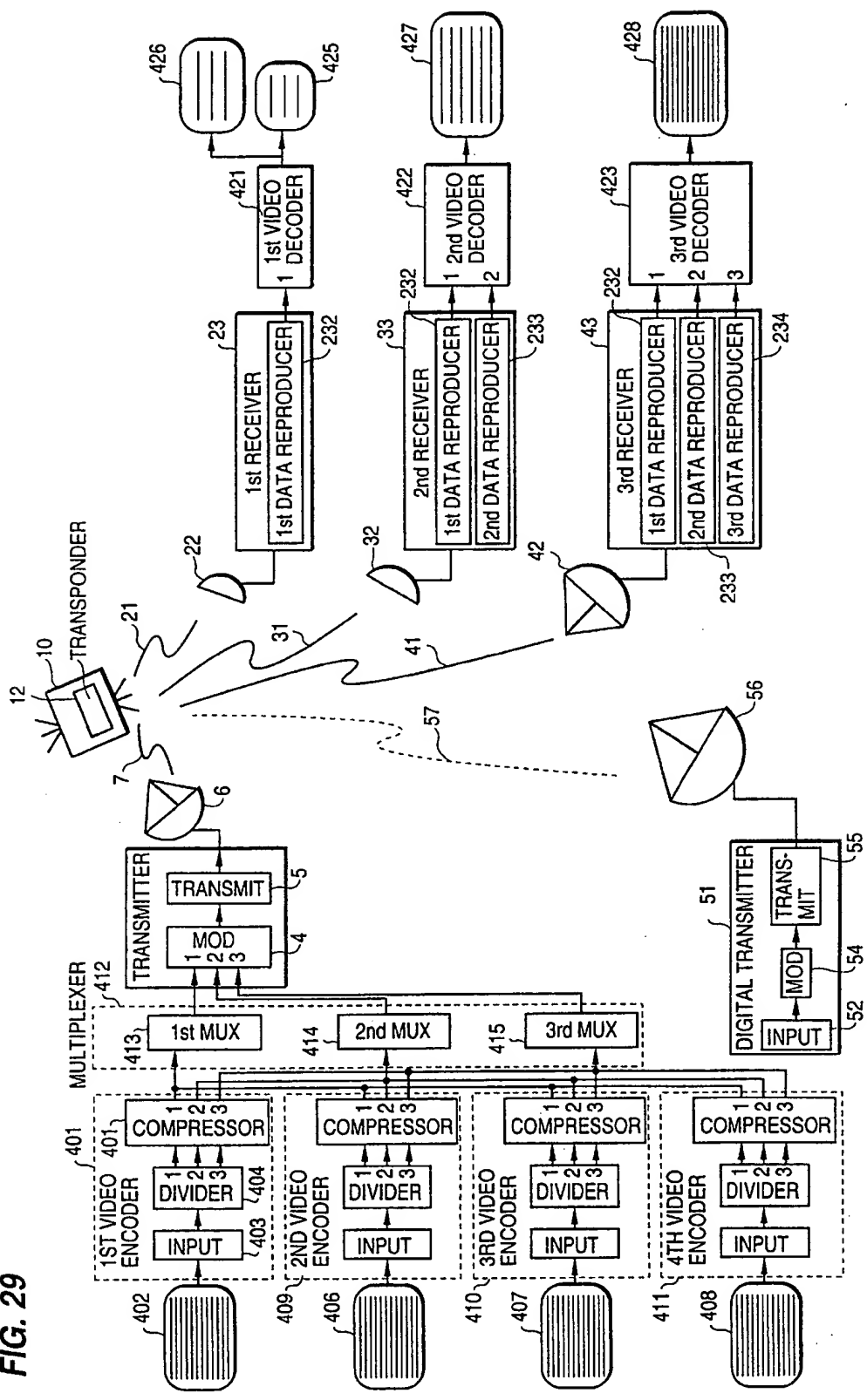
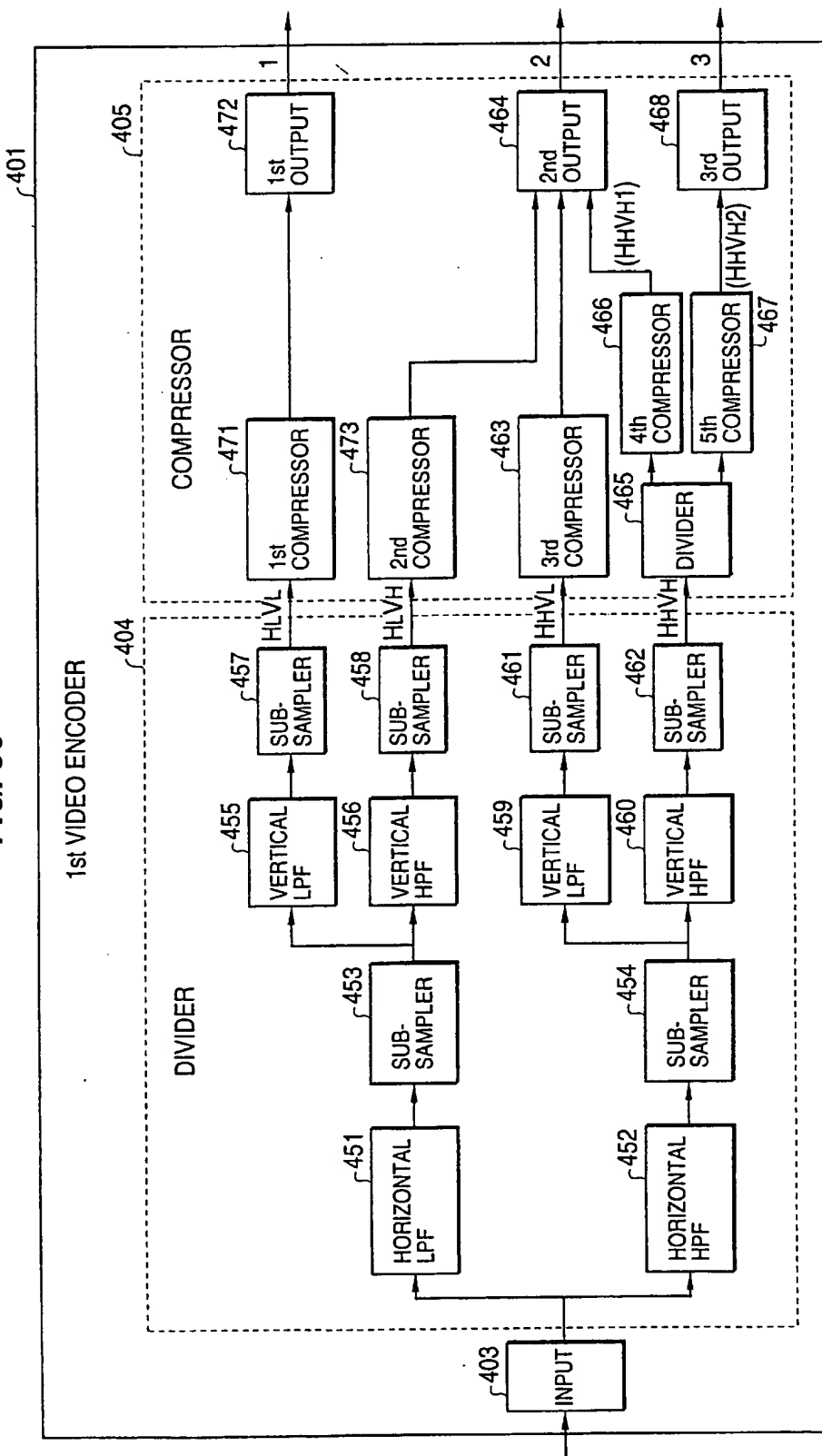
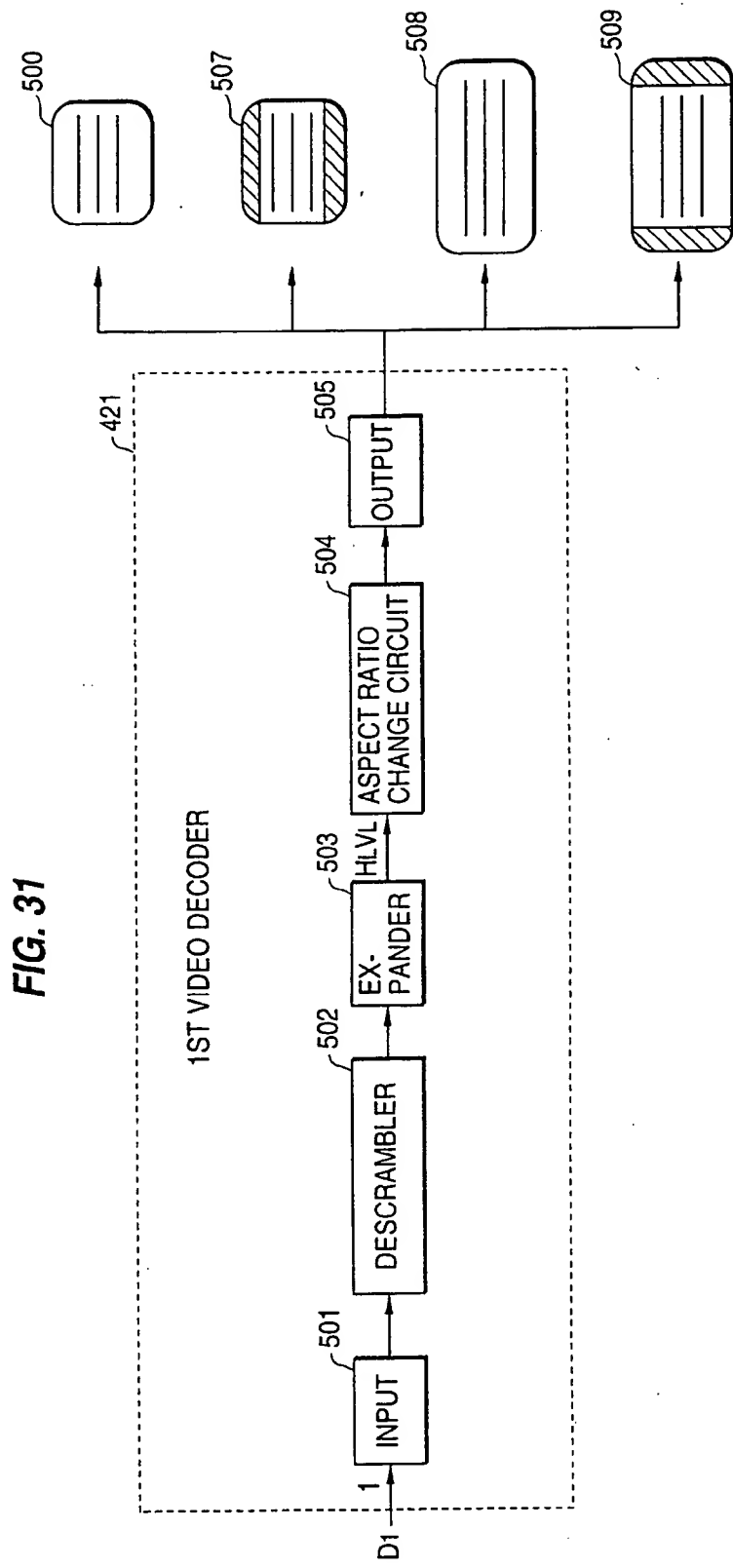
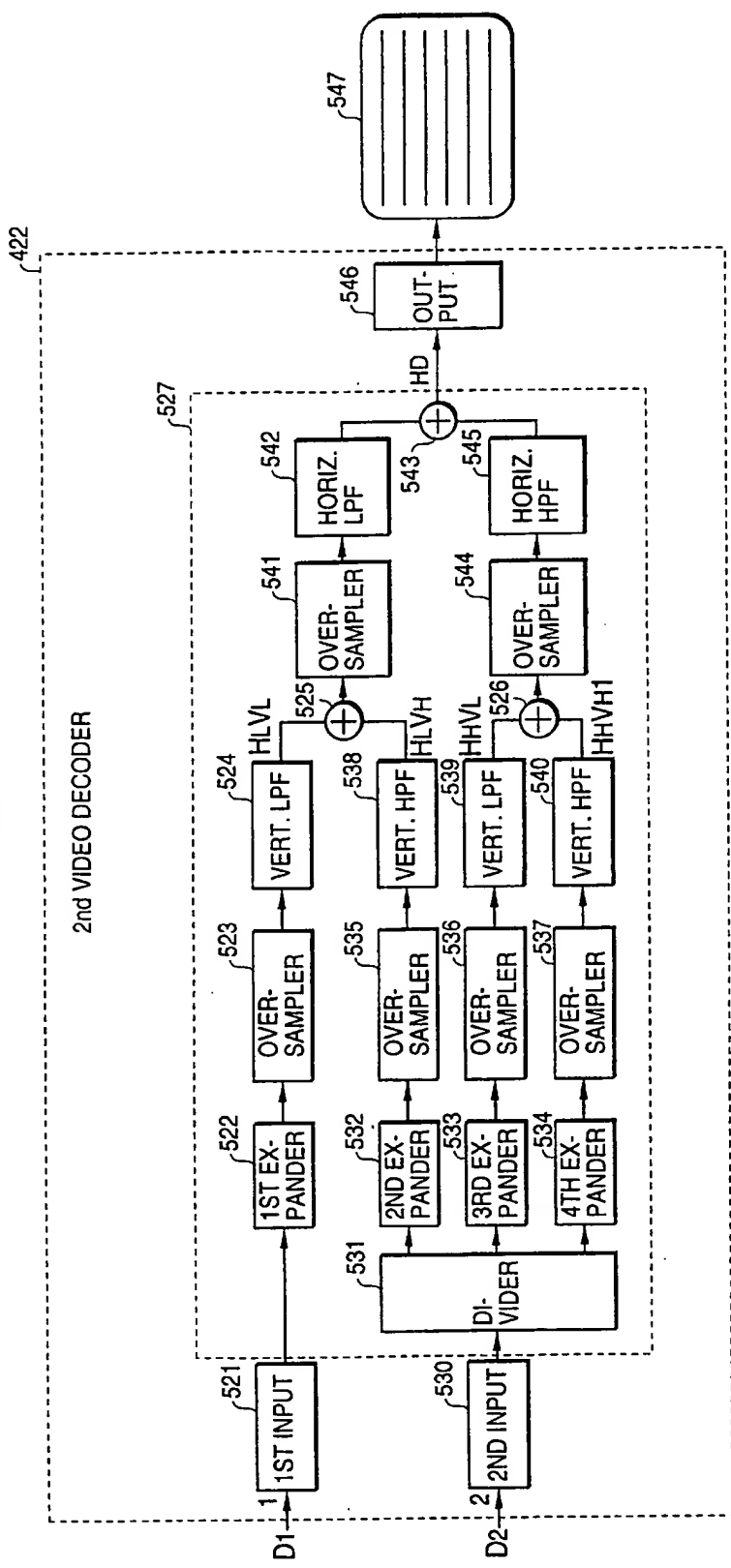


FIG. 29



**FIG. 30**



**FIG. 32**

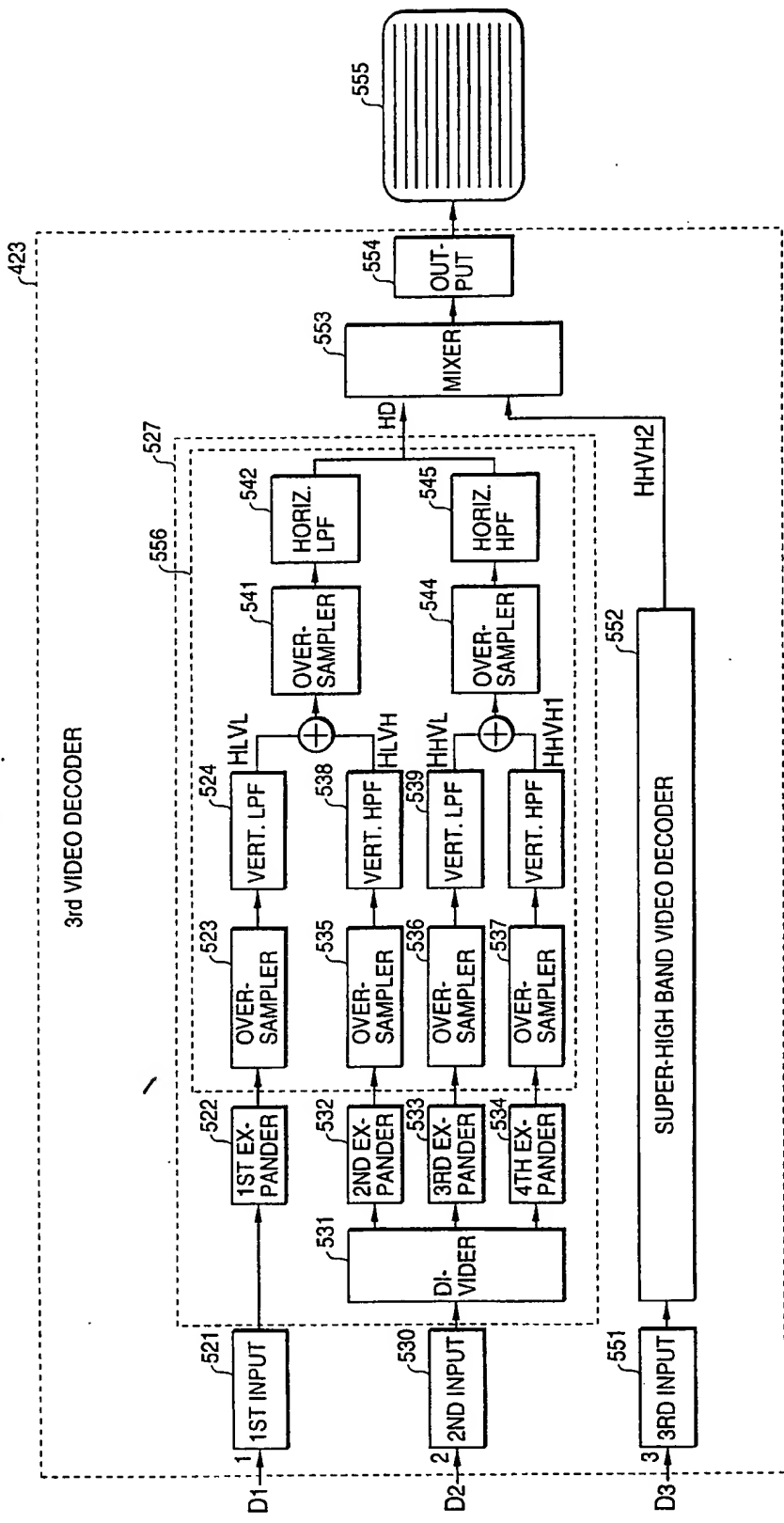
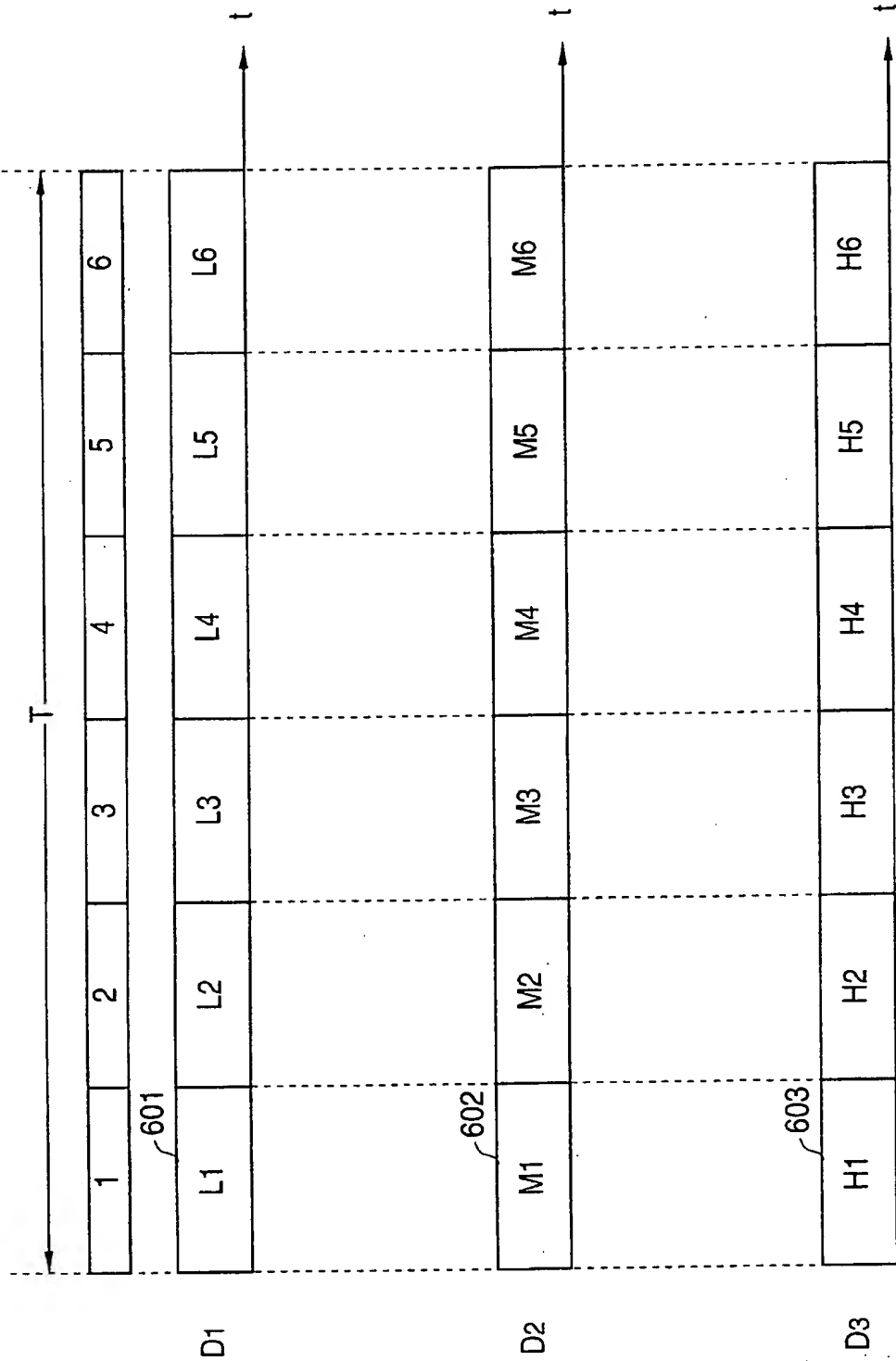
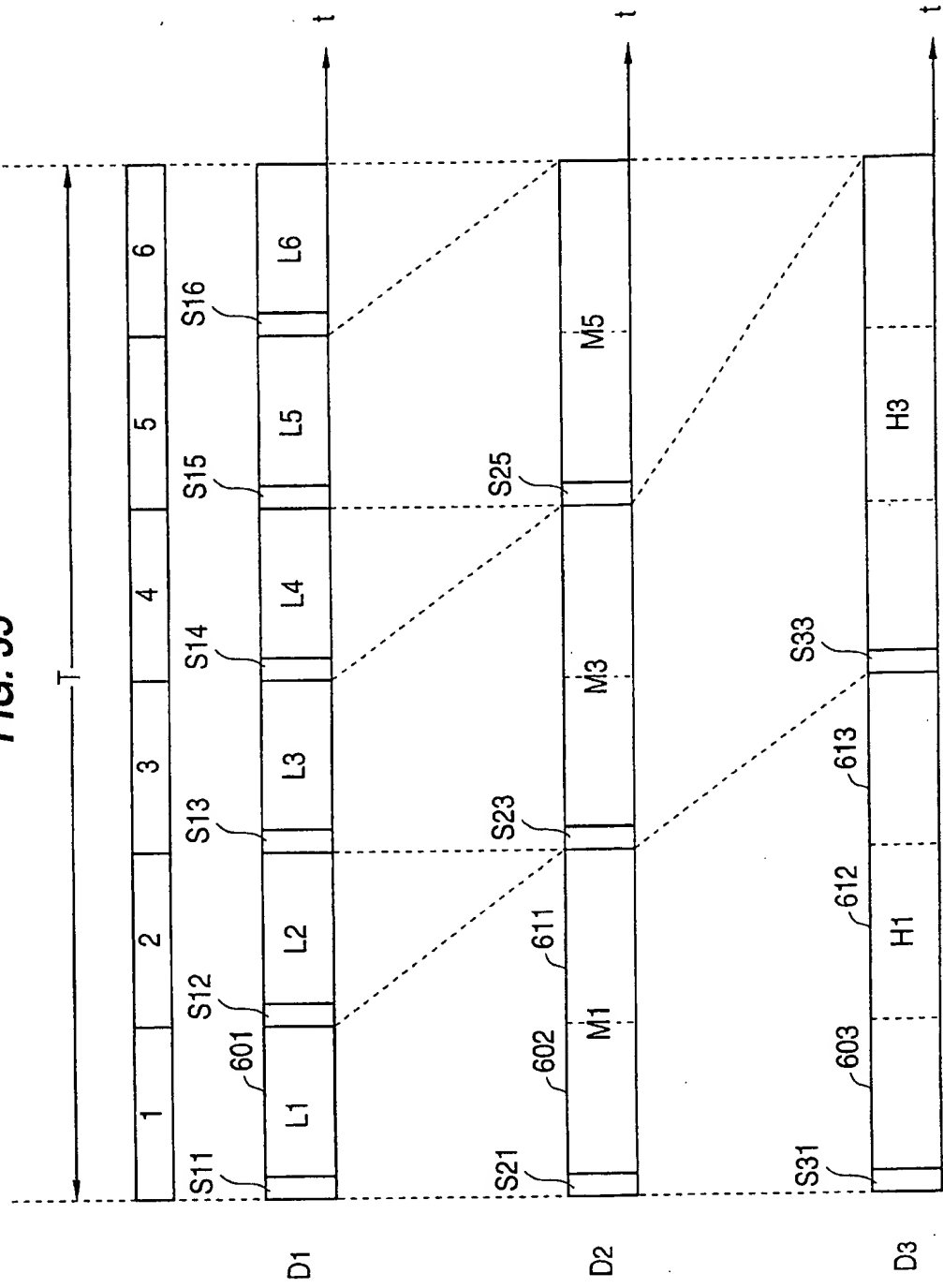
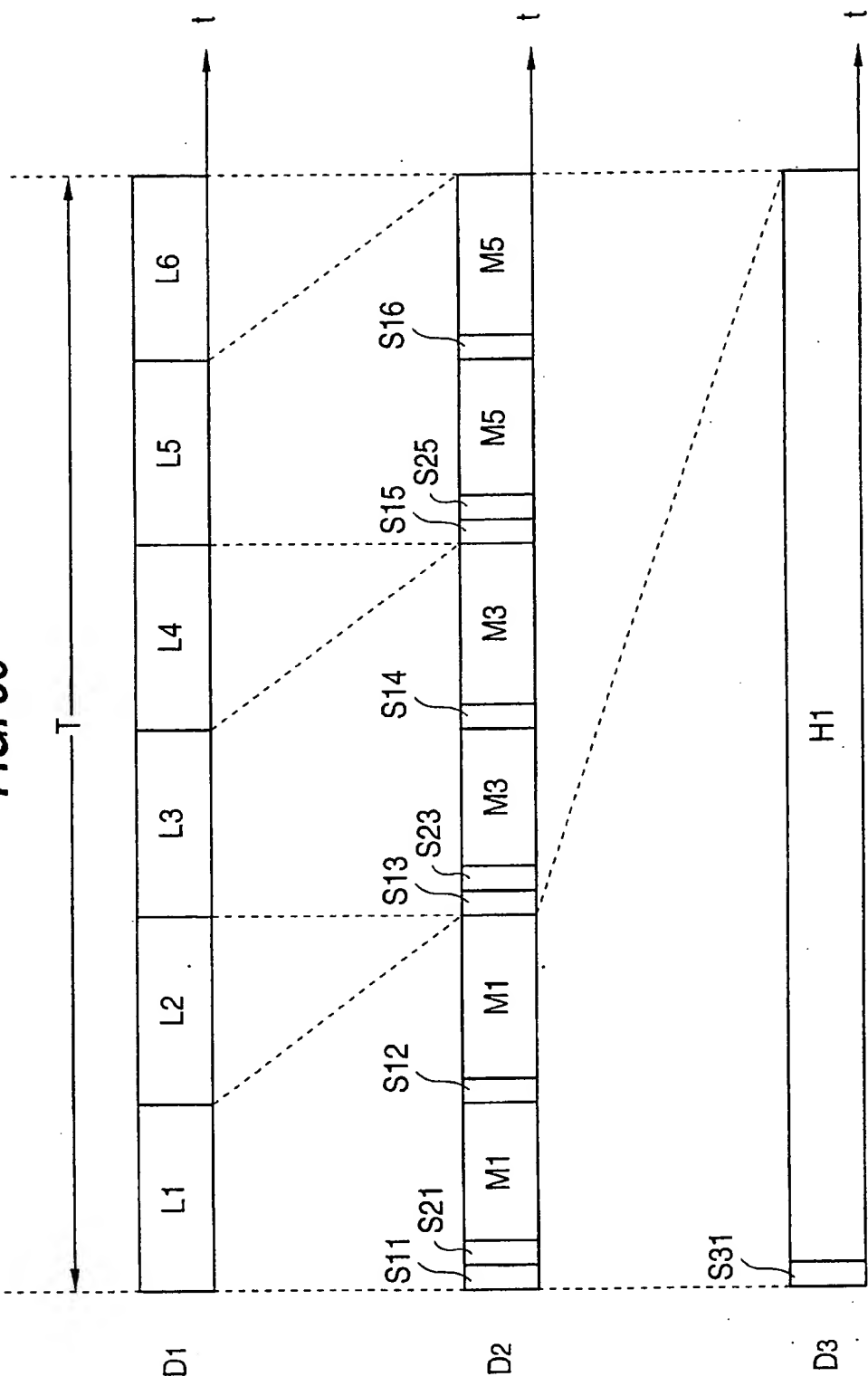
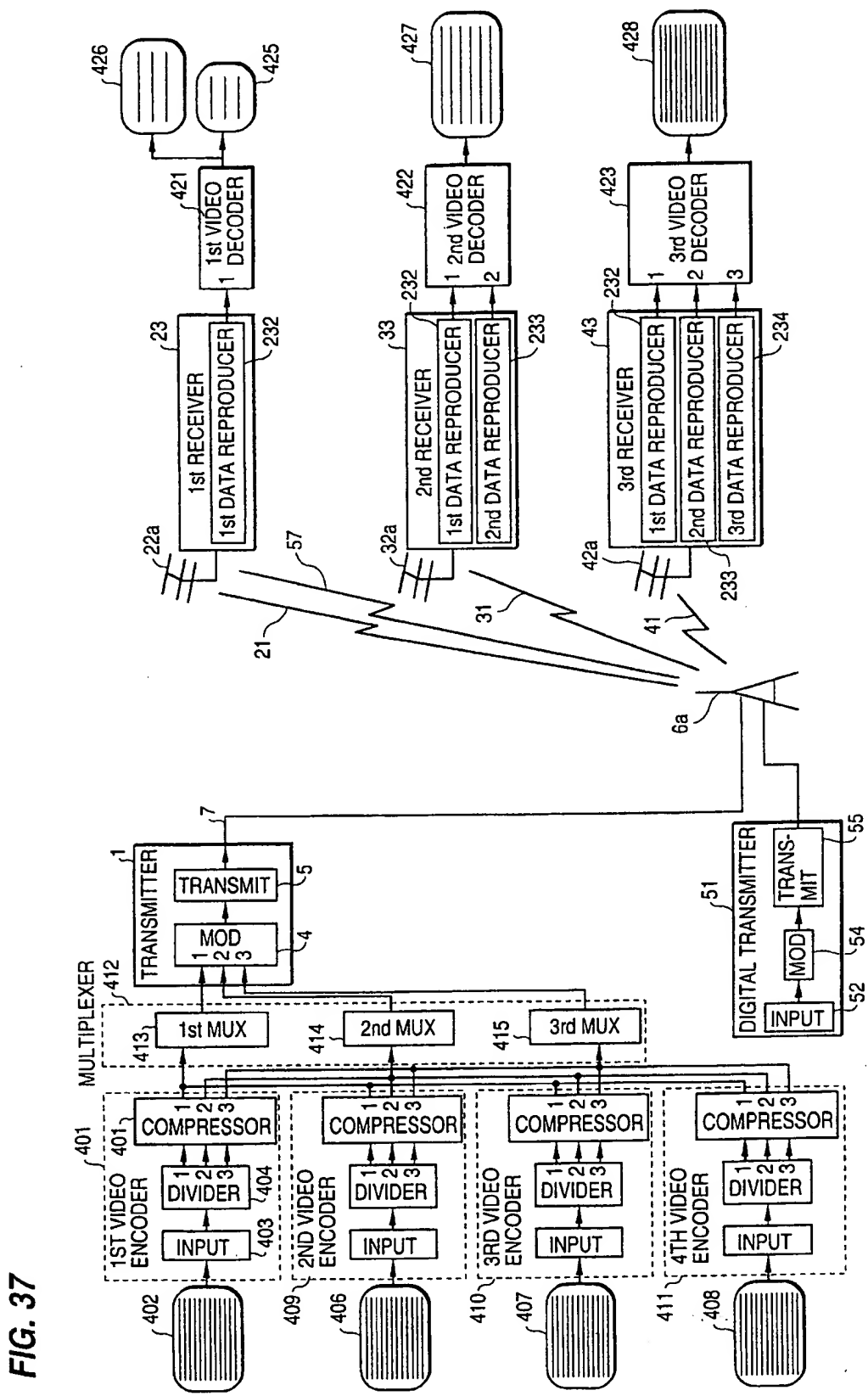
**FIG. 33**

FIG. 34



**FIG. 35**

**FIG. 36**



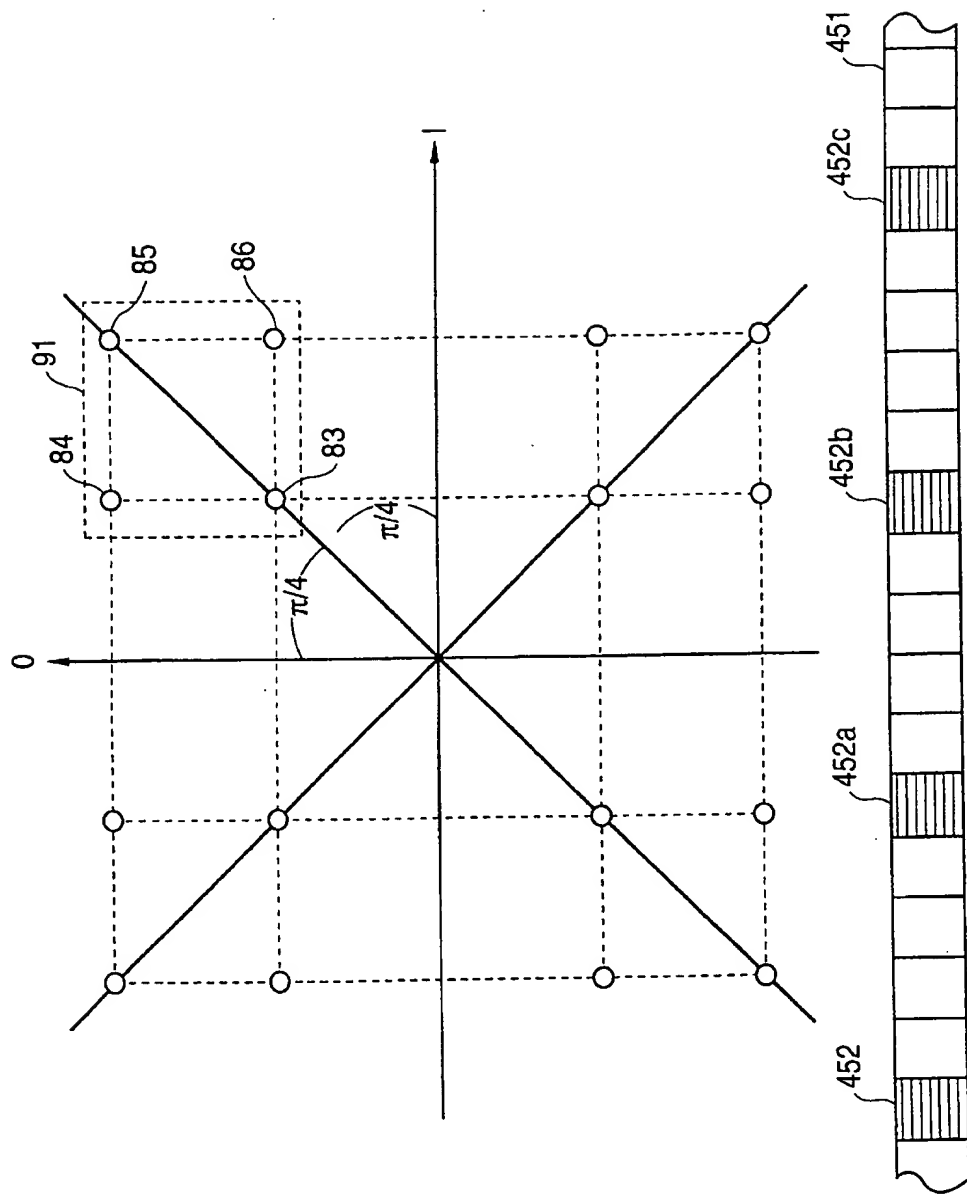
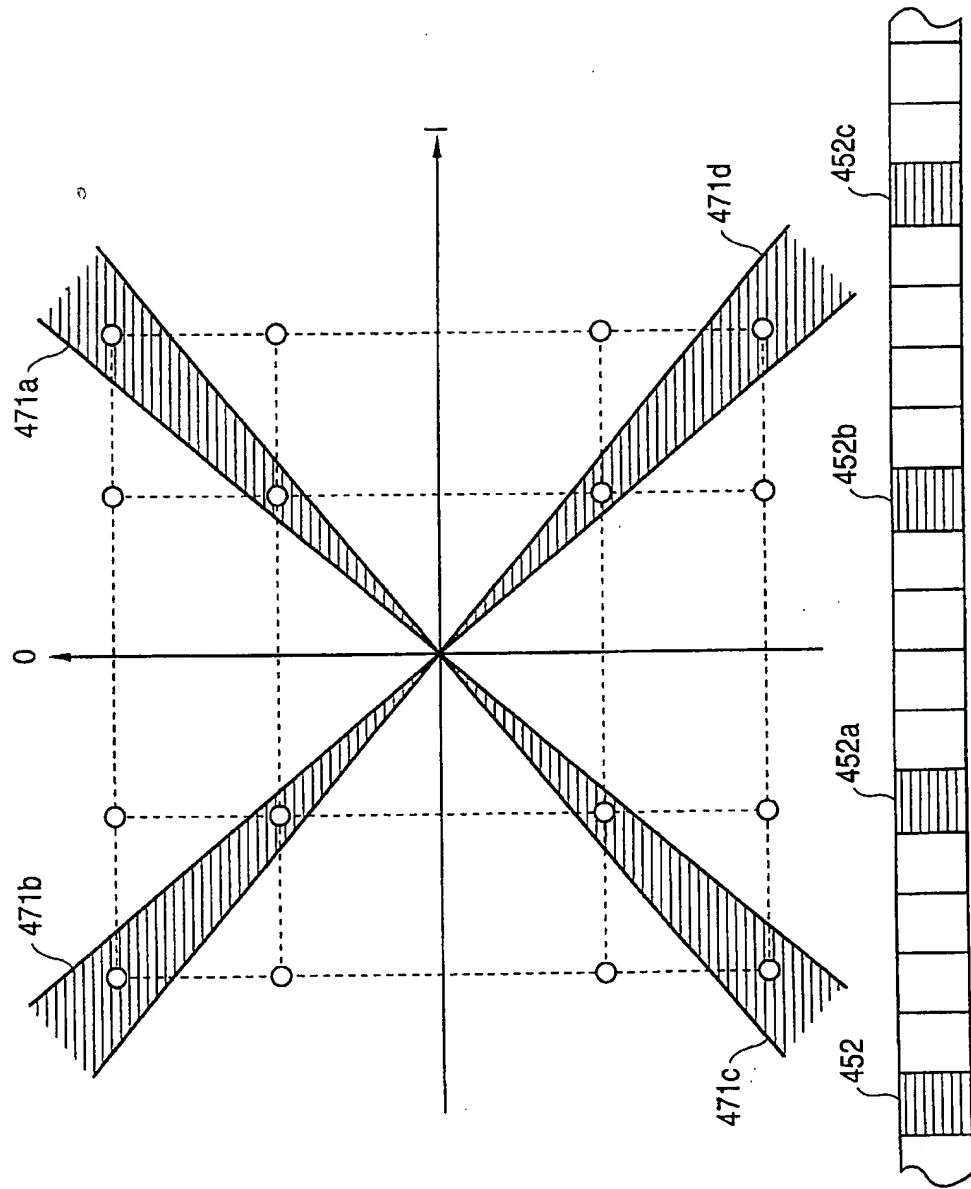
**FIG. 38**

FIG. 39



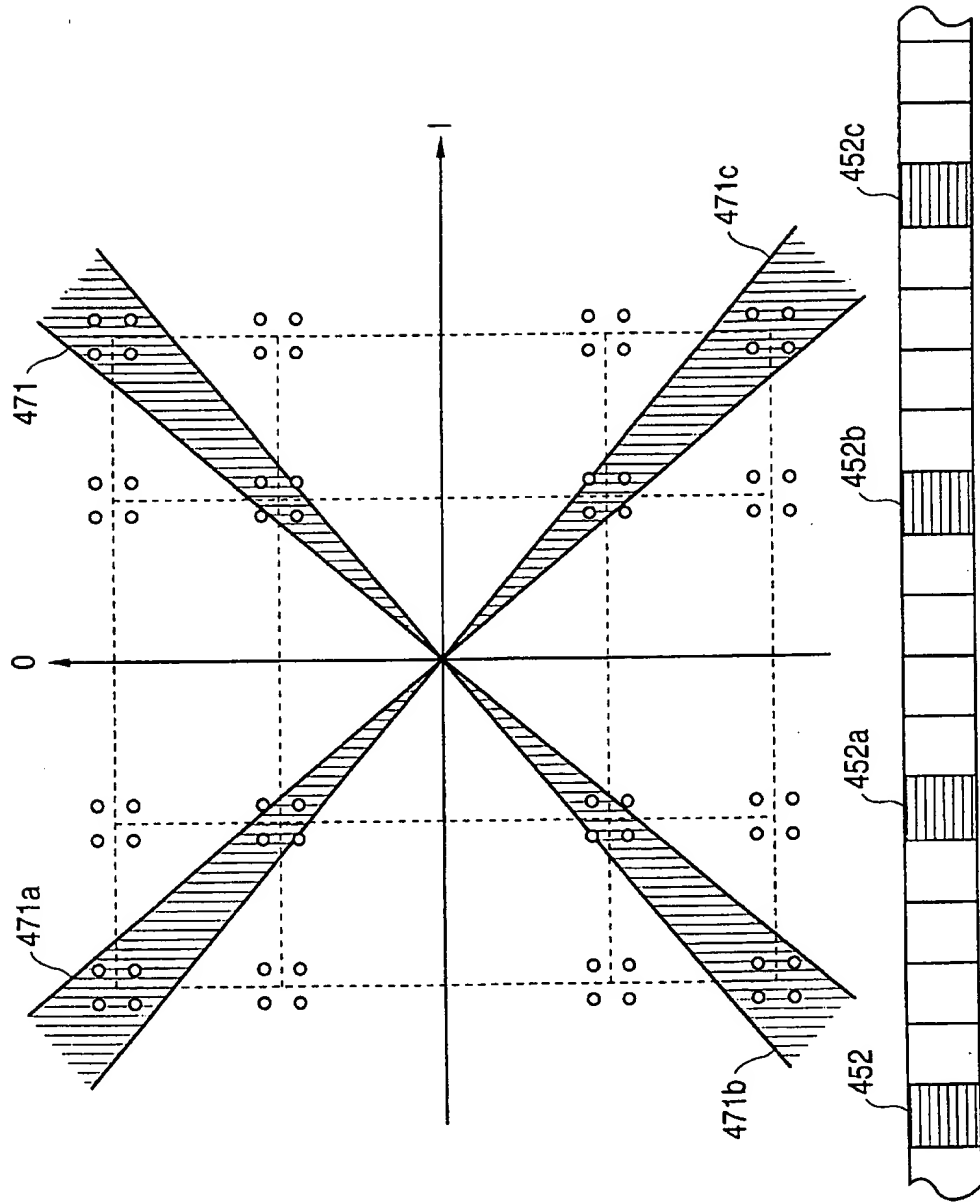
**FIG. 40**

FIG. 41

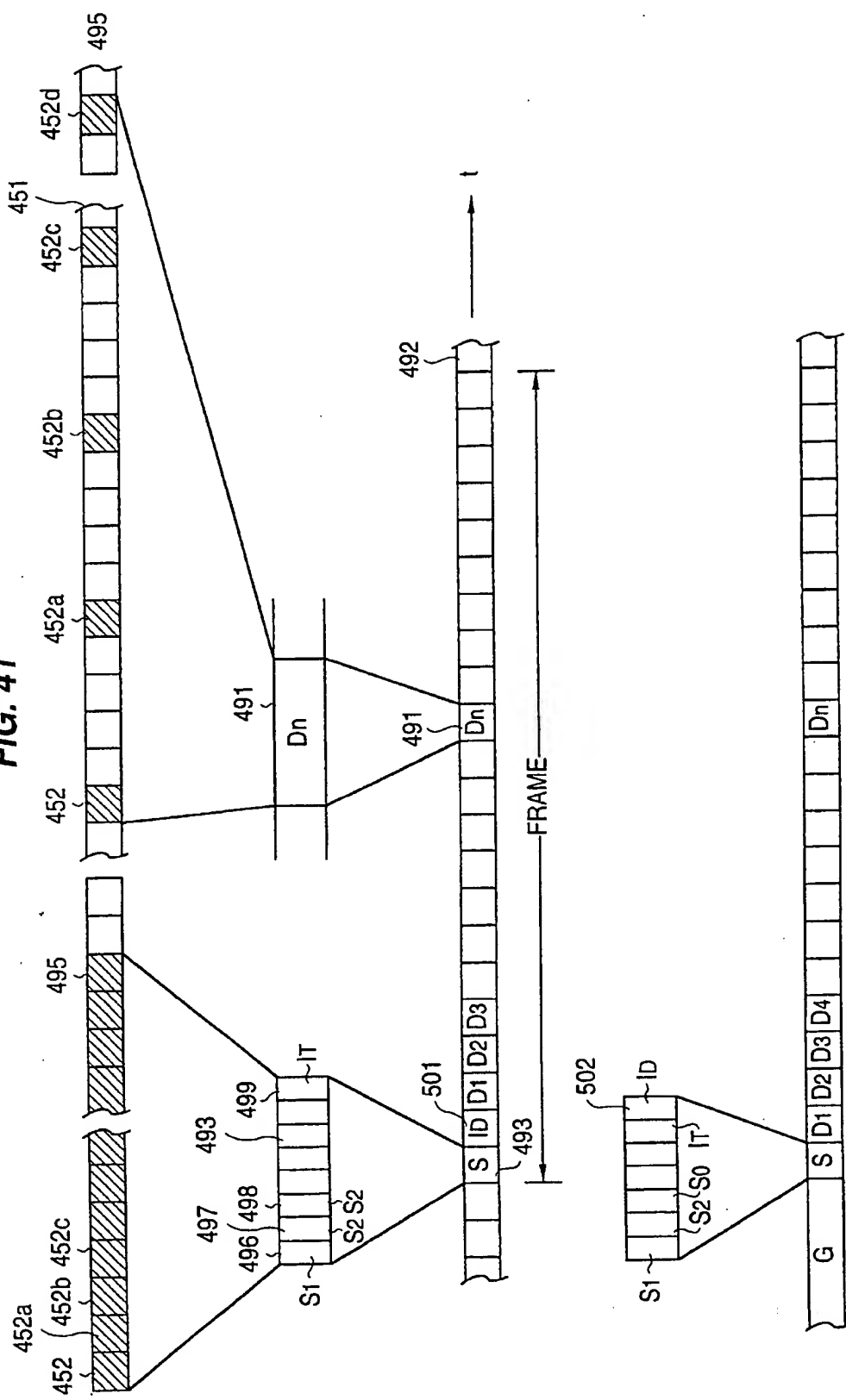


FIG. 42

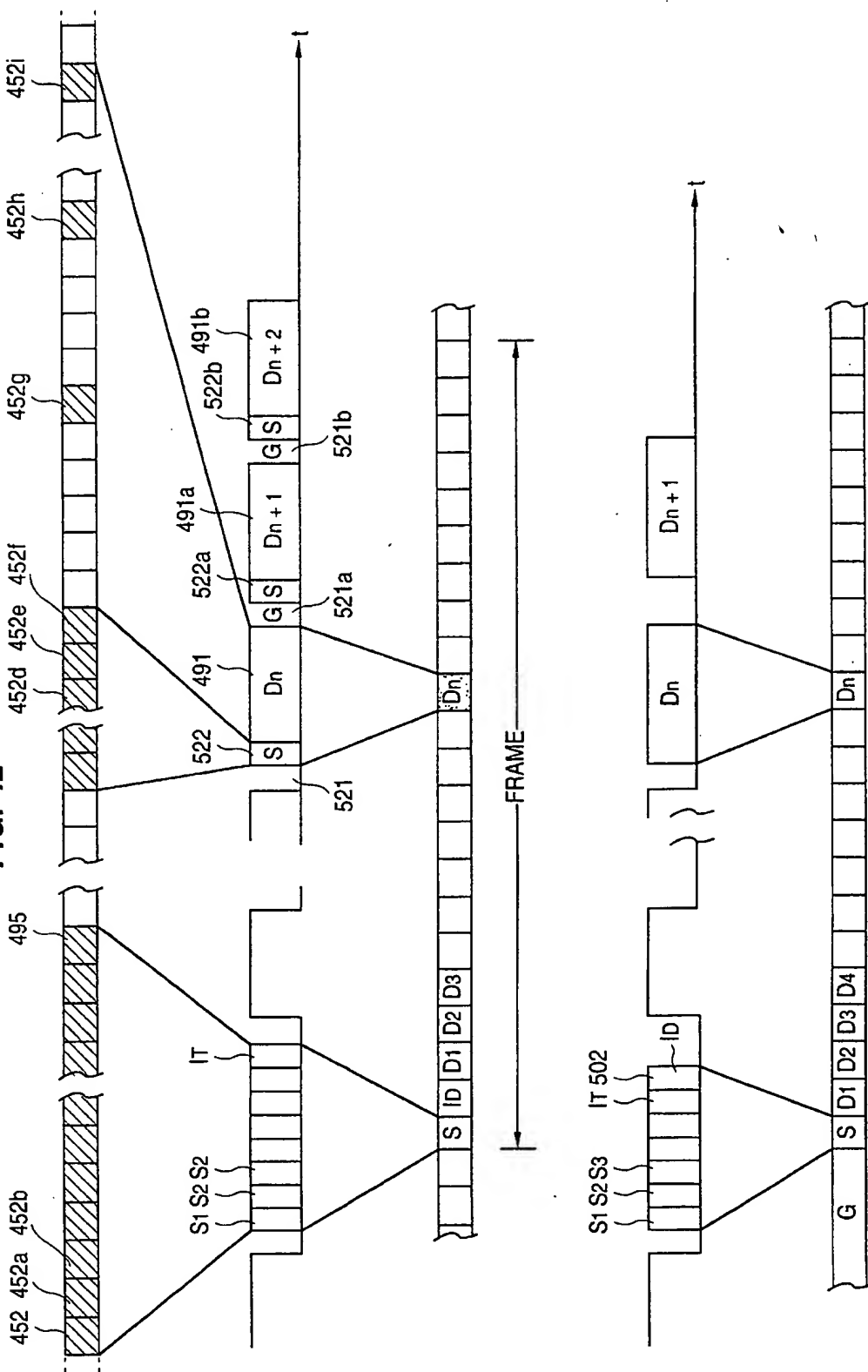
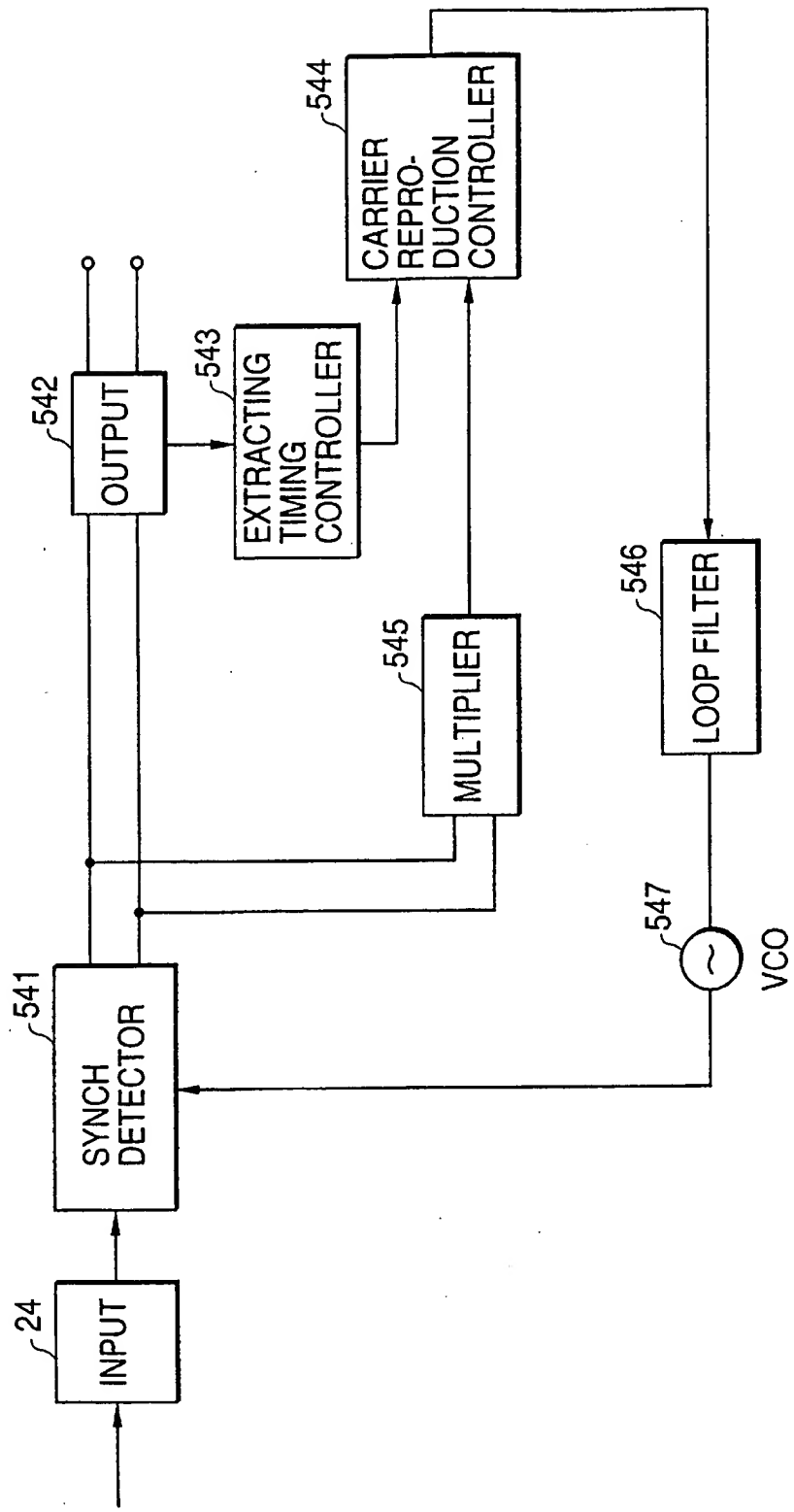
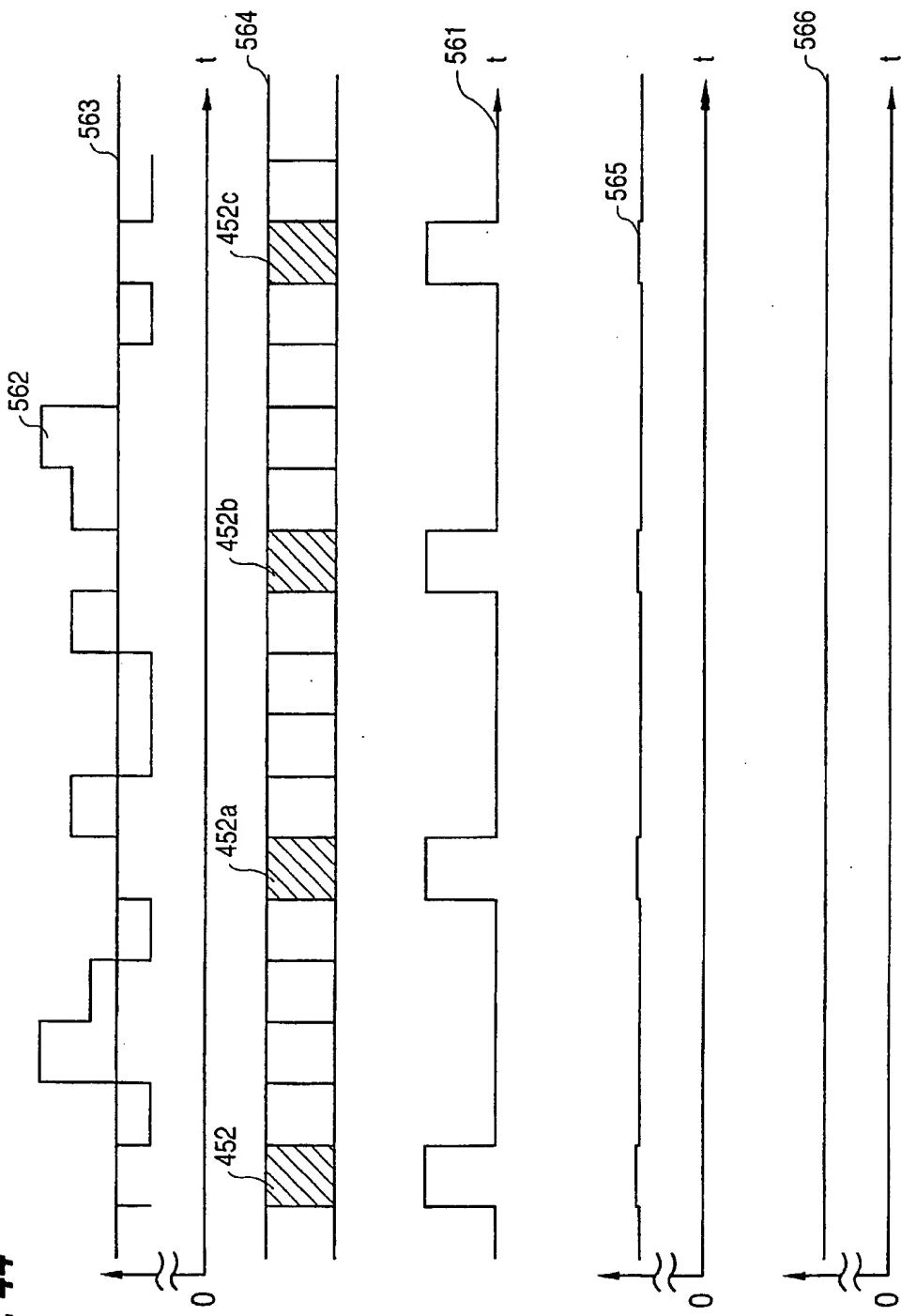
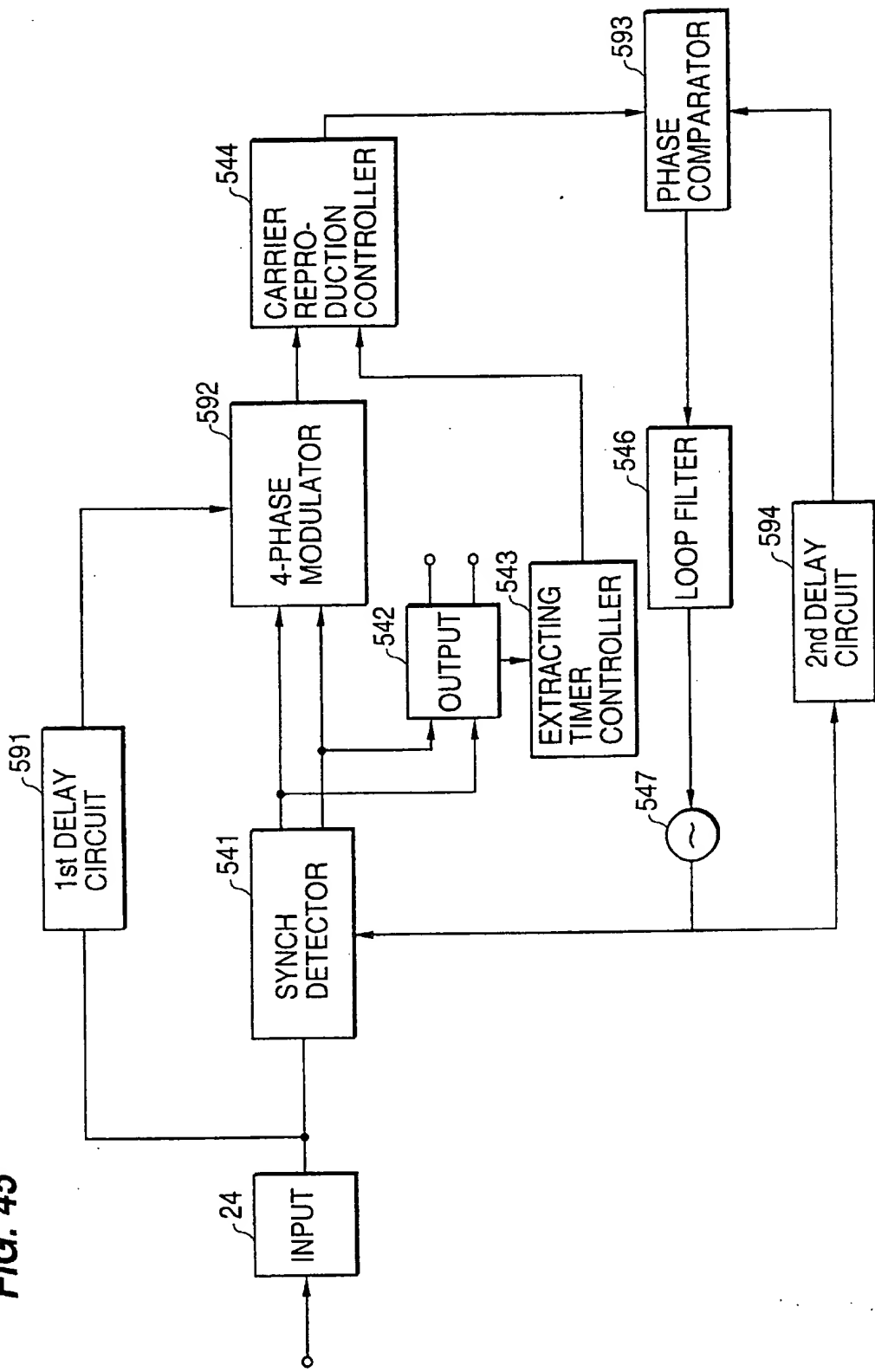
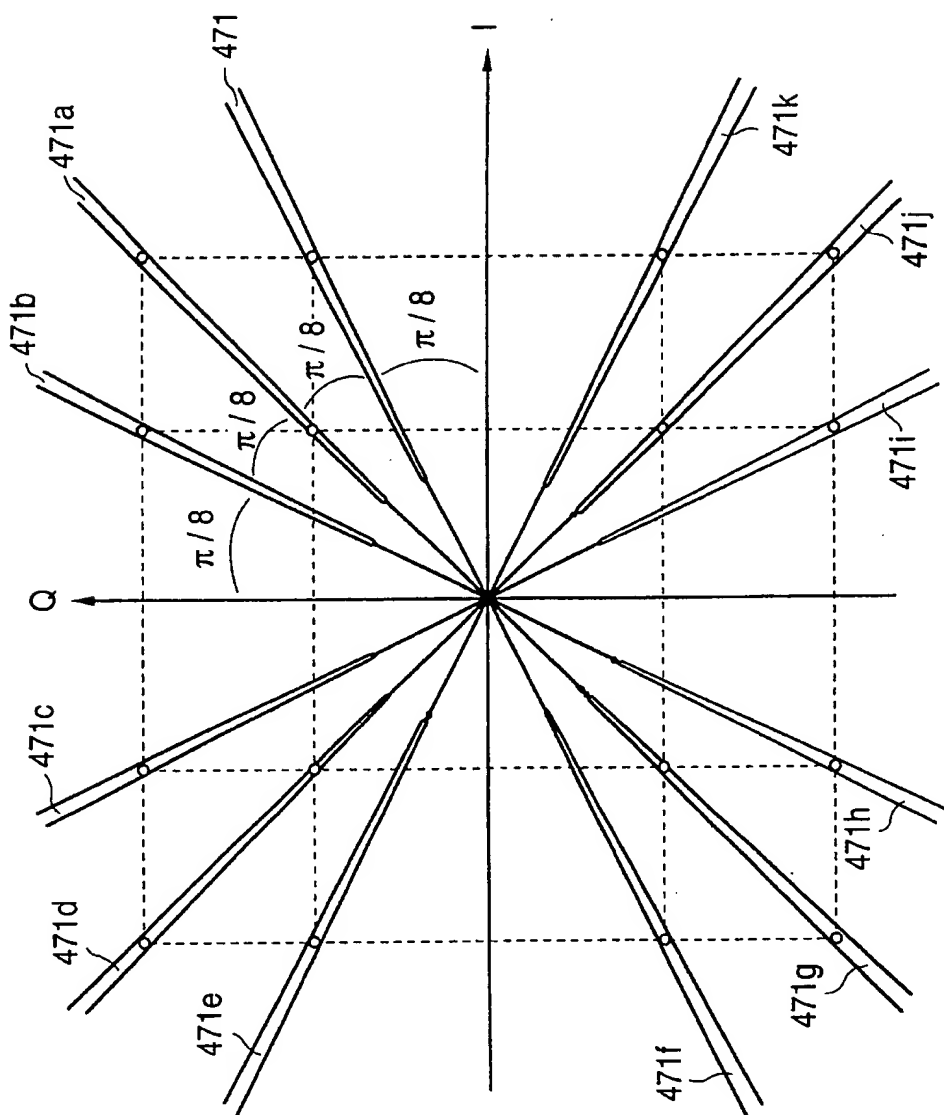


FIG. 43



**FIG. 44**

**FIG. 45**

**FIG. 46**

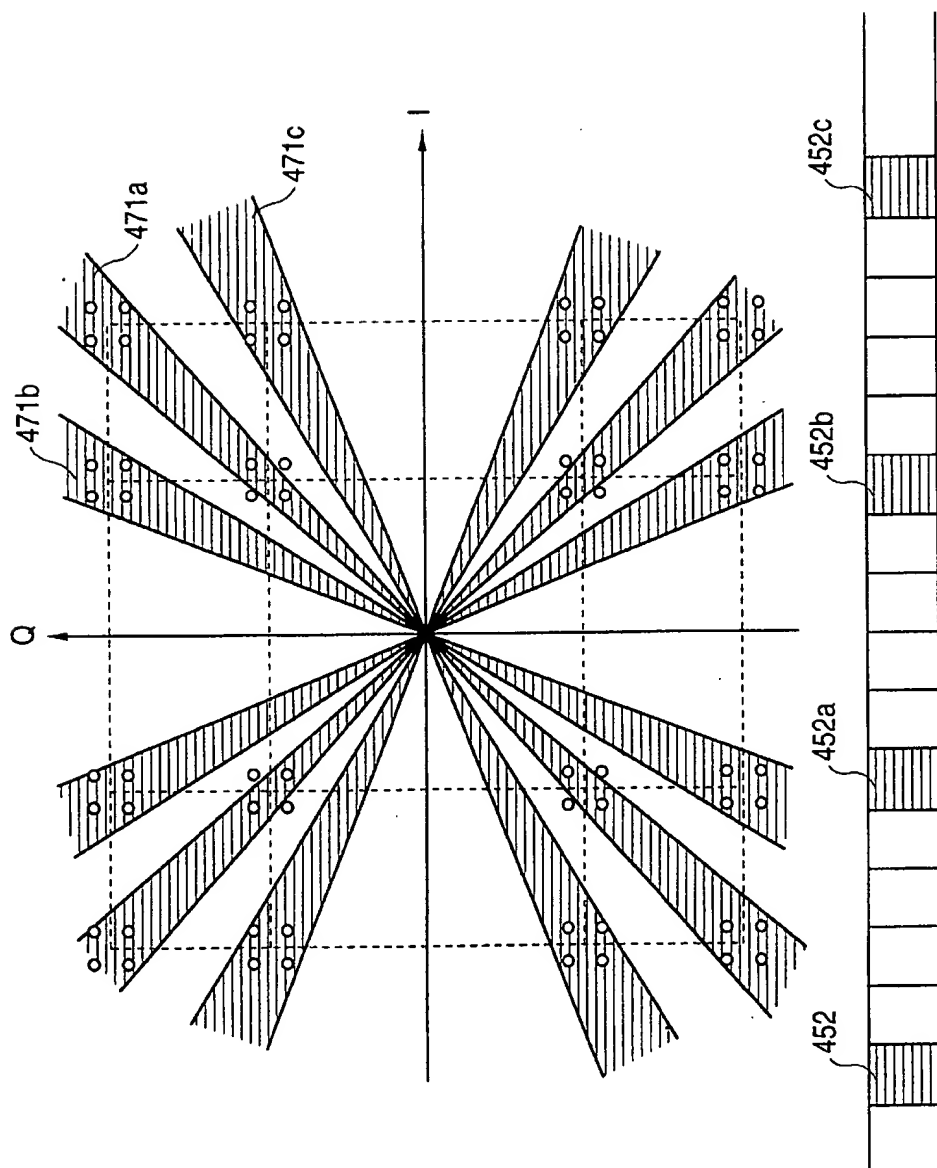


FIG. 47

FIG. 48

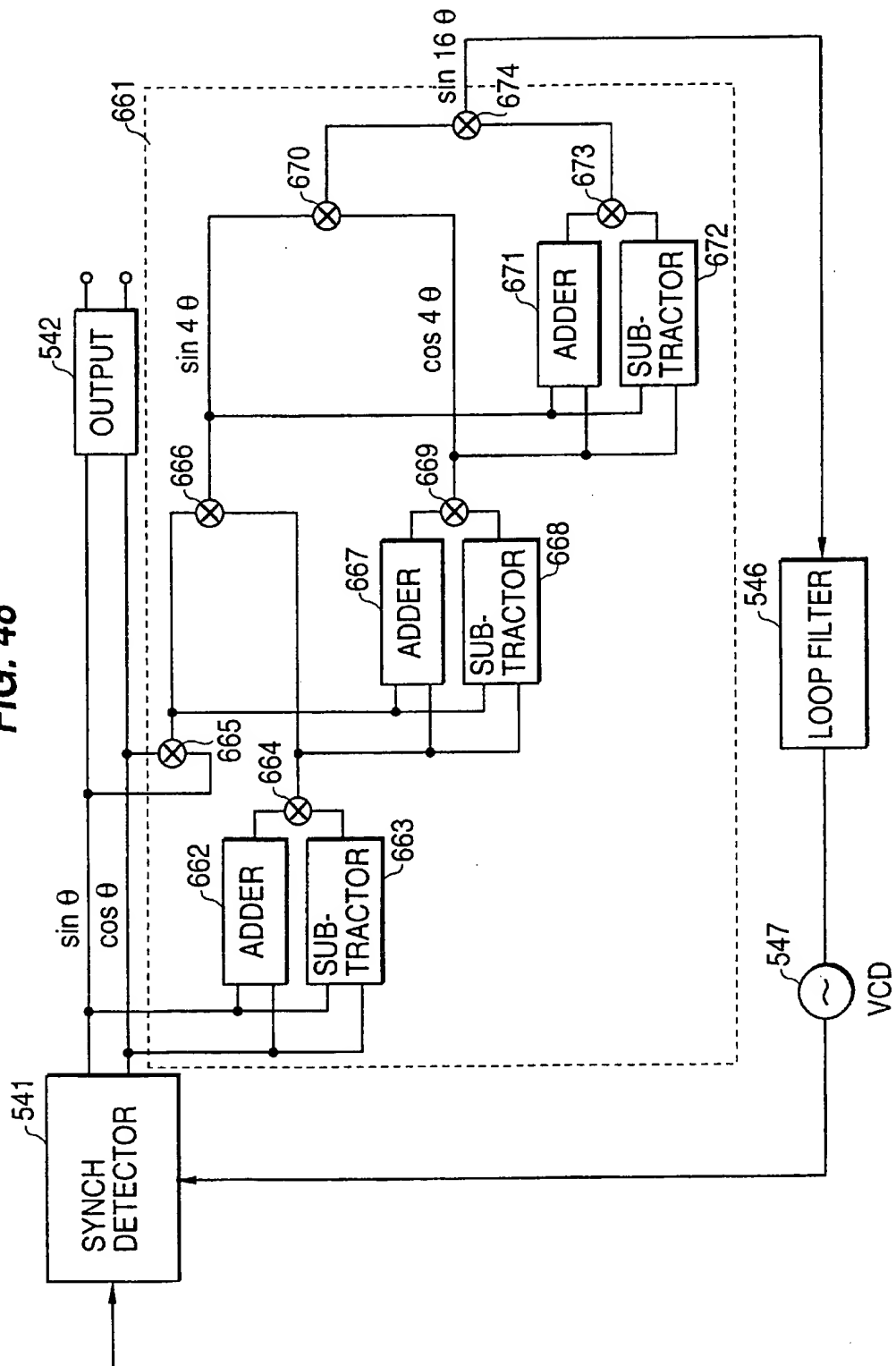
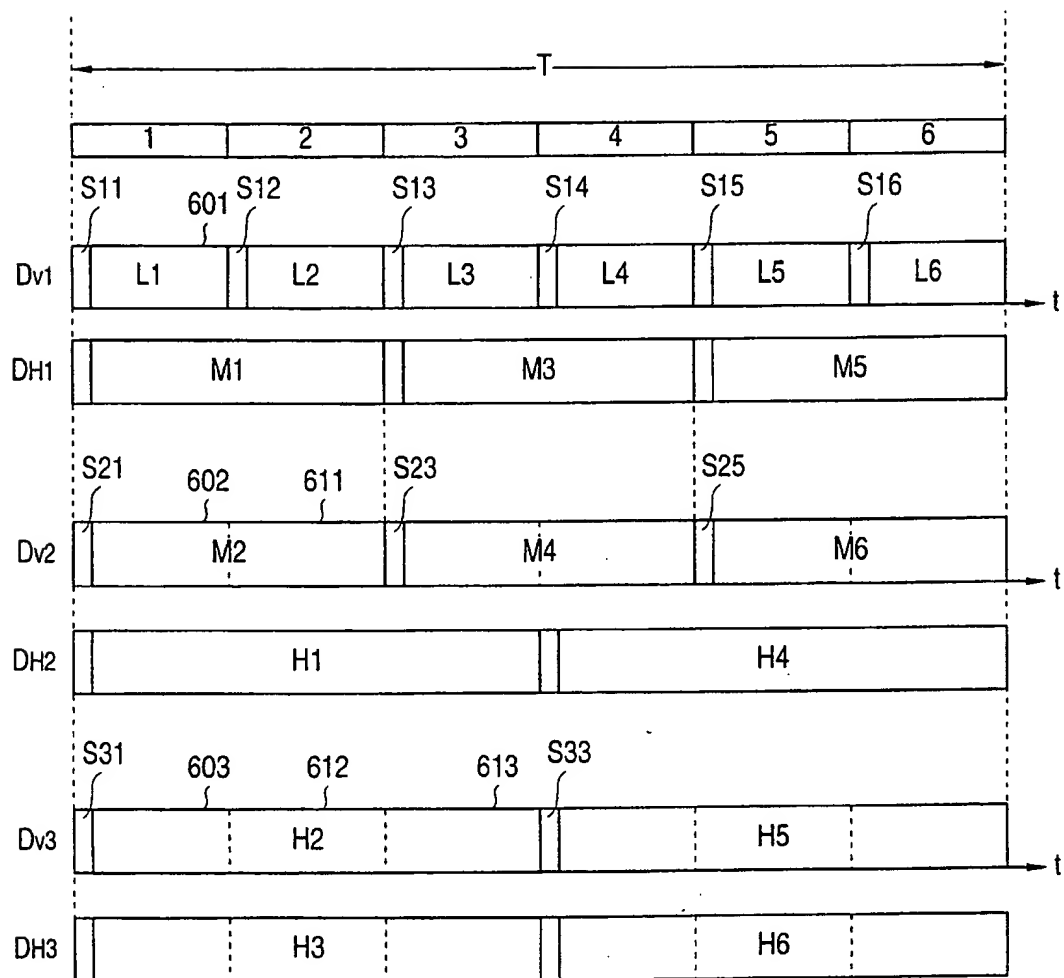
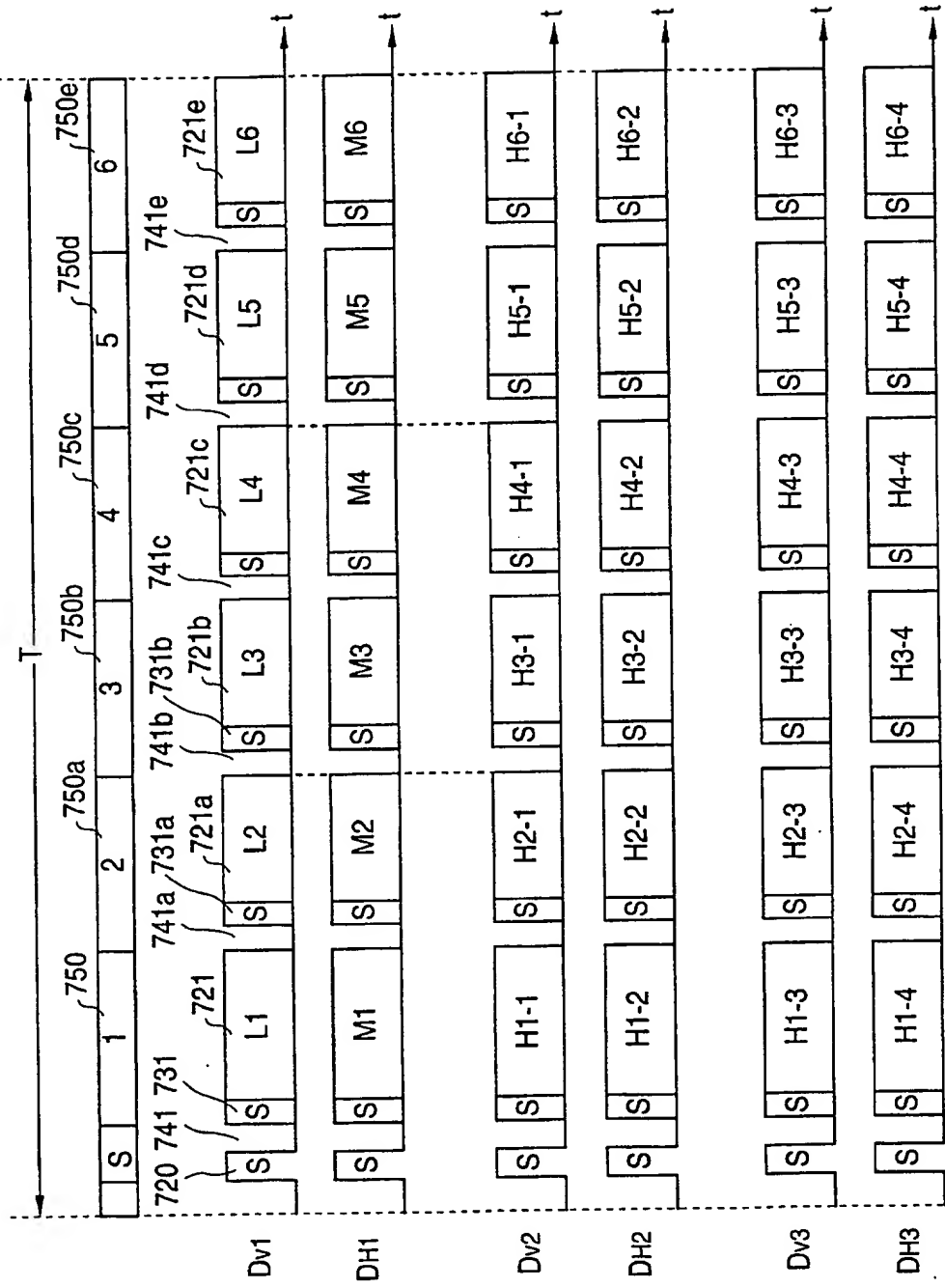
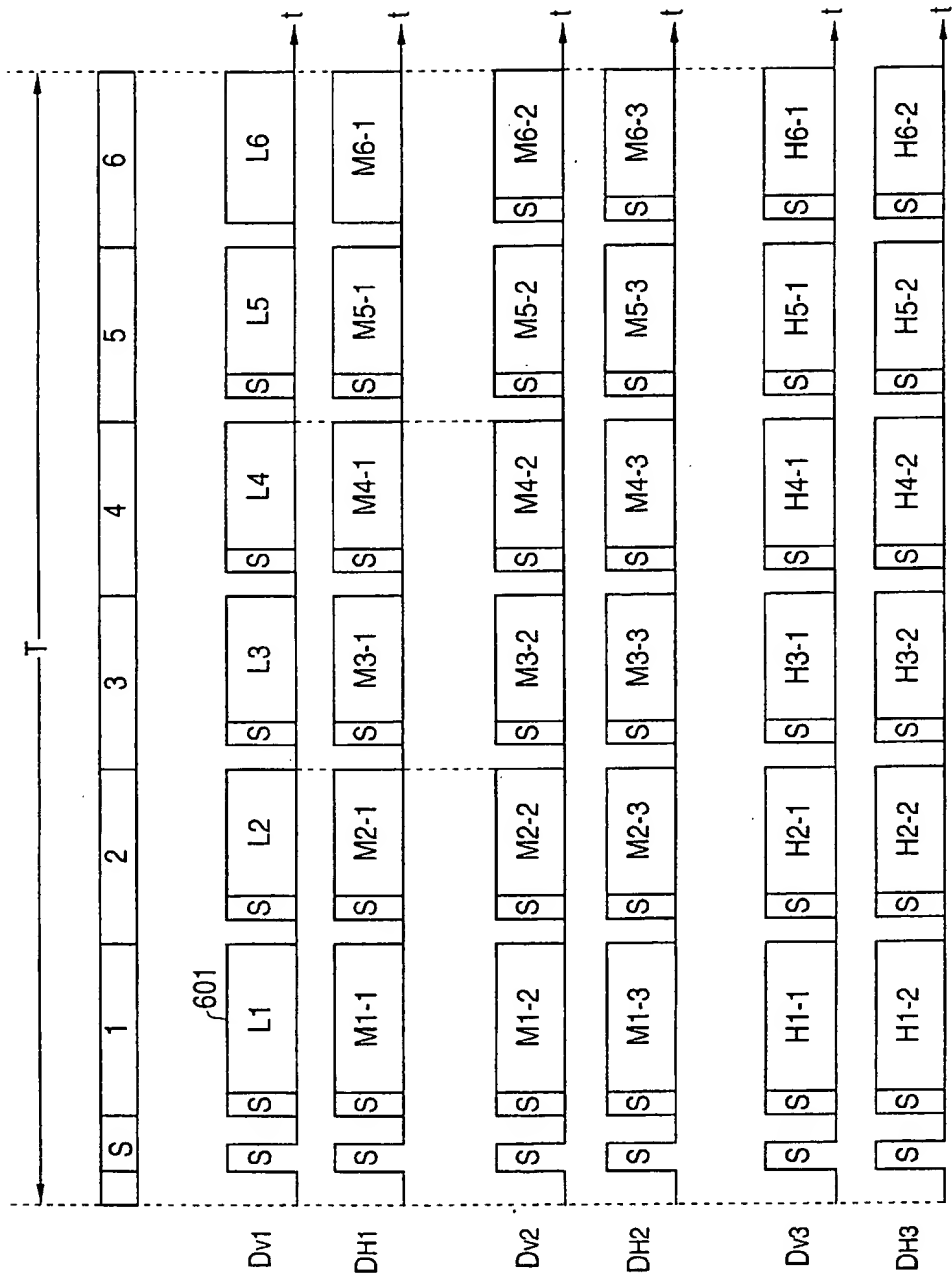


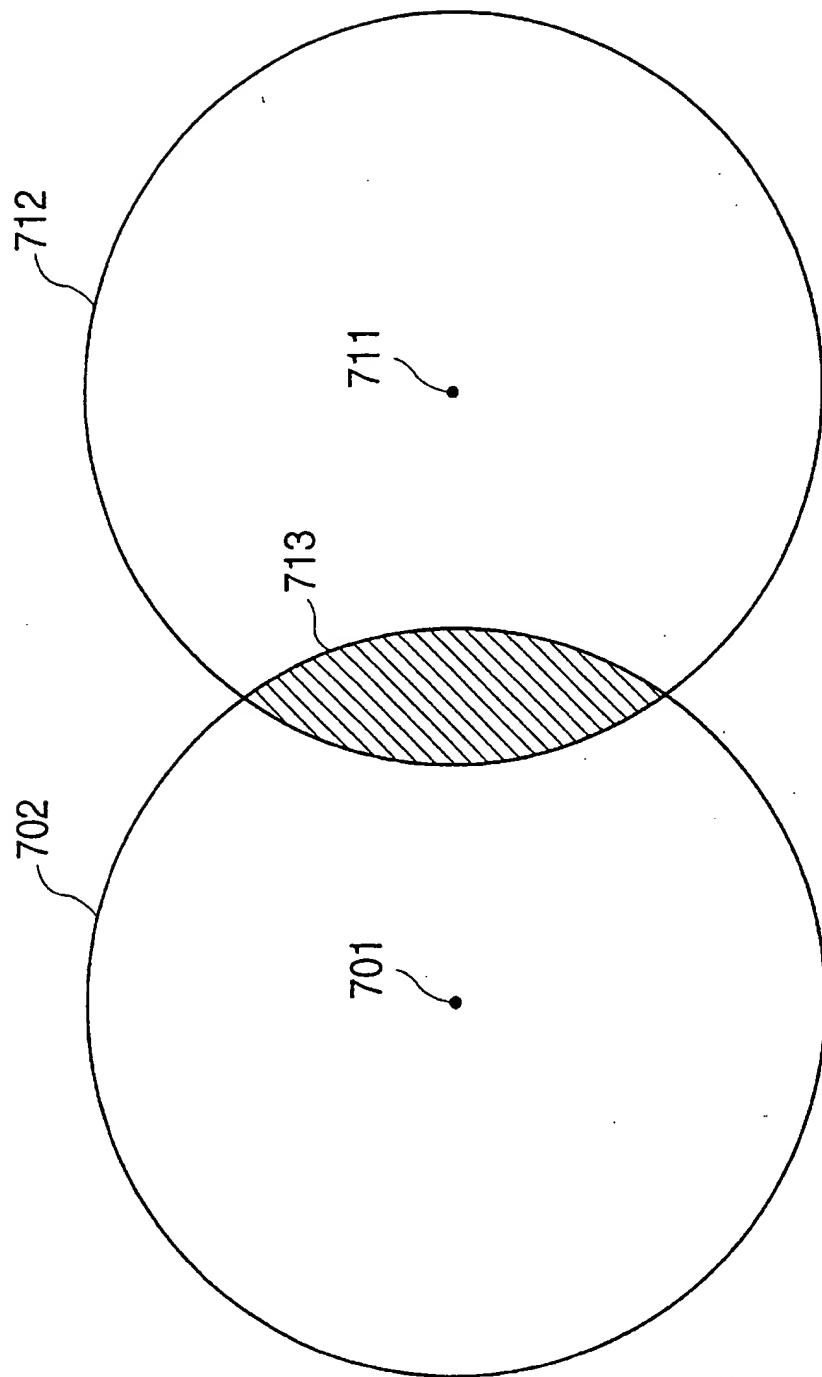
FIG. 49

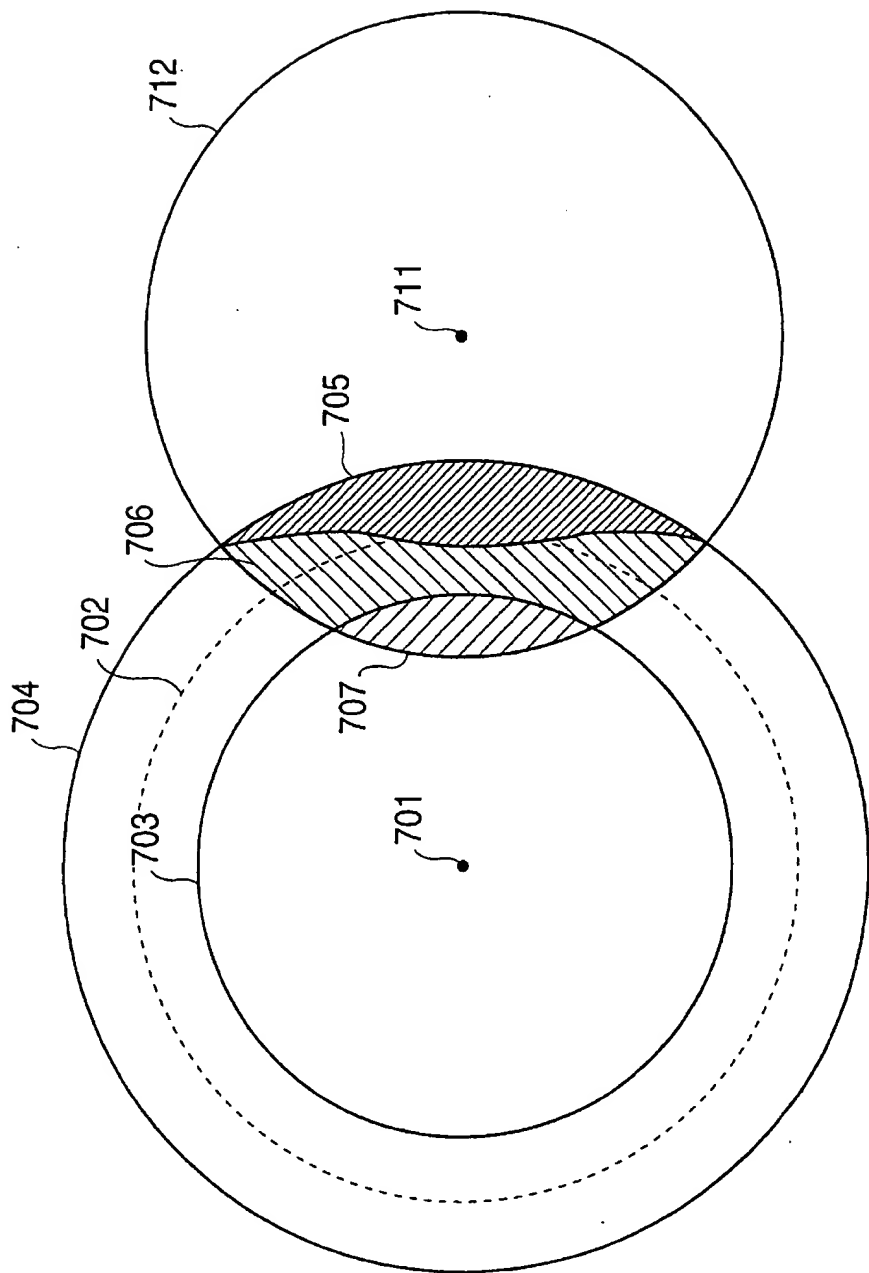


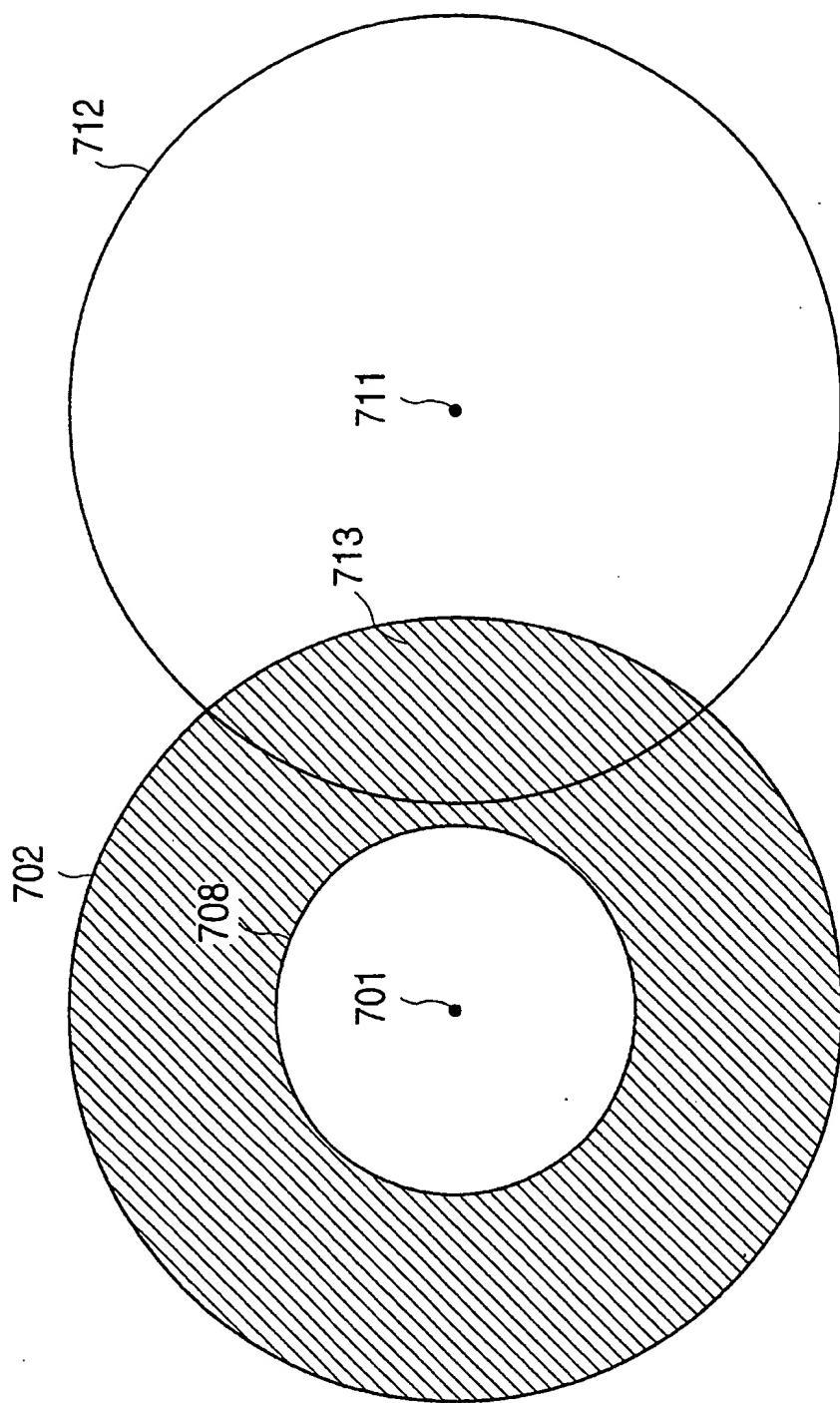
**FIG. 50**

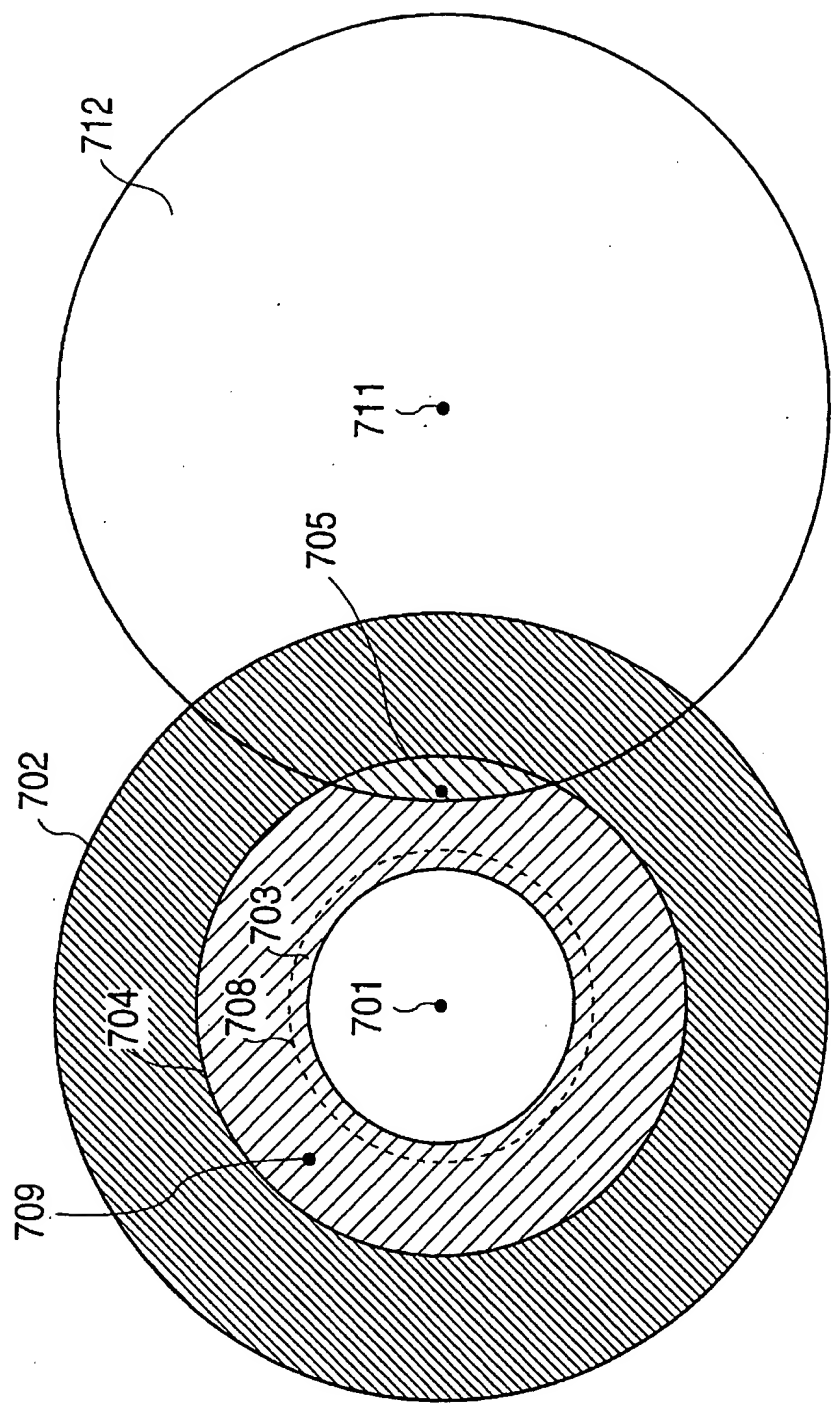
**FIG. 51**

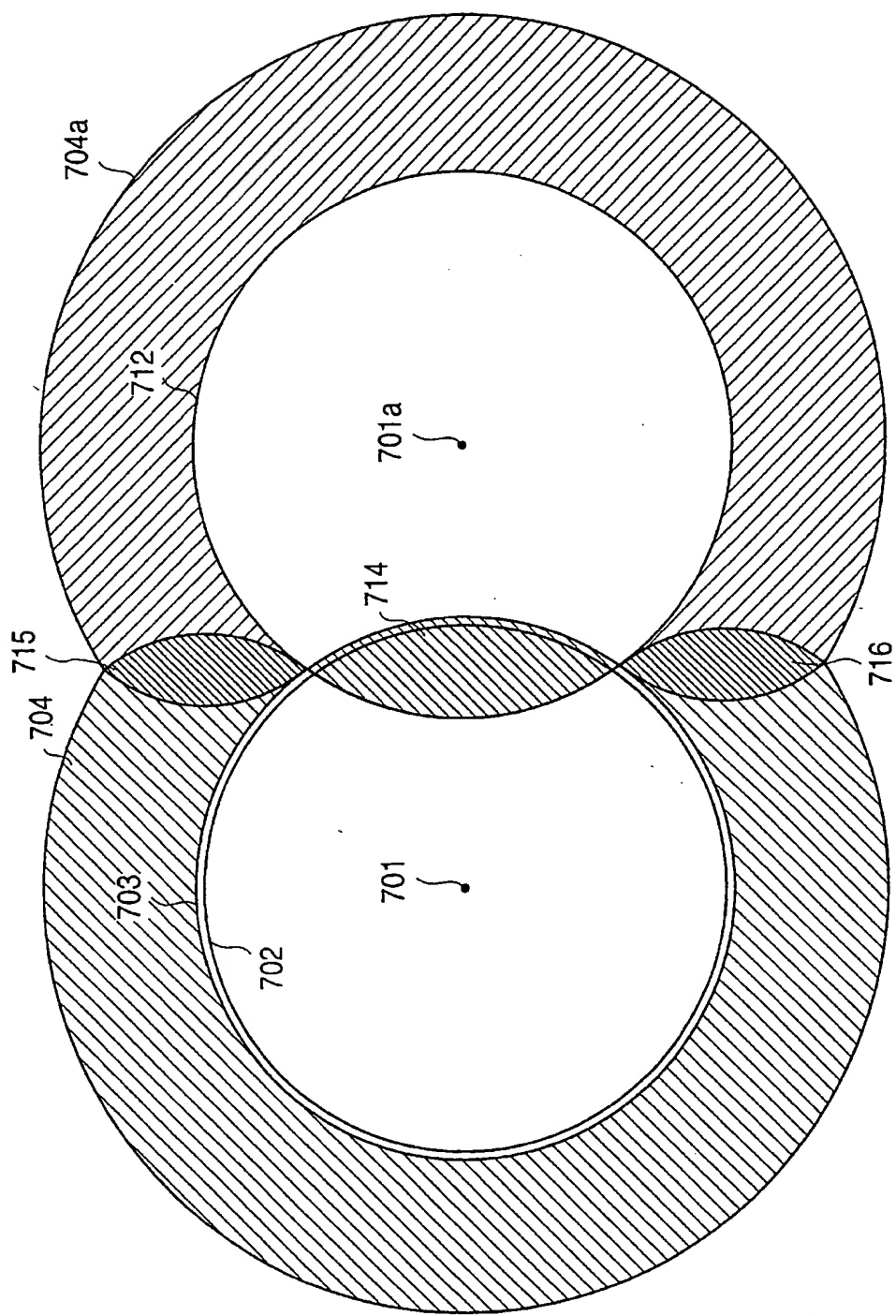
**FIG. 52**

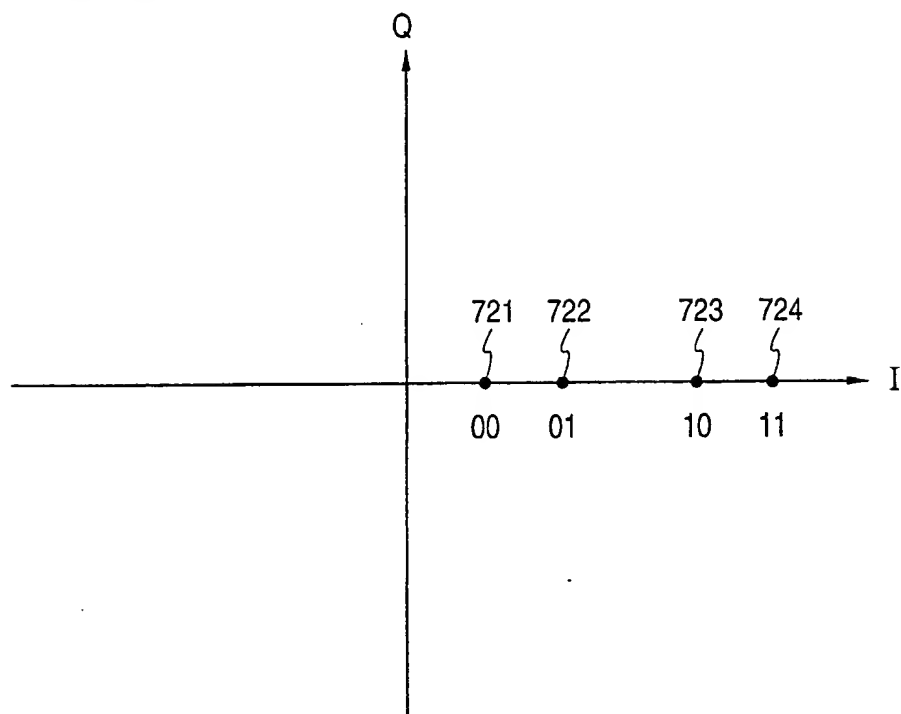
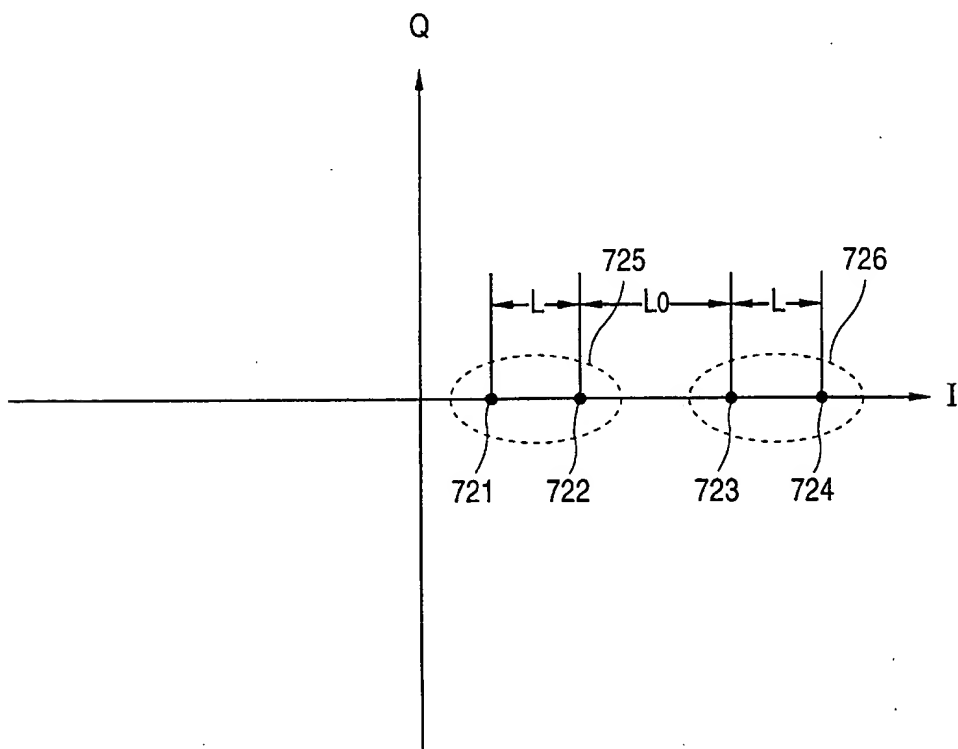


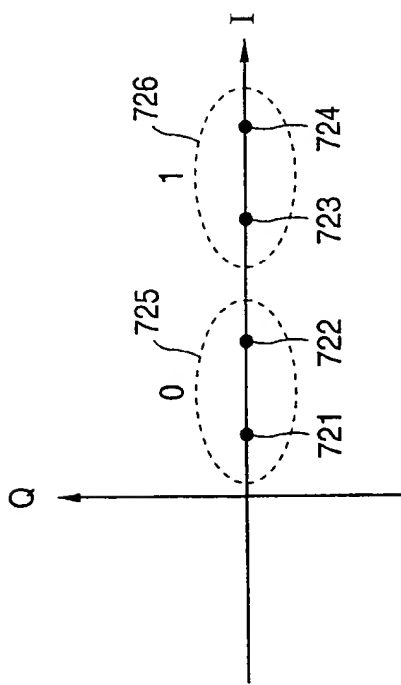
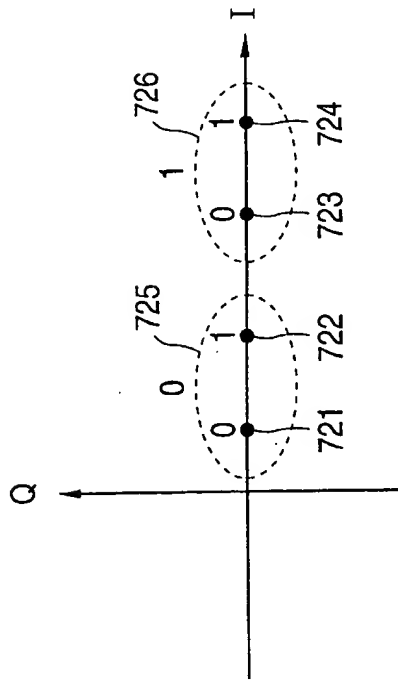
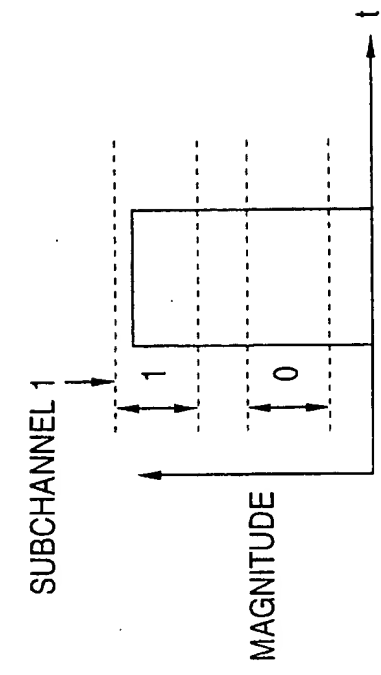
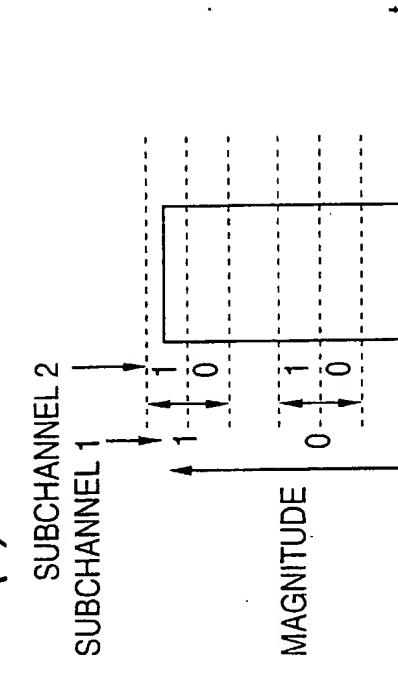
**FIG. 53**

**FIG. 54**

**FIG. 55**

**FIG. 56**

**FIG. 57****FIG. 58**

**FIG. 59(a)****FIG. 59(b)****FIG. 59(c)****FIG. 59(d)**

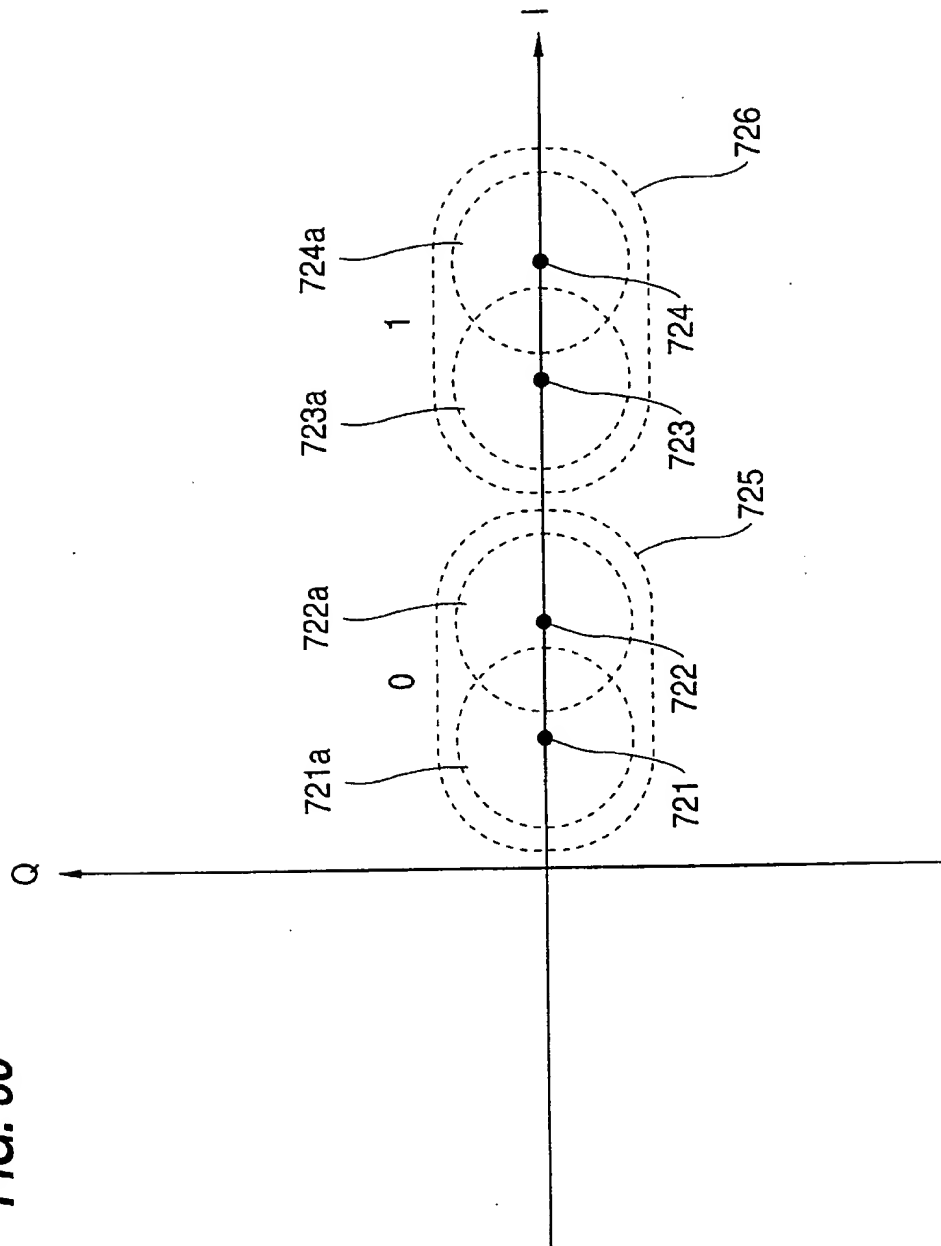
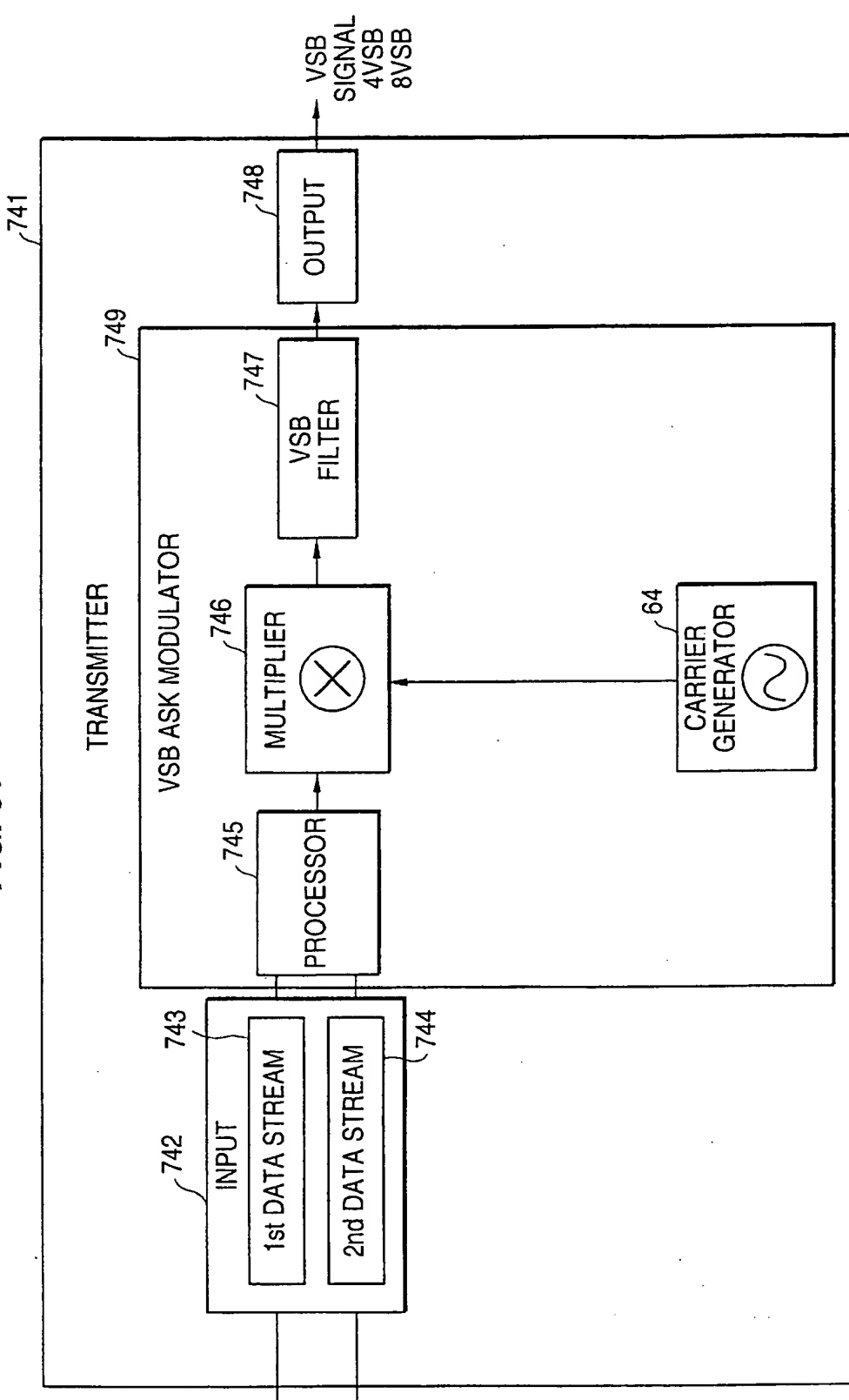
**FIG. 60**

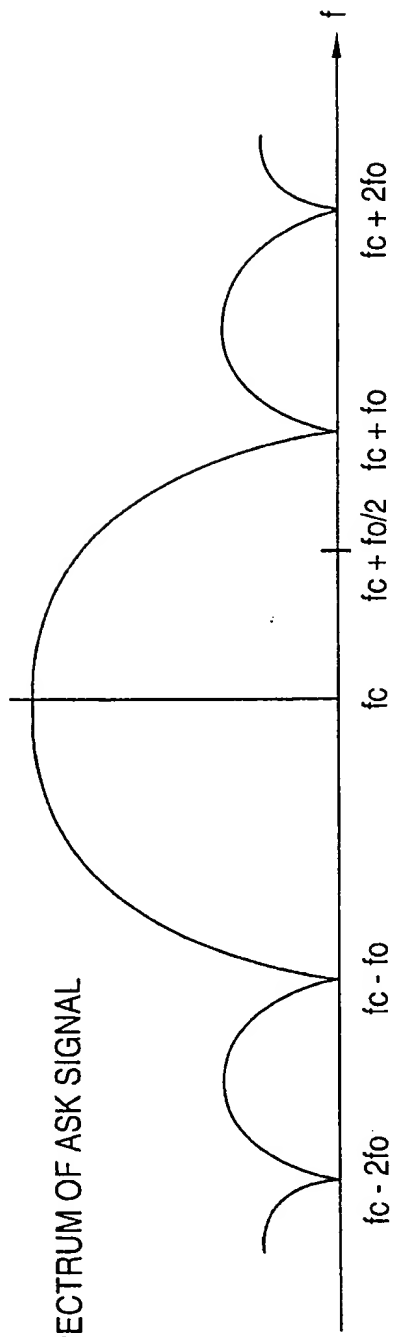
FIG. 61



*FIG. 62(a)*

CARRIER

SPECTRUM OF ASK SIGNAL



*FIG. 62(b)*

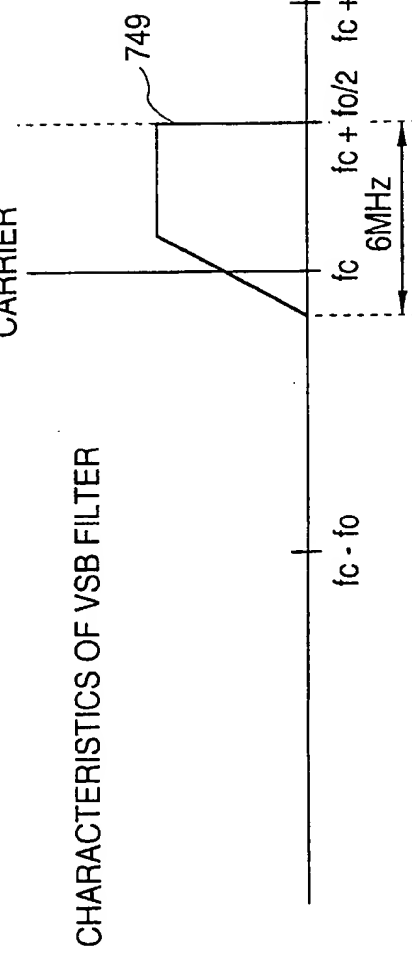
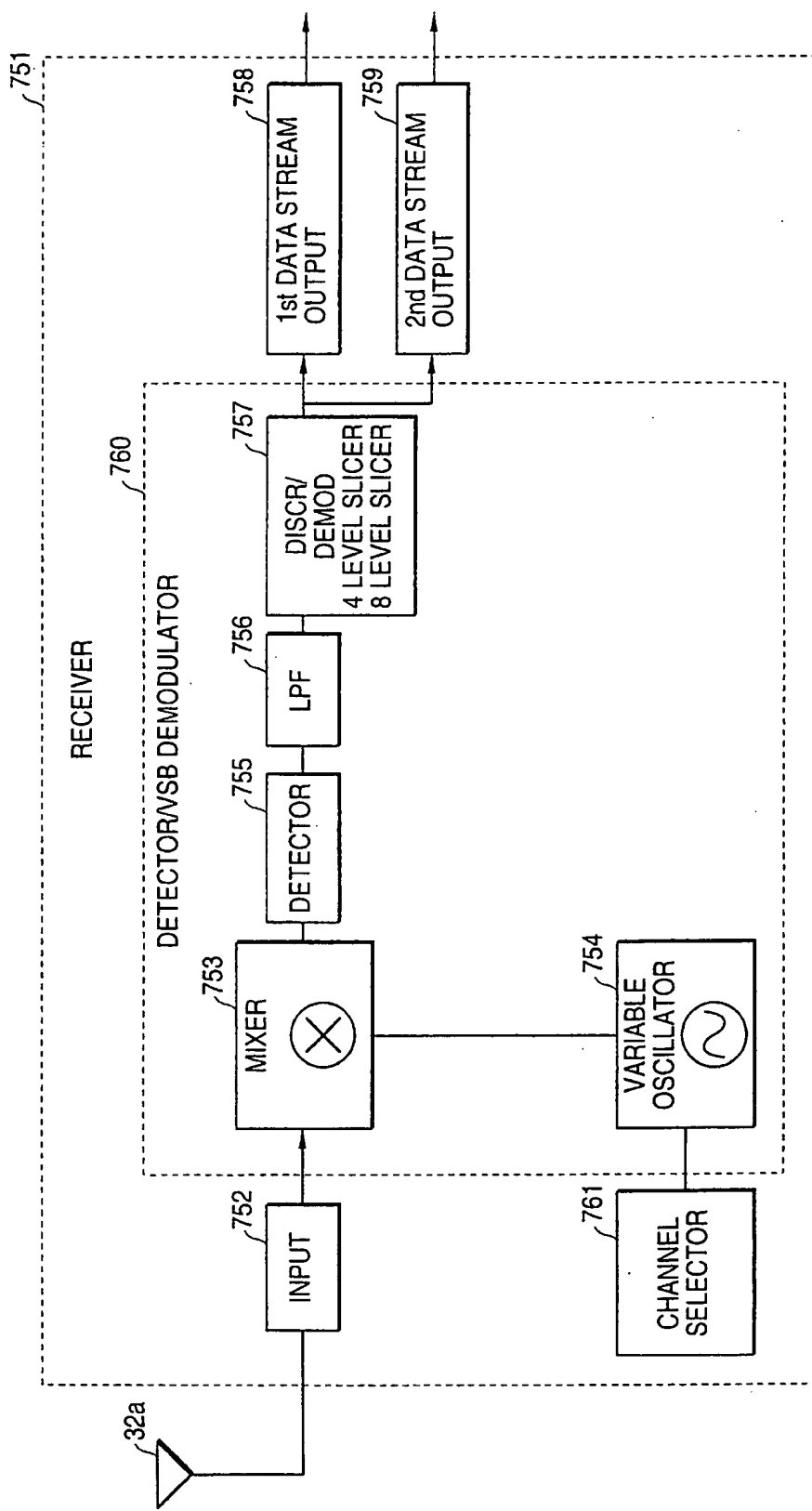


FIG. 63



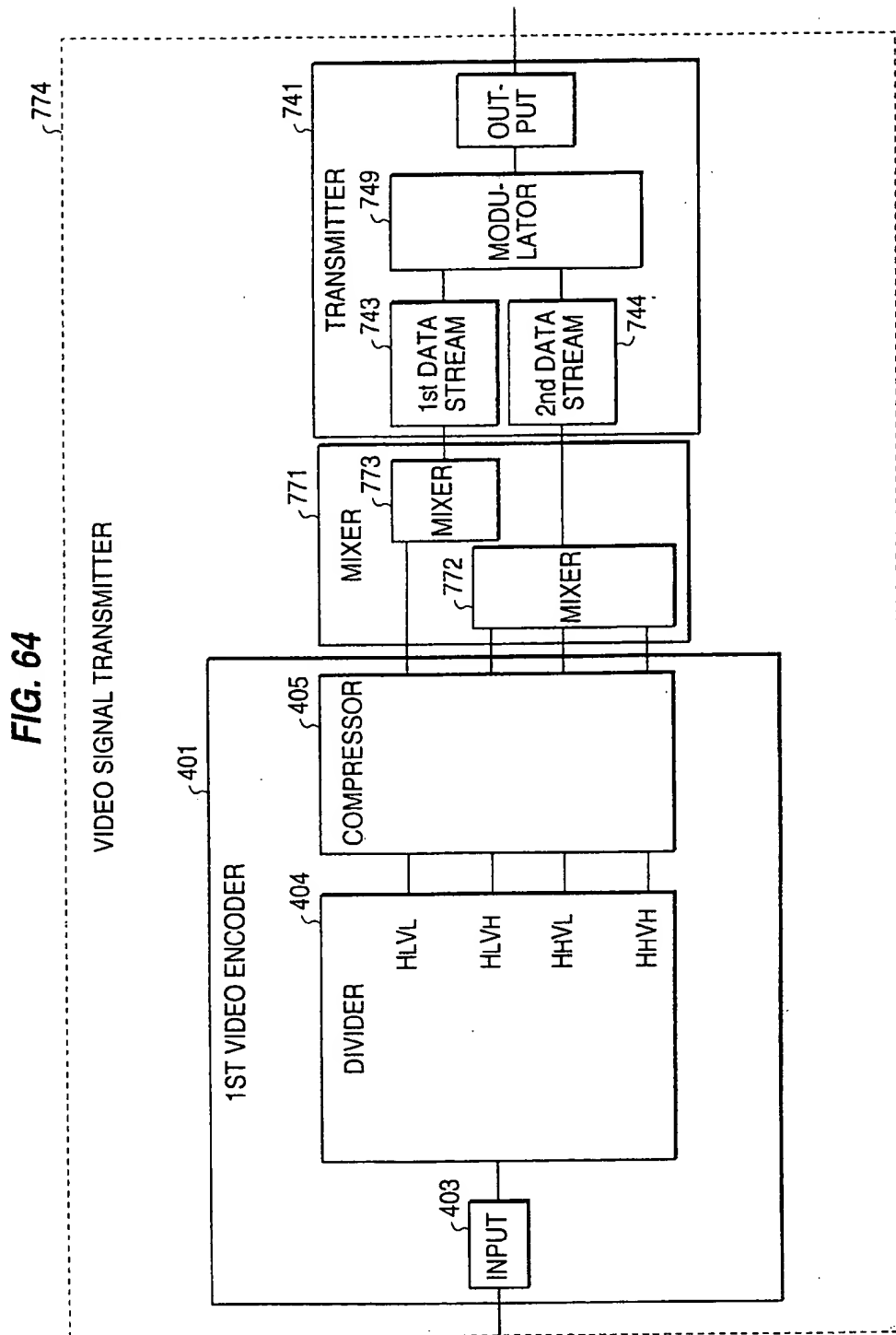


FIG. 65

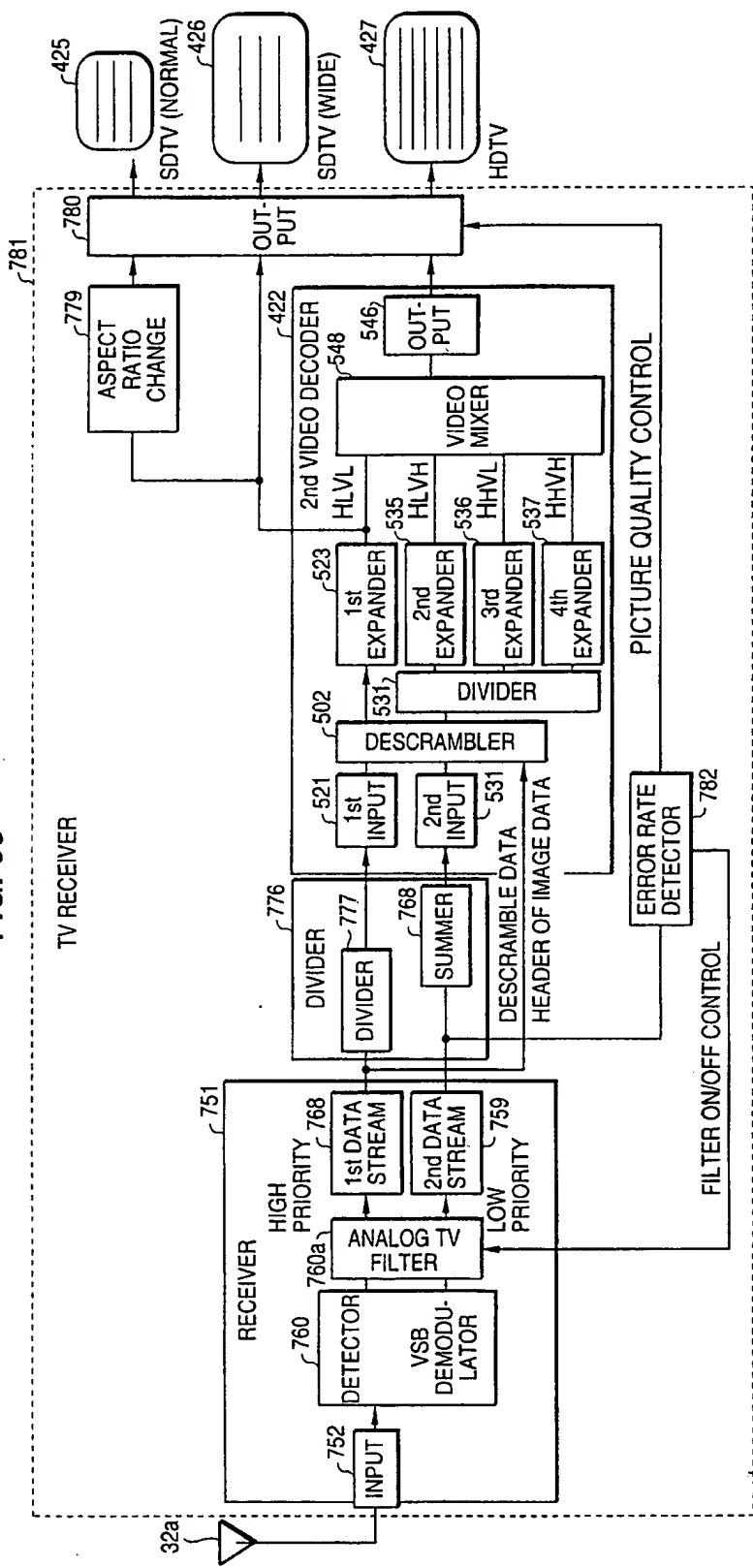
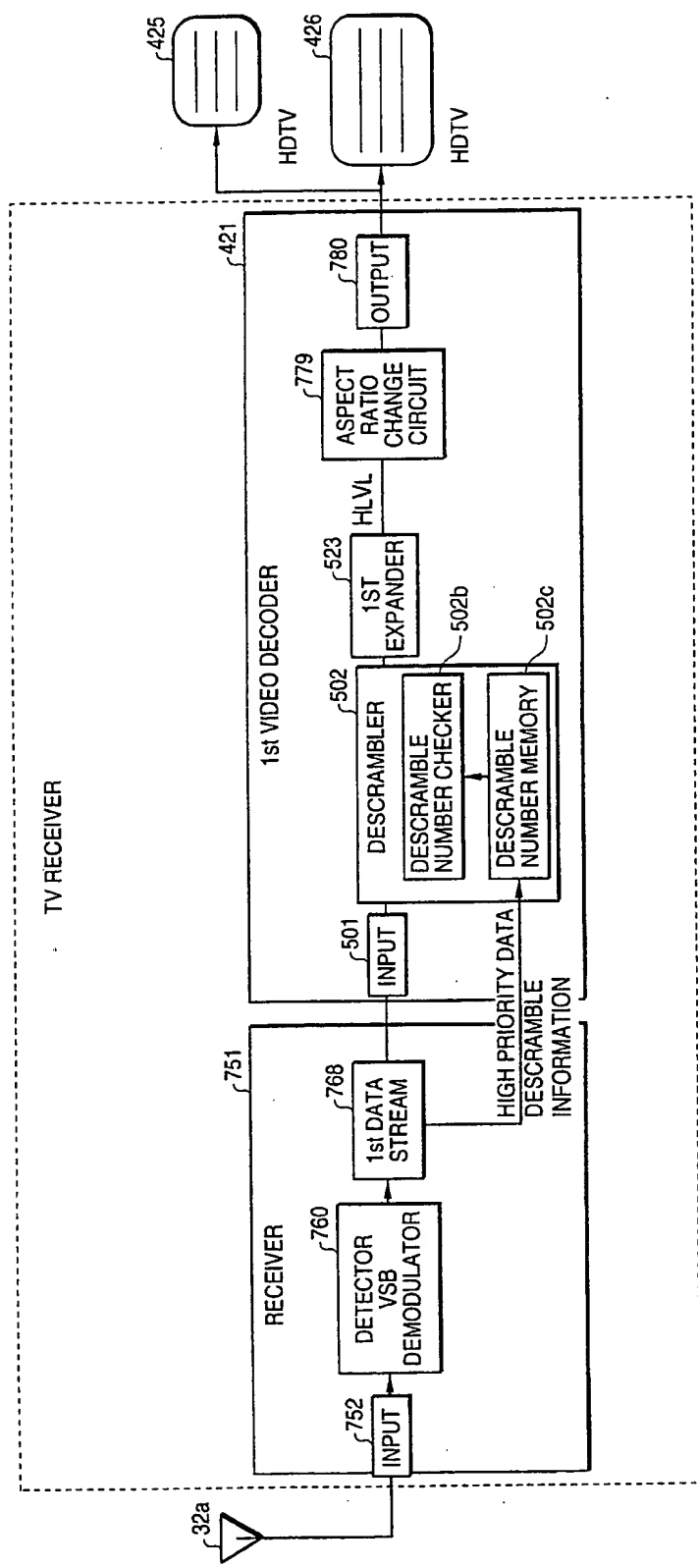
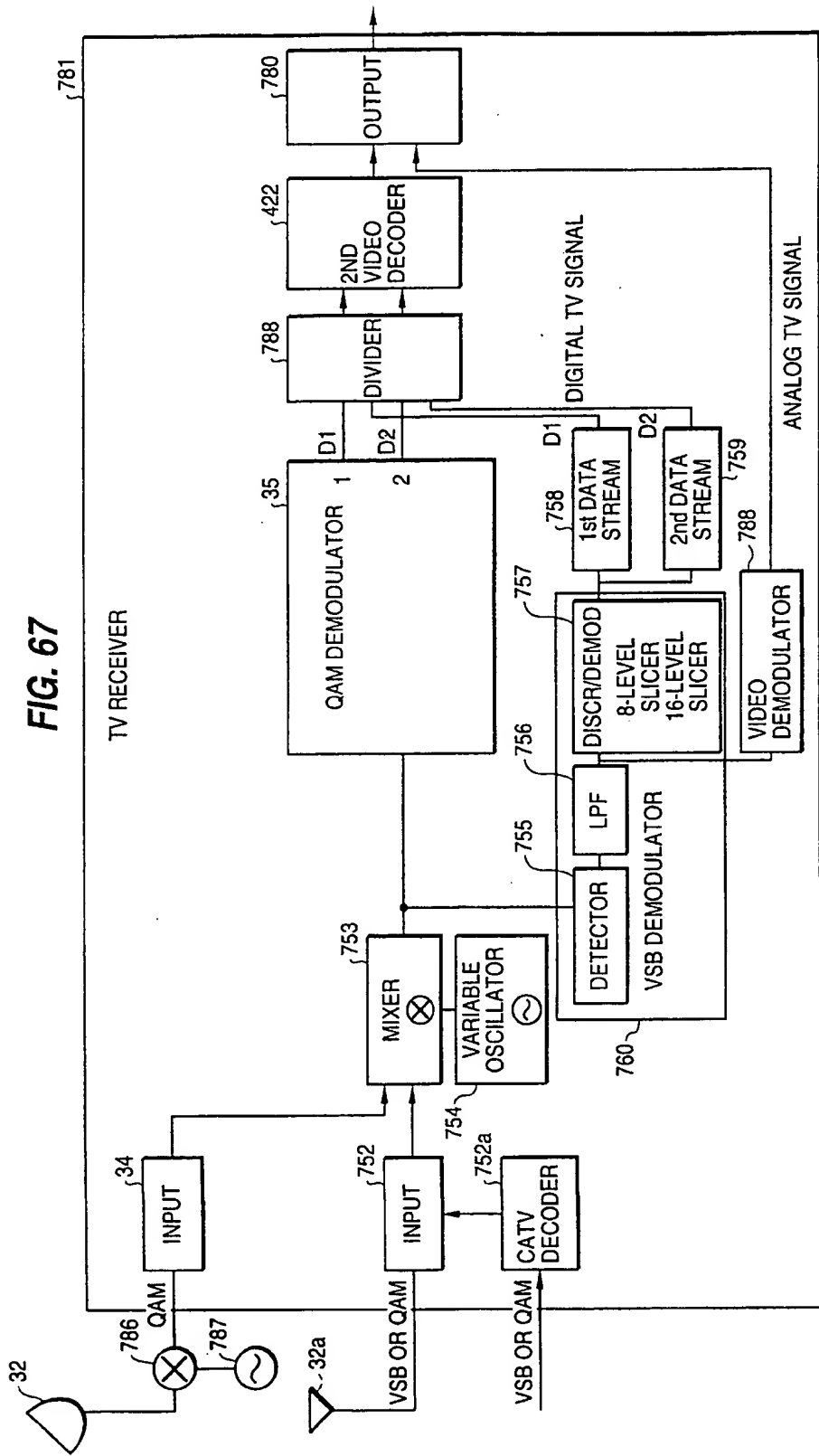
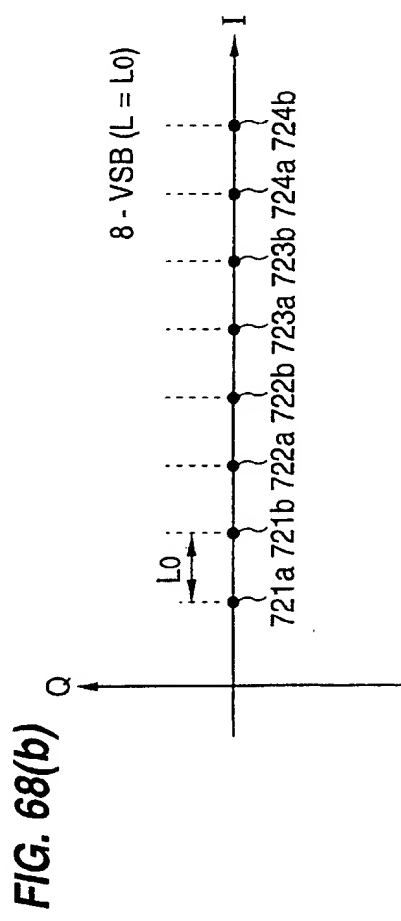
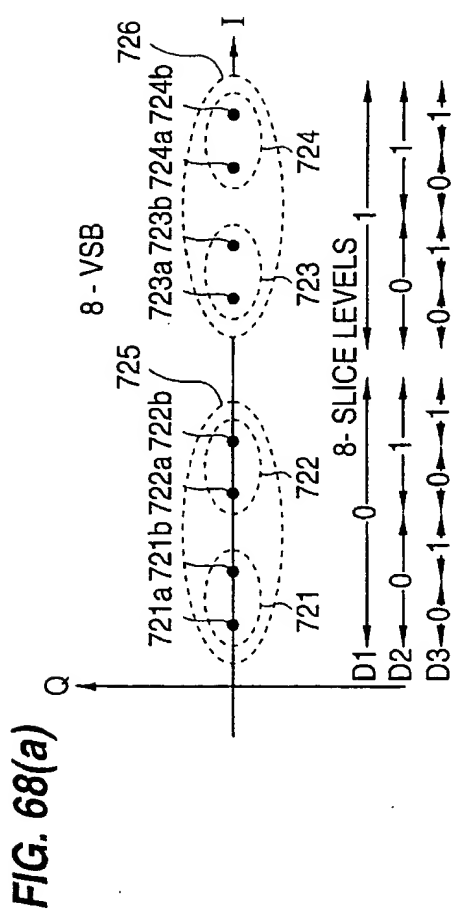


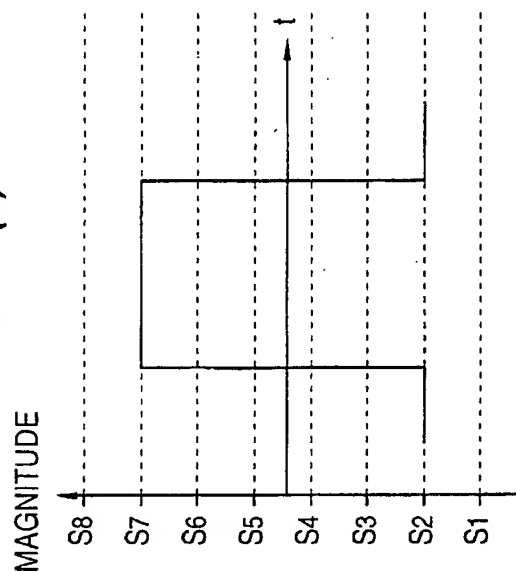
FIG. 66

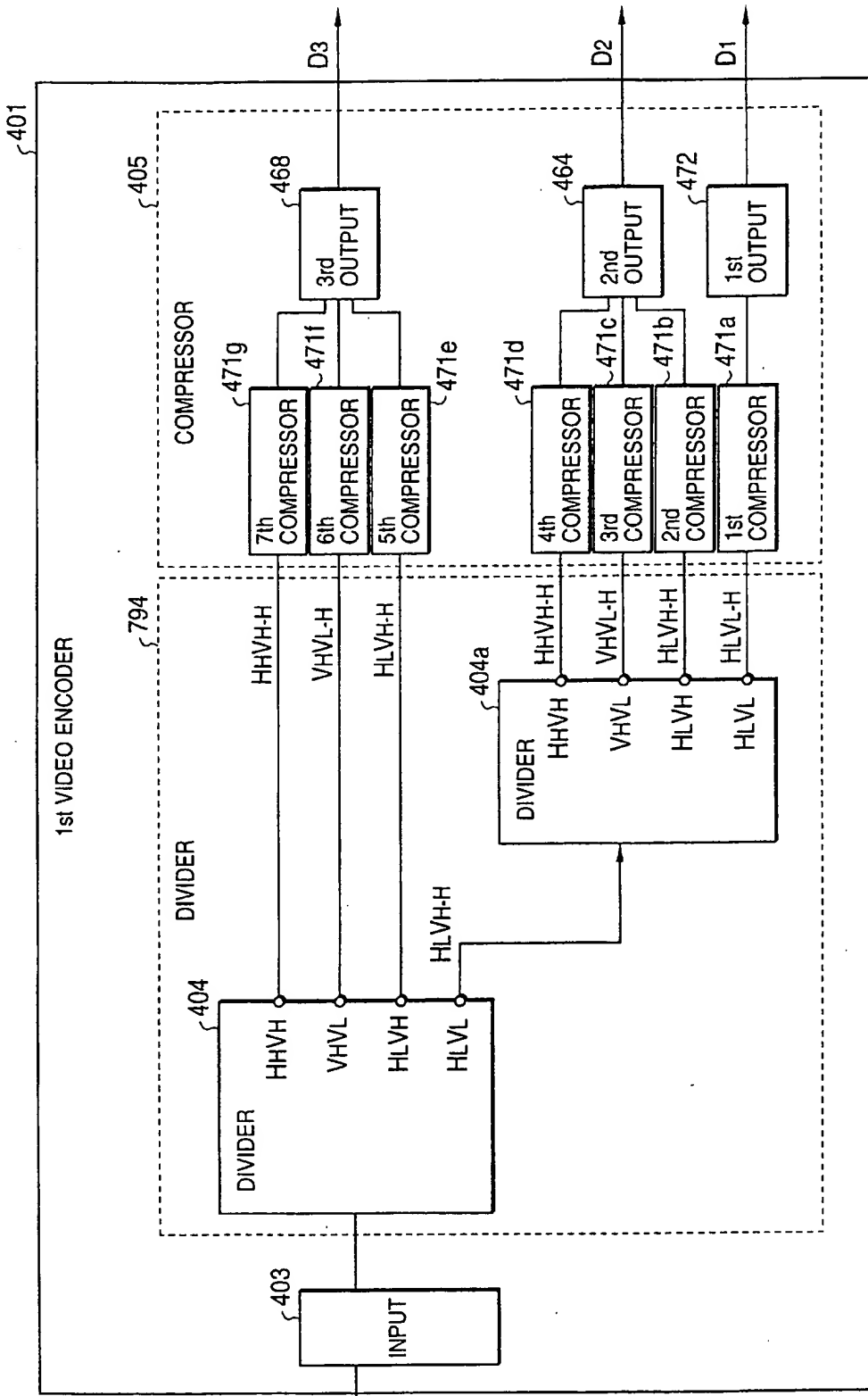


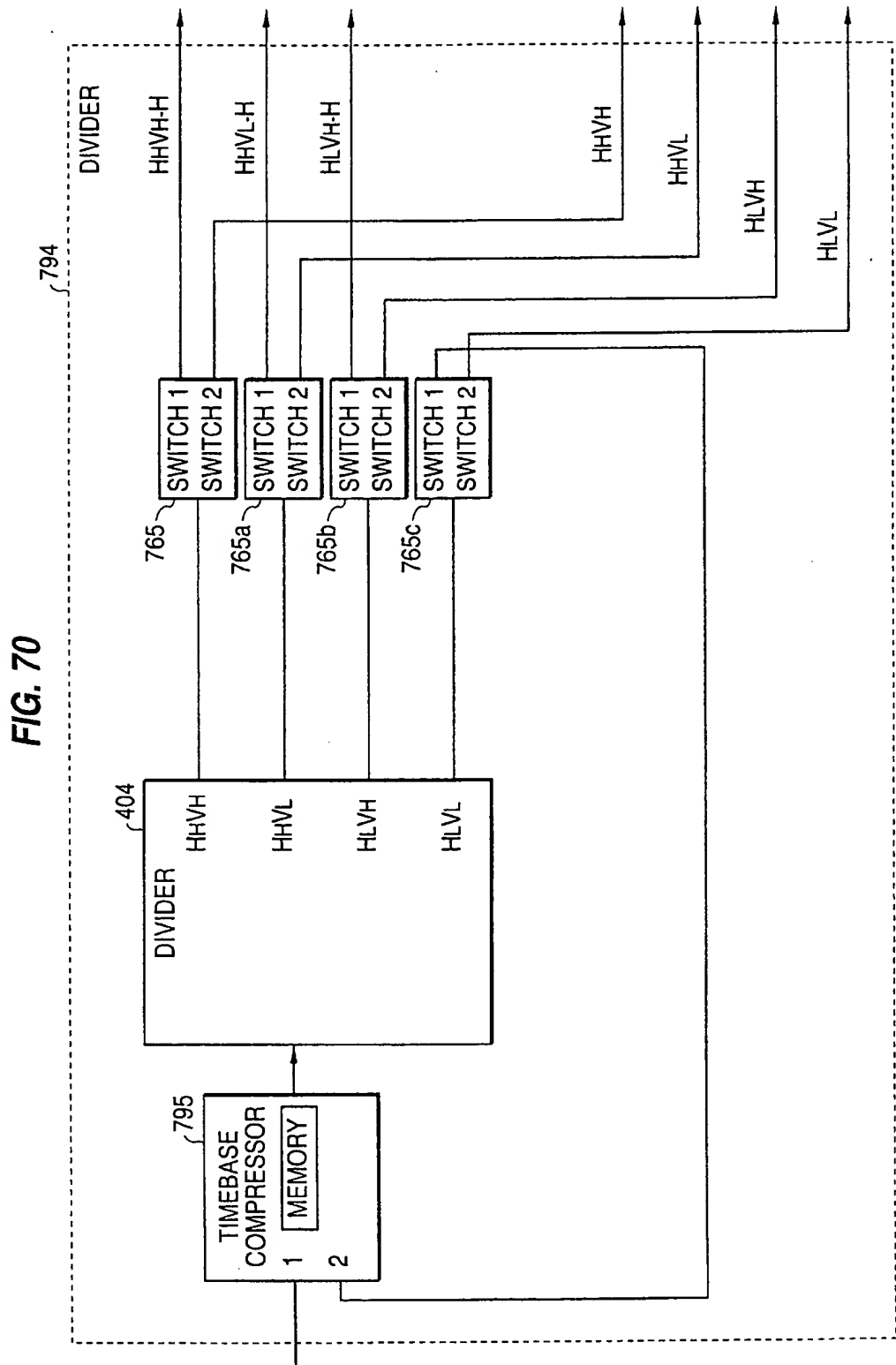




**FIG. 68(c)**



**FIG. 69**



**FIG. 71**

S423

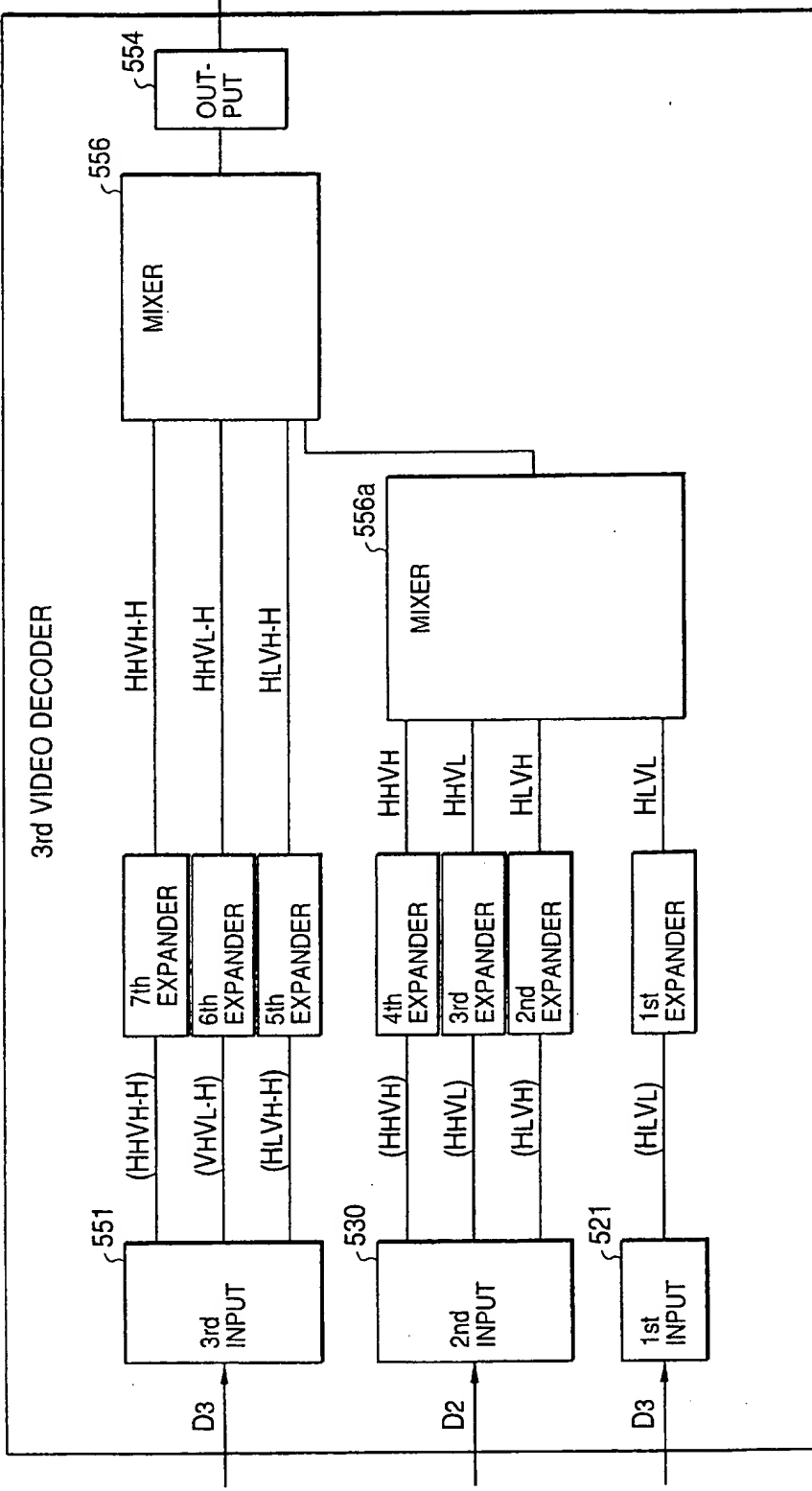
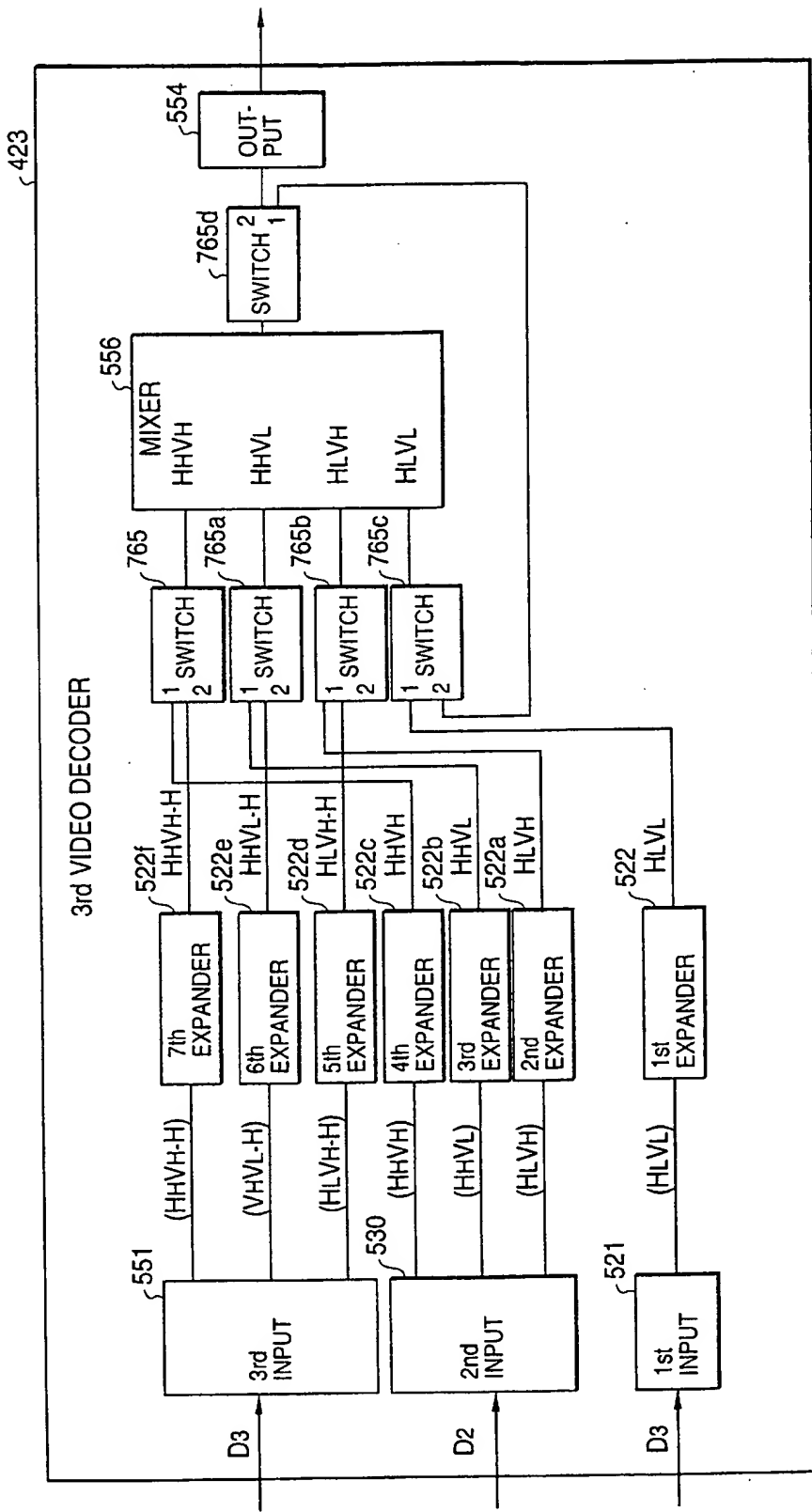


FIG. 72



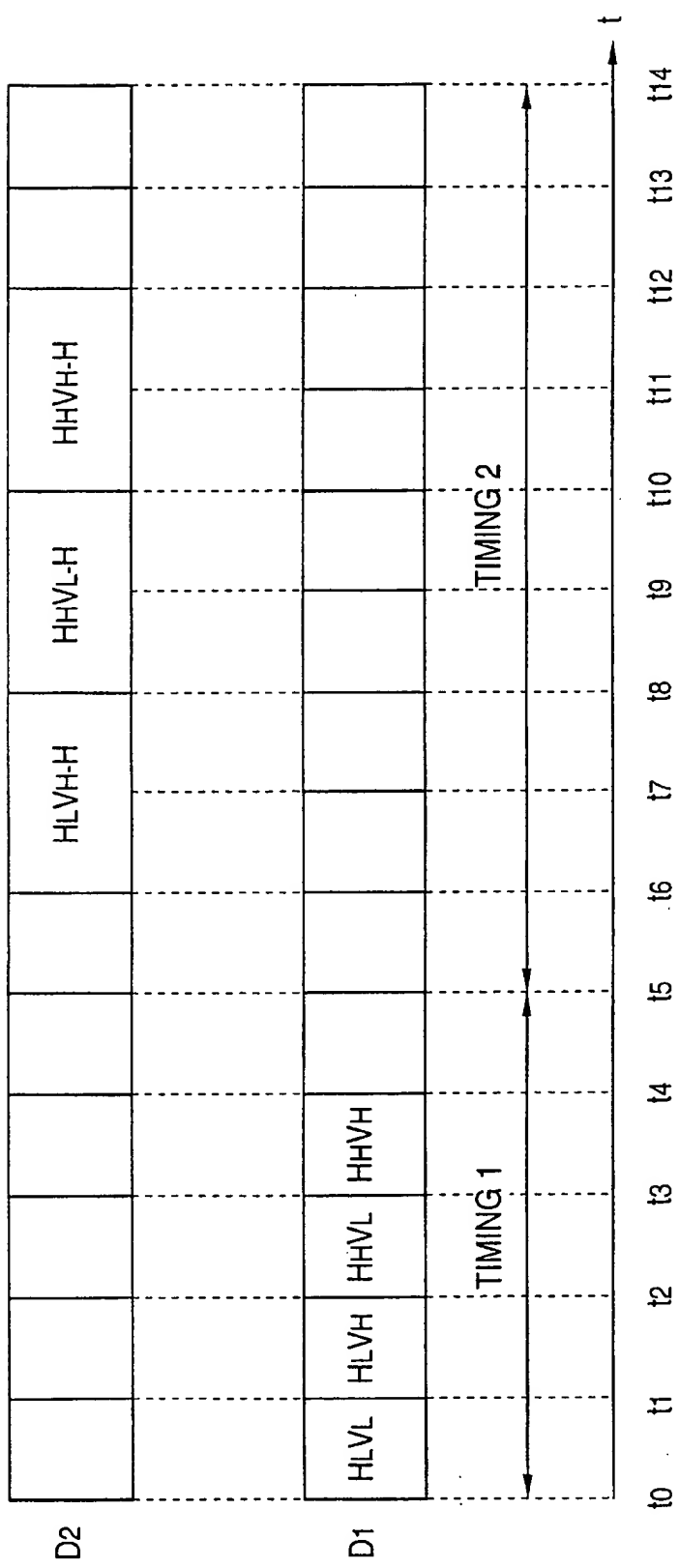
**FIG. 73**

FIG. 74(a)

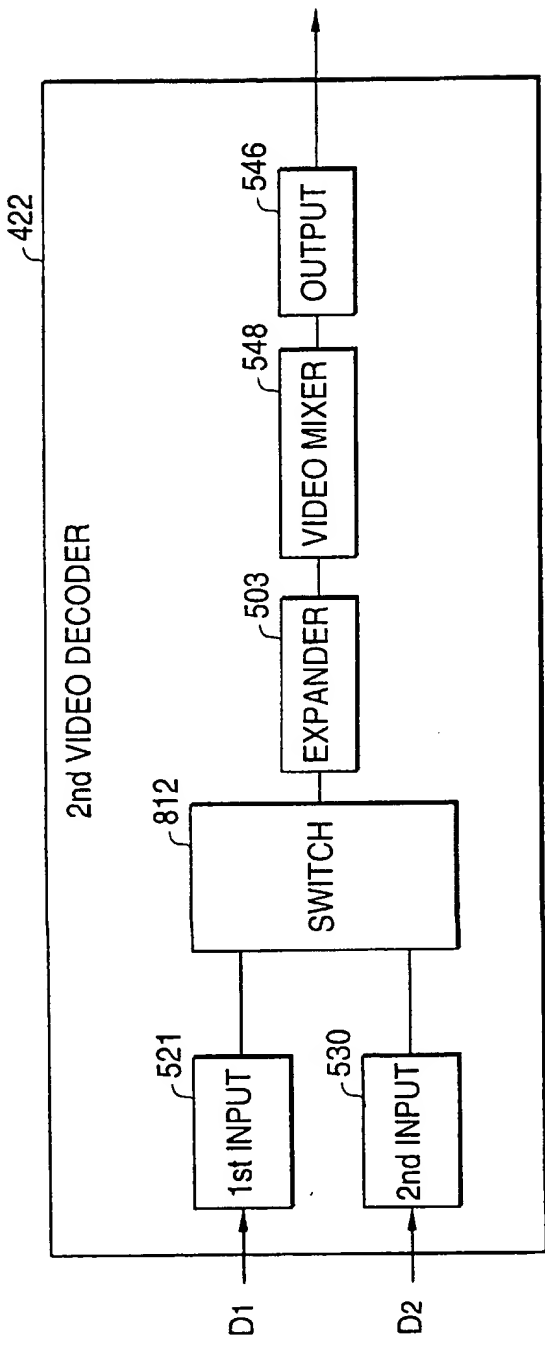
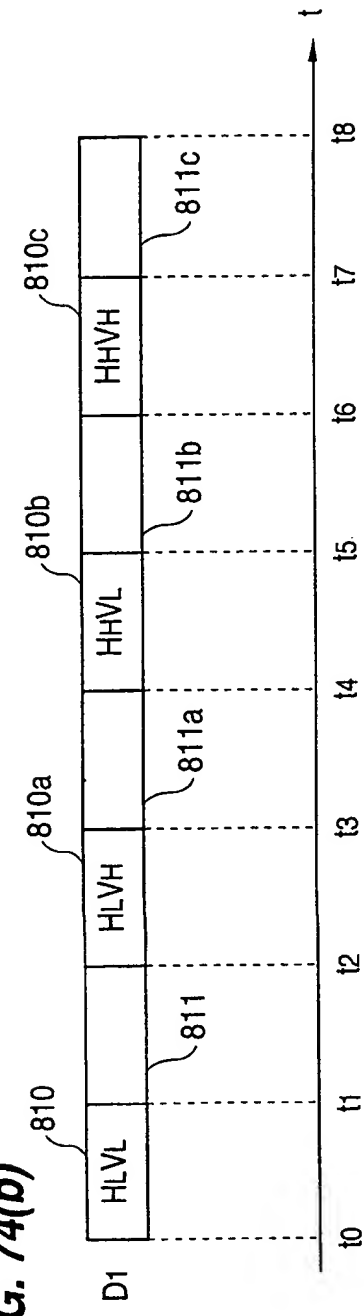
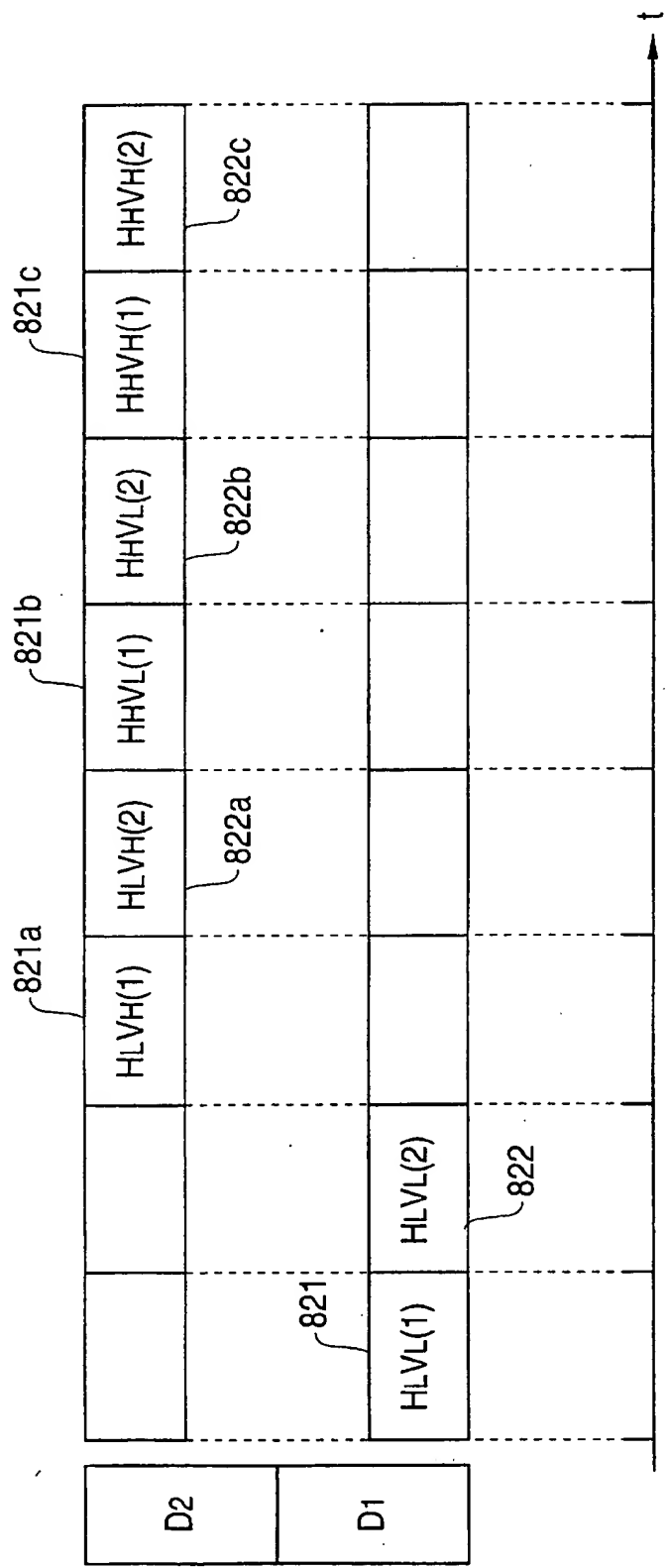
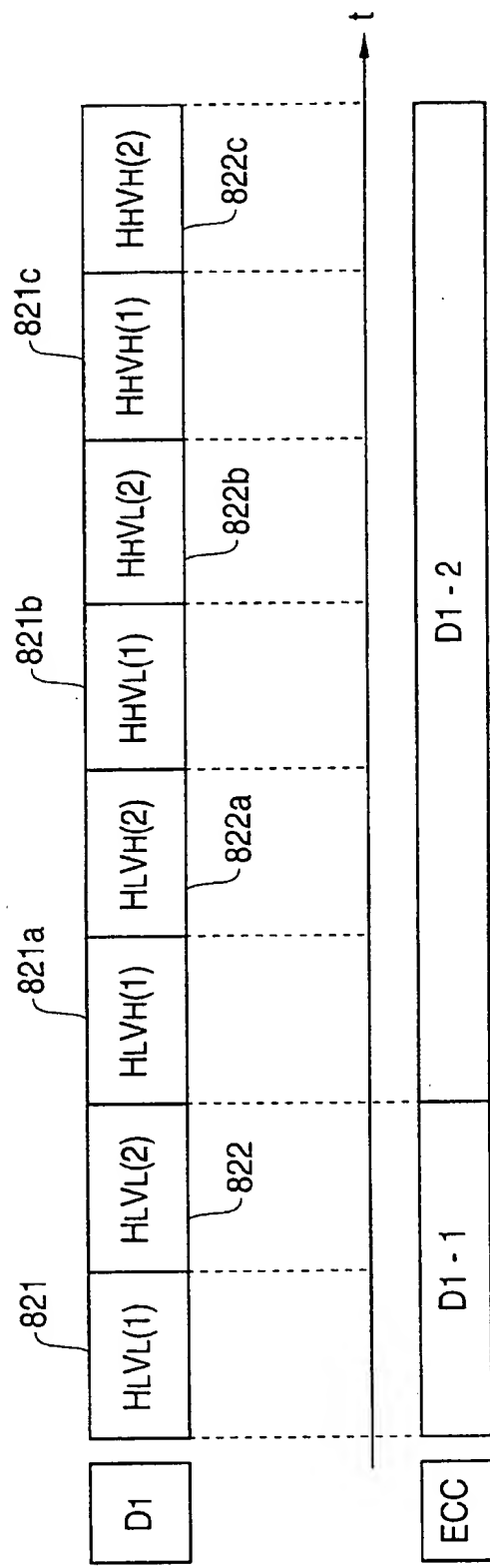
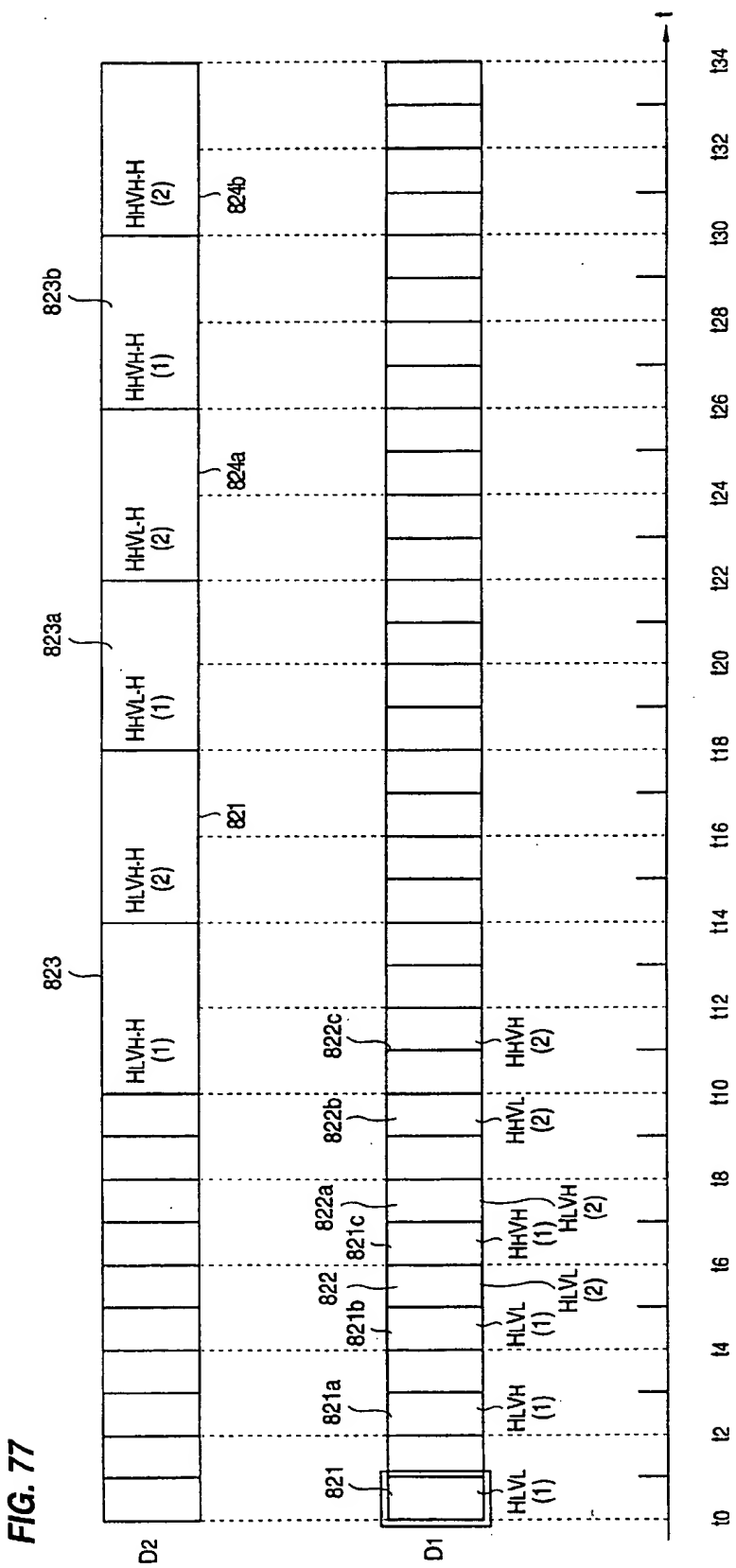


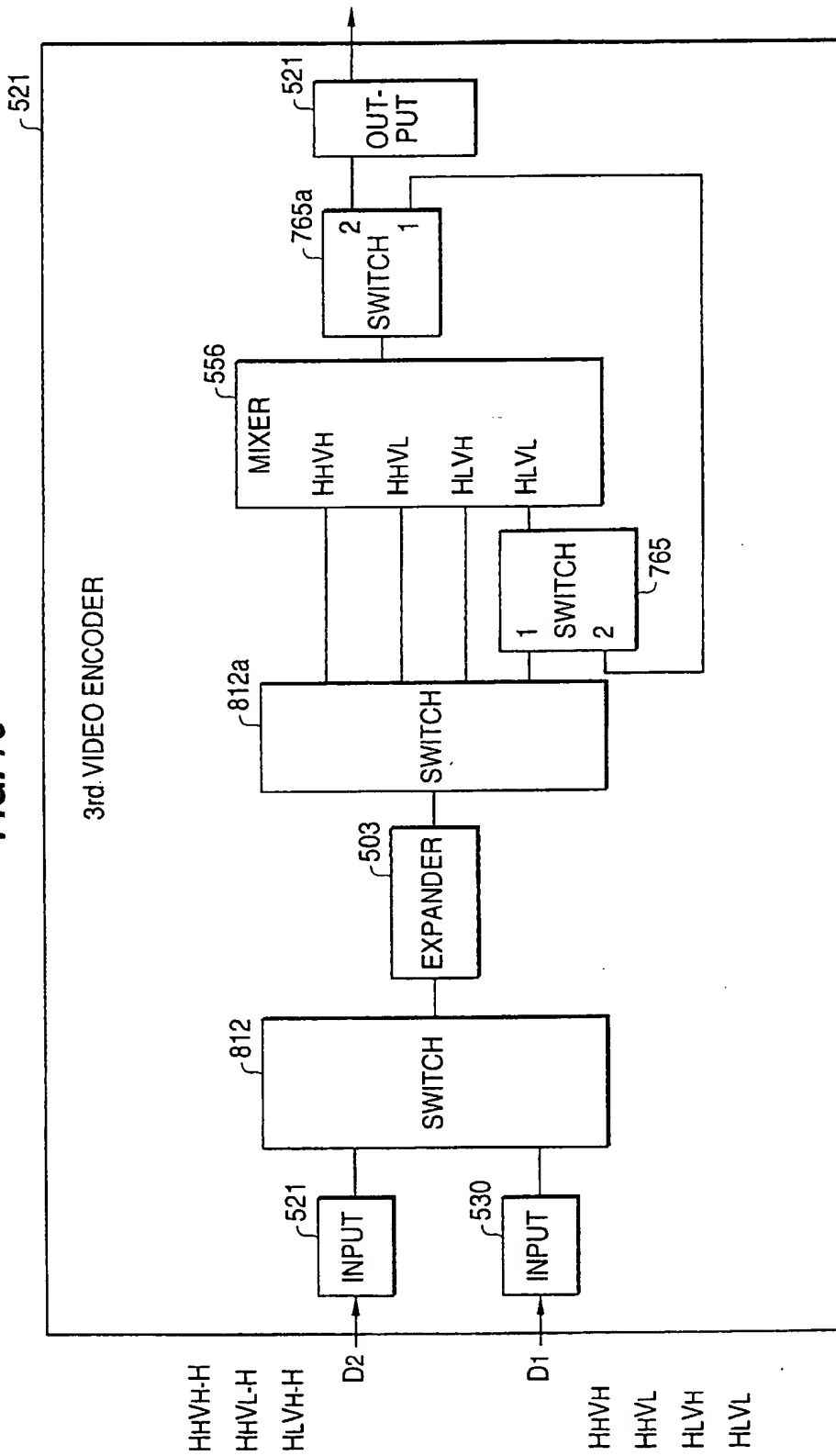
FIG. 74(b)

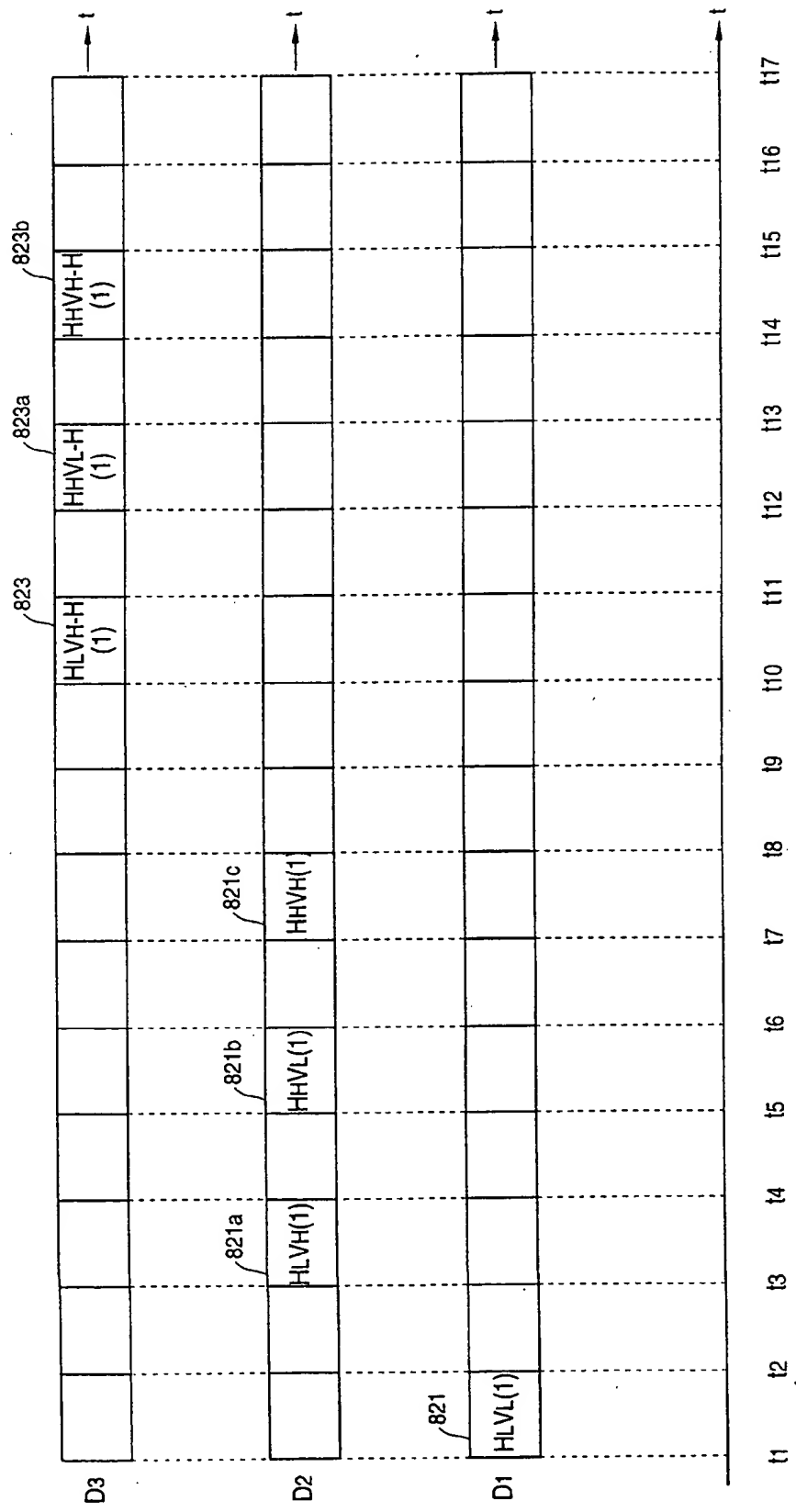


**FIG. 75**

**FIG. 76**



**FIG. 78**

**FIG. 79**

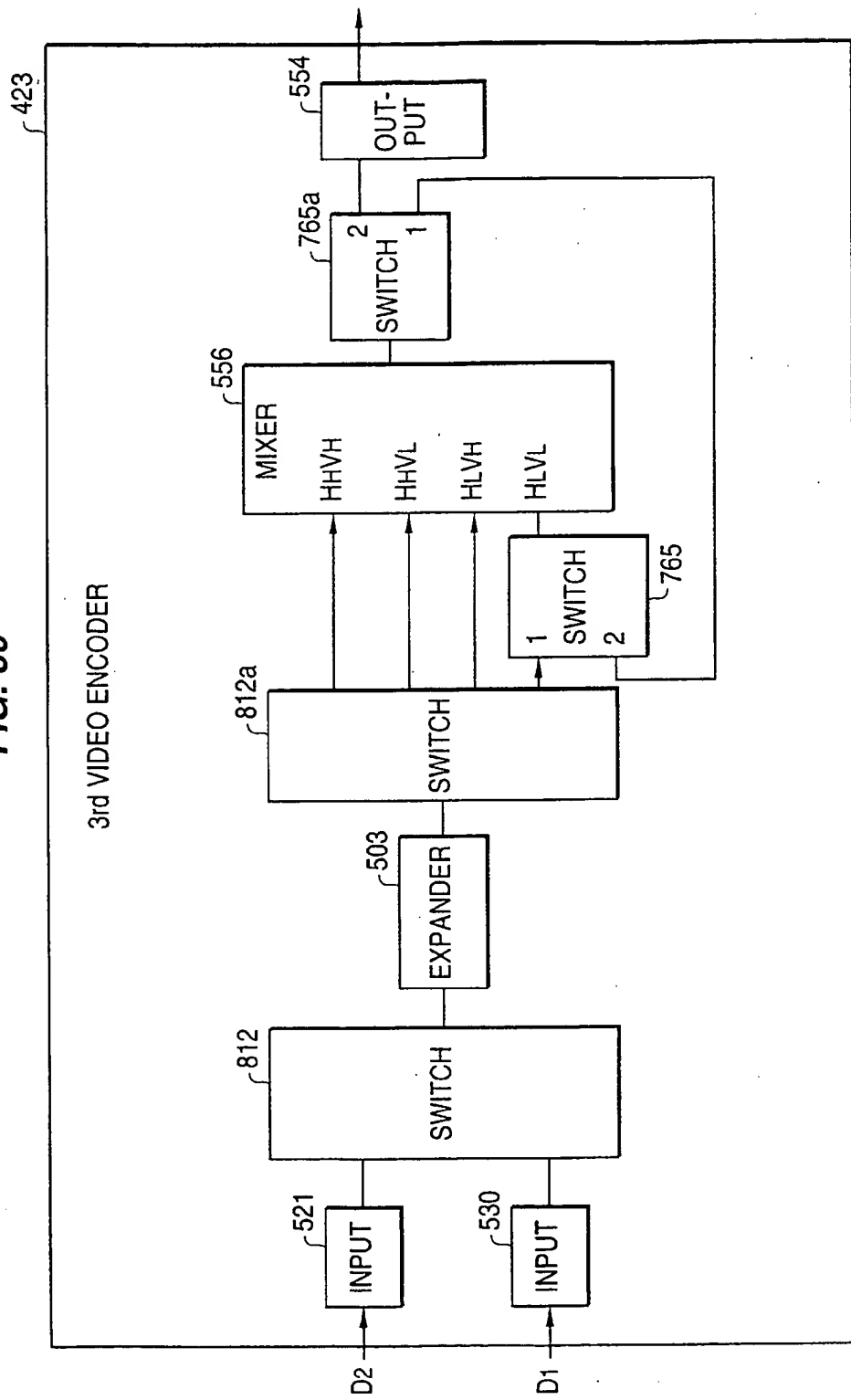
**FIG. 80**

FIG. 81

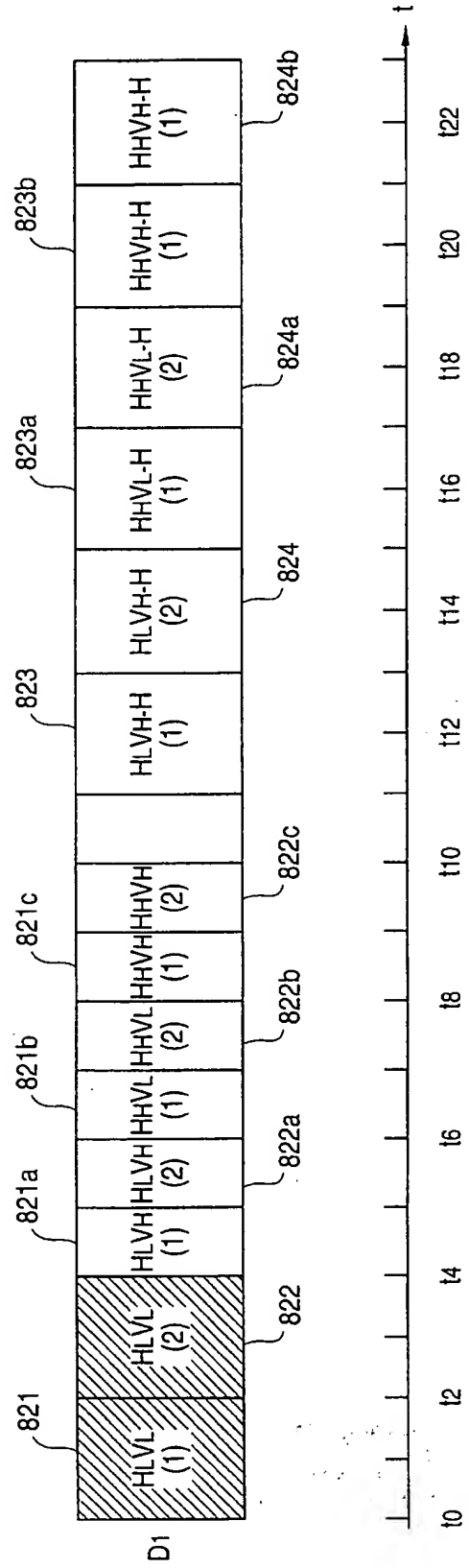


FIG. 82

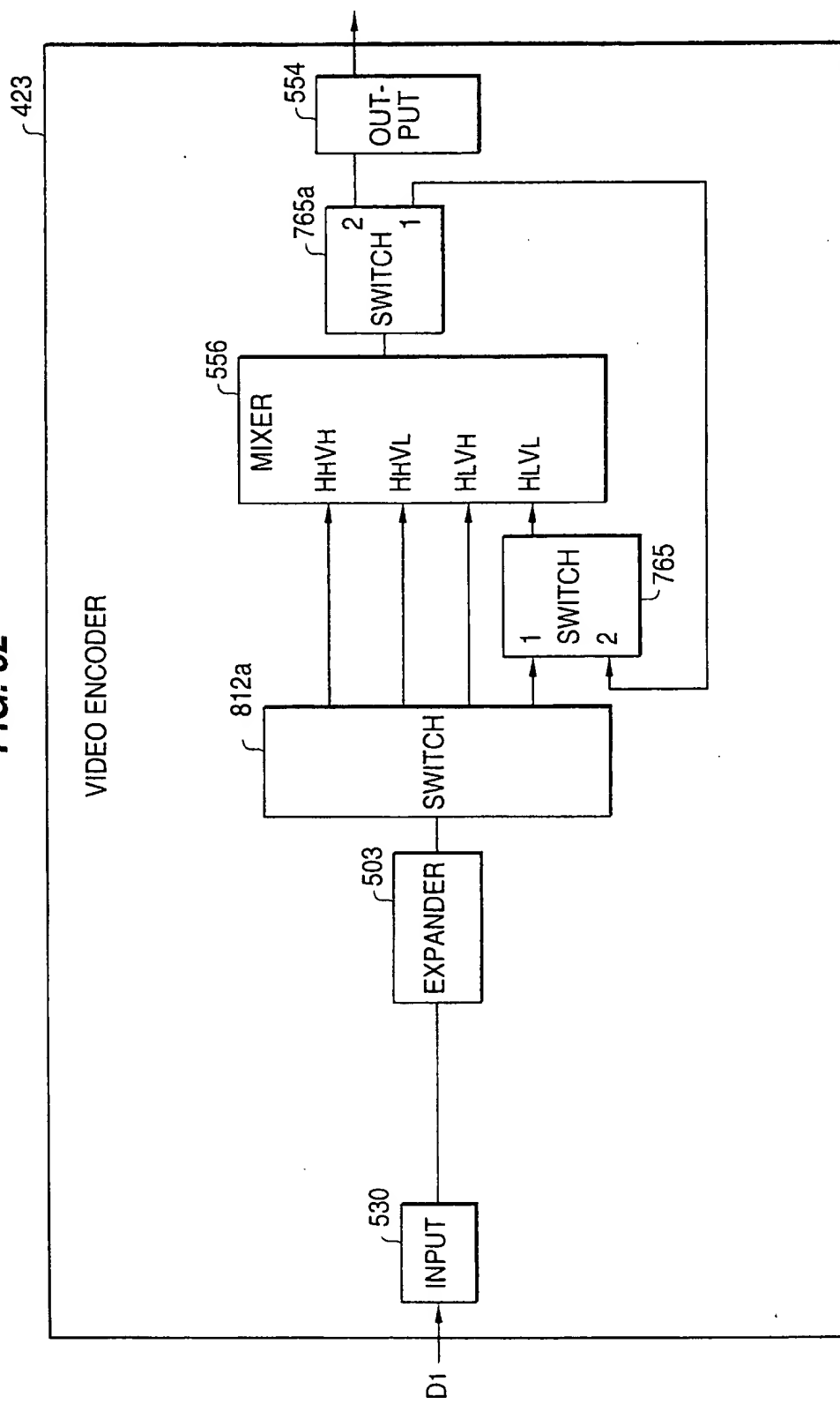


FIG. 83

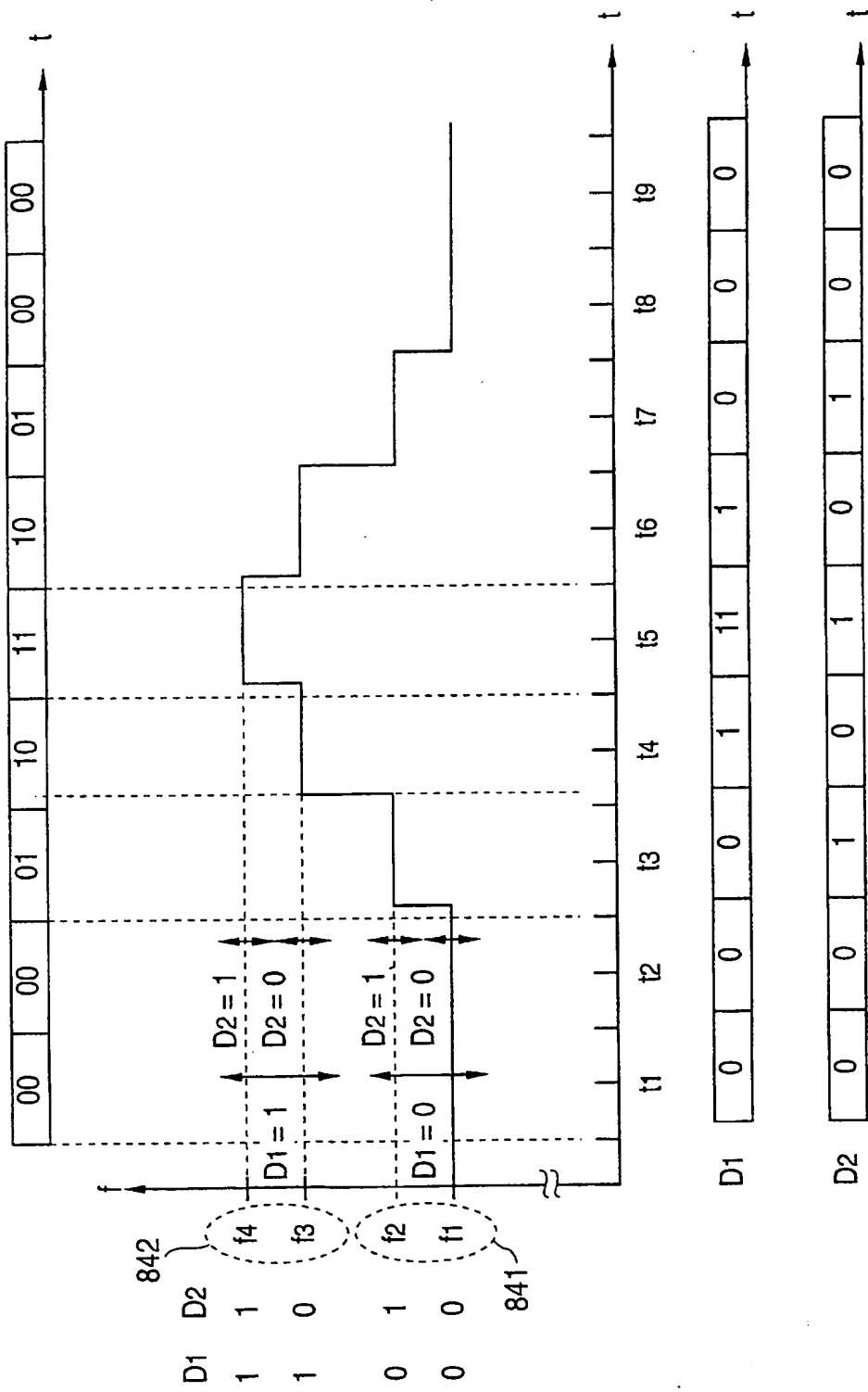
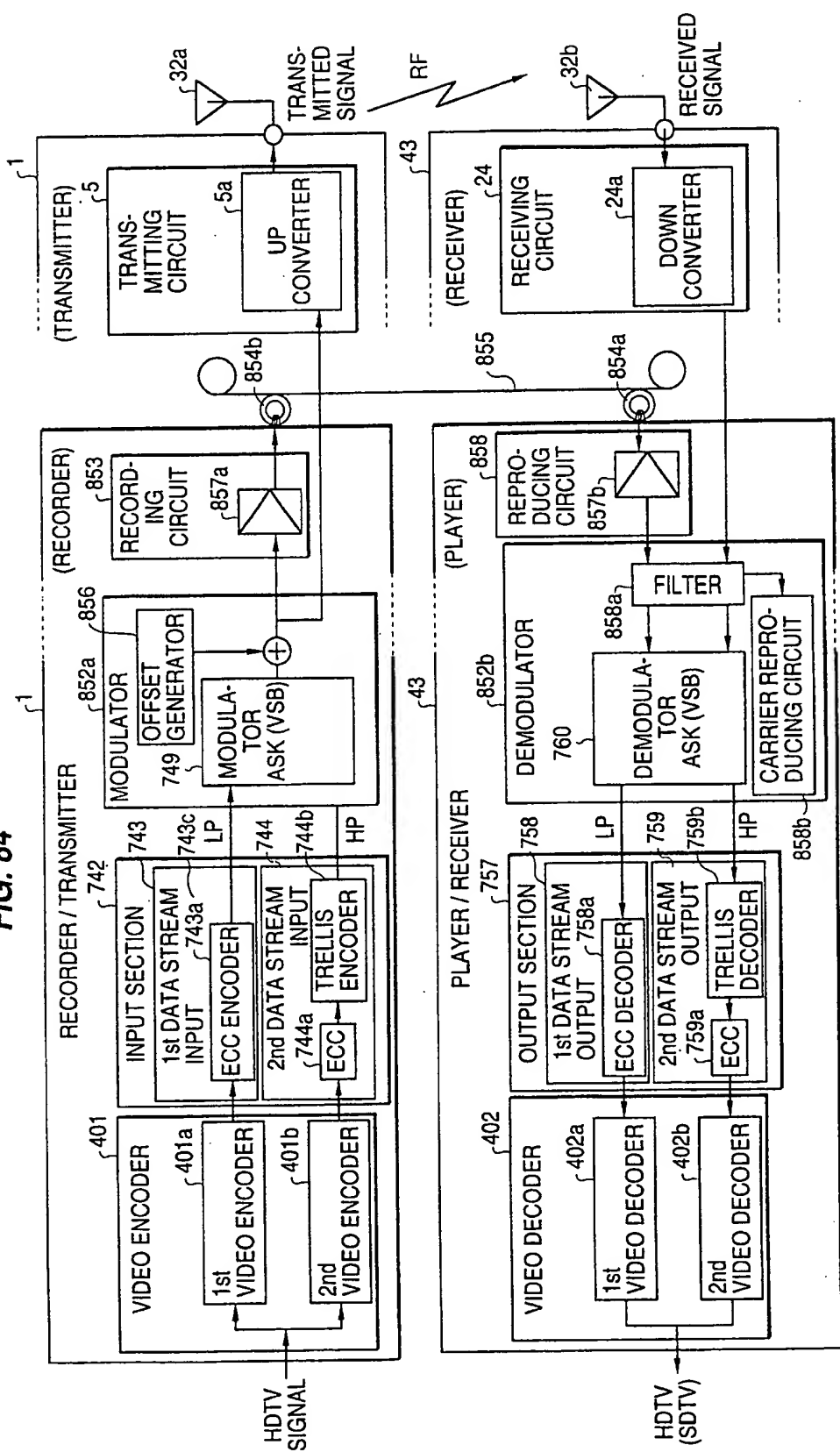
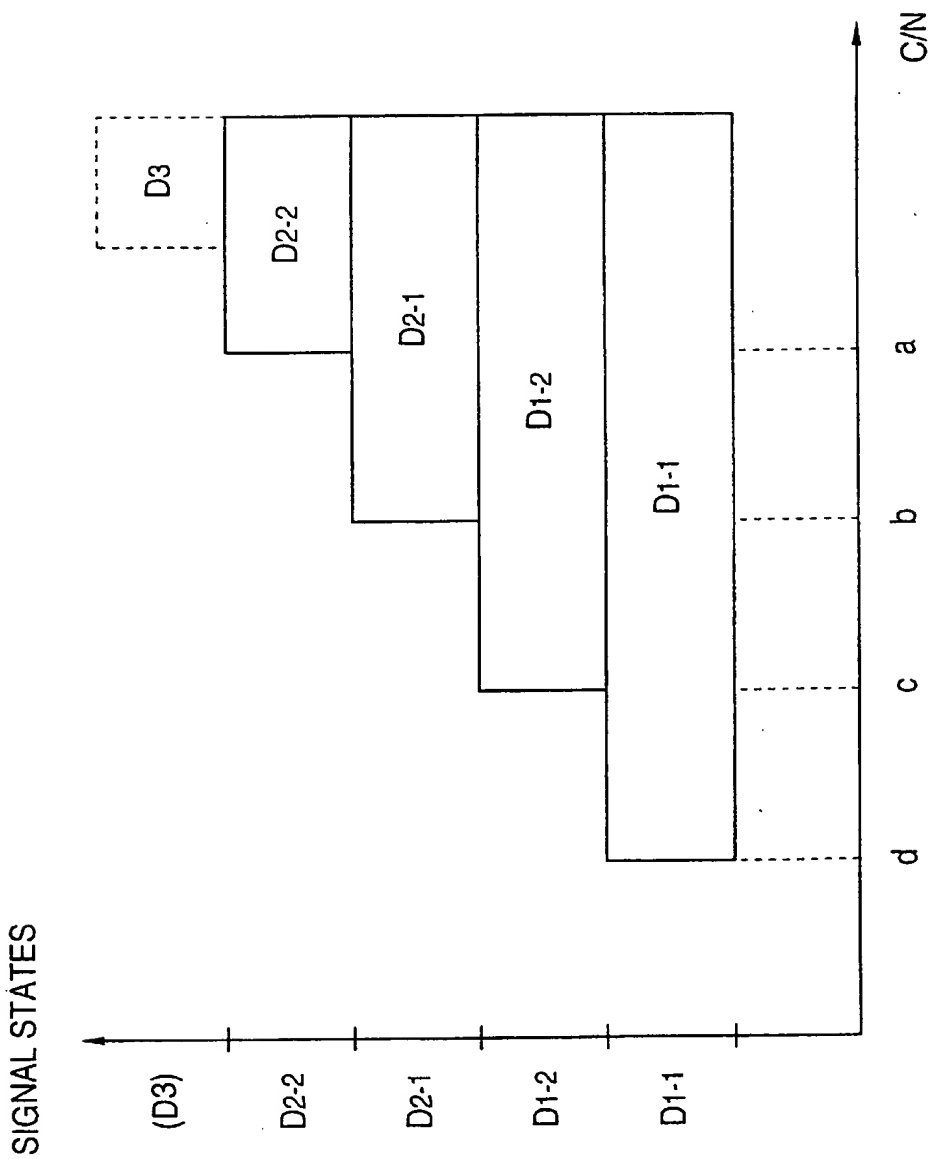


FIG. 84



**FIG. 85**

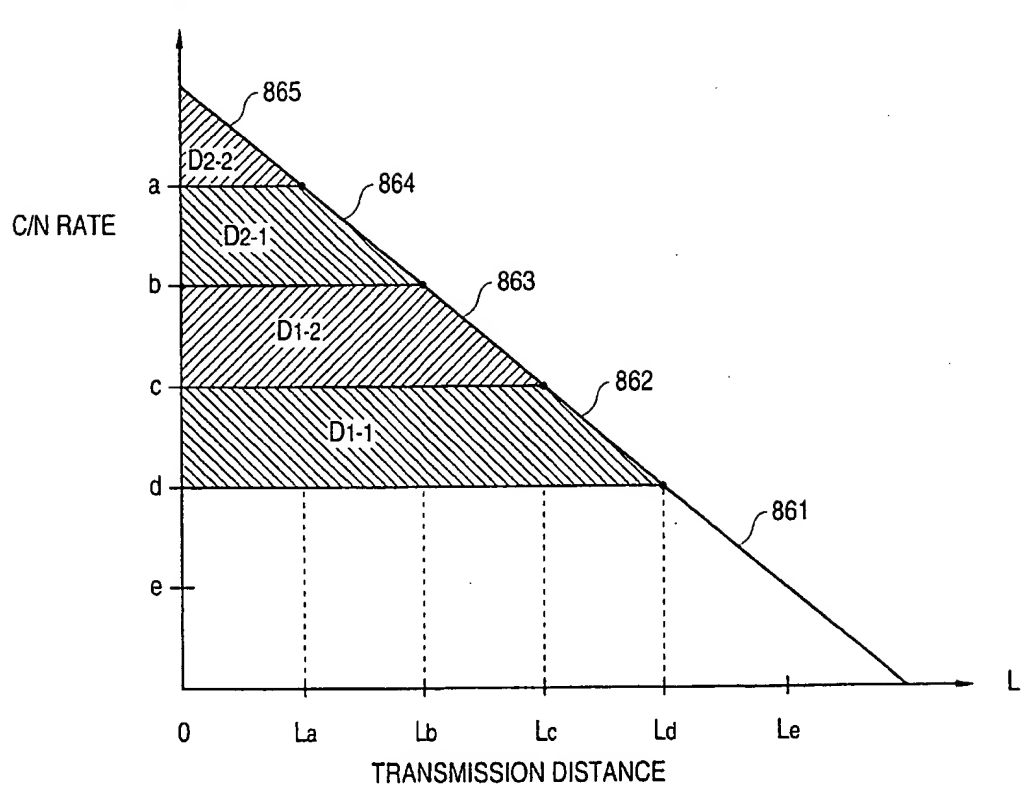
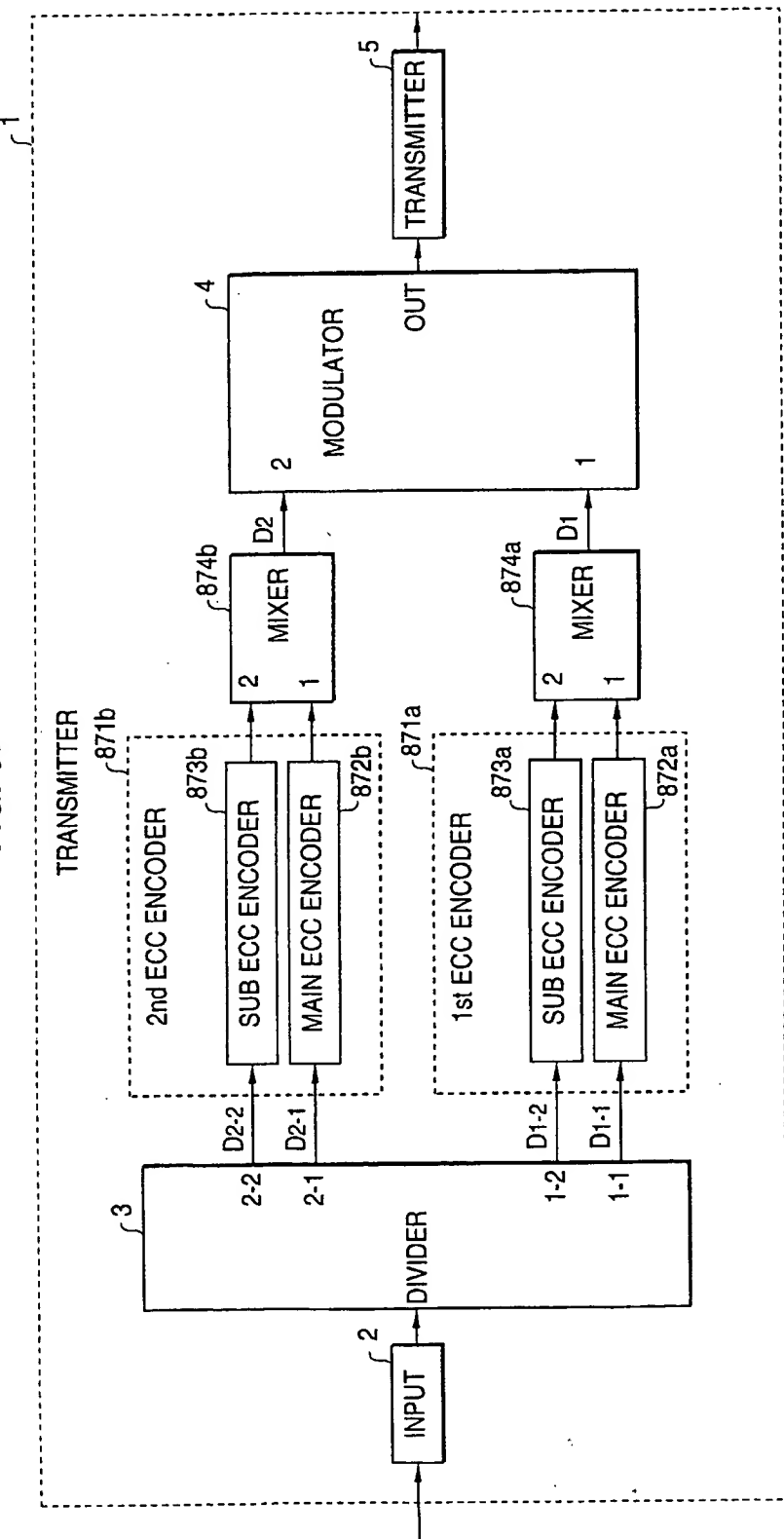
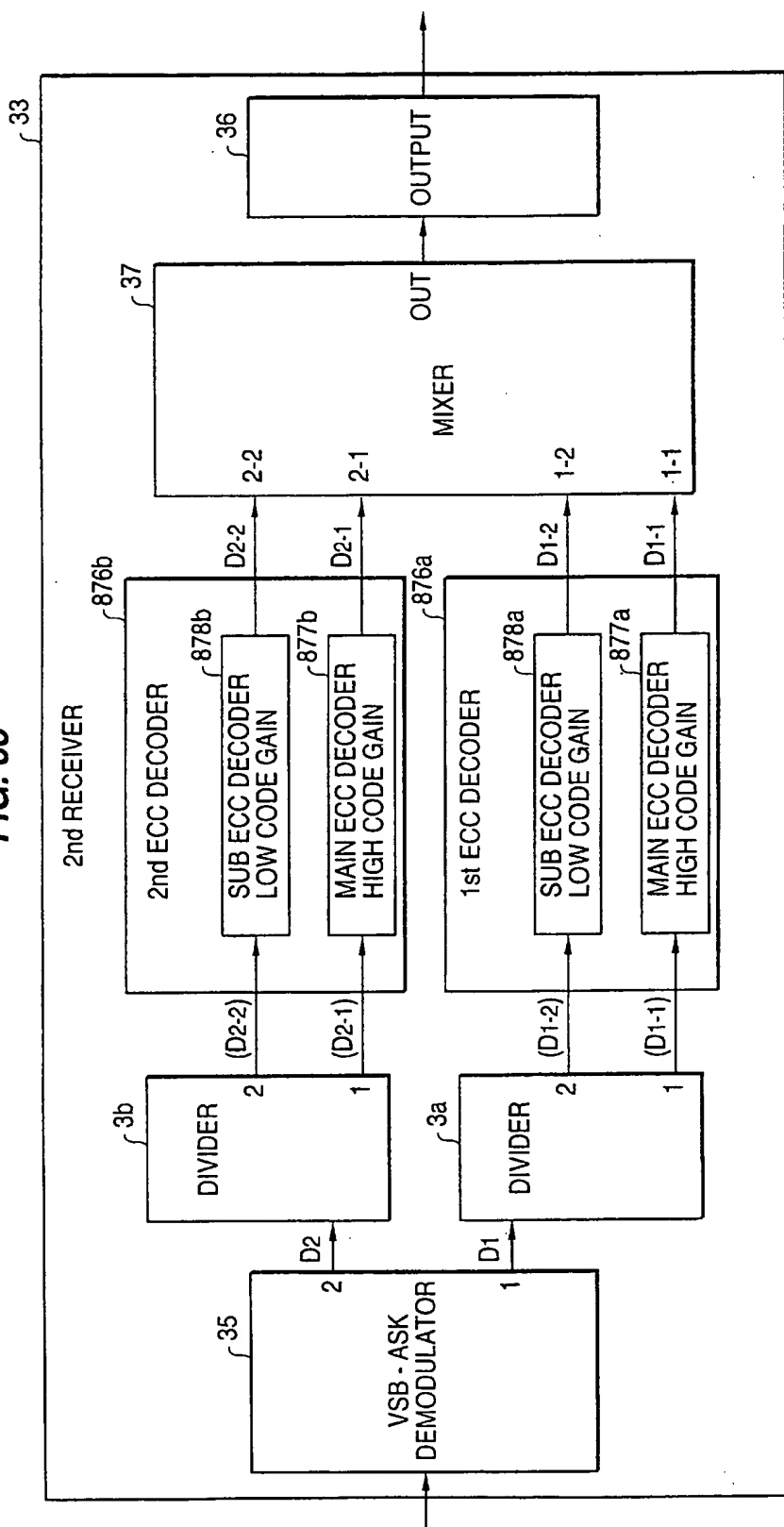
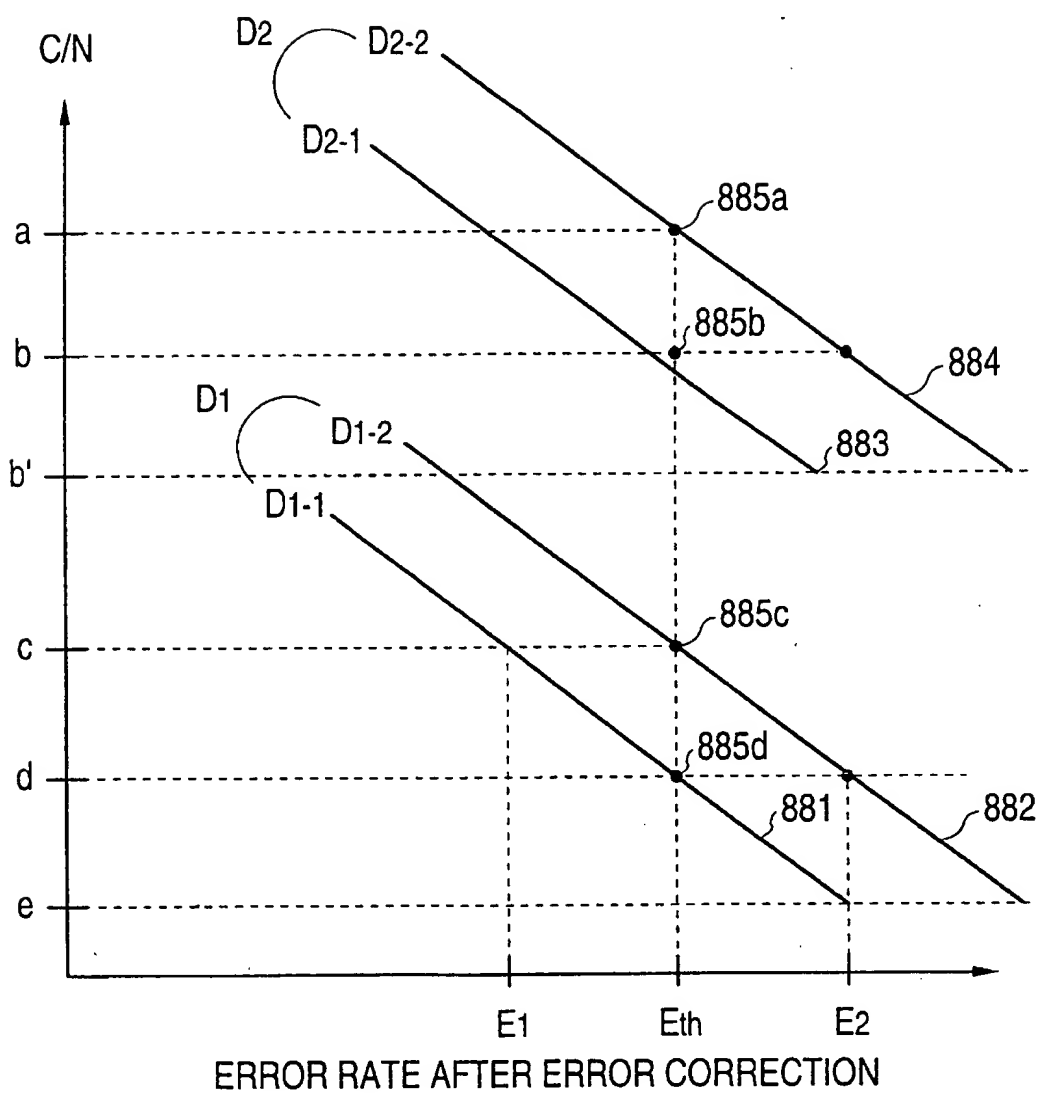
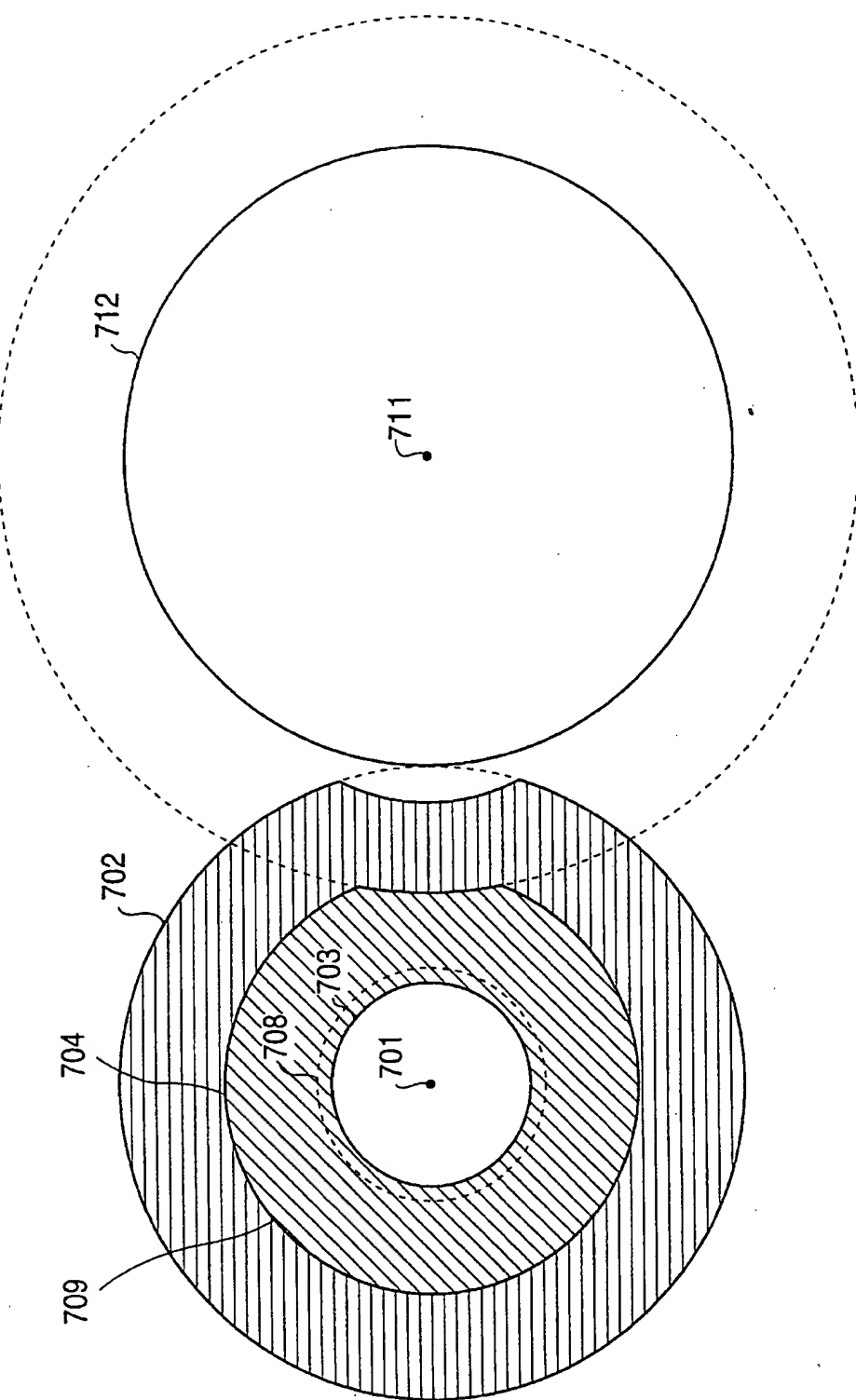
**FIG. 86**

FIG. 87



**FIG. 88**

**FIG. 89**

**FIG. 90**

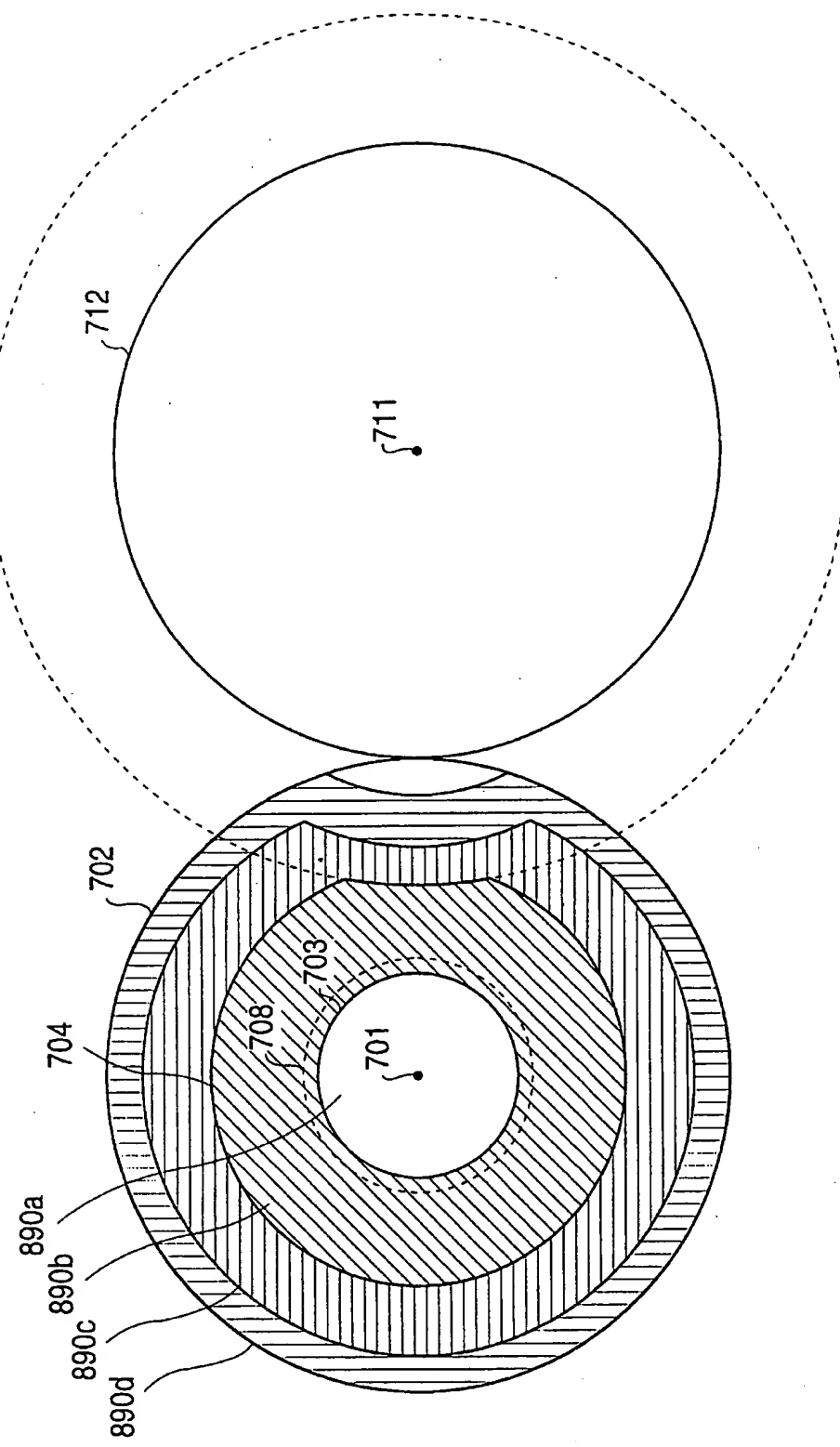
**FIG. 91**

FIG. 92

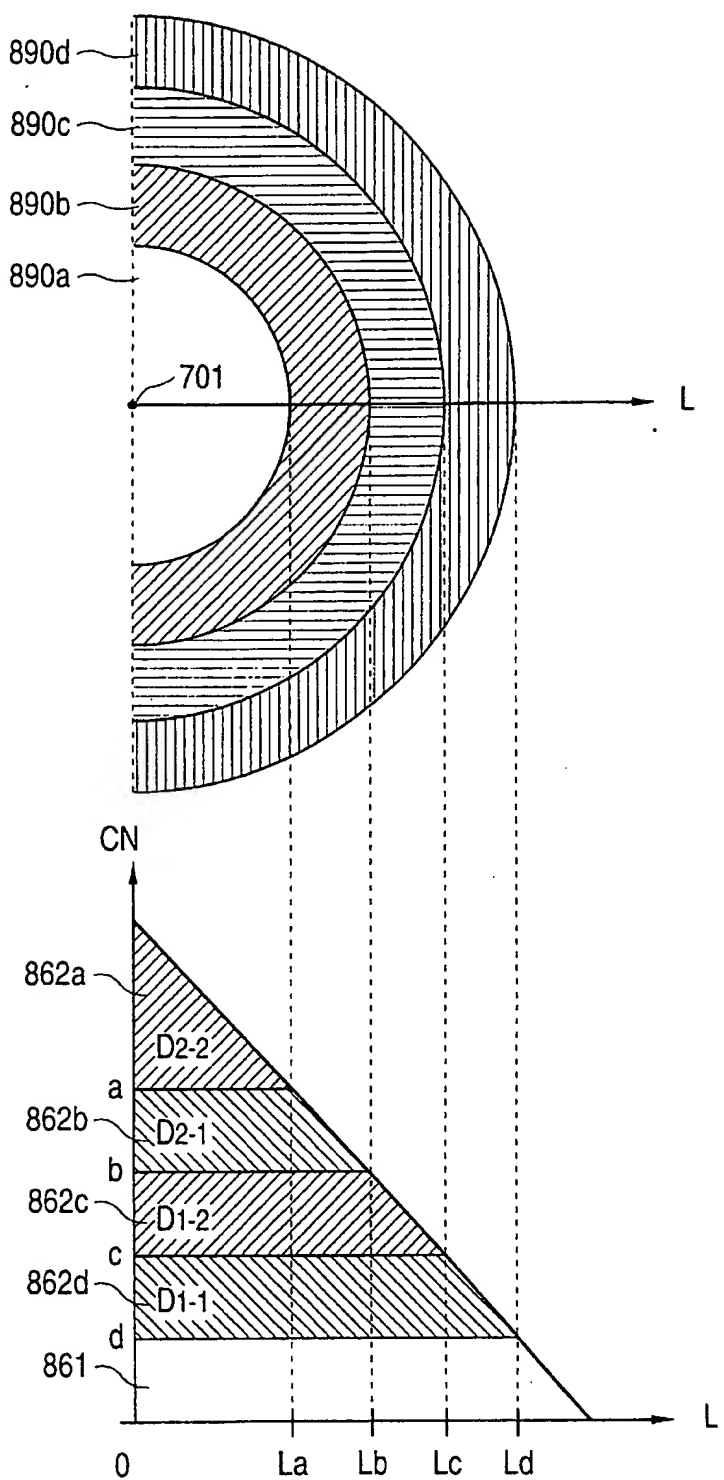


FIG. 93

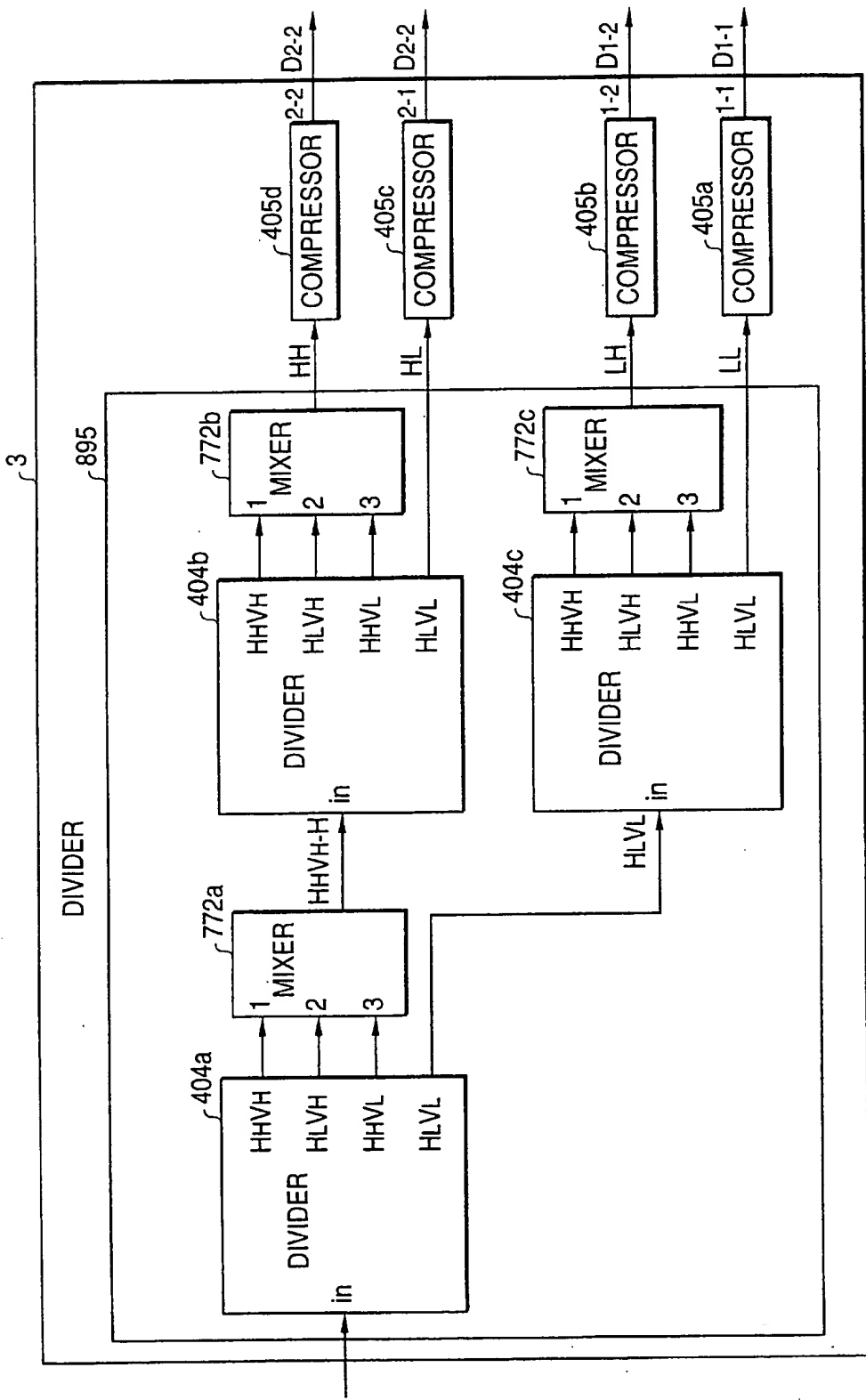


FIG. 94

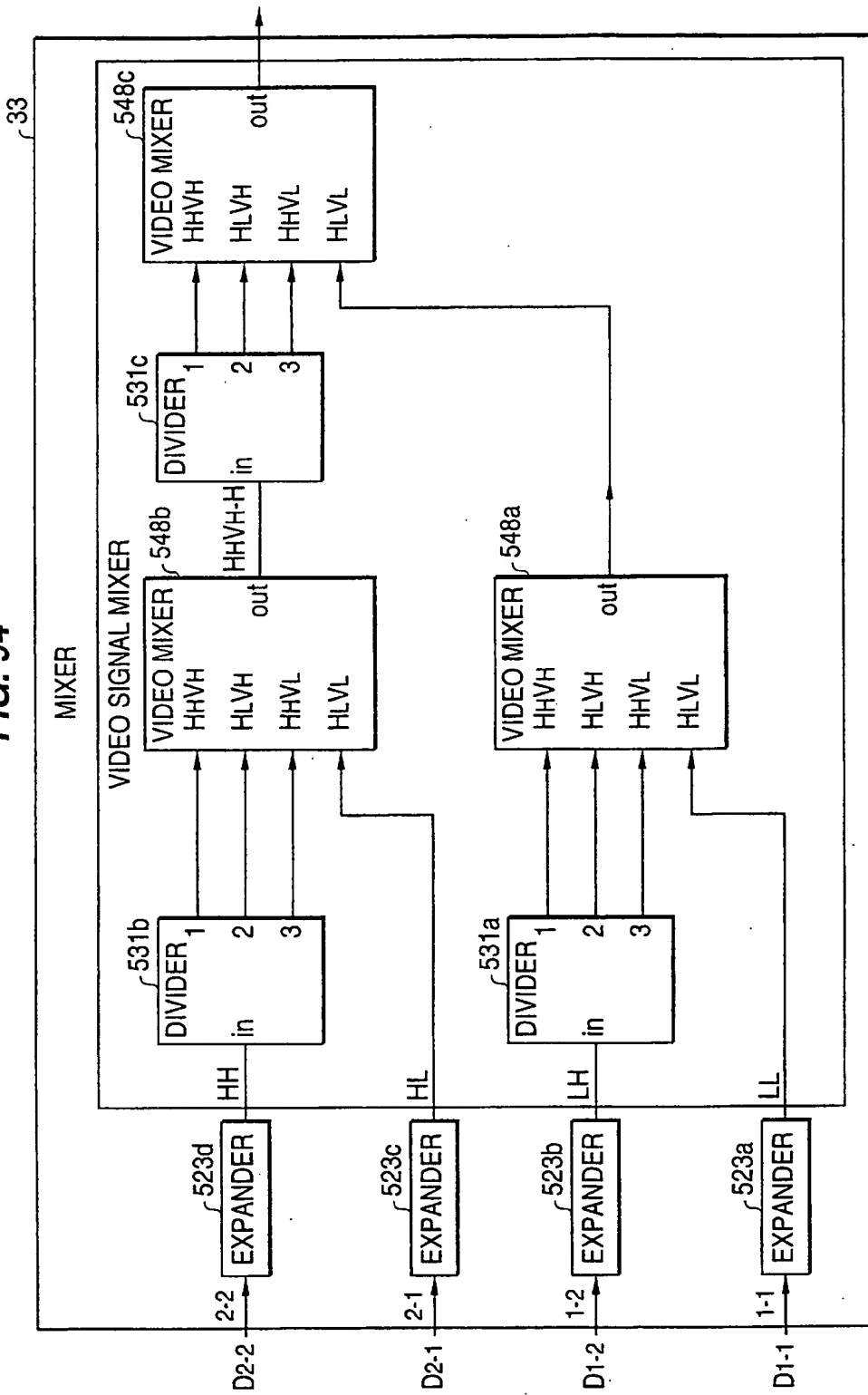


FIG. 95

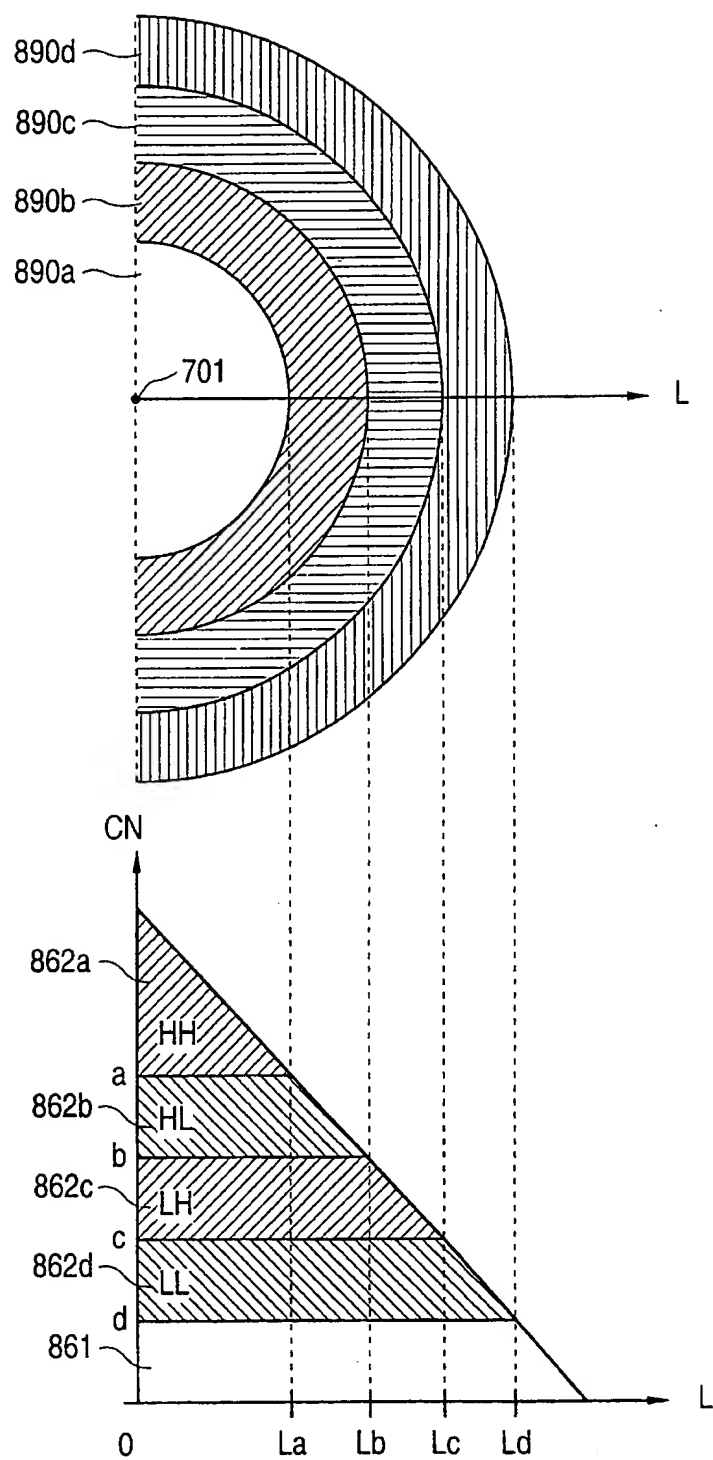


FIG. 96

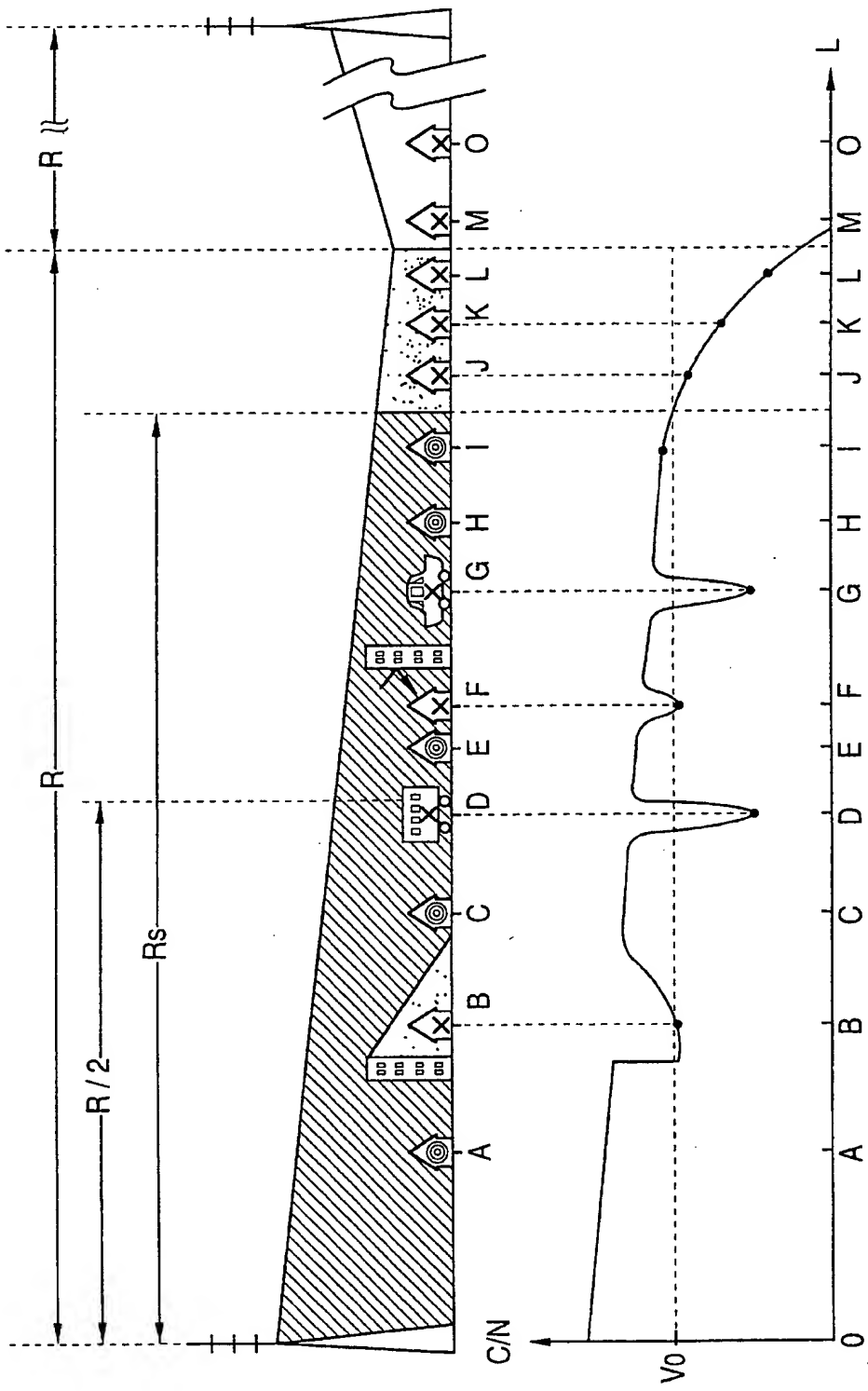


FIG. 97

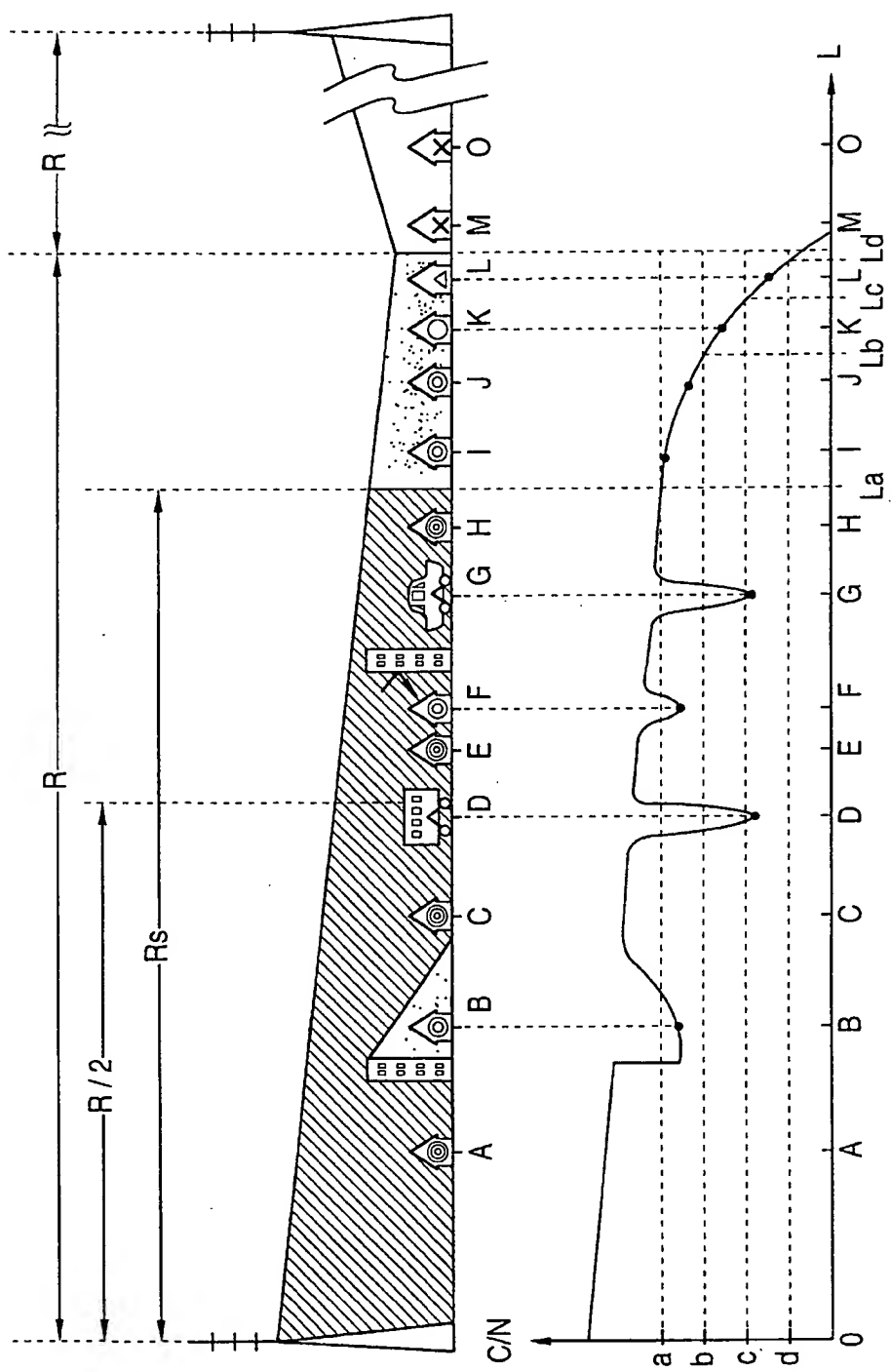


FIG. 98

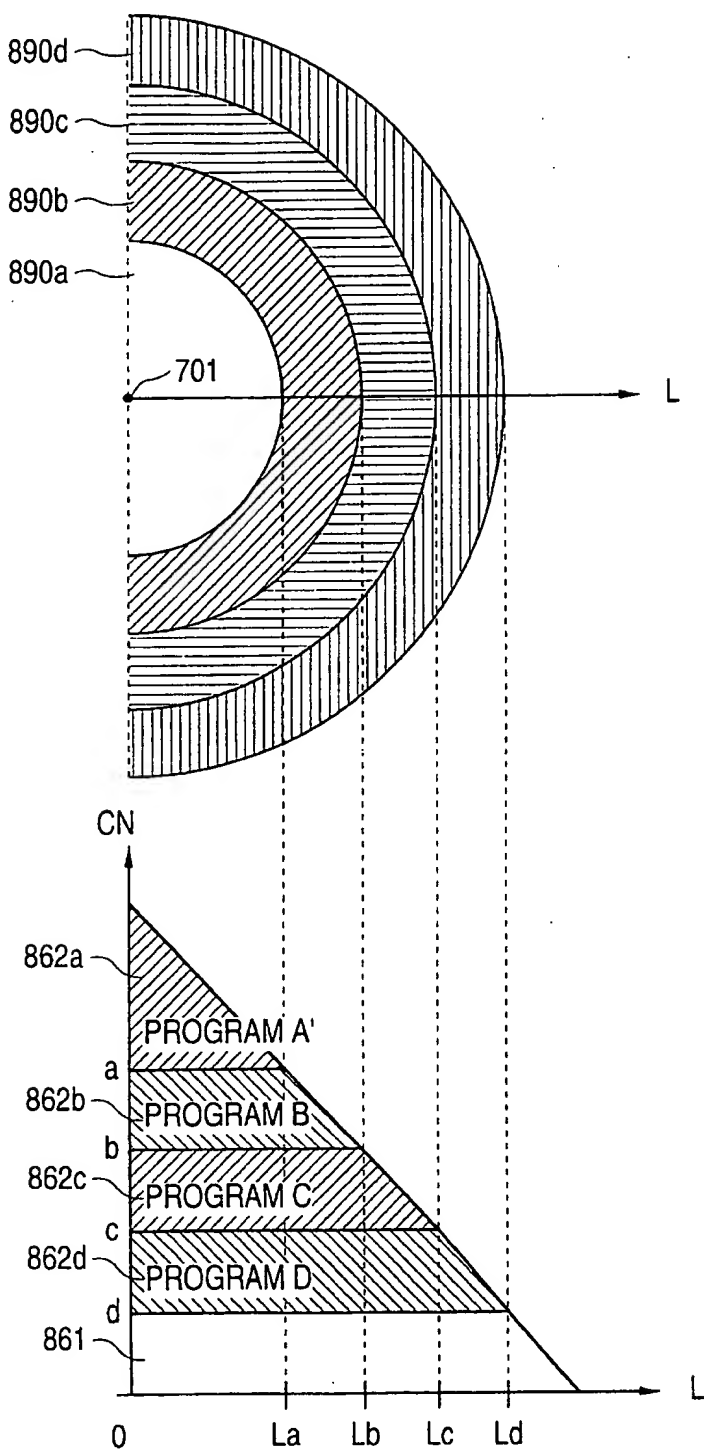


FIG. 99

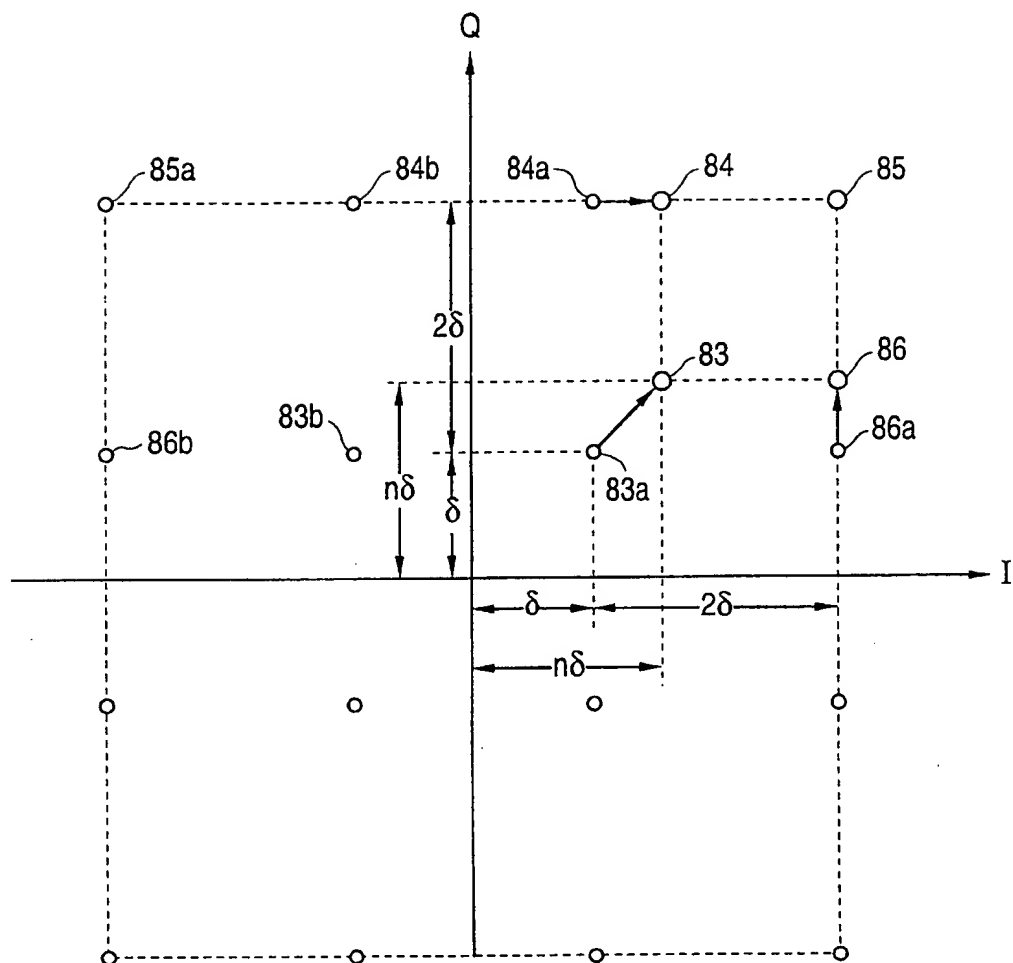
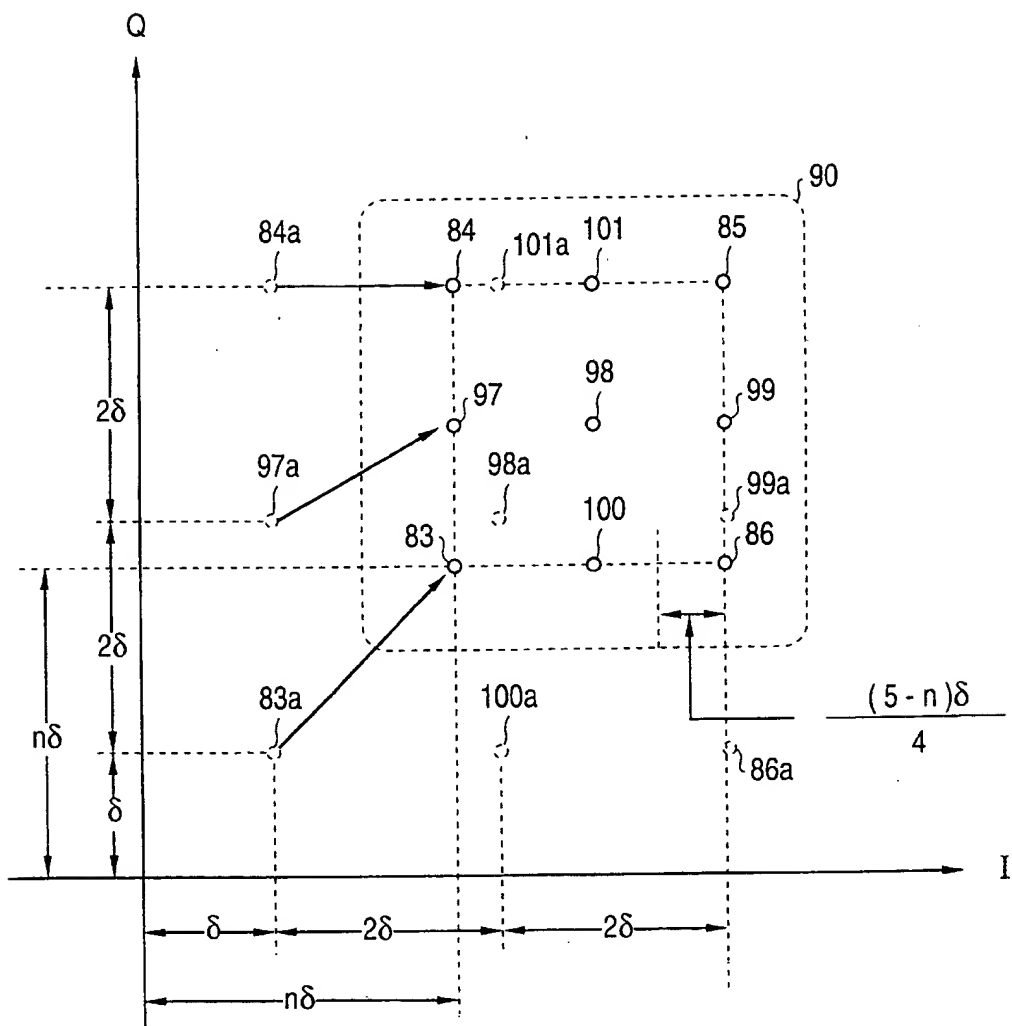
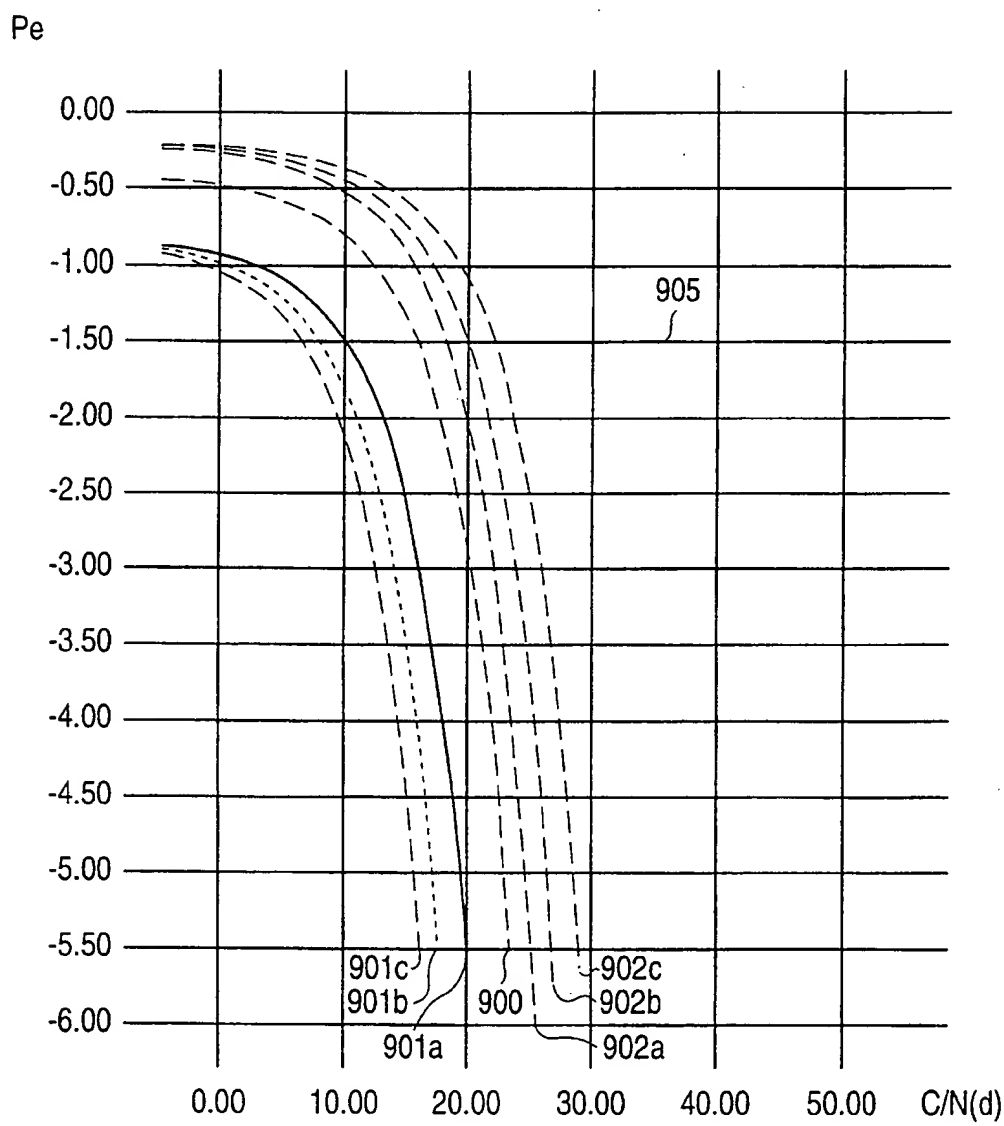


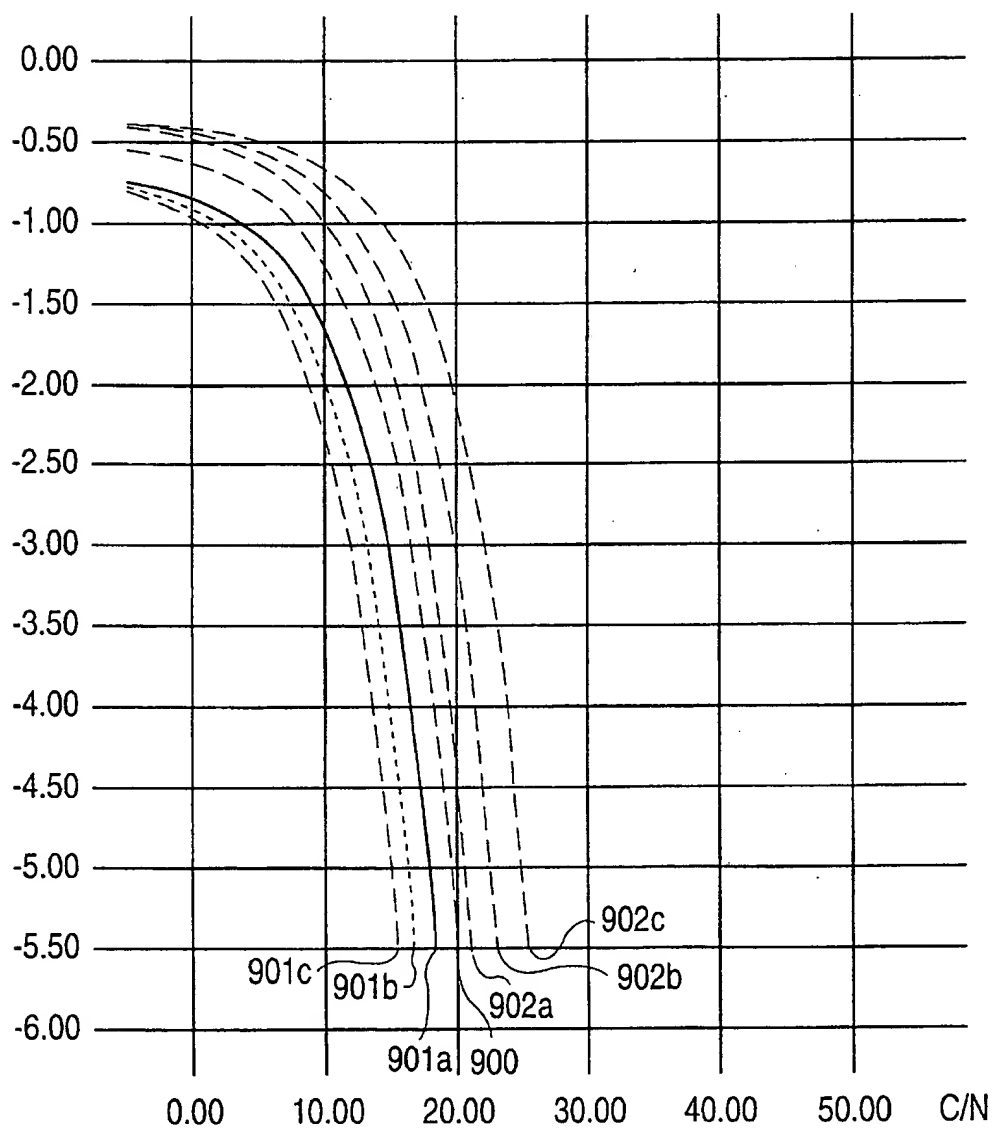
FIG. 100

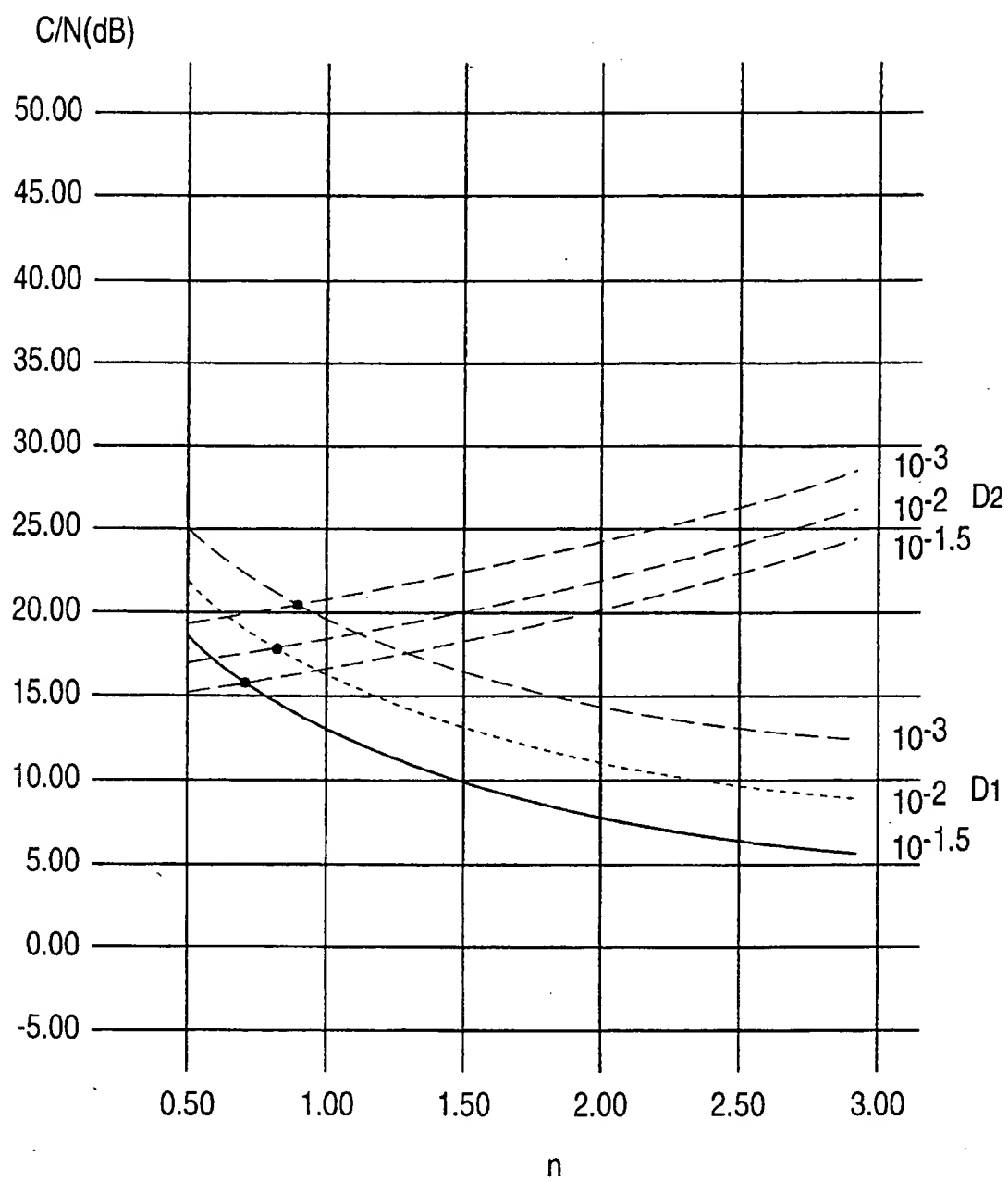


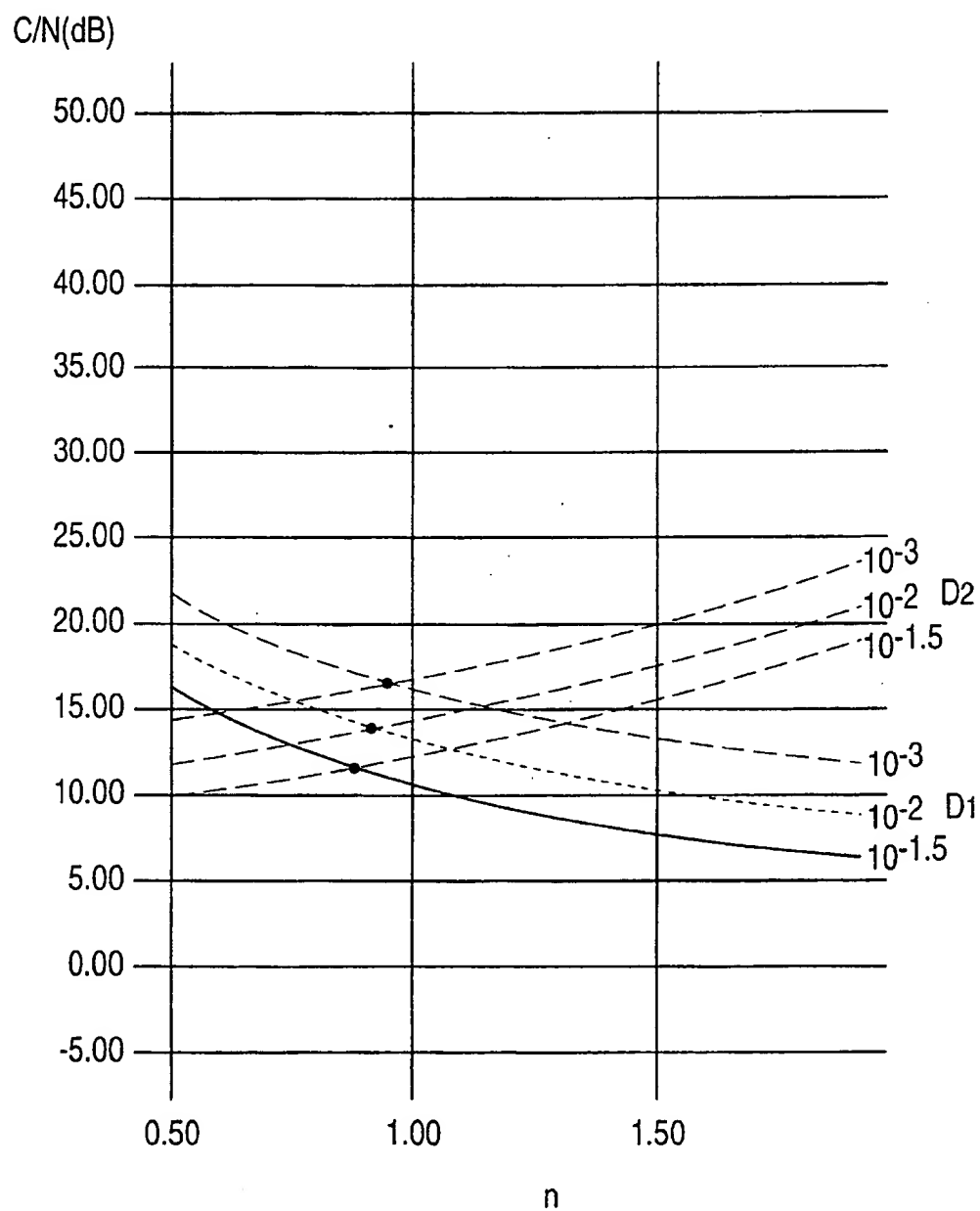
**FIG. 101**

**FIG. 102**

Pe



**FIG. 103**

**FIG. 104**

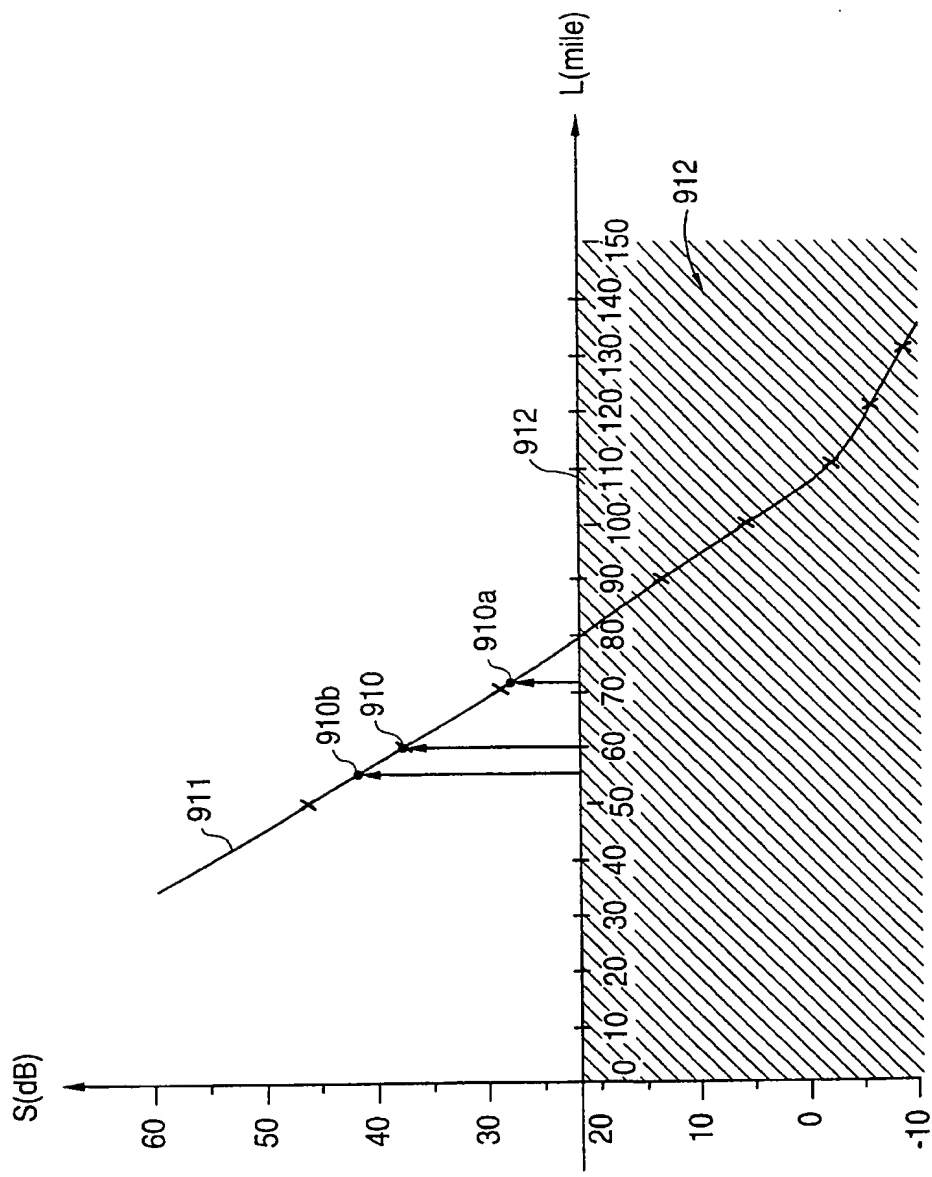
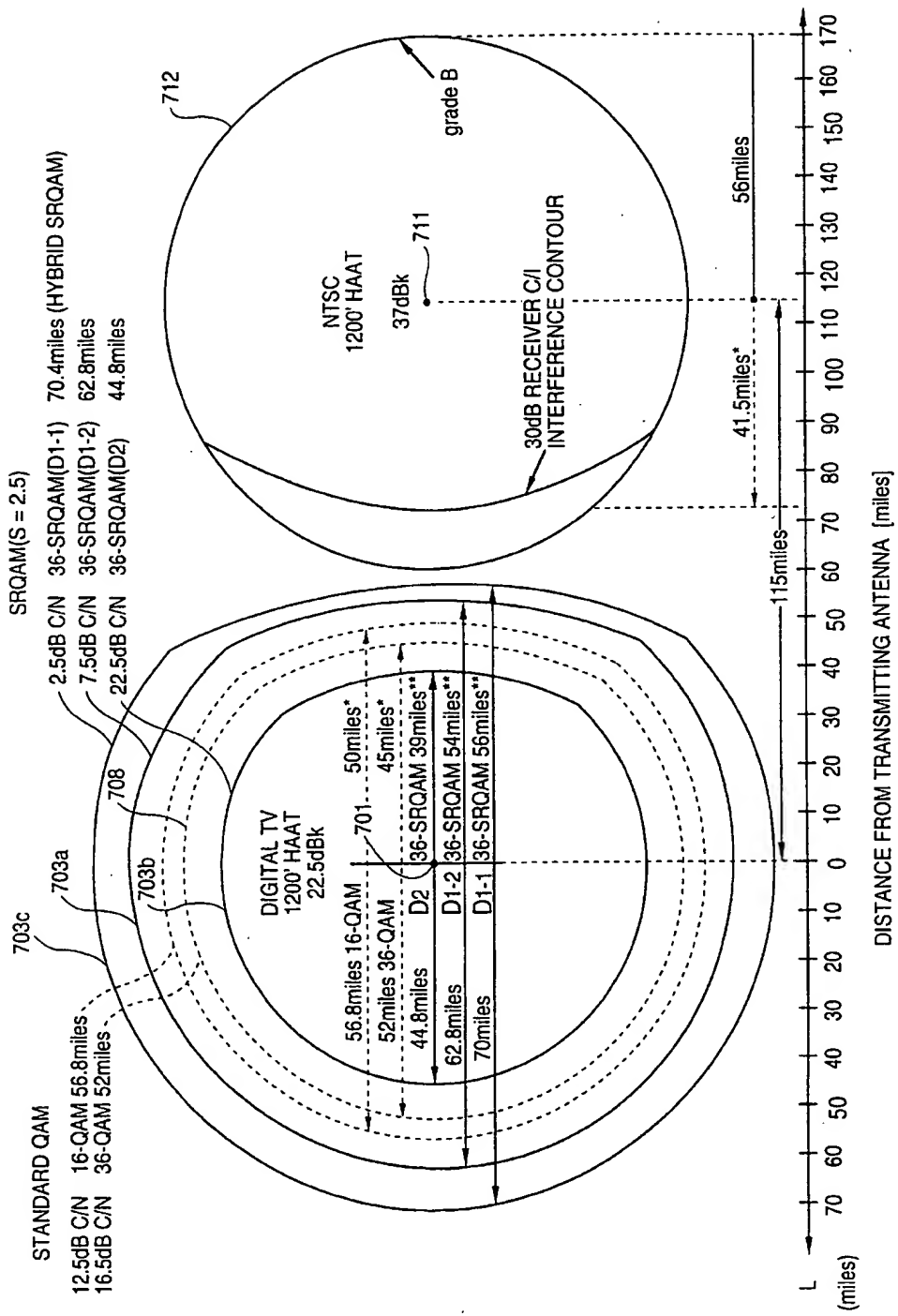
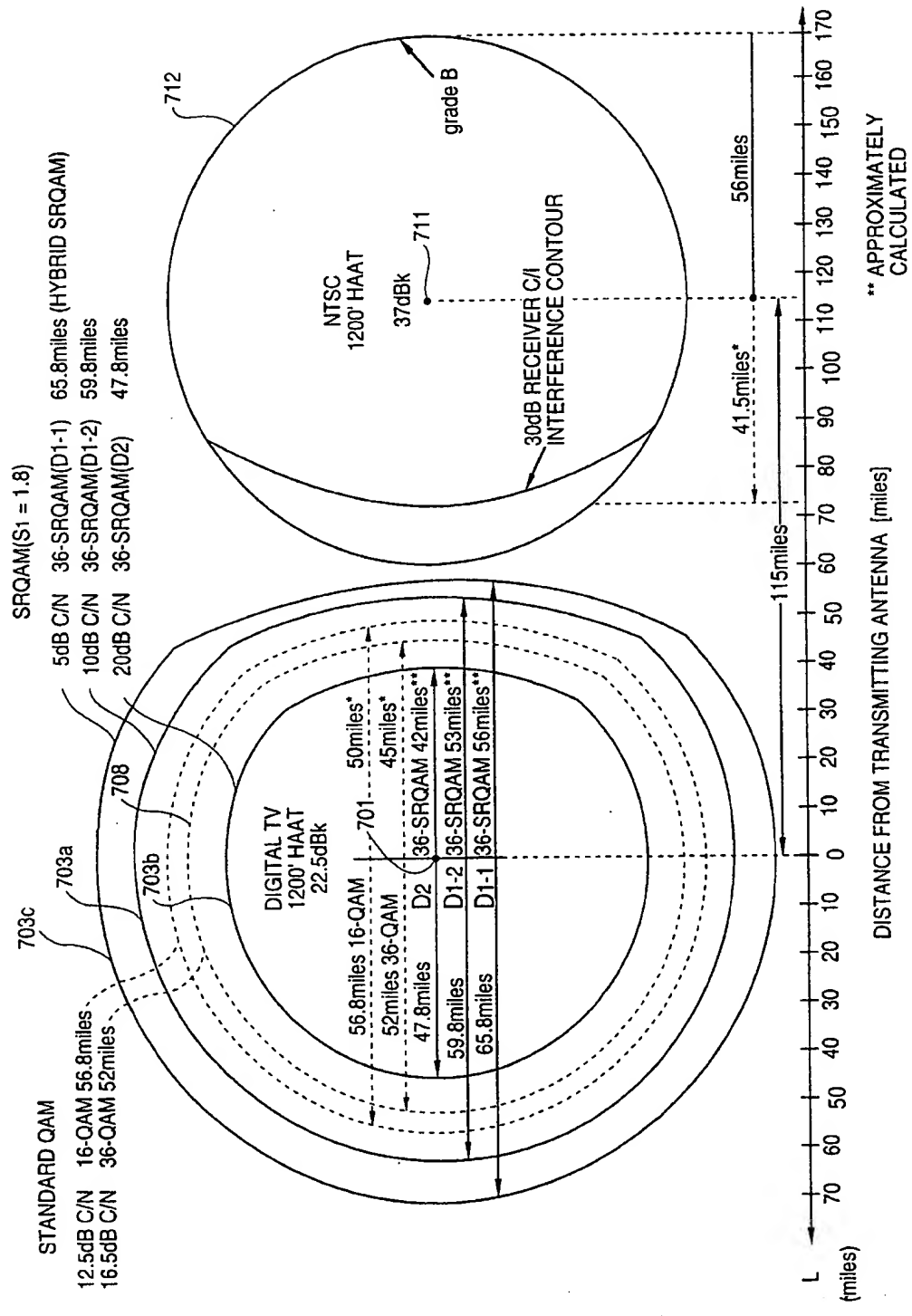
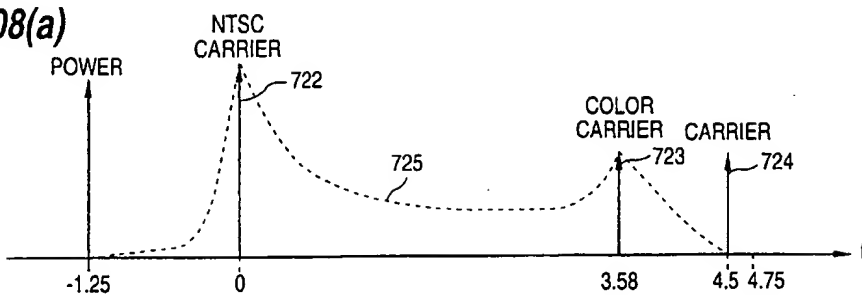
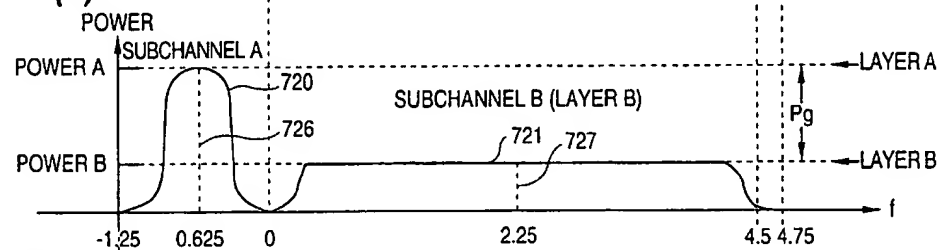
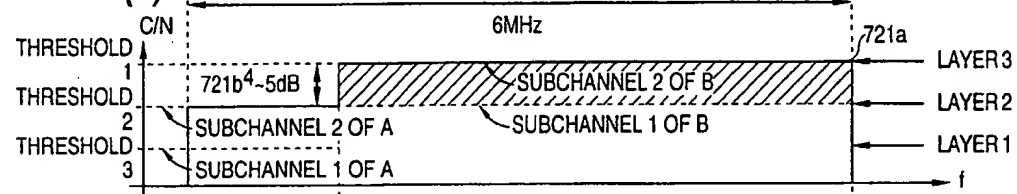
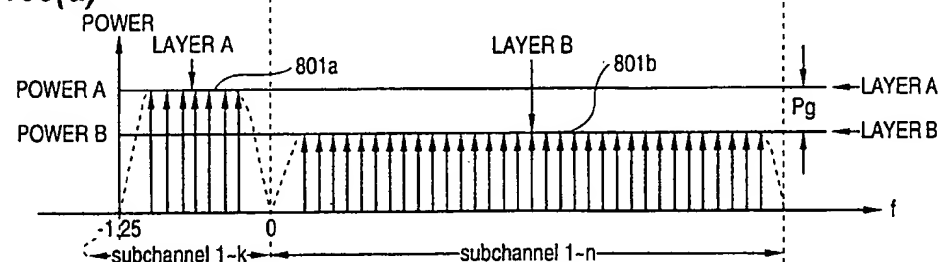
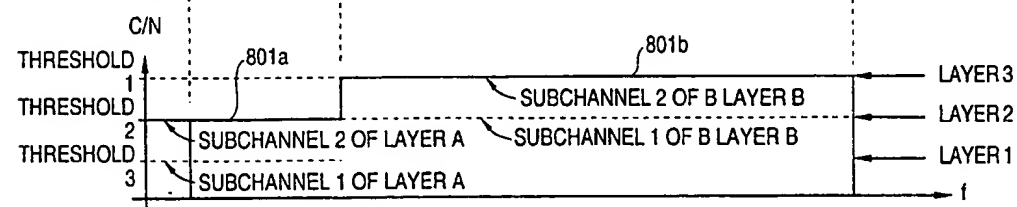
**FIG. 105**

FIG. 106



**FIG. 107**

**FIG. 108(a)****FIG. 108(b)****FIG. 108(c)****FIG. 108(d)****FIG. 108(e)**

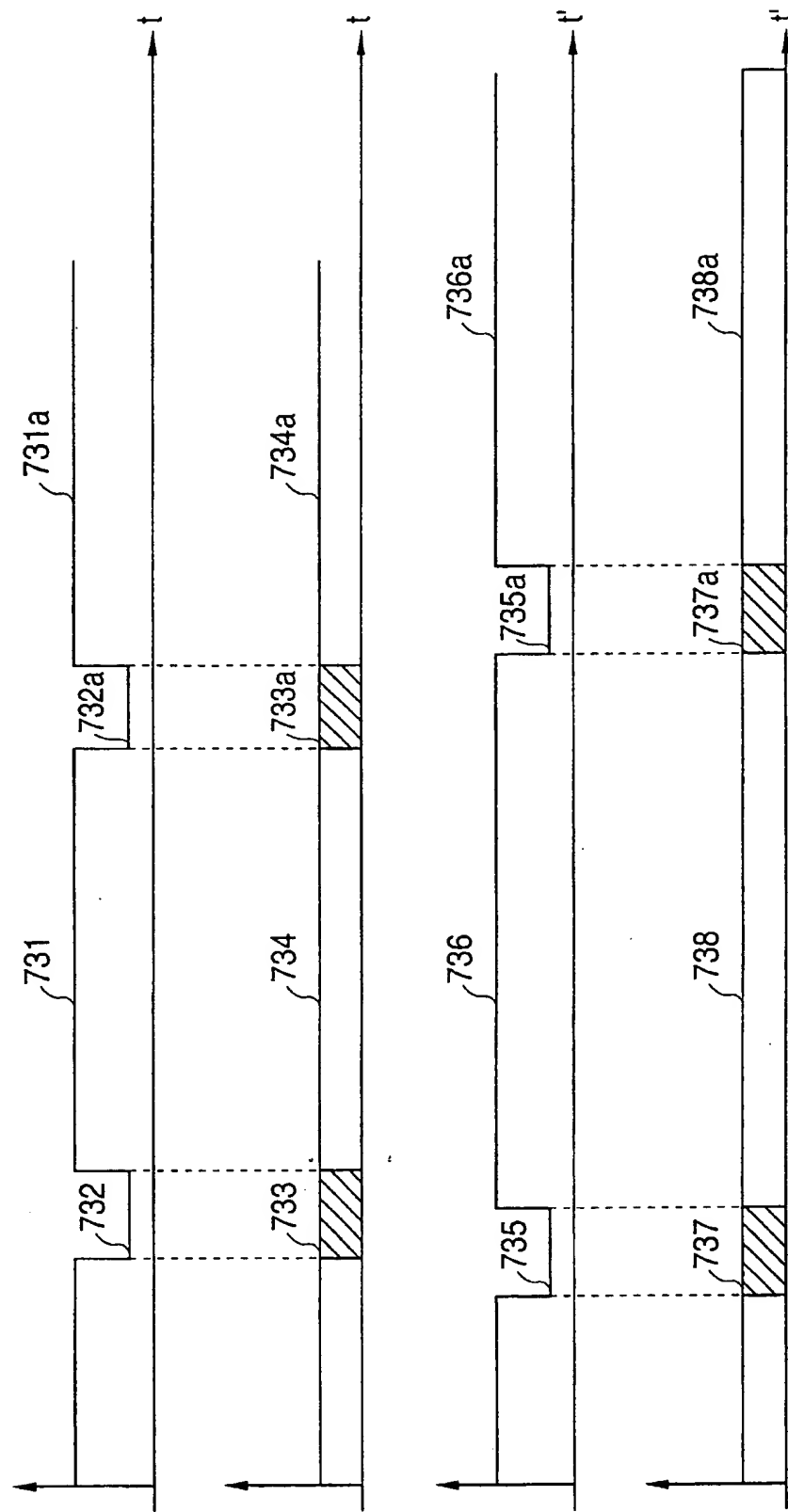
**FIG. 109**

FIG. 110

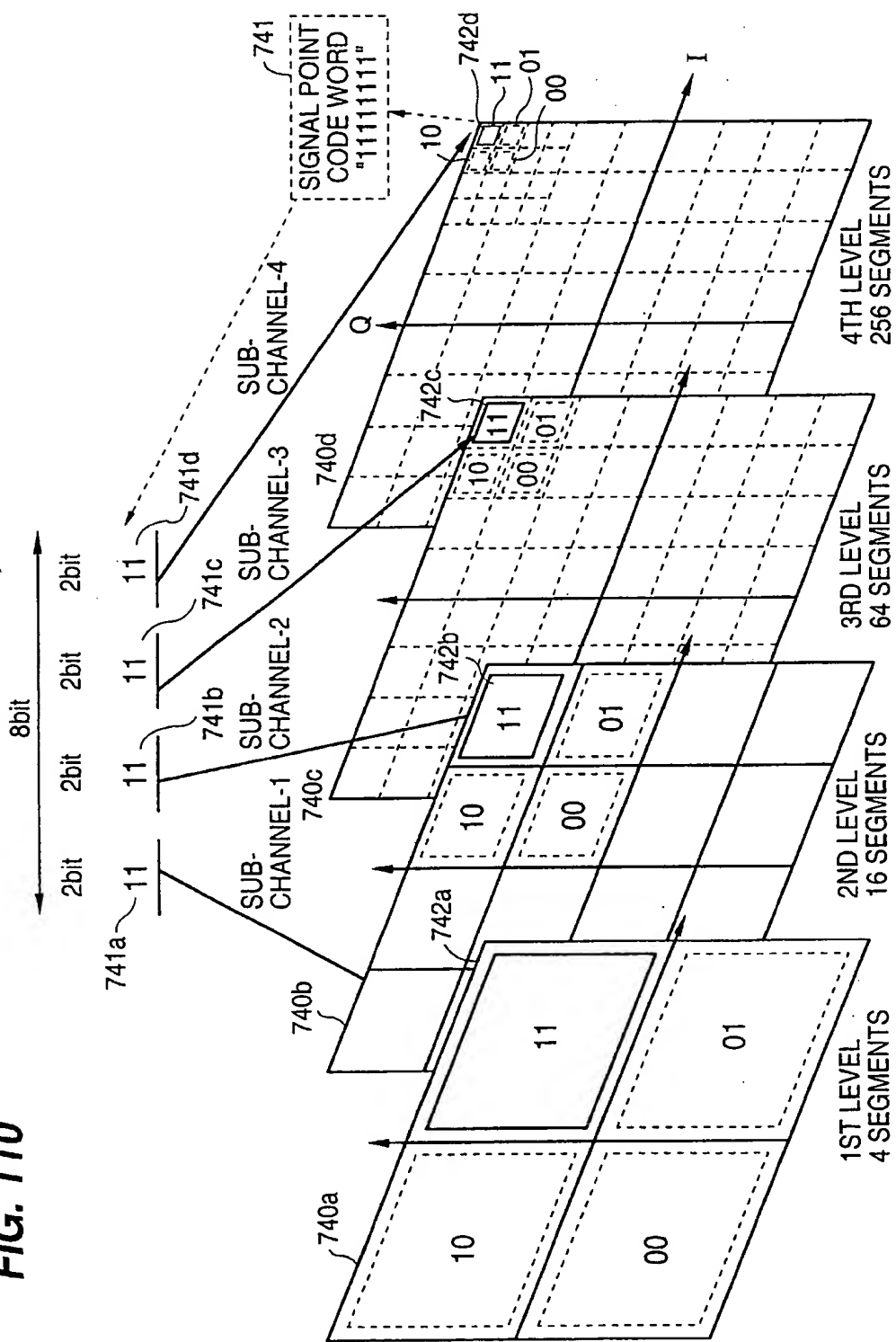
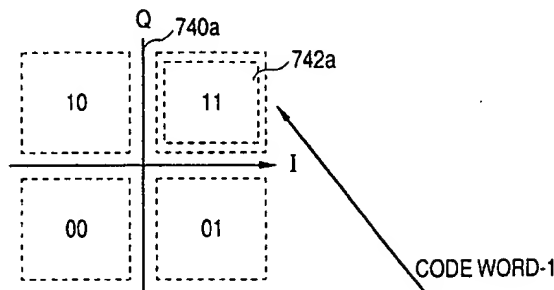
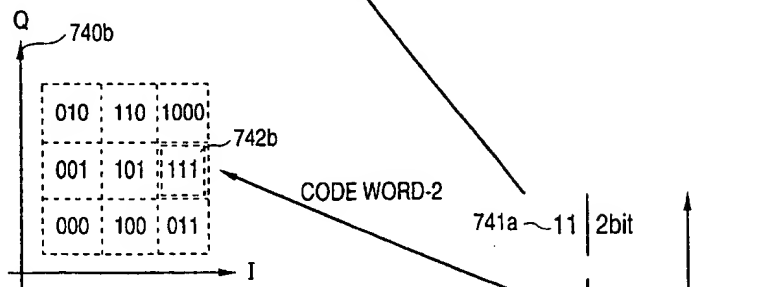


FIG. 111

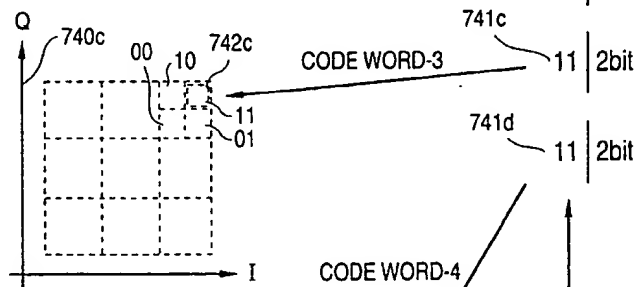
SUBCHANNEL-1 (SRQAM:D1 = 2bit )



SUBCHANNEL-2 (36-SRQAM:D2 = 3bit + 1/8bit )



SUBCHANNEL-3 (144-SRQAM:D3 = 2bit )



SUBCHANNEL-4 (576-SRQAM:D4 = 2bit )

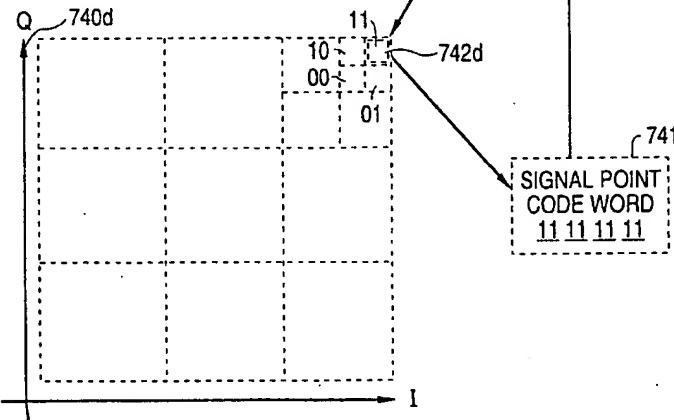
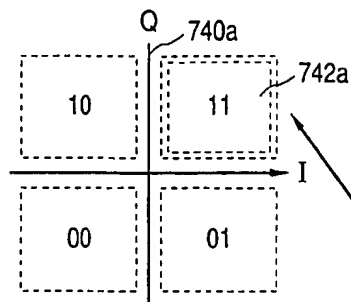
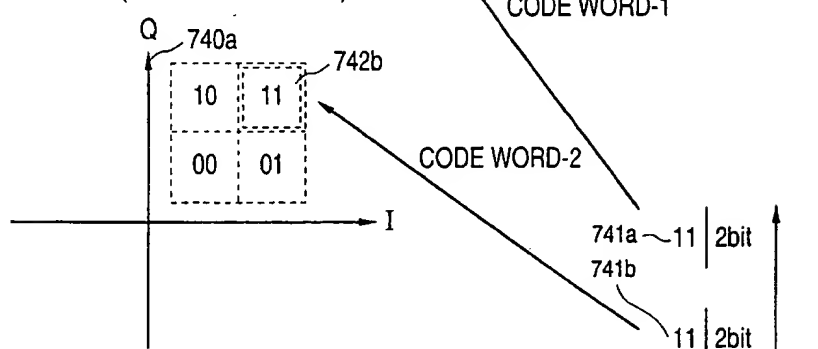


FIG. 112

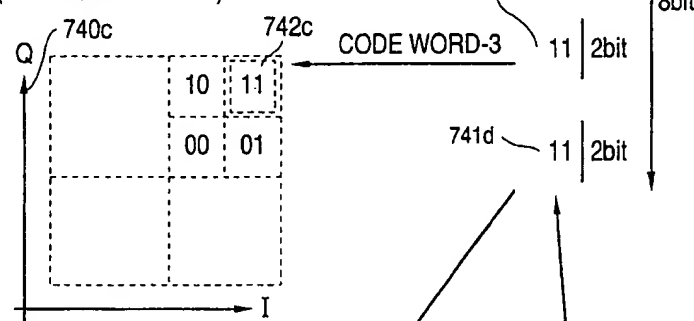
SUBCHANNEL-1 (SRQAM:D1 = 2bit)



SUBCHANNEL-2 (16-SRQAM:D2 = 2bit)



SUBCHANNEL-3 (64-SRQAM:D3 = 2bit)



SUBCHANNEL-4 (256-SRQAM:D4 = 2bit)

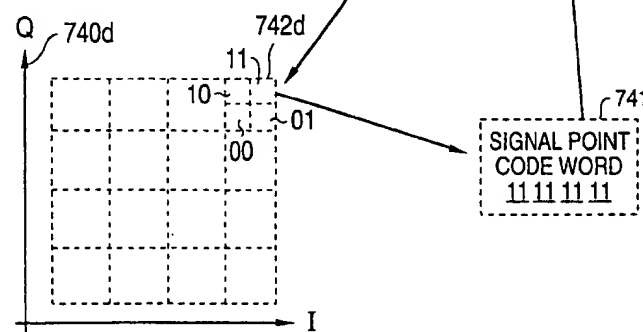


FIG. 113

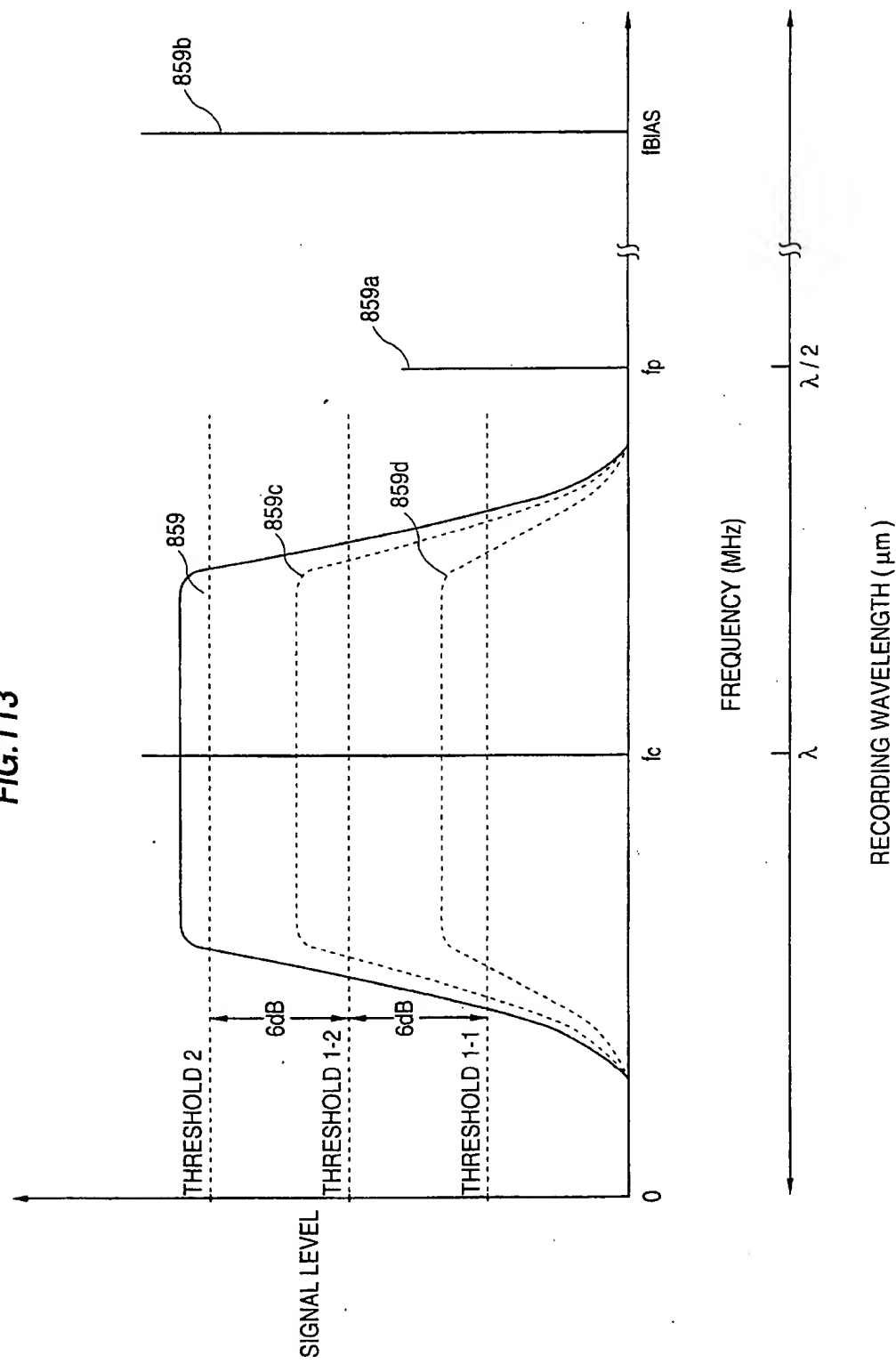


FIG. 114

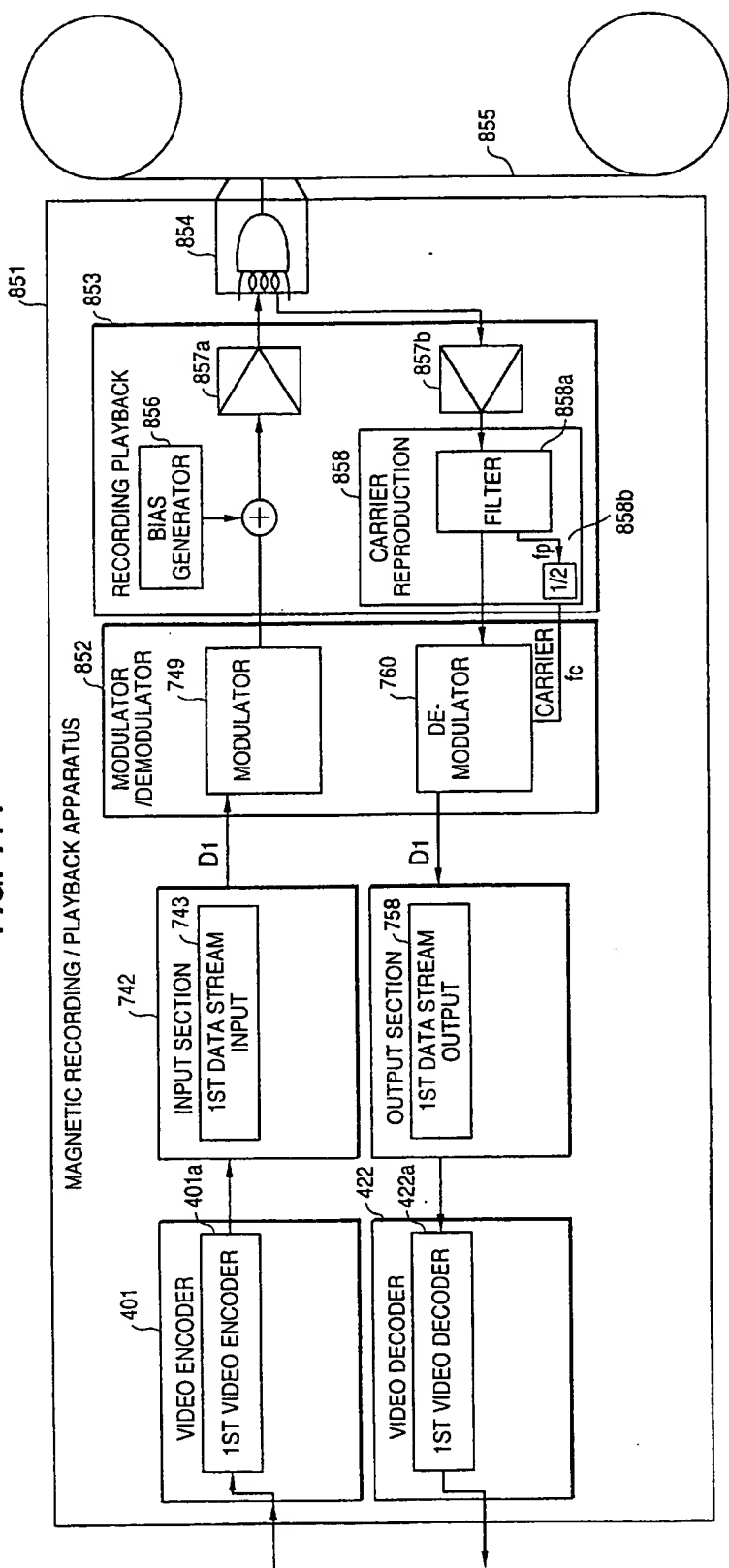
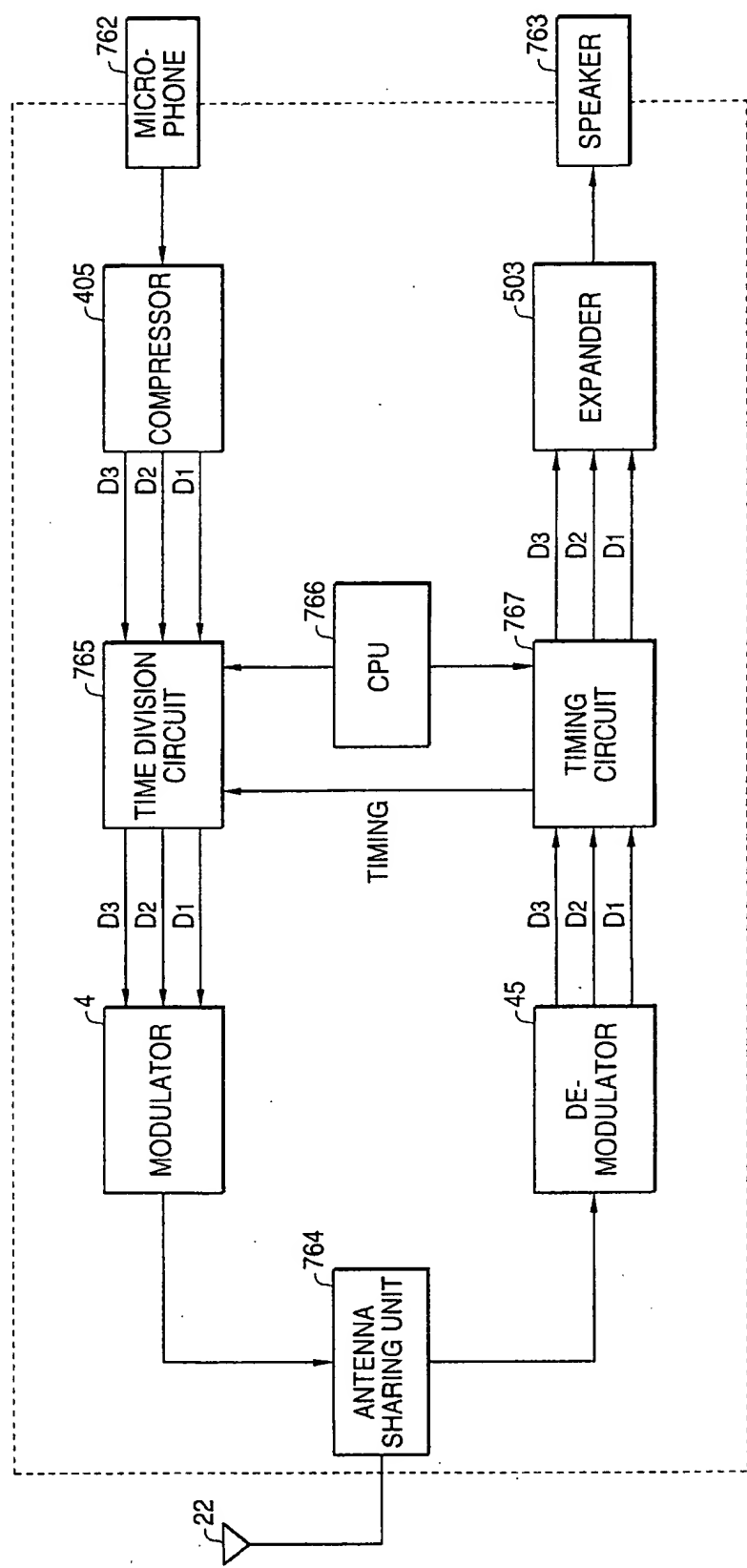
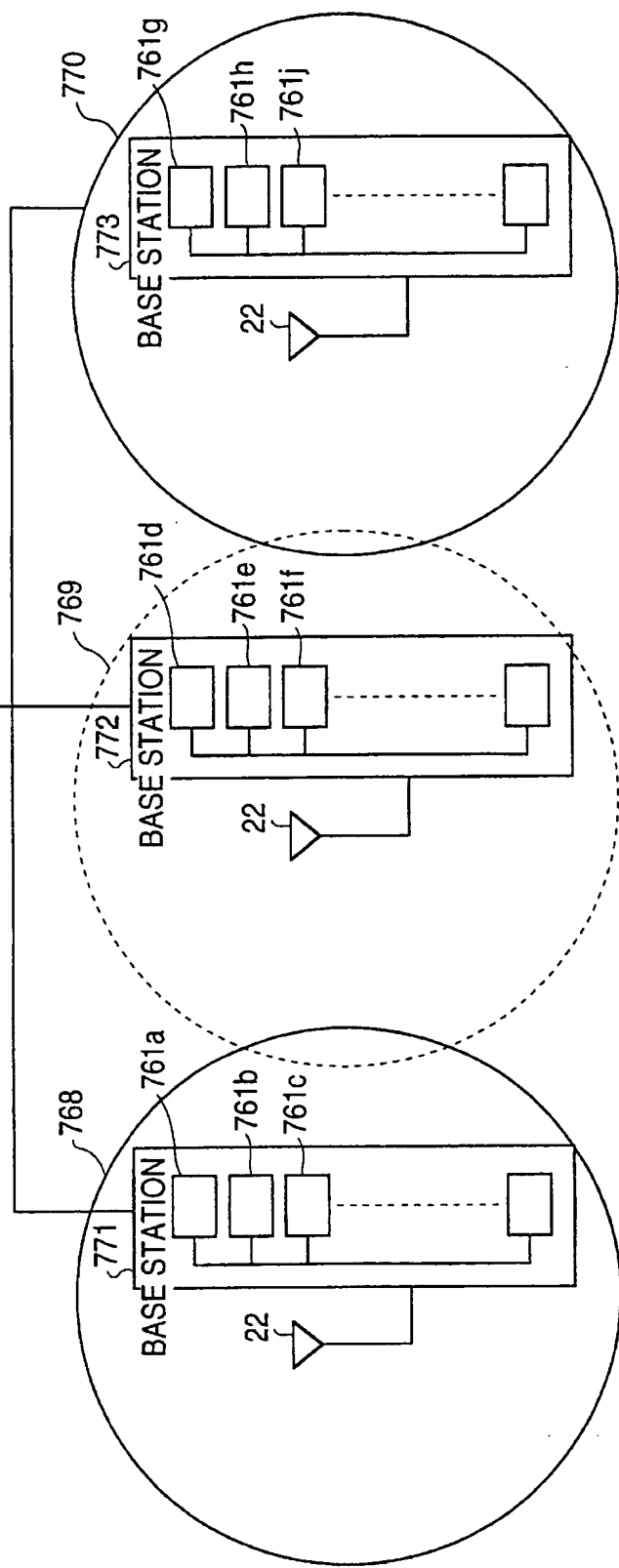
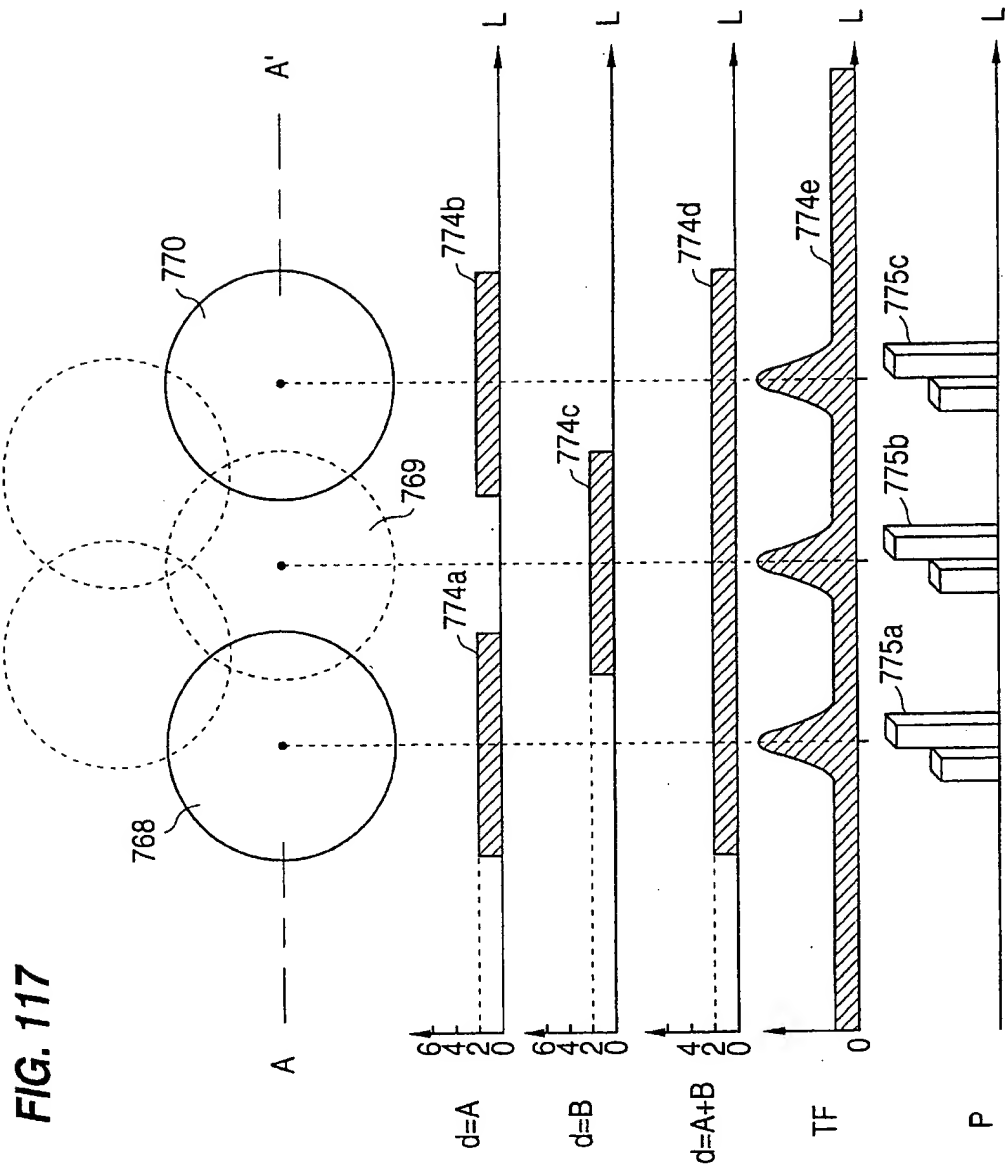


FIG. 115



**FIG. 116**



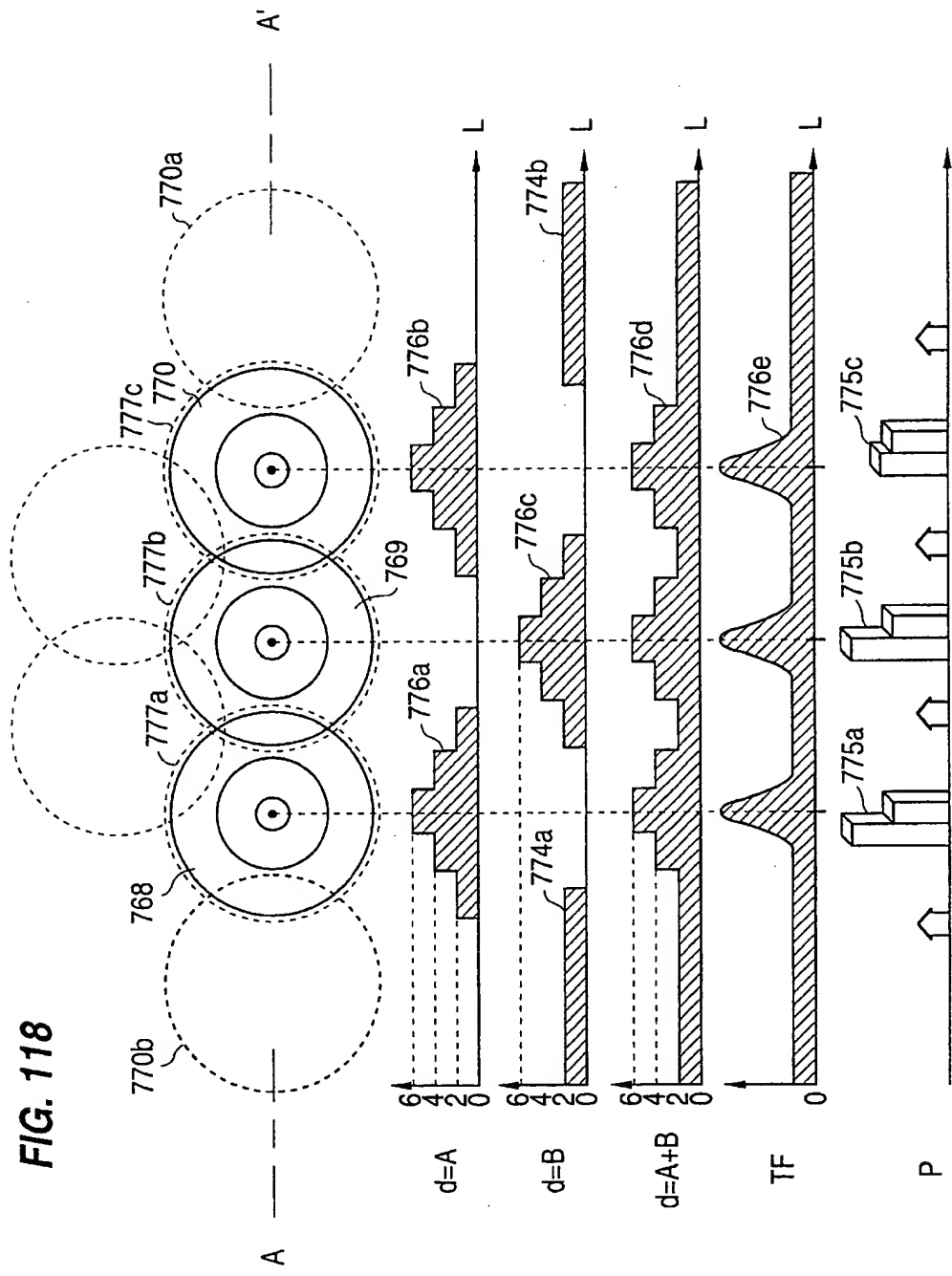
**FIG. 118**

FIG. 119(a)

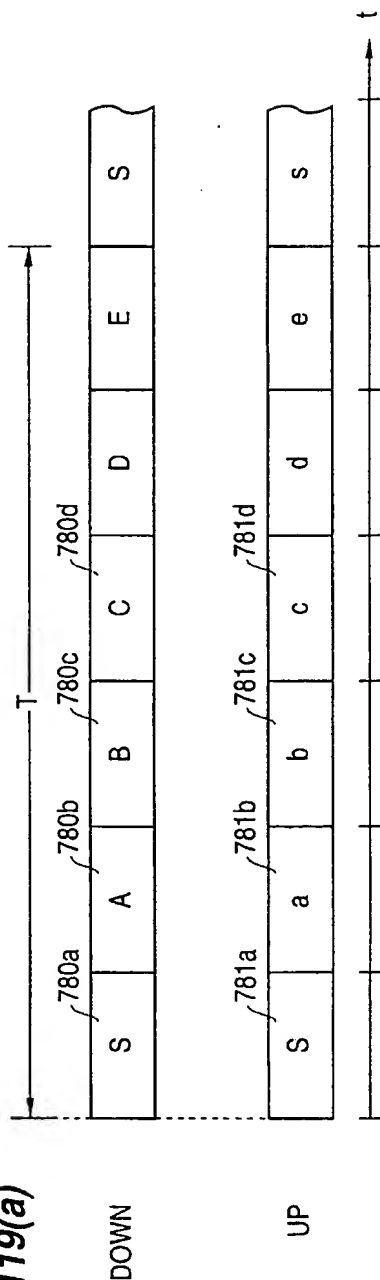


FIG. 119(b)

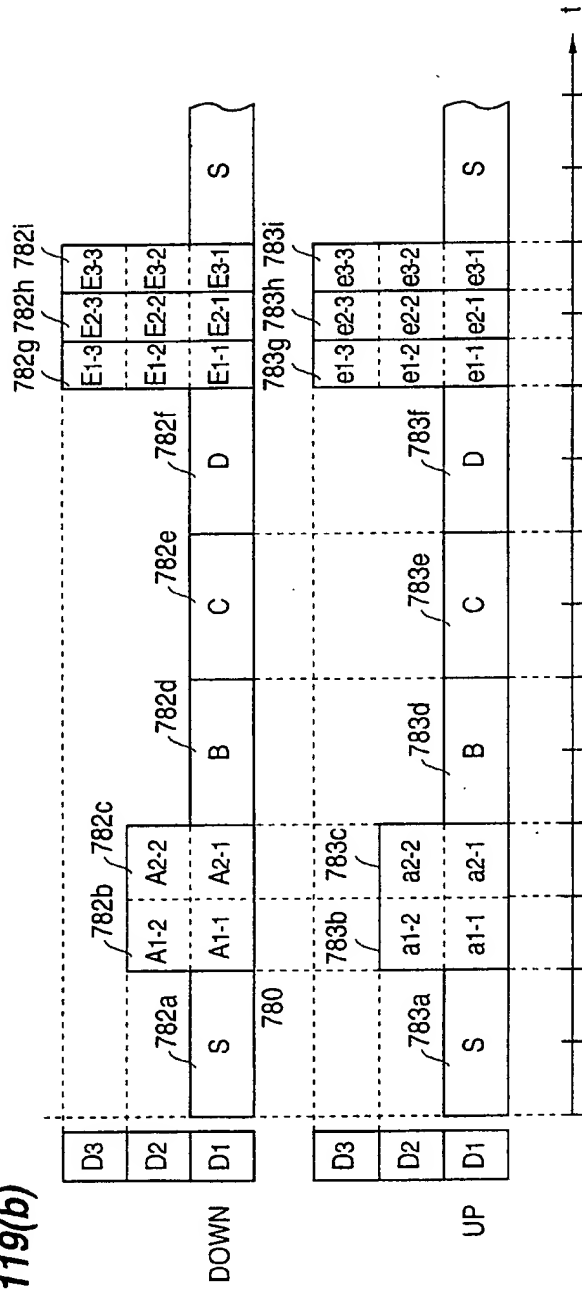


FIG. 120(a)

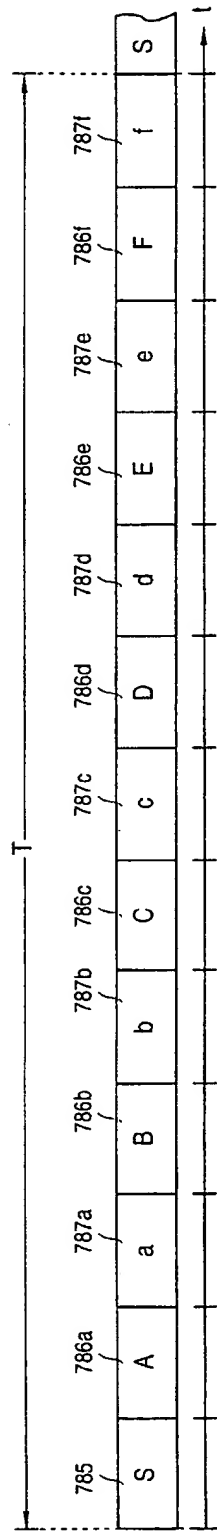


FIG. 120(b)

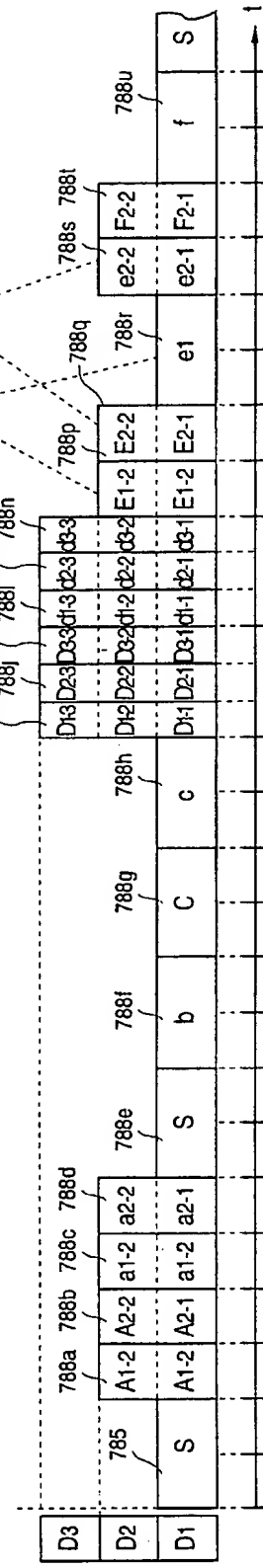


FIG. 121

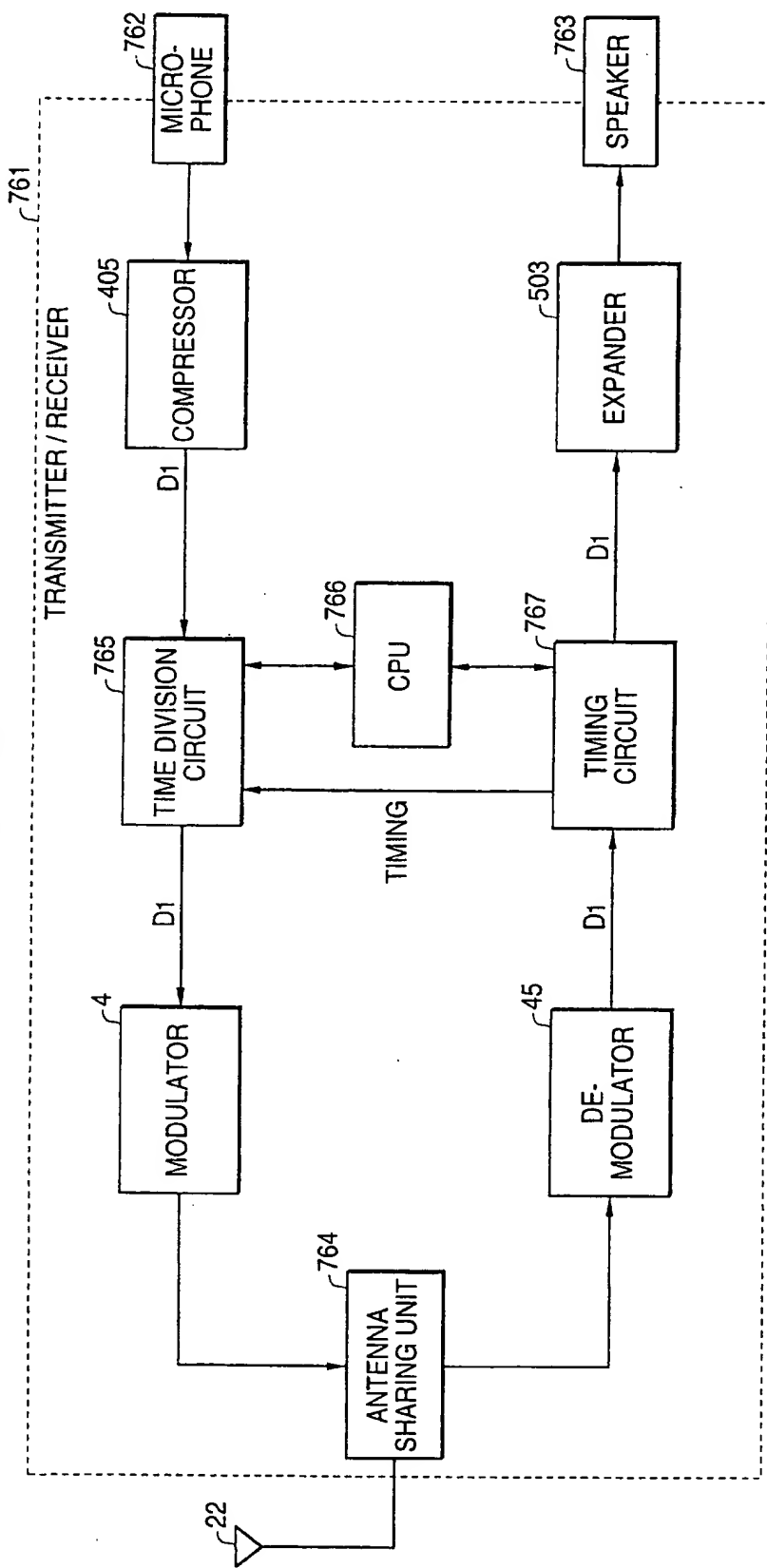
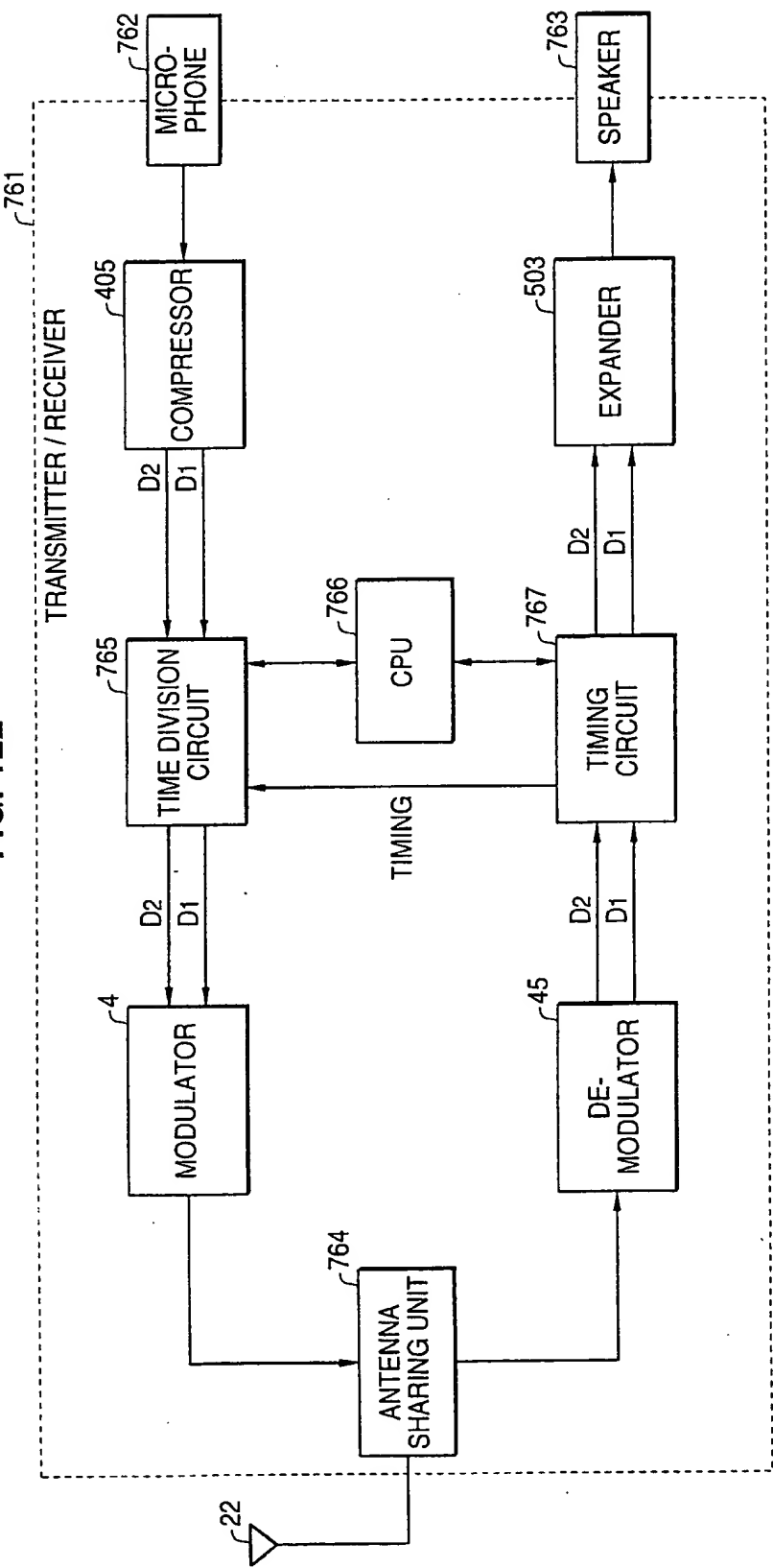


FIG. 122



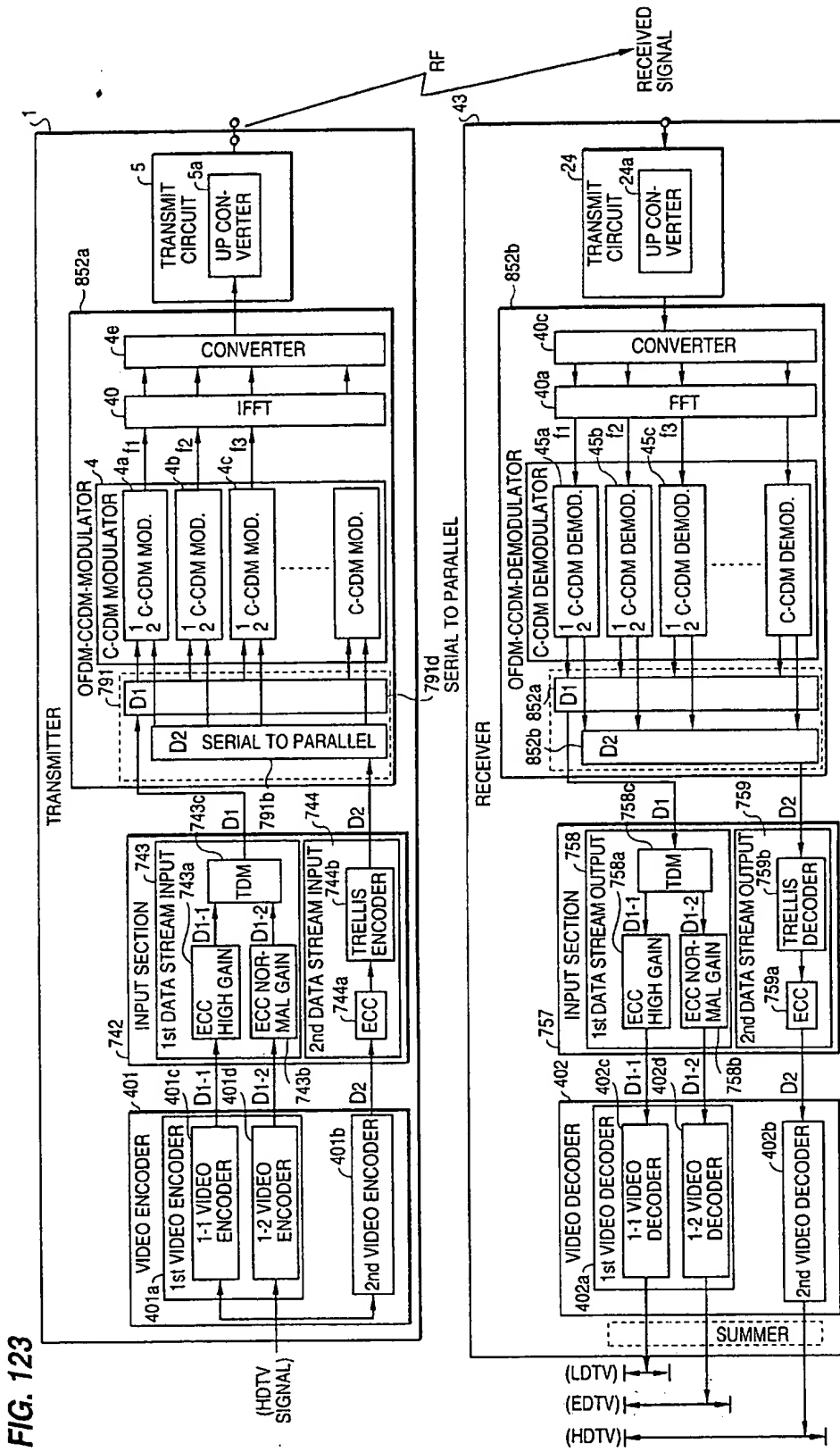
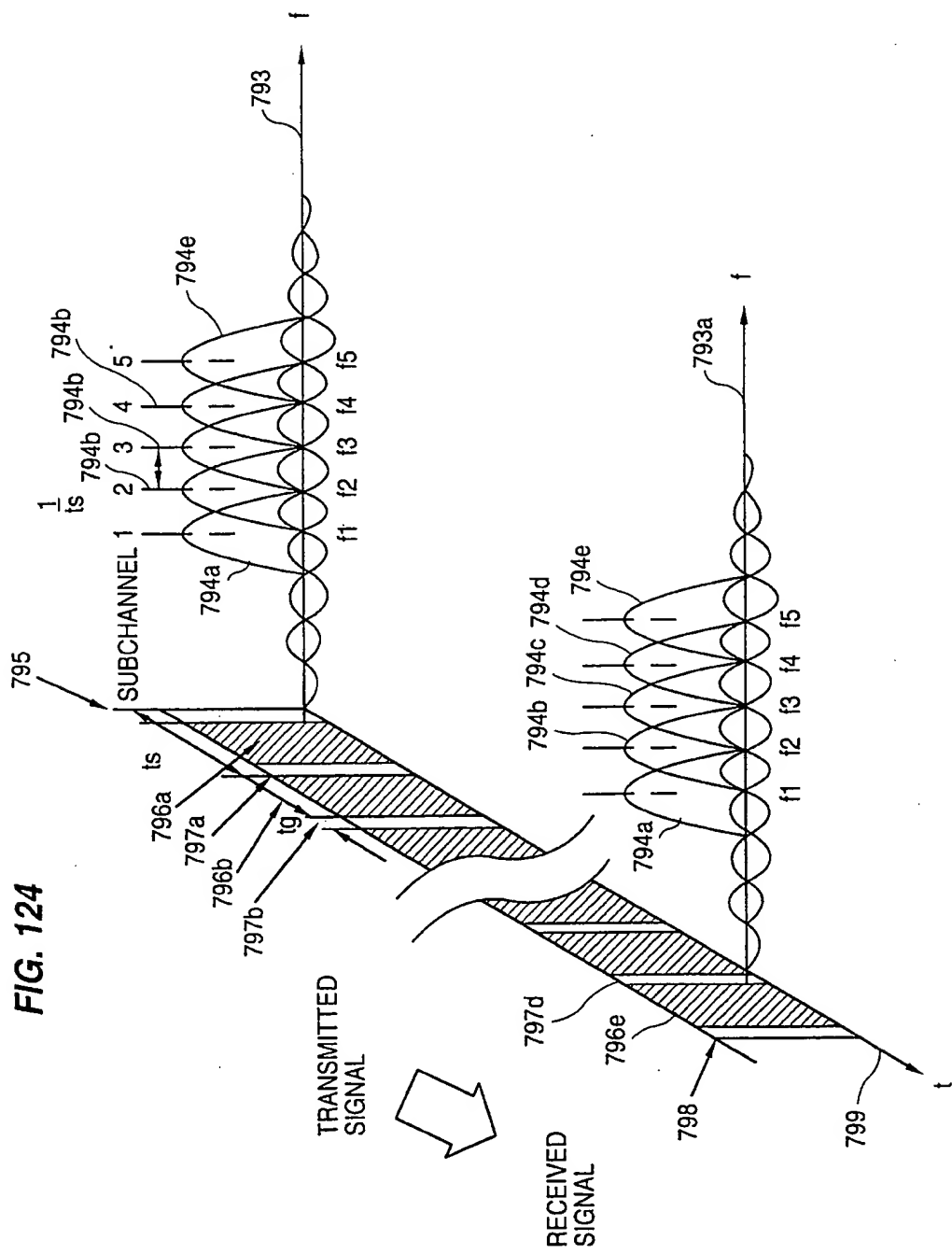
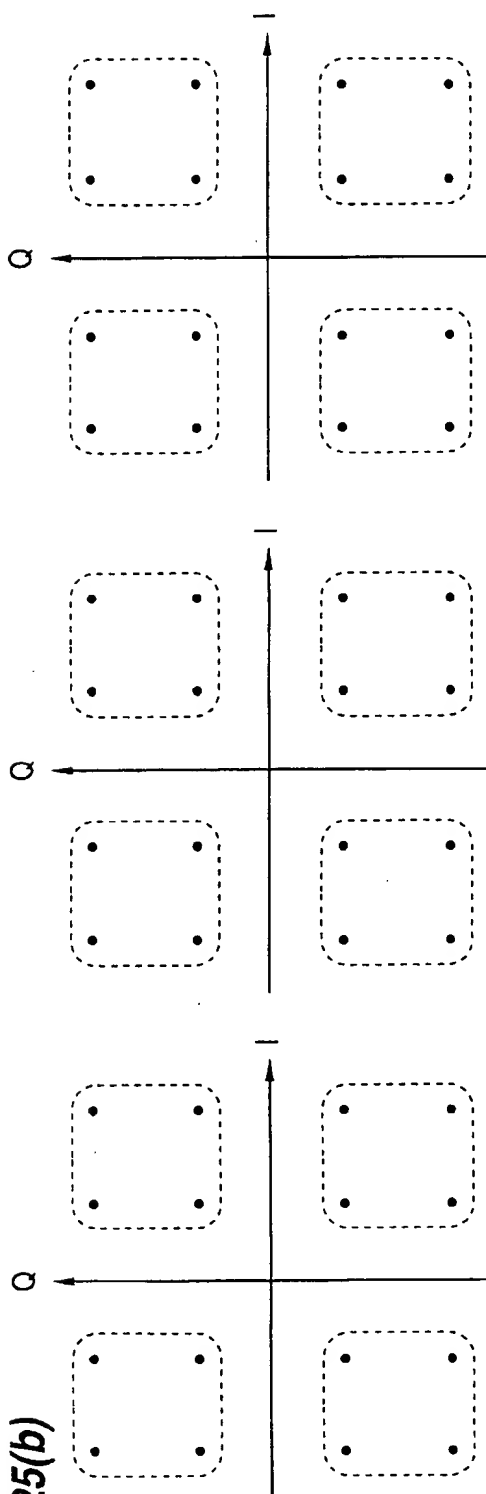
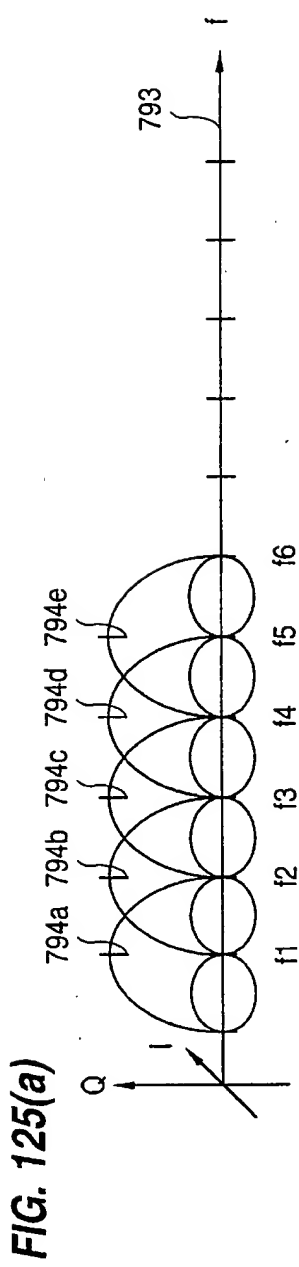


FIG. 123

FIG. 124





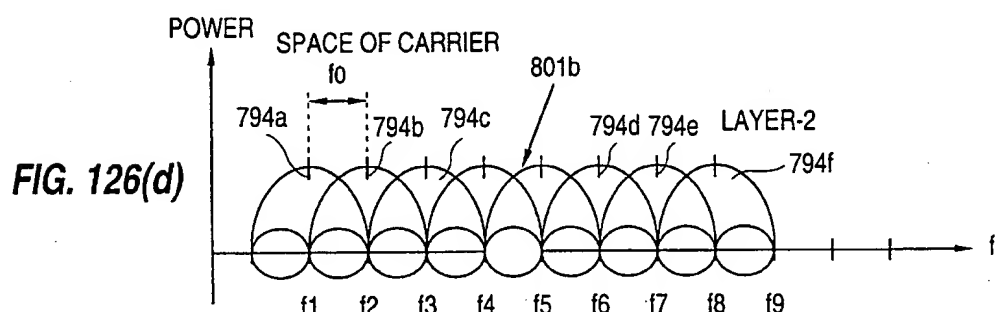
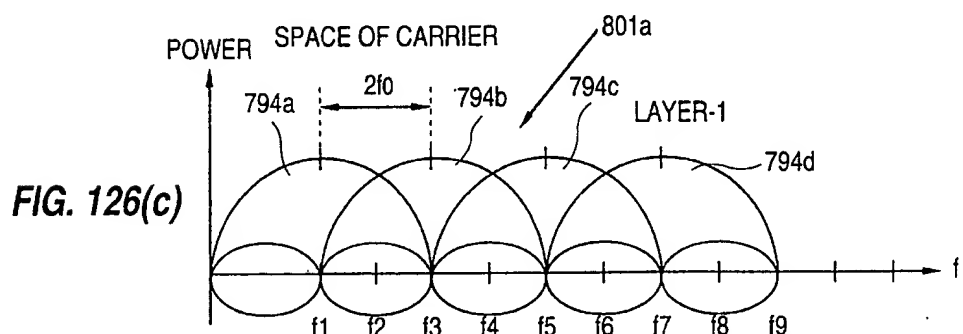
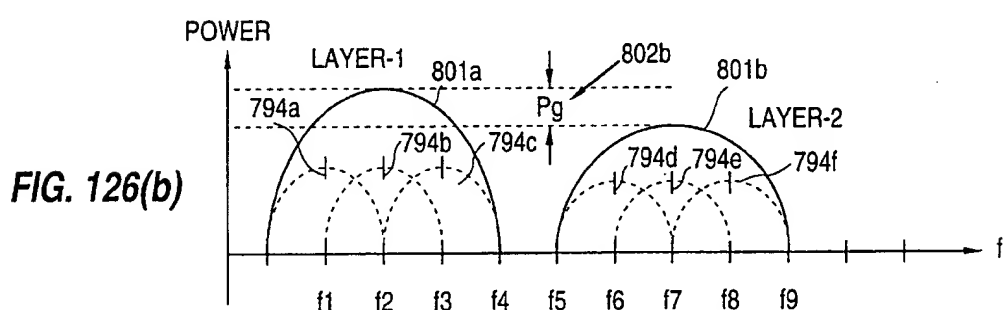
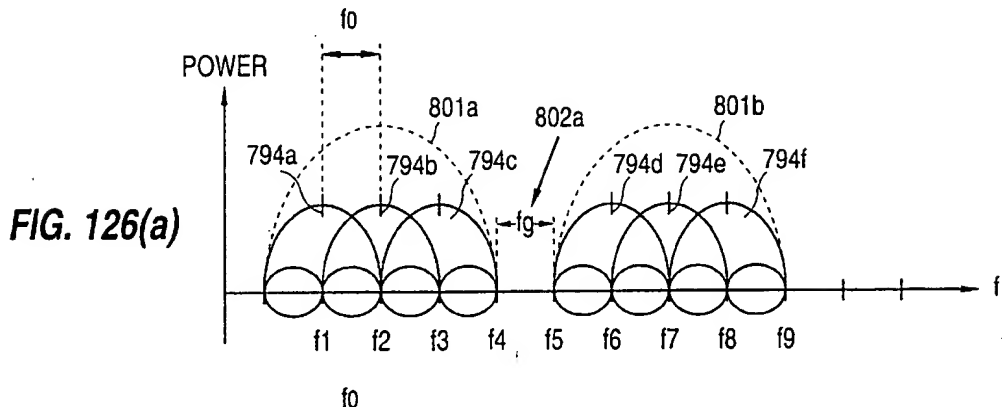
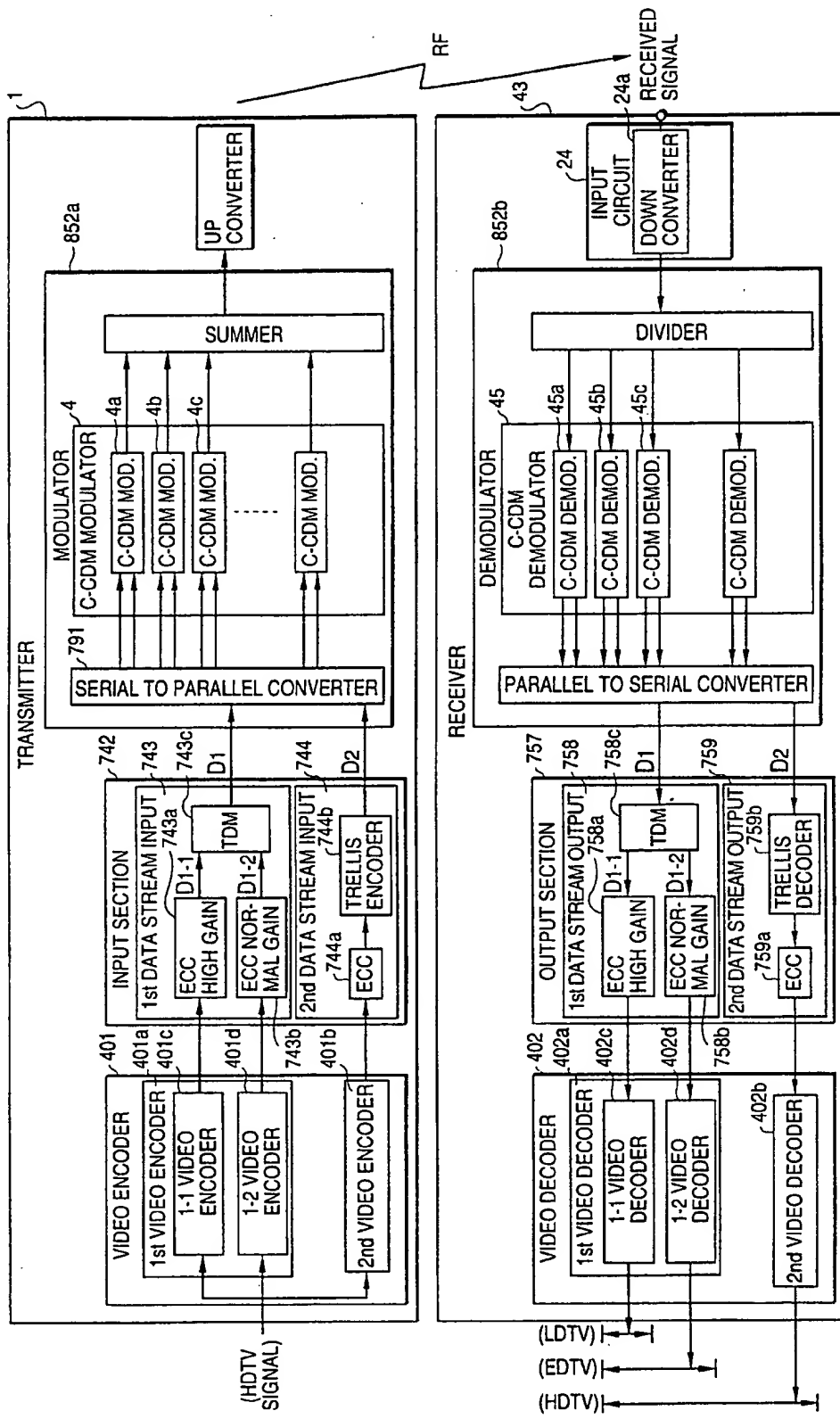
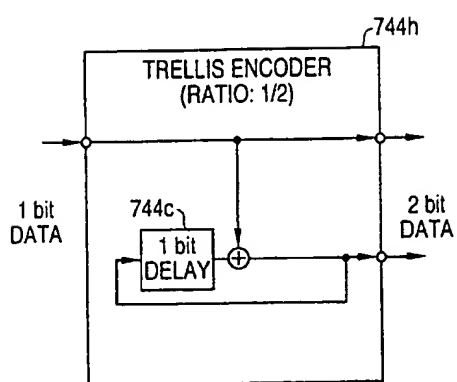
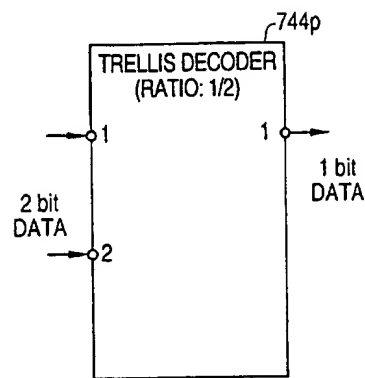
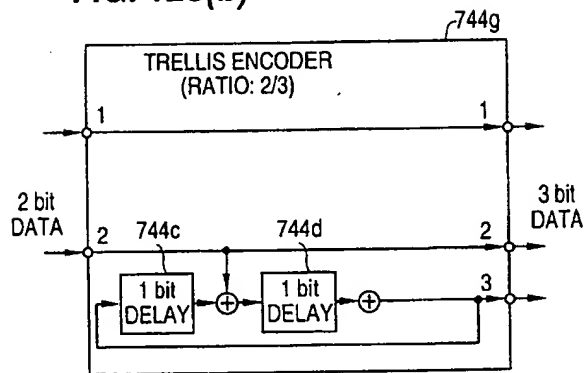
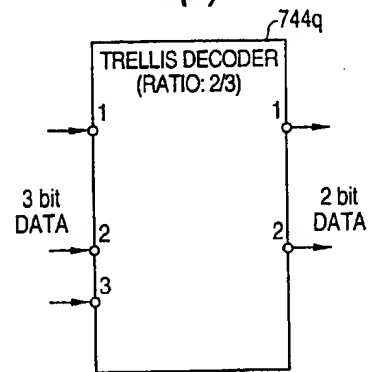
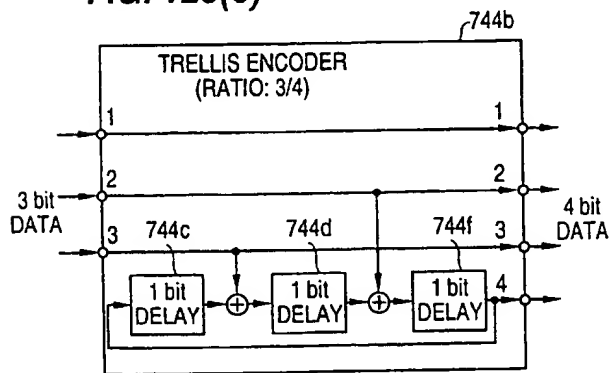
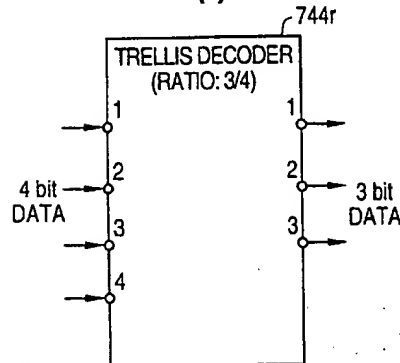
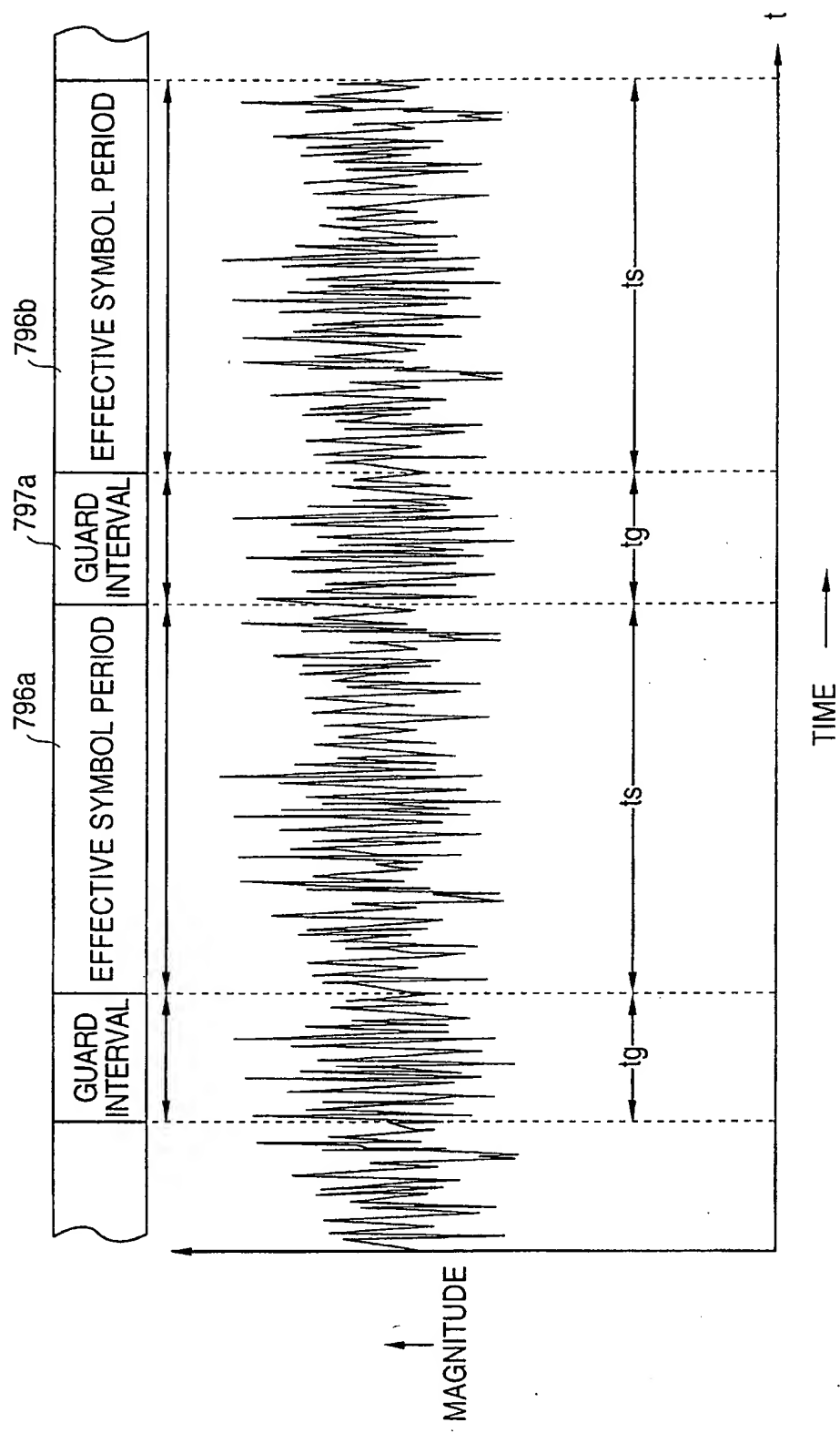
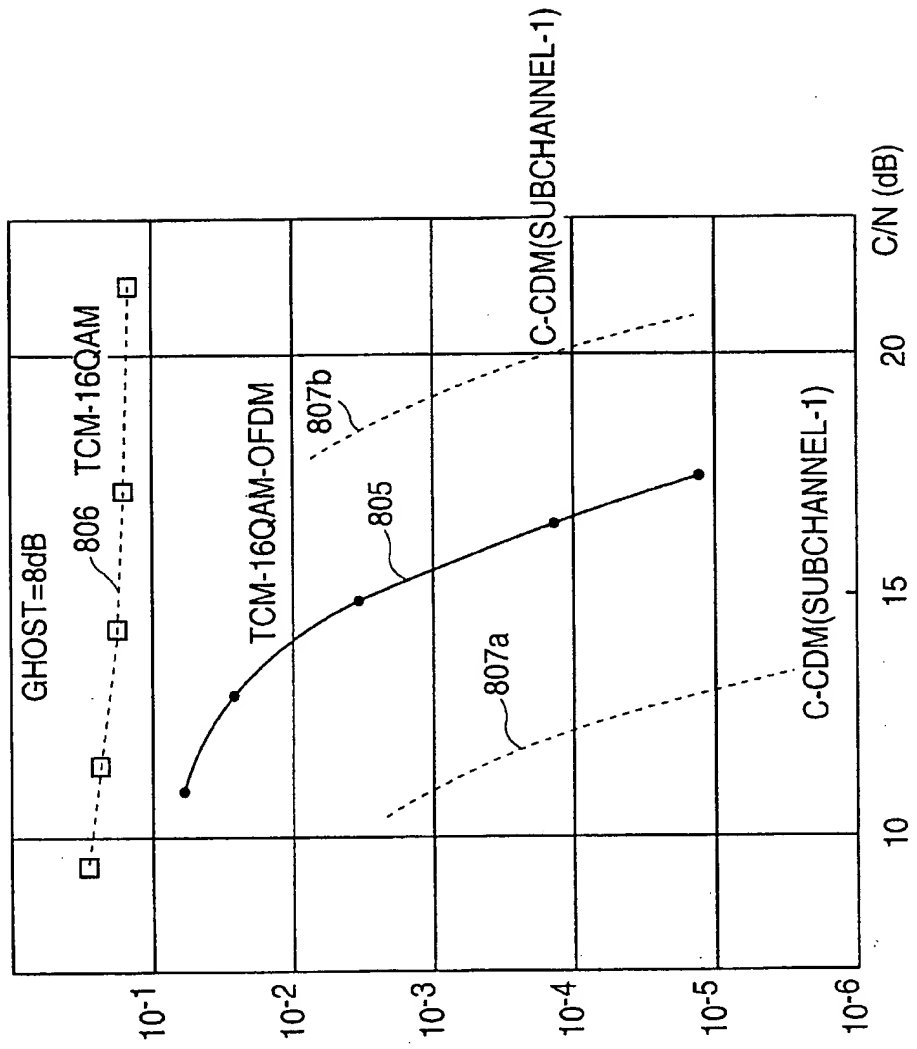


FIG. 127



**FIG. 128(a)****FIG. 128(d)****FIG. 128(b)****FIG. 128(e)****FIG. 128(c)****FIG. 128(f)**

**FIG. 129**

**FIG. 130**

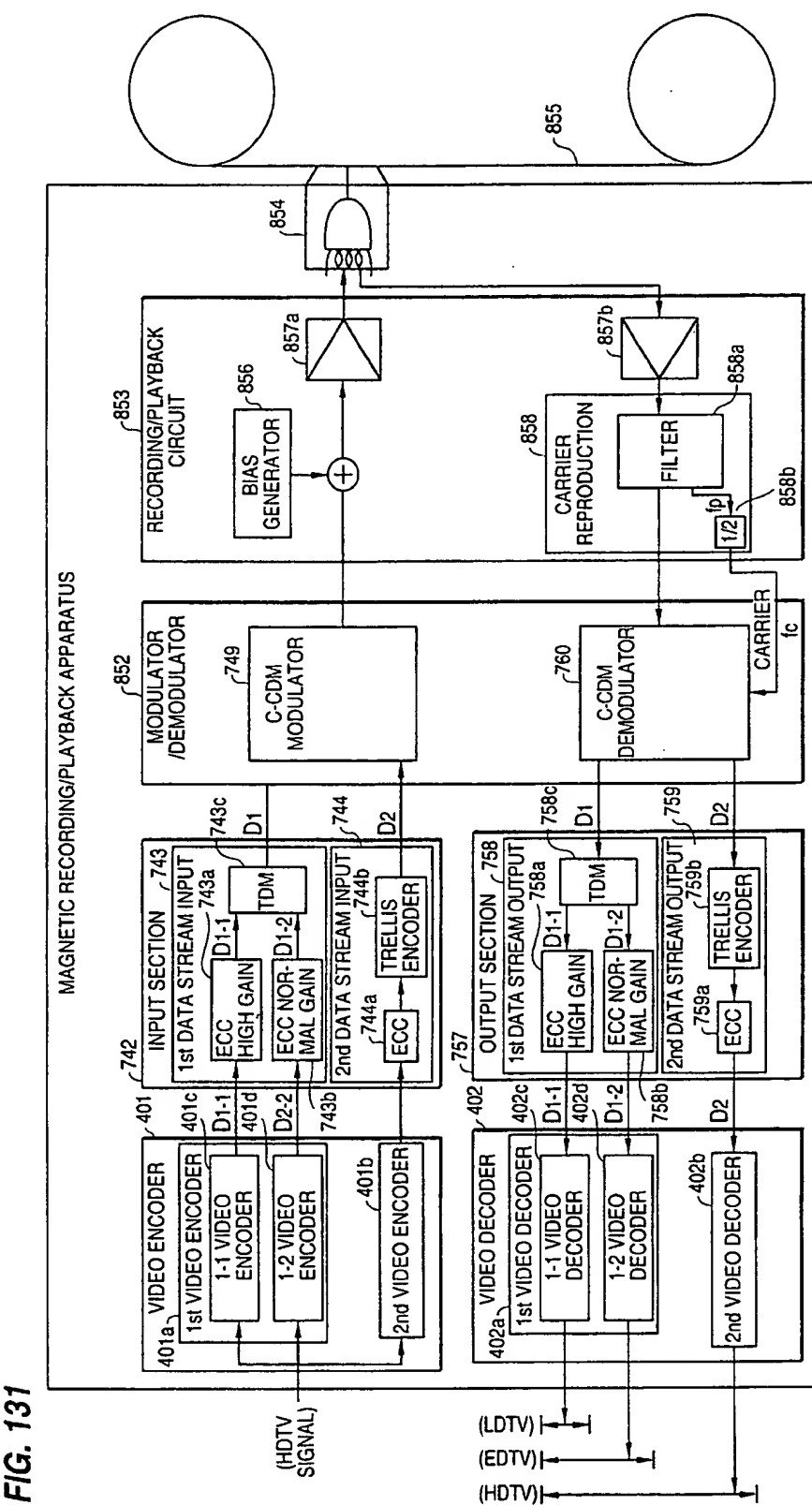


FIG. 131

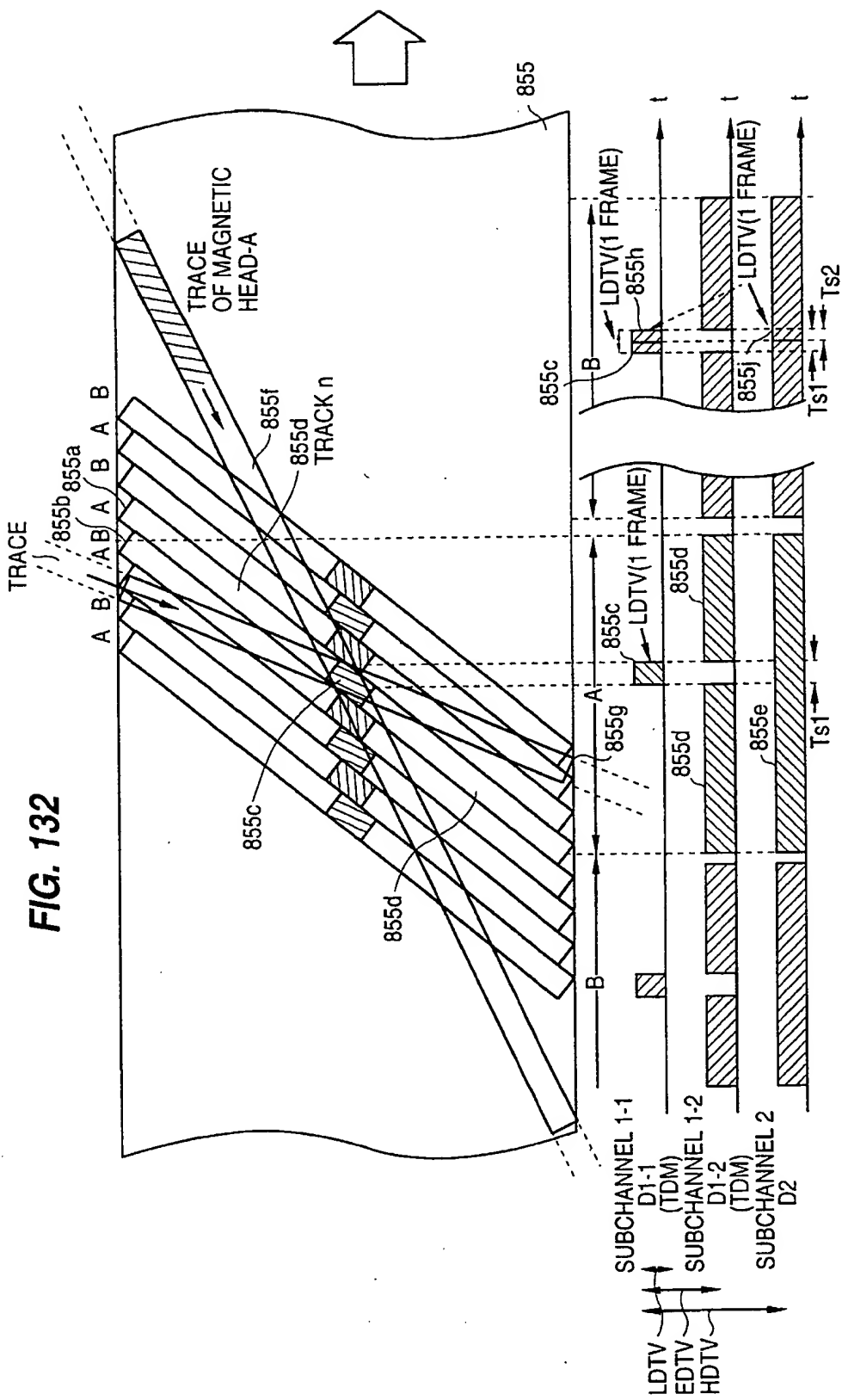
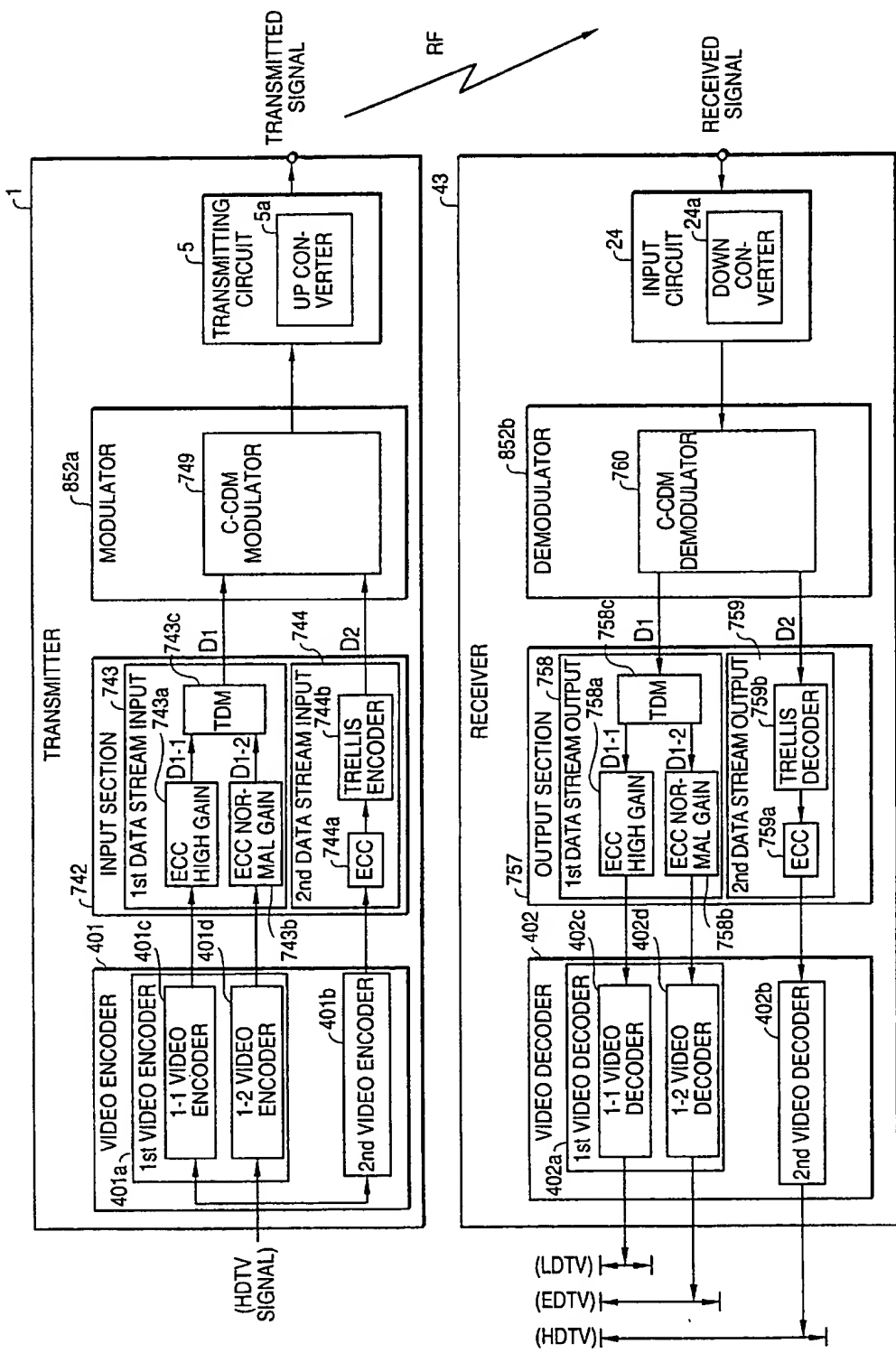


FIG. 133



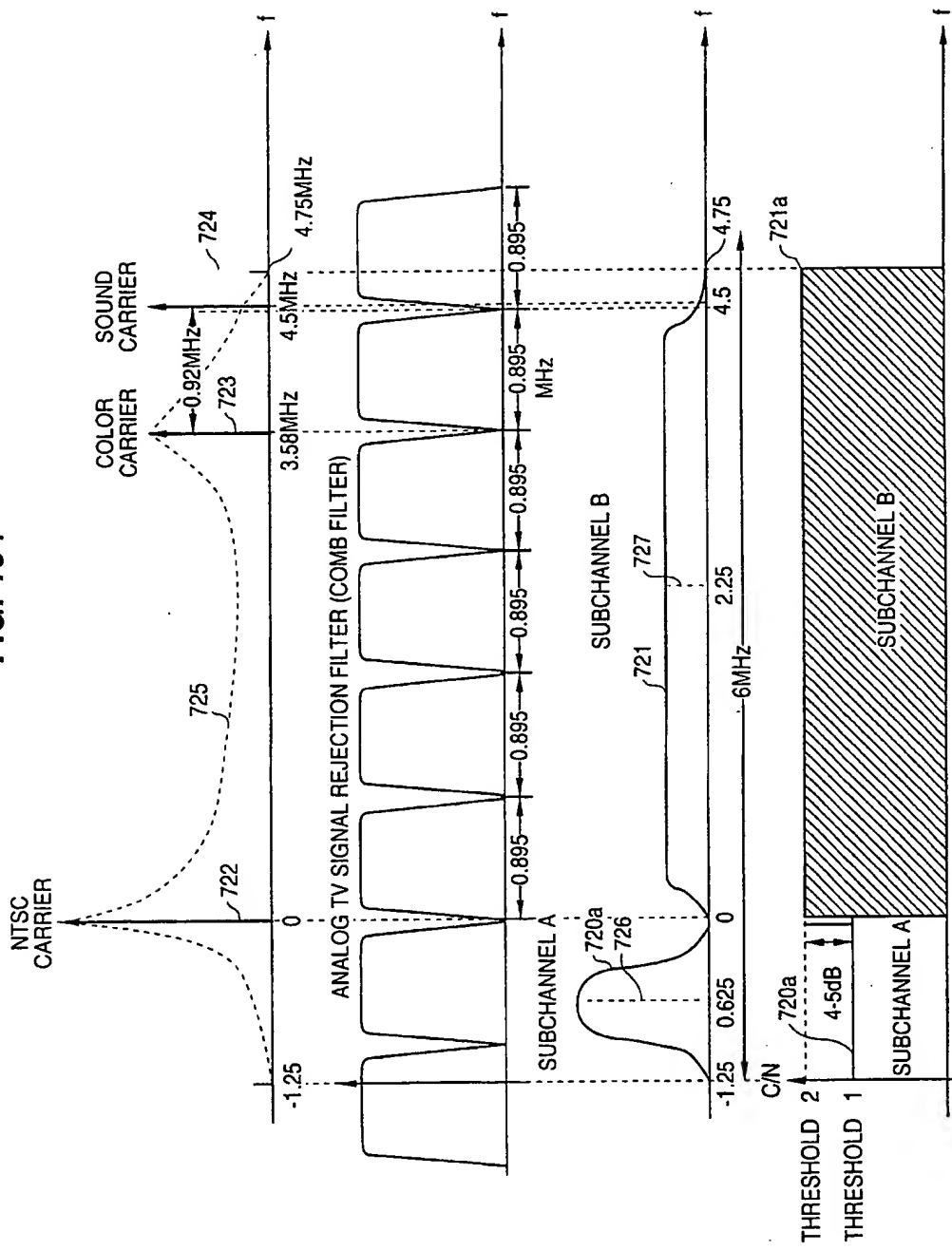
**FIG. 134**

FIG. 135

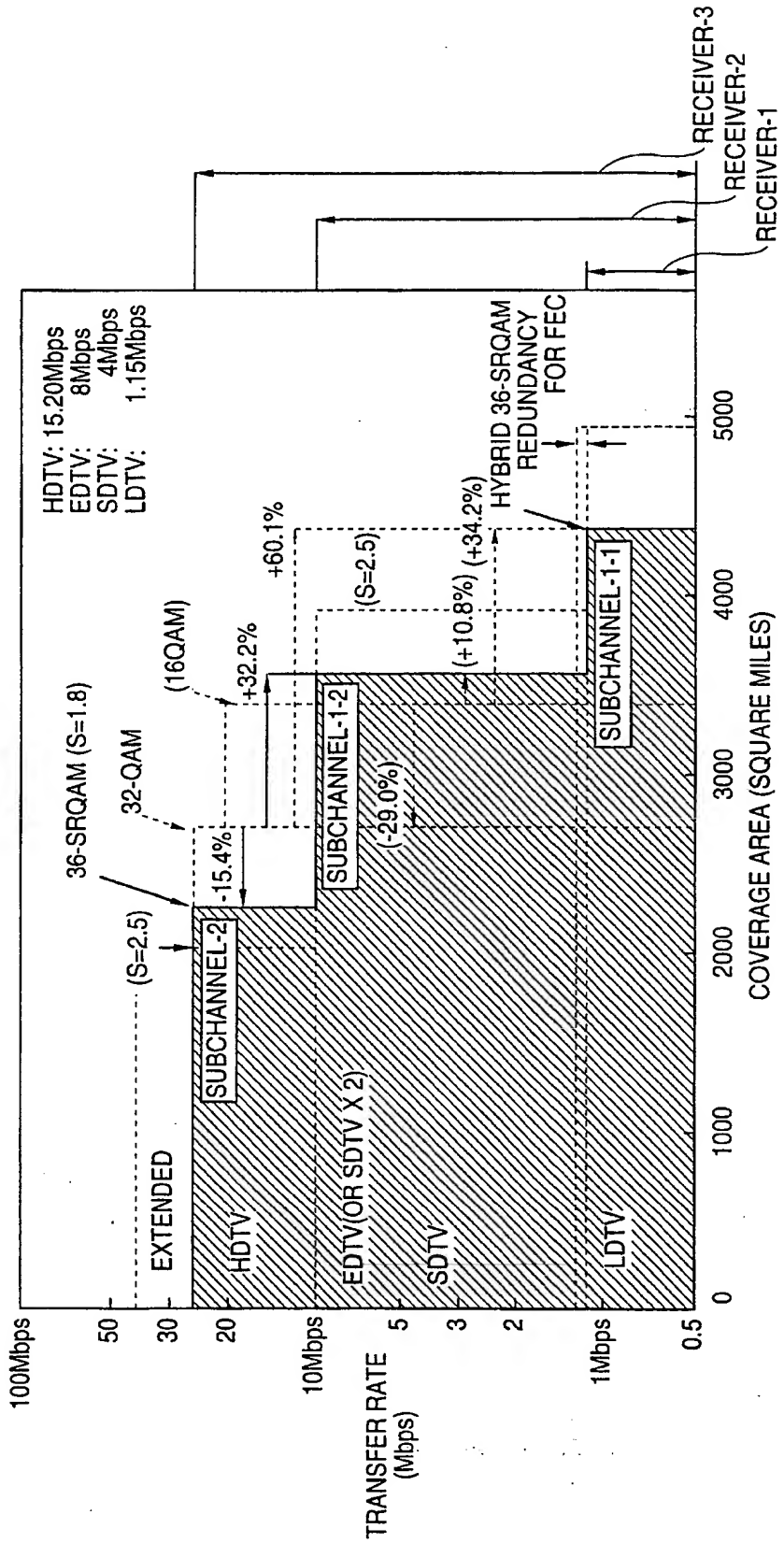
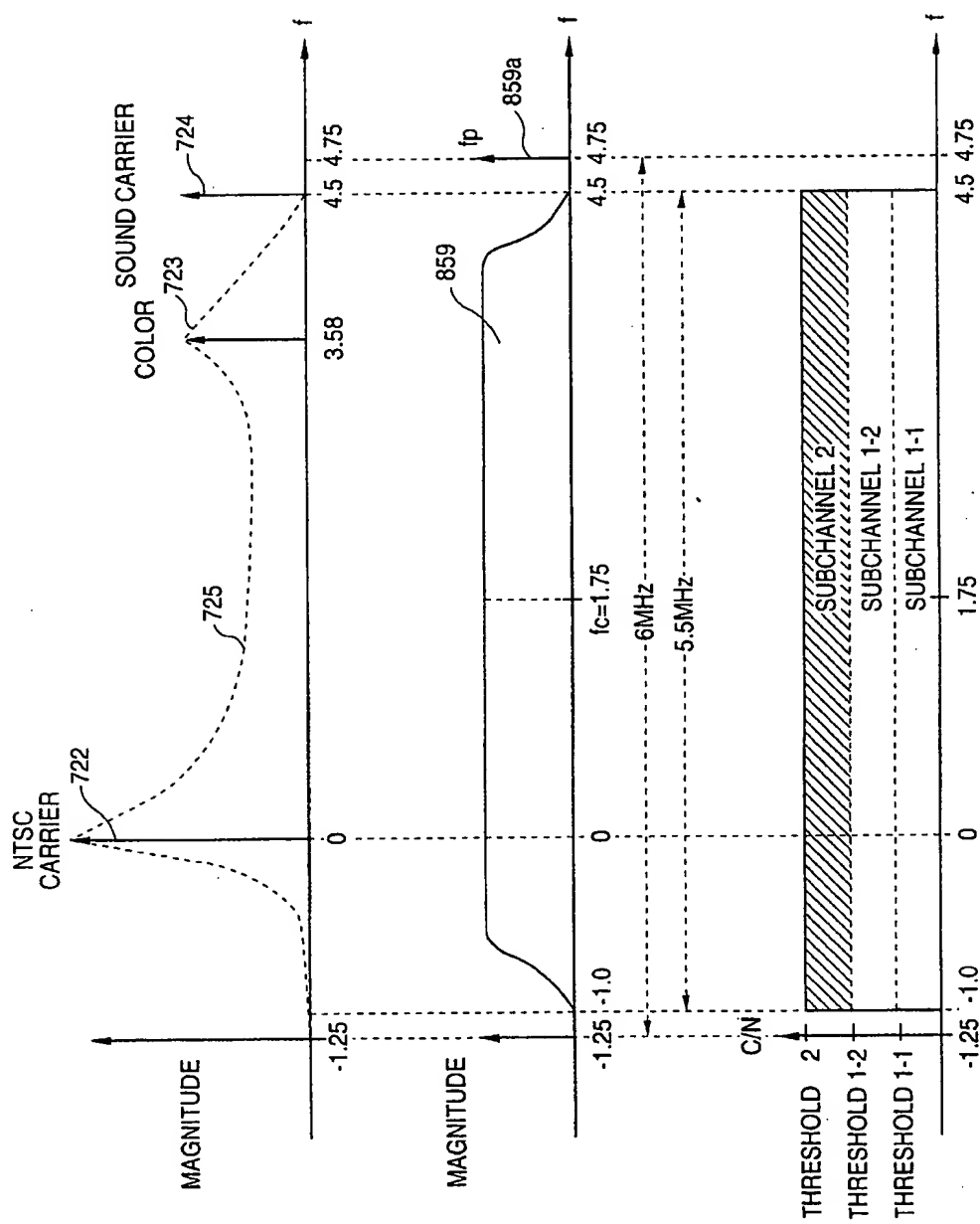


FIG. 136



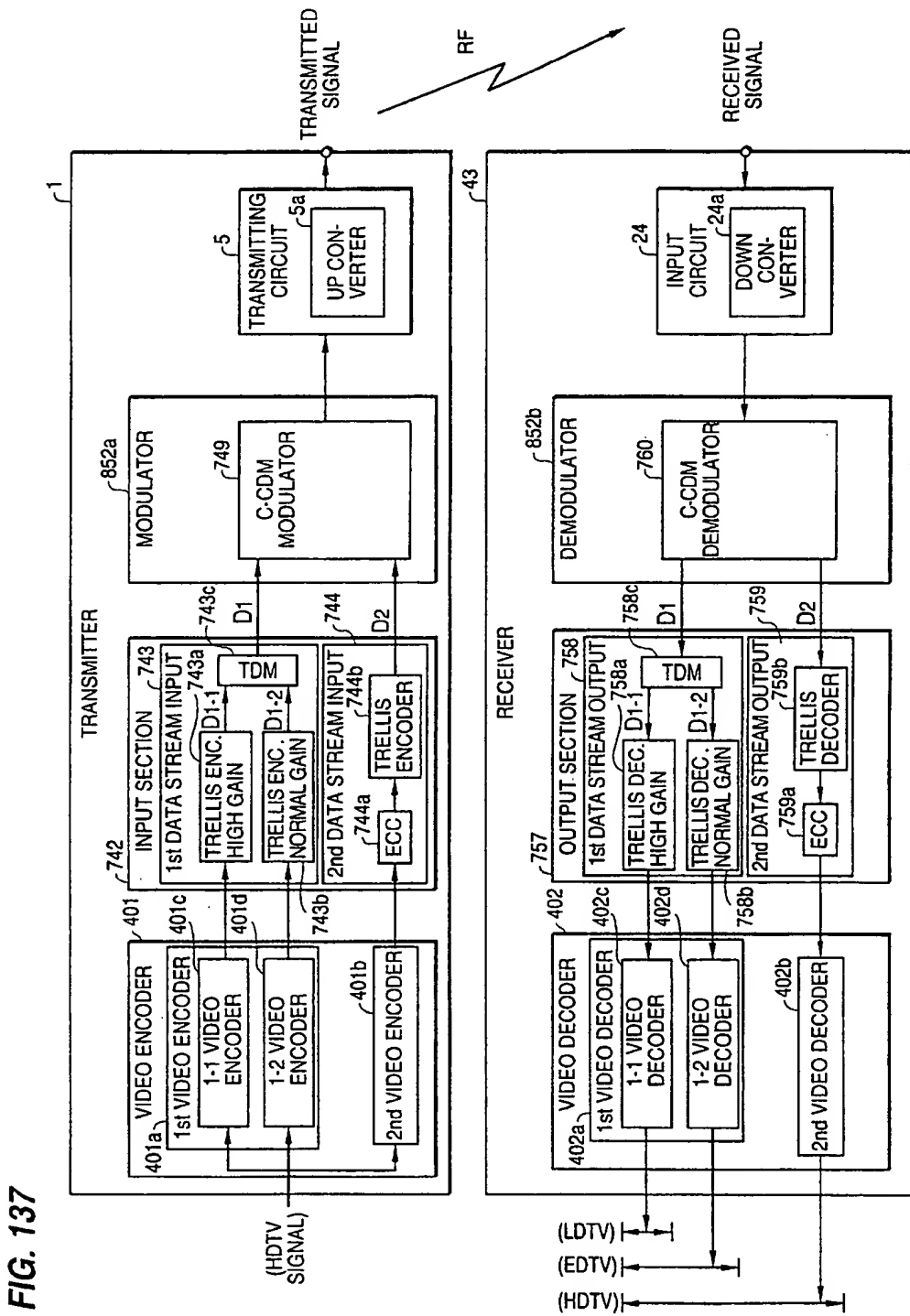


FIG. 137

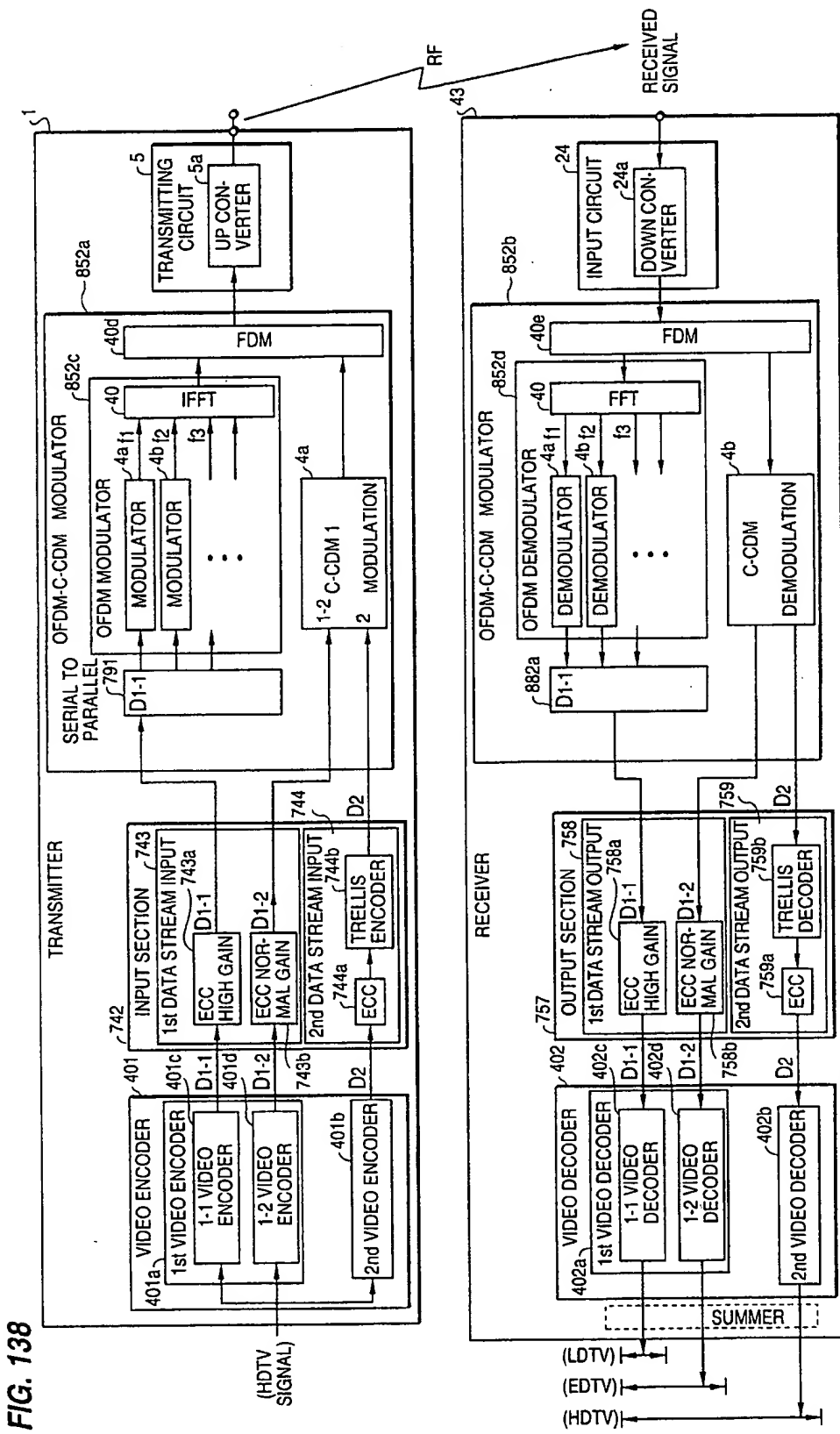


FIG. 138

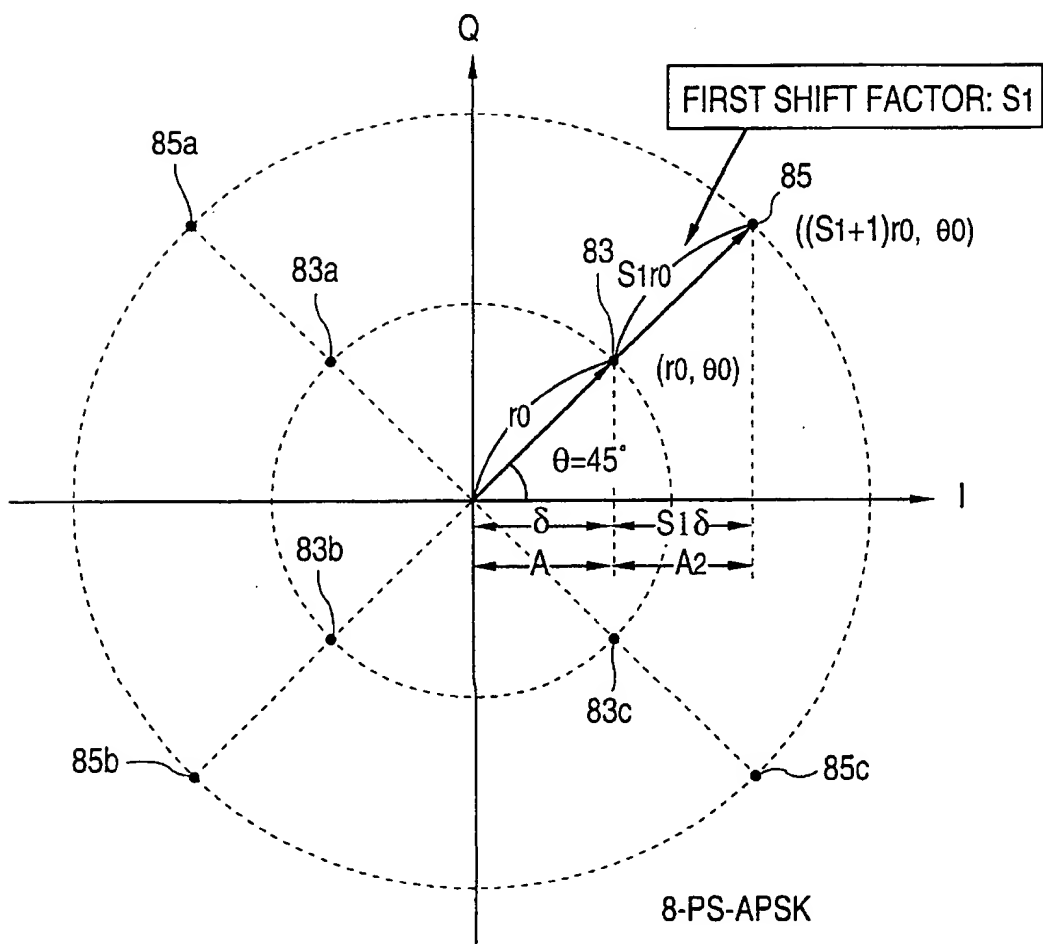
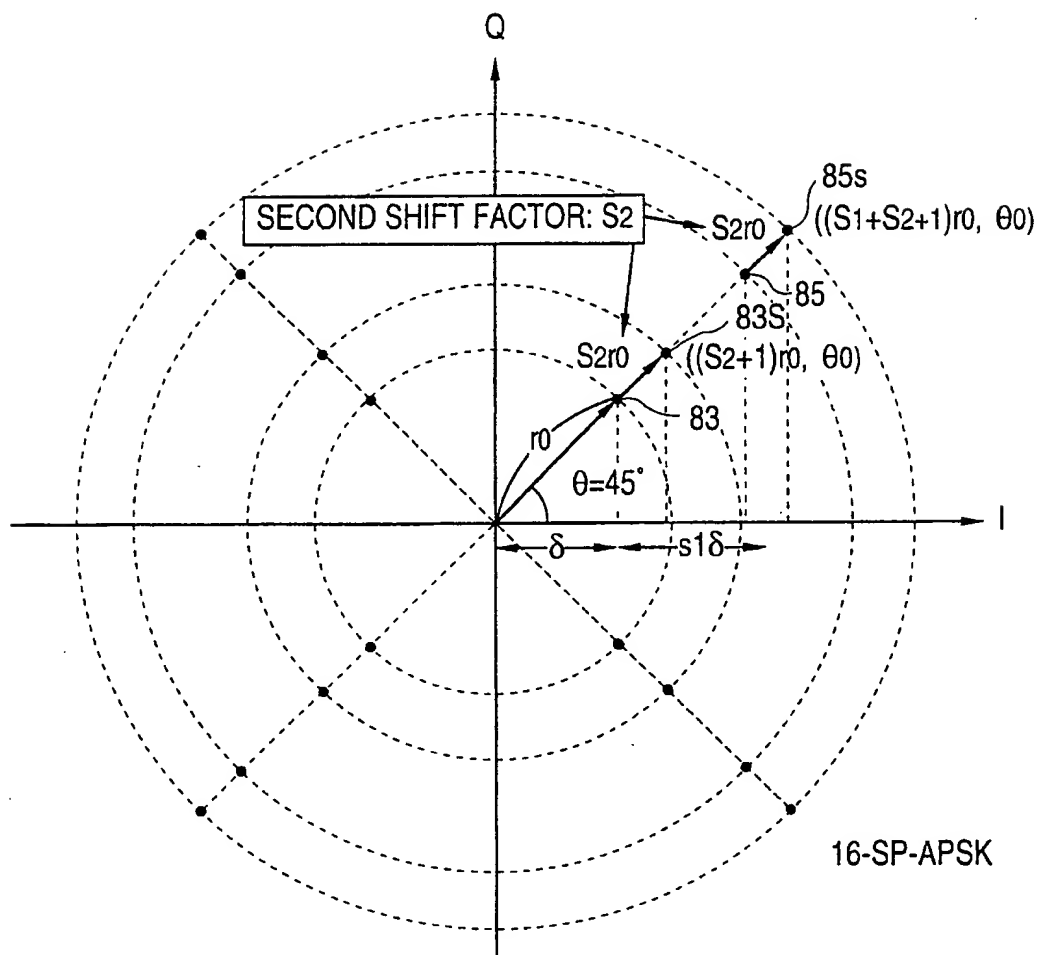
**FIG. 139**

FIG. 140



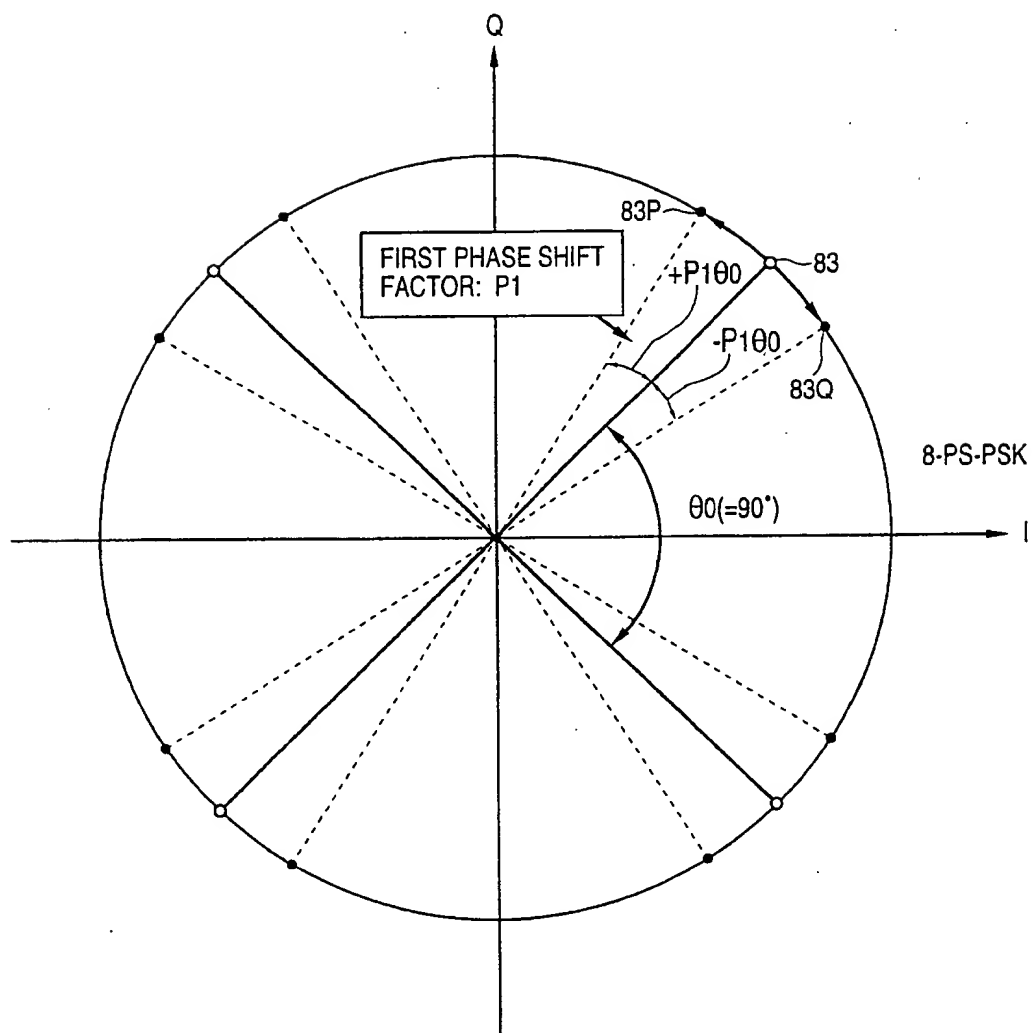
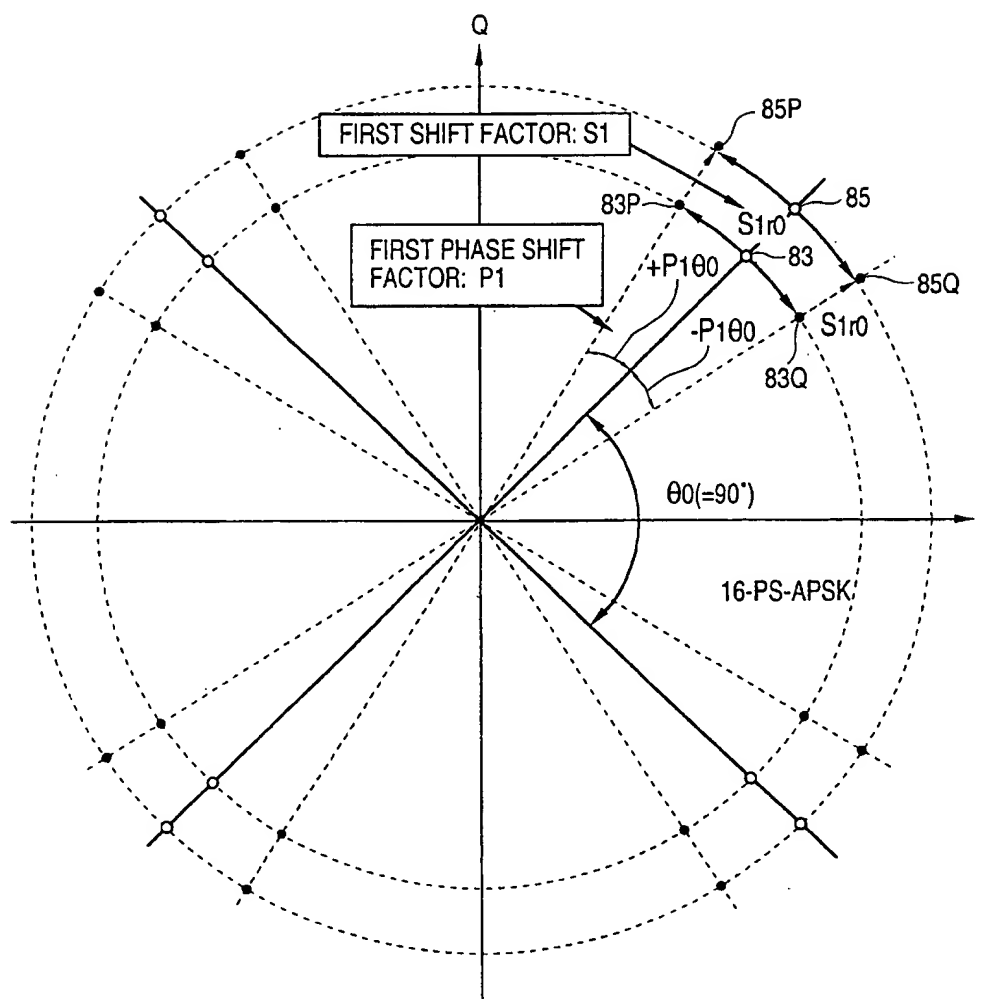
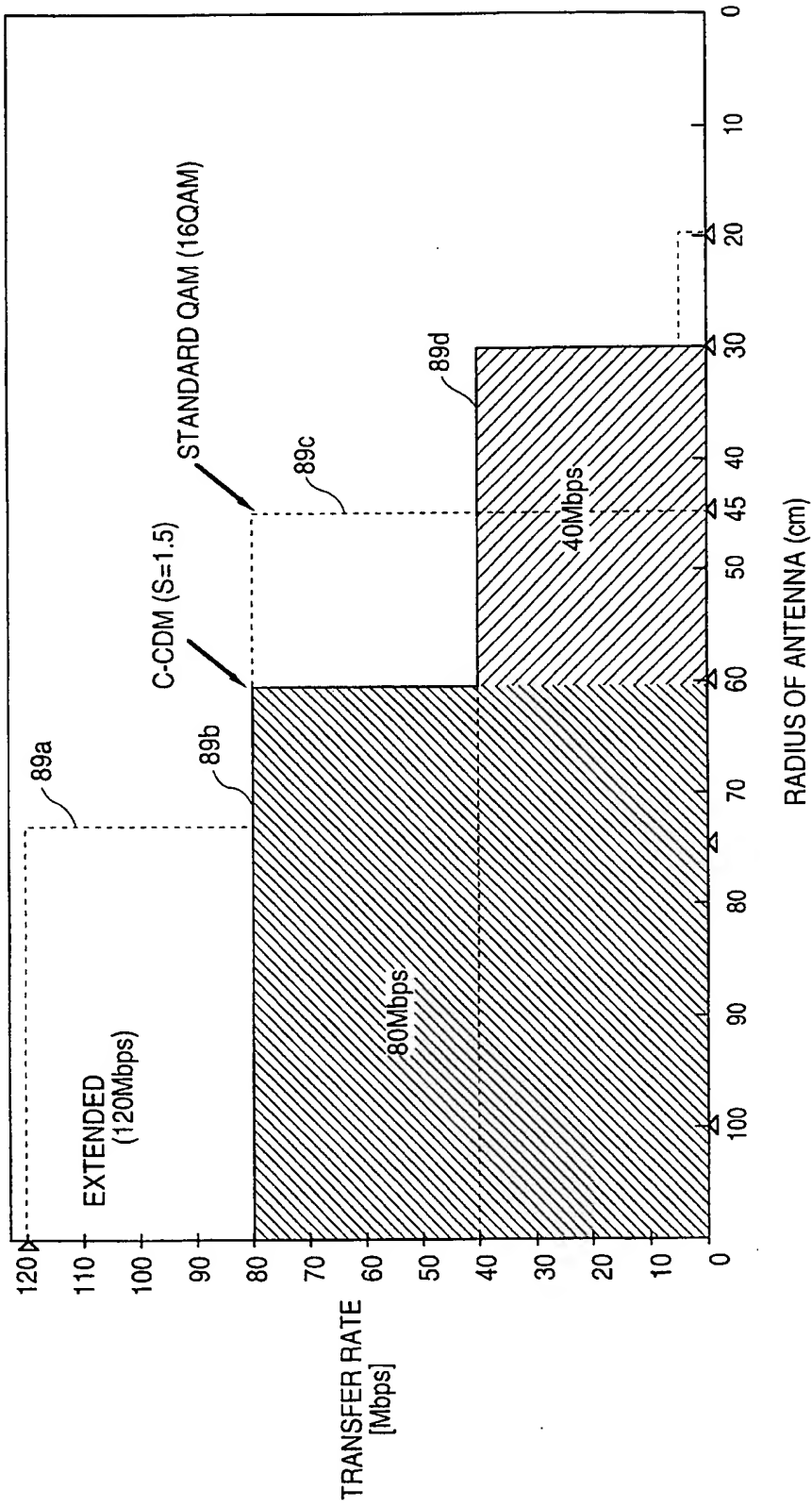
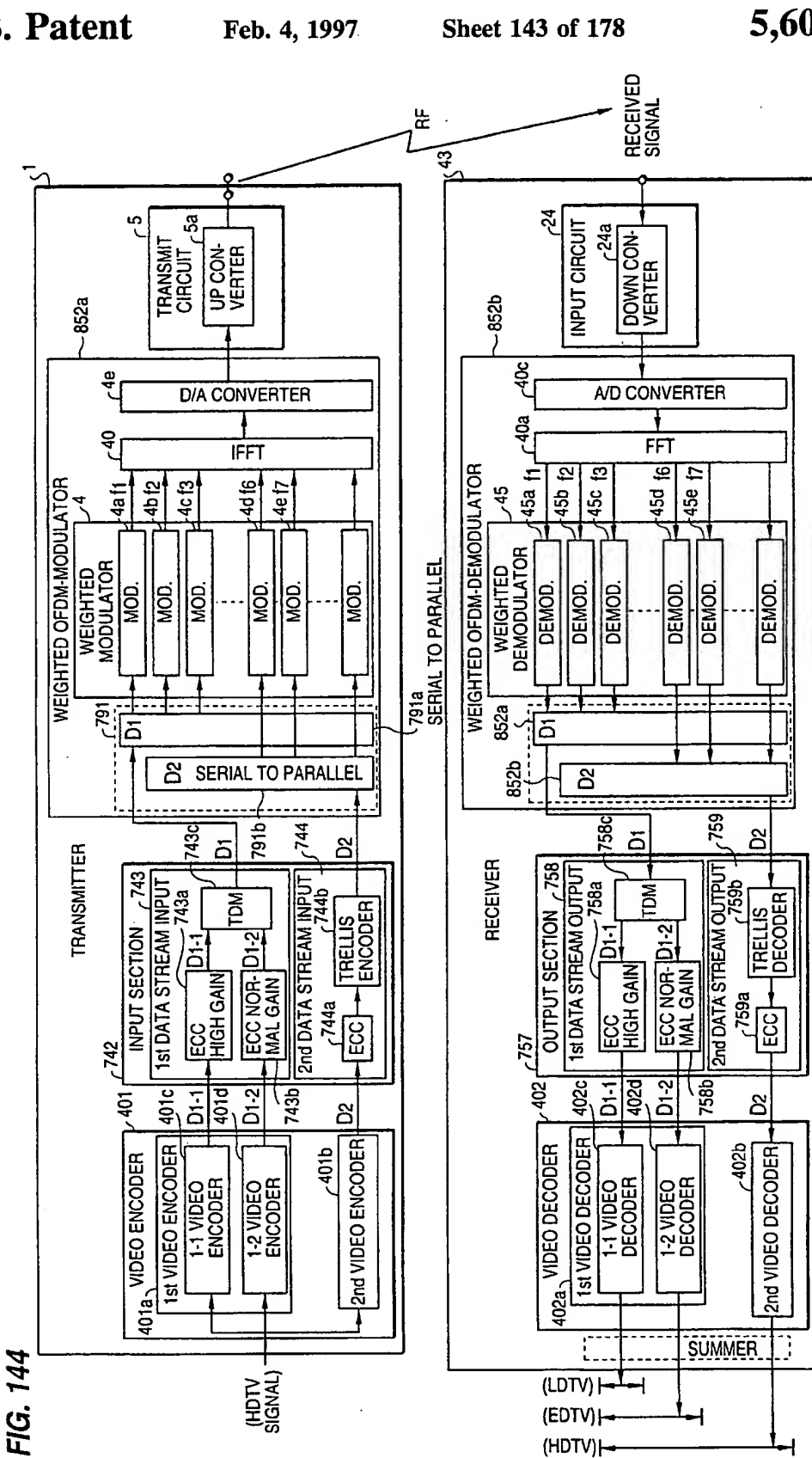
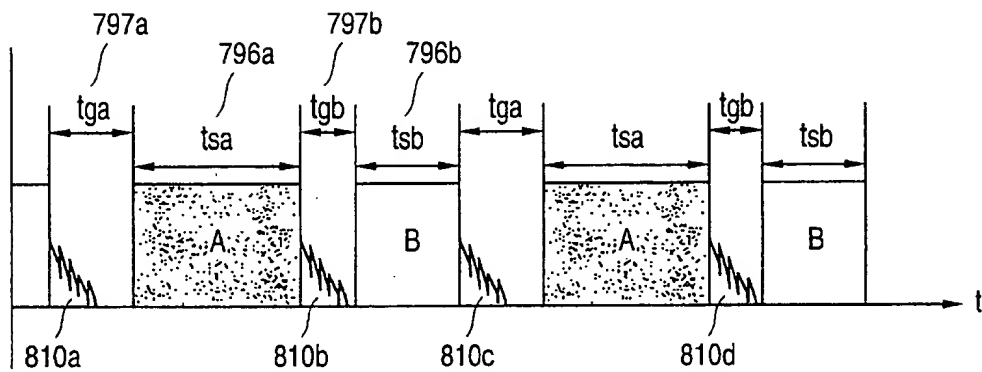
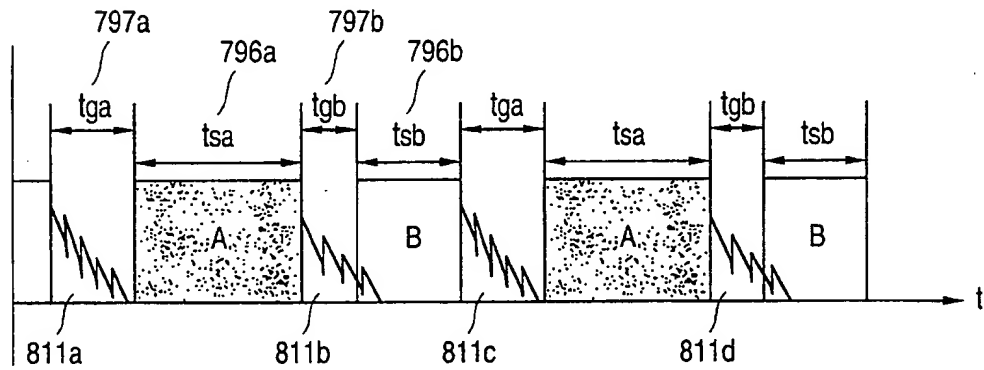
**FIG. 141**

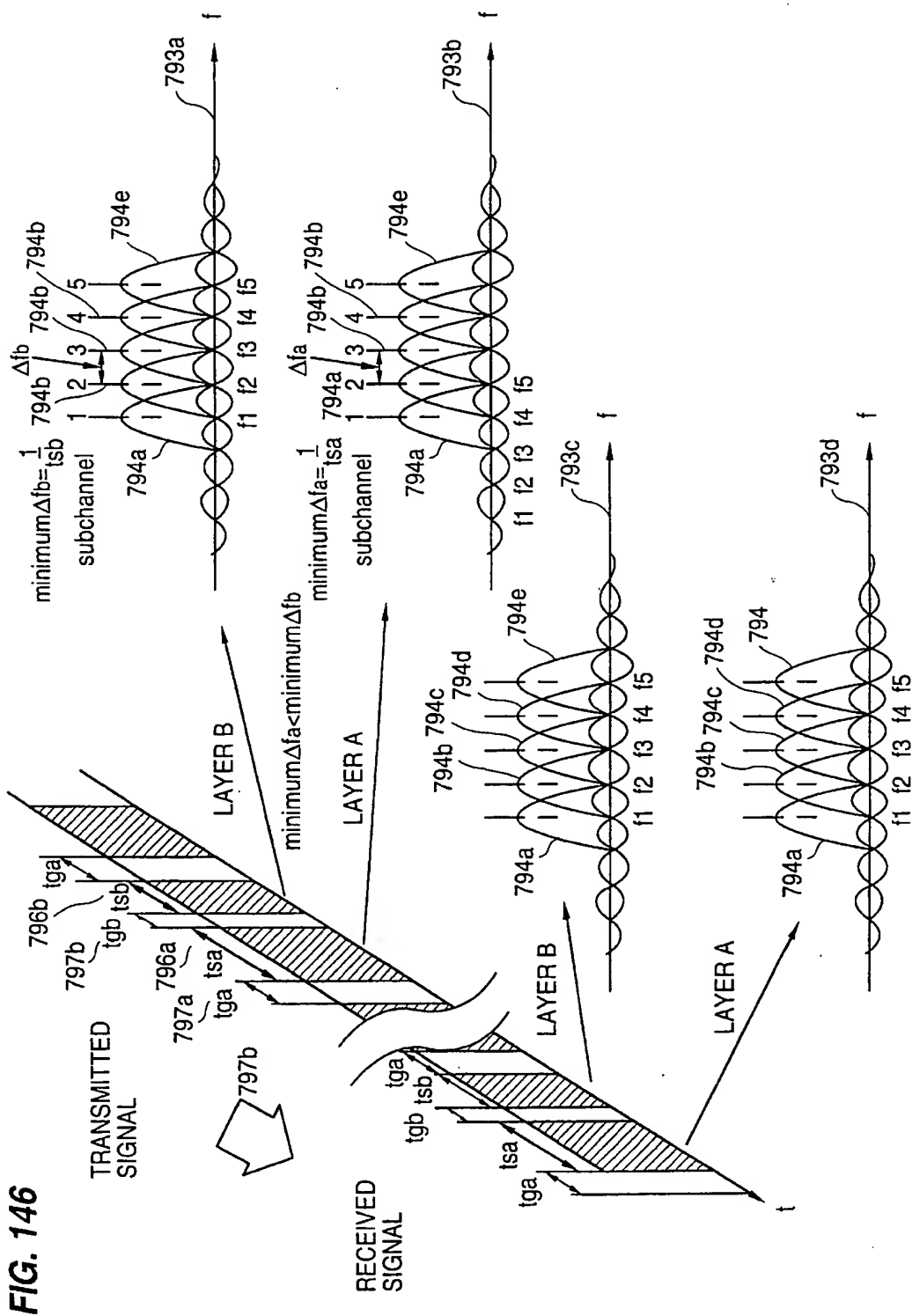
FIG. 142

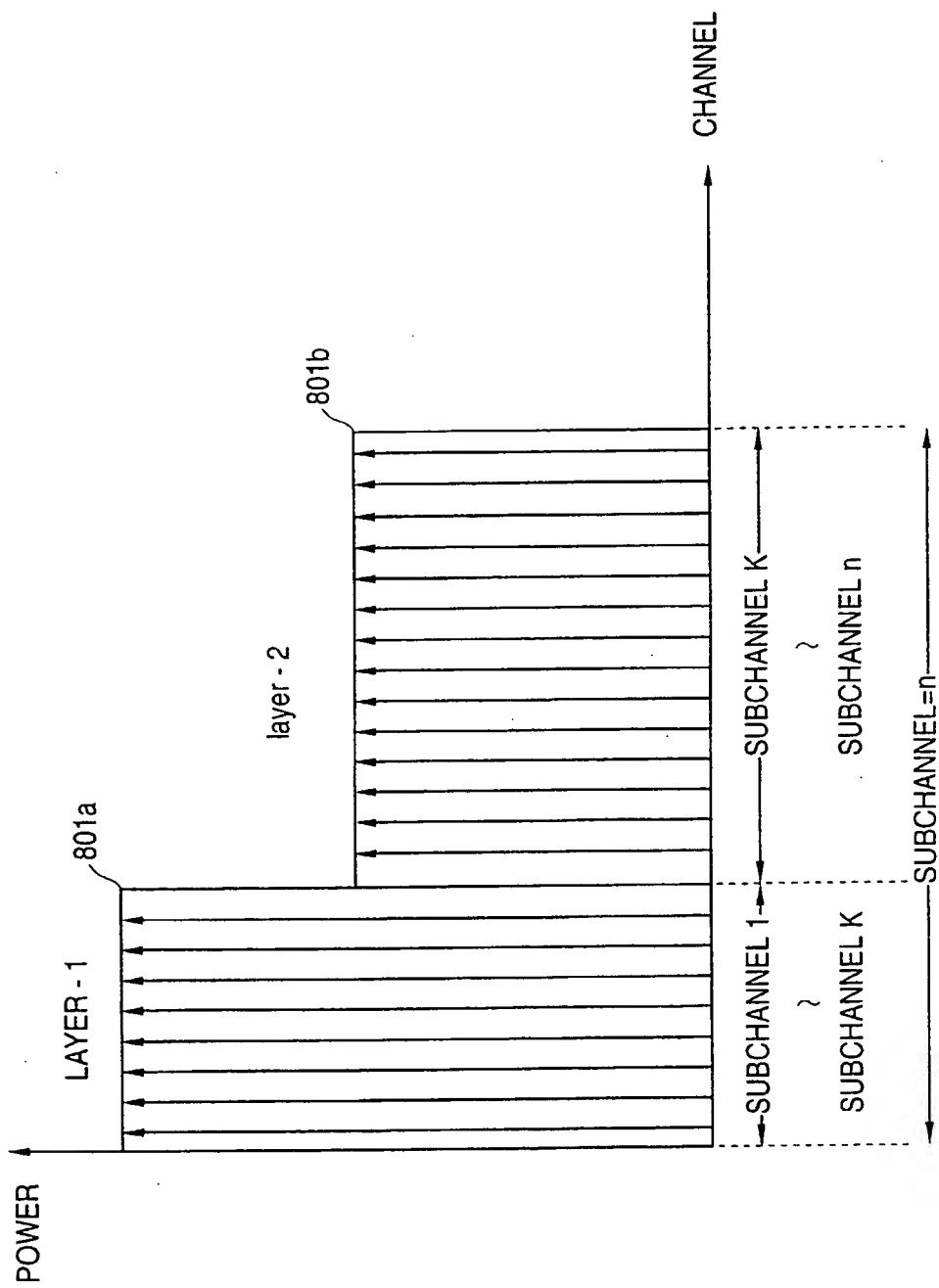


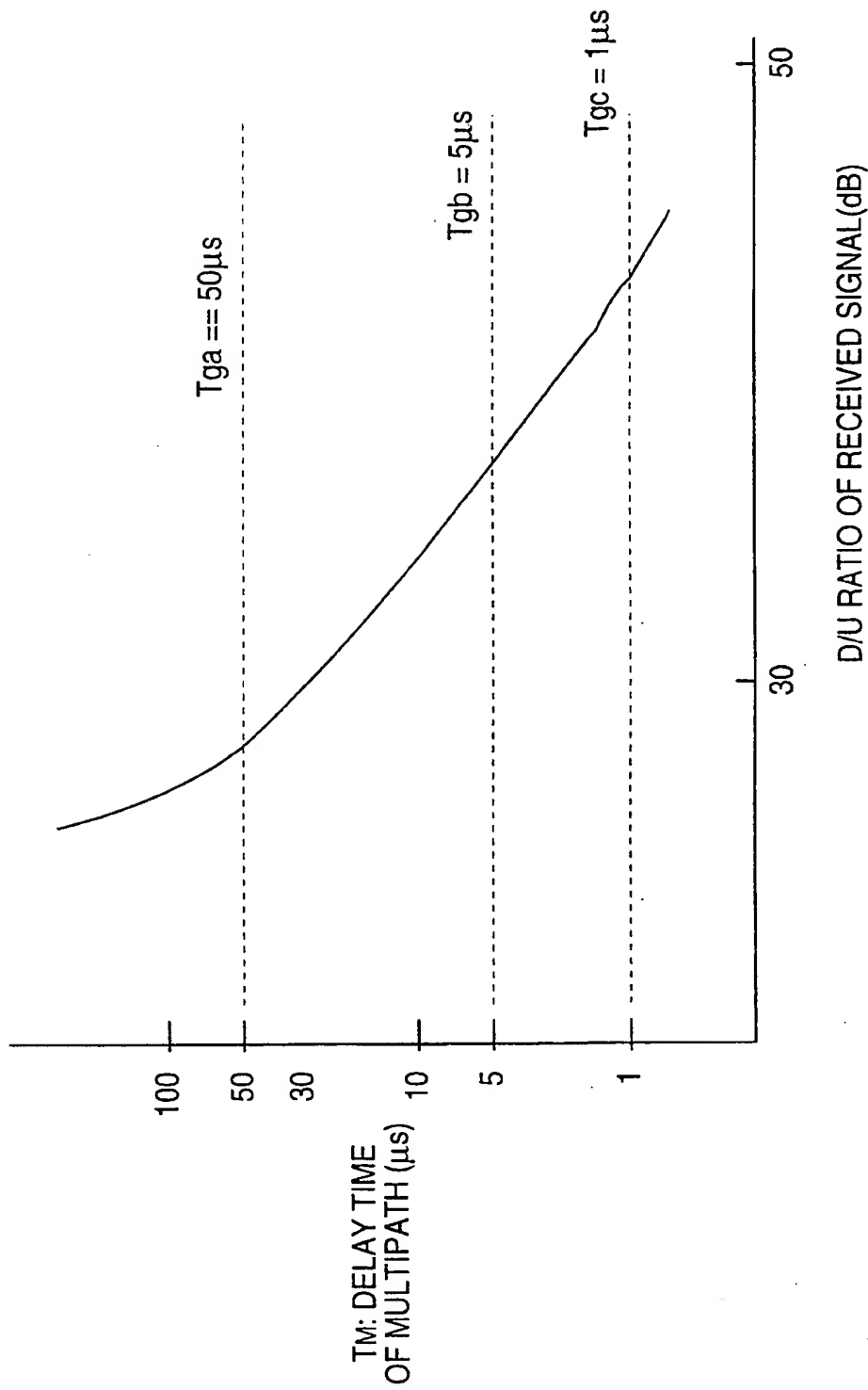
**FIG. 143**

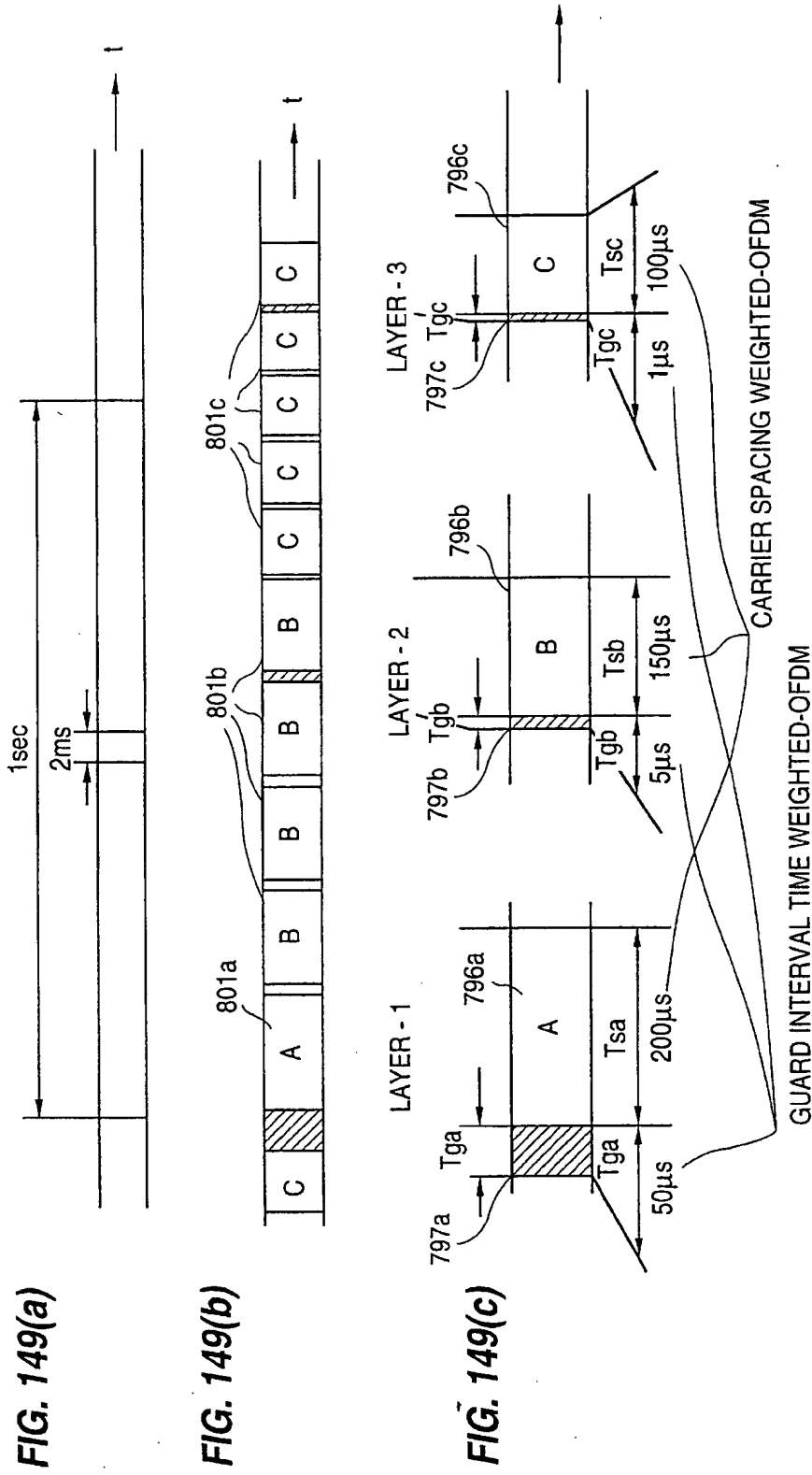


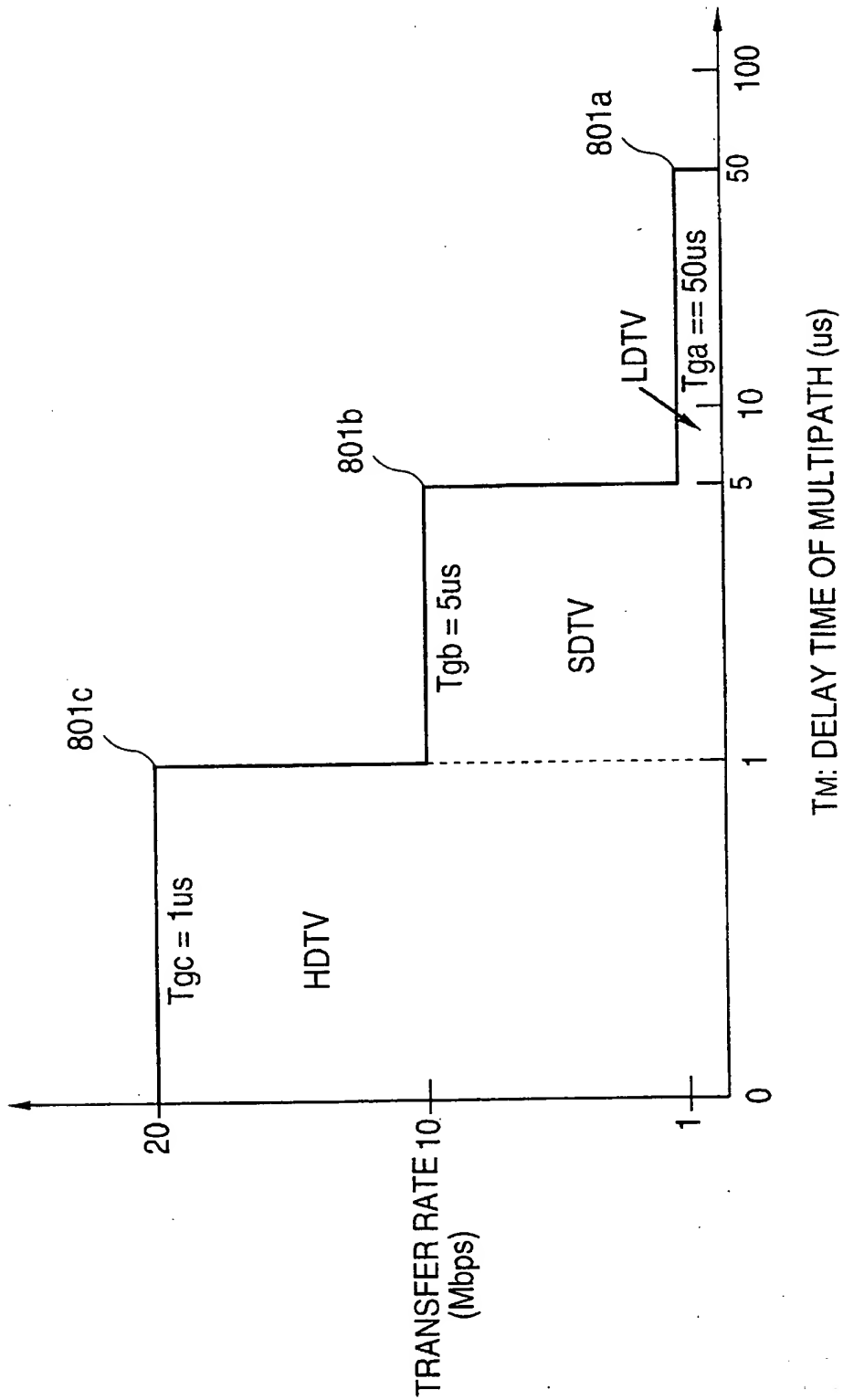
**FIG. 145(a)****FIG. 145(b)**



**FIG. 147**

**FIG. 148**



**FIG. 150**

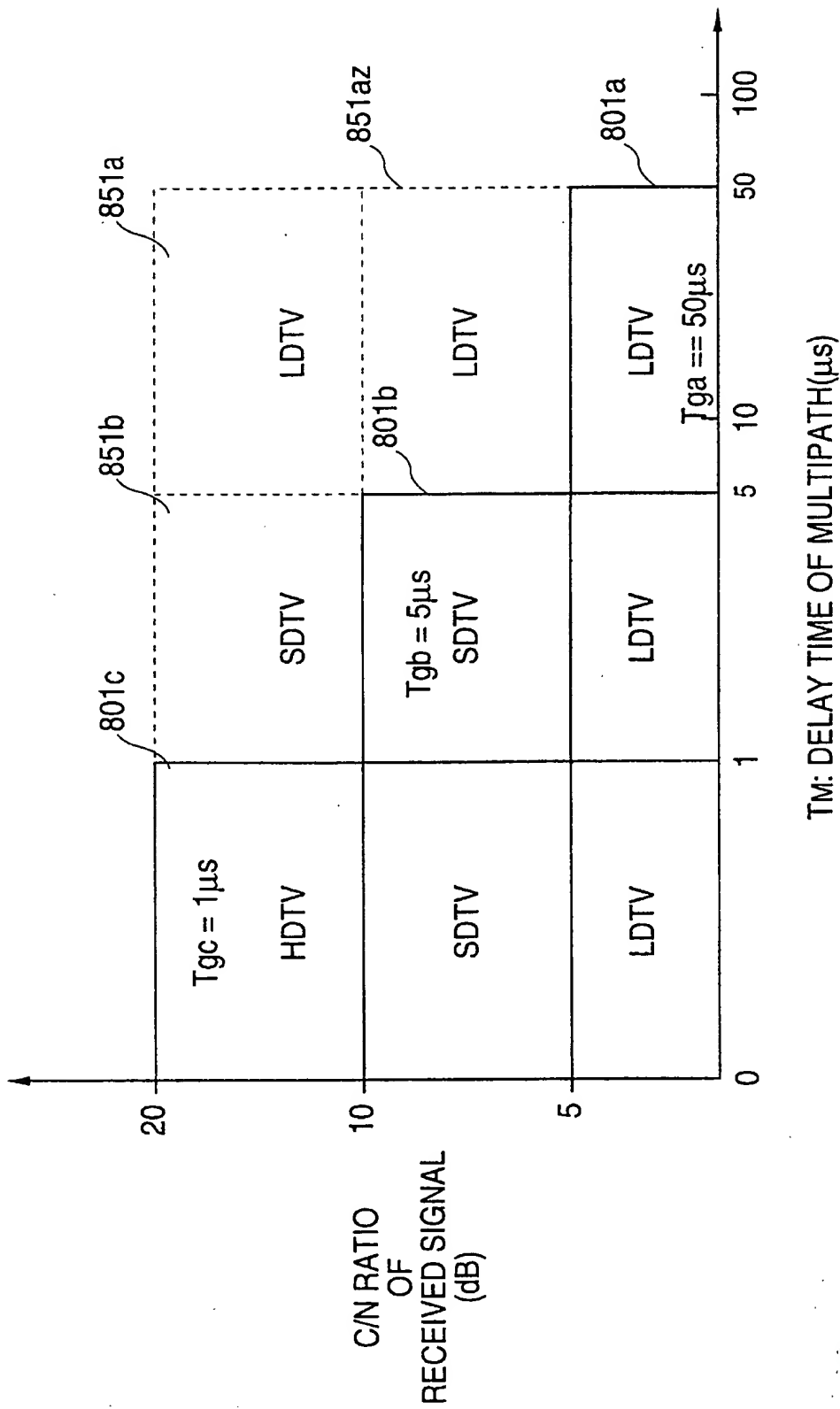
**FIG. 151**

FIG. 152

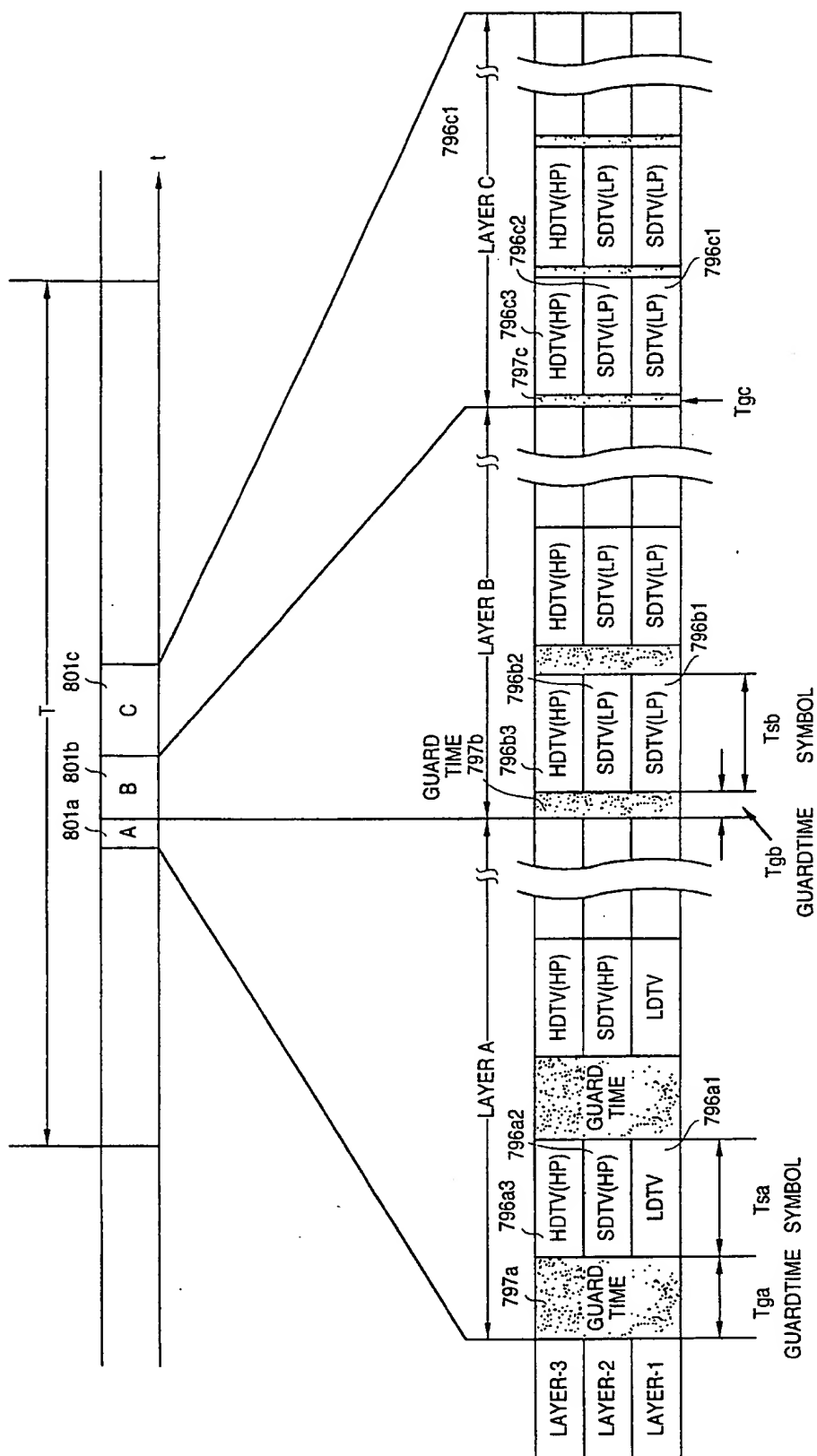
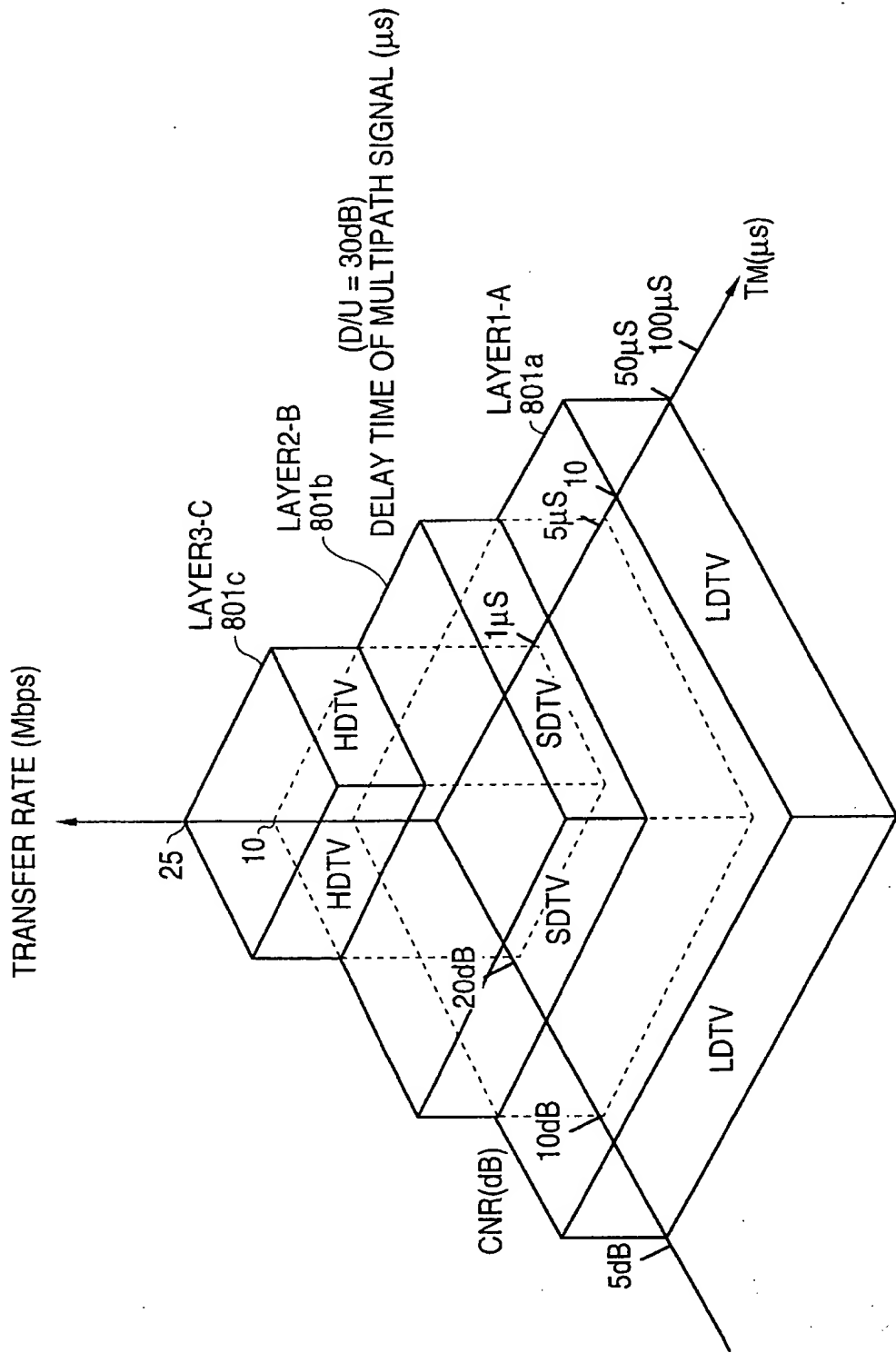
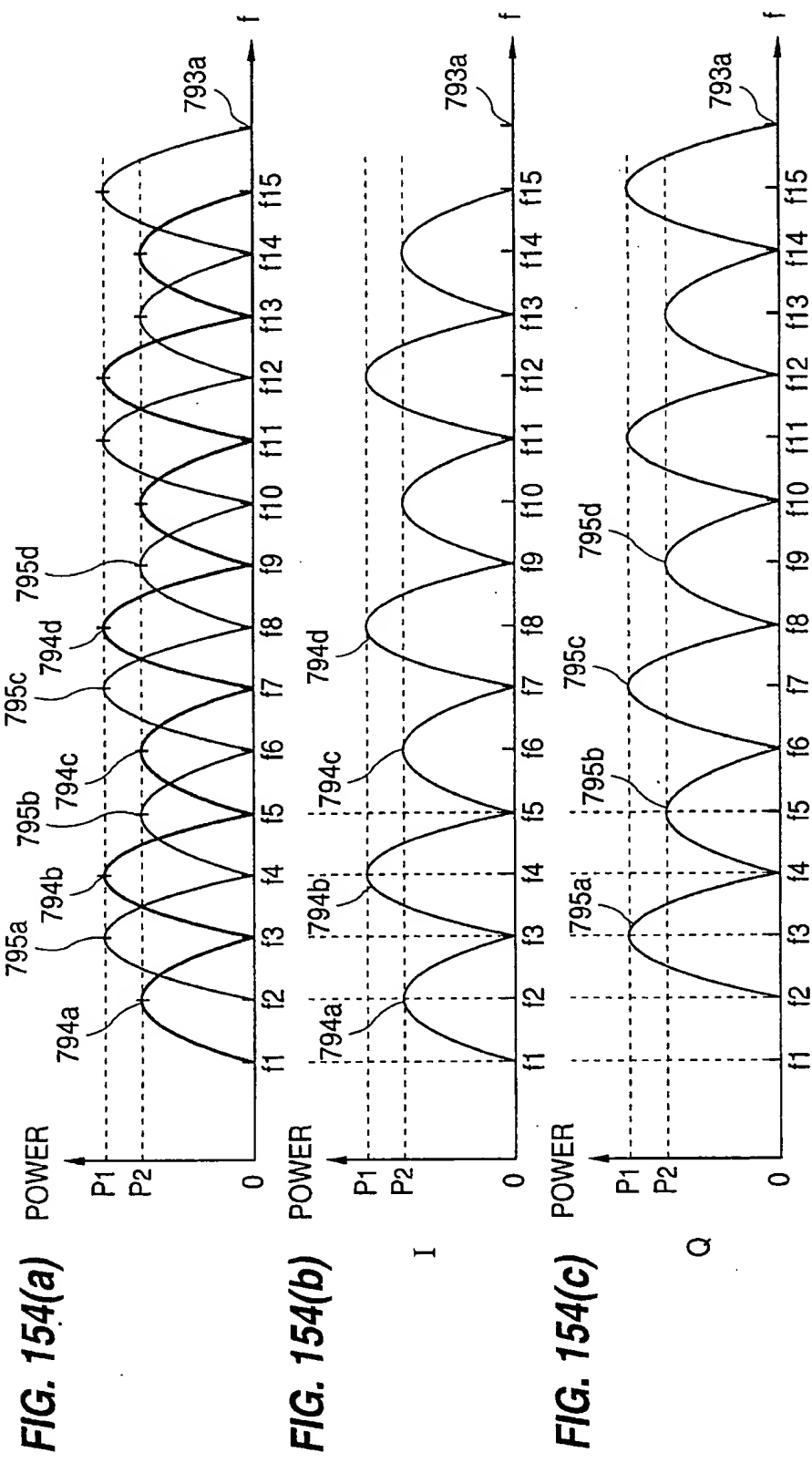


FIG. 153





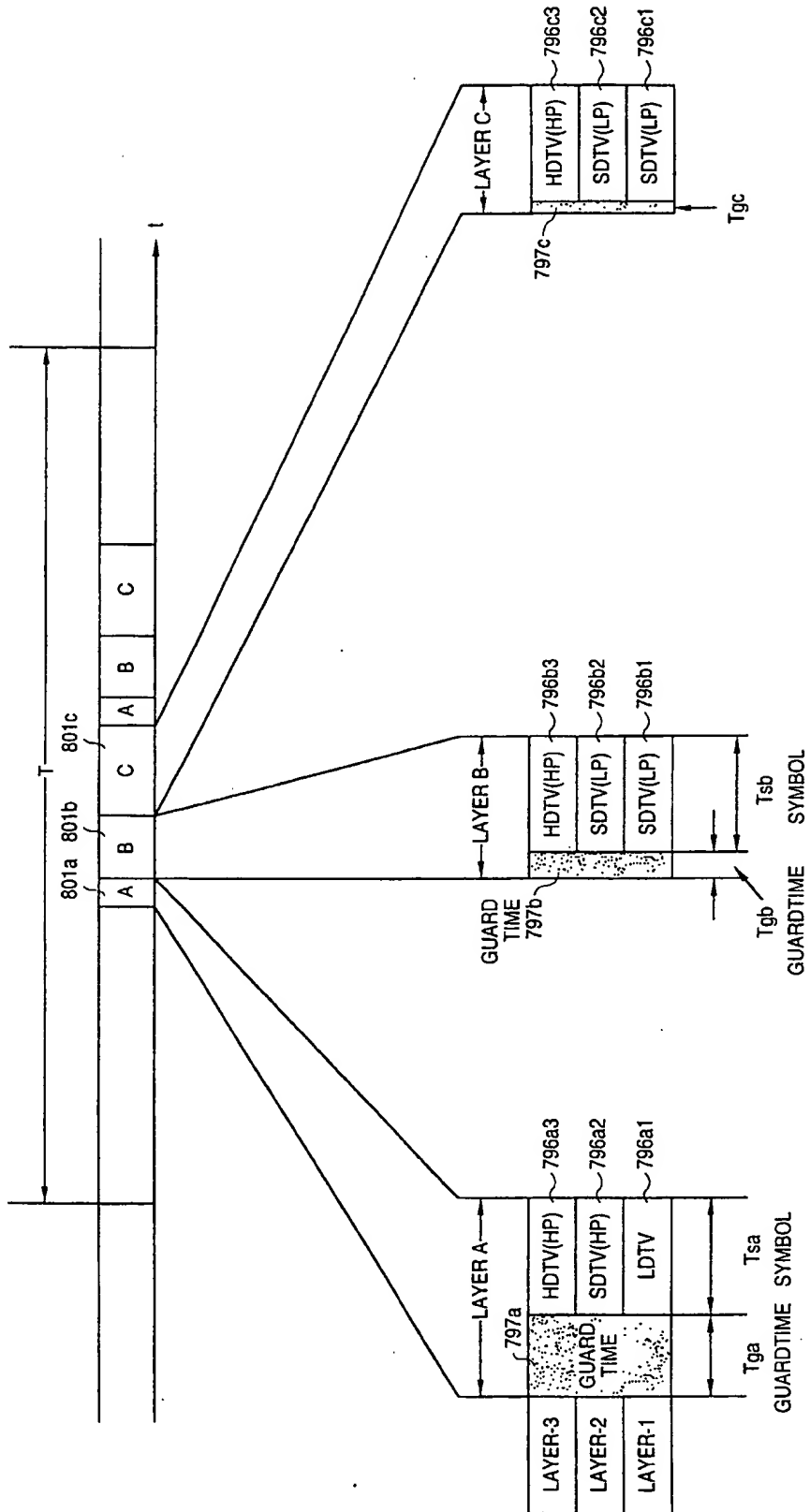
**FIG. 155**

FIG. 156

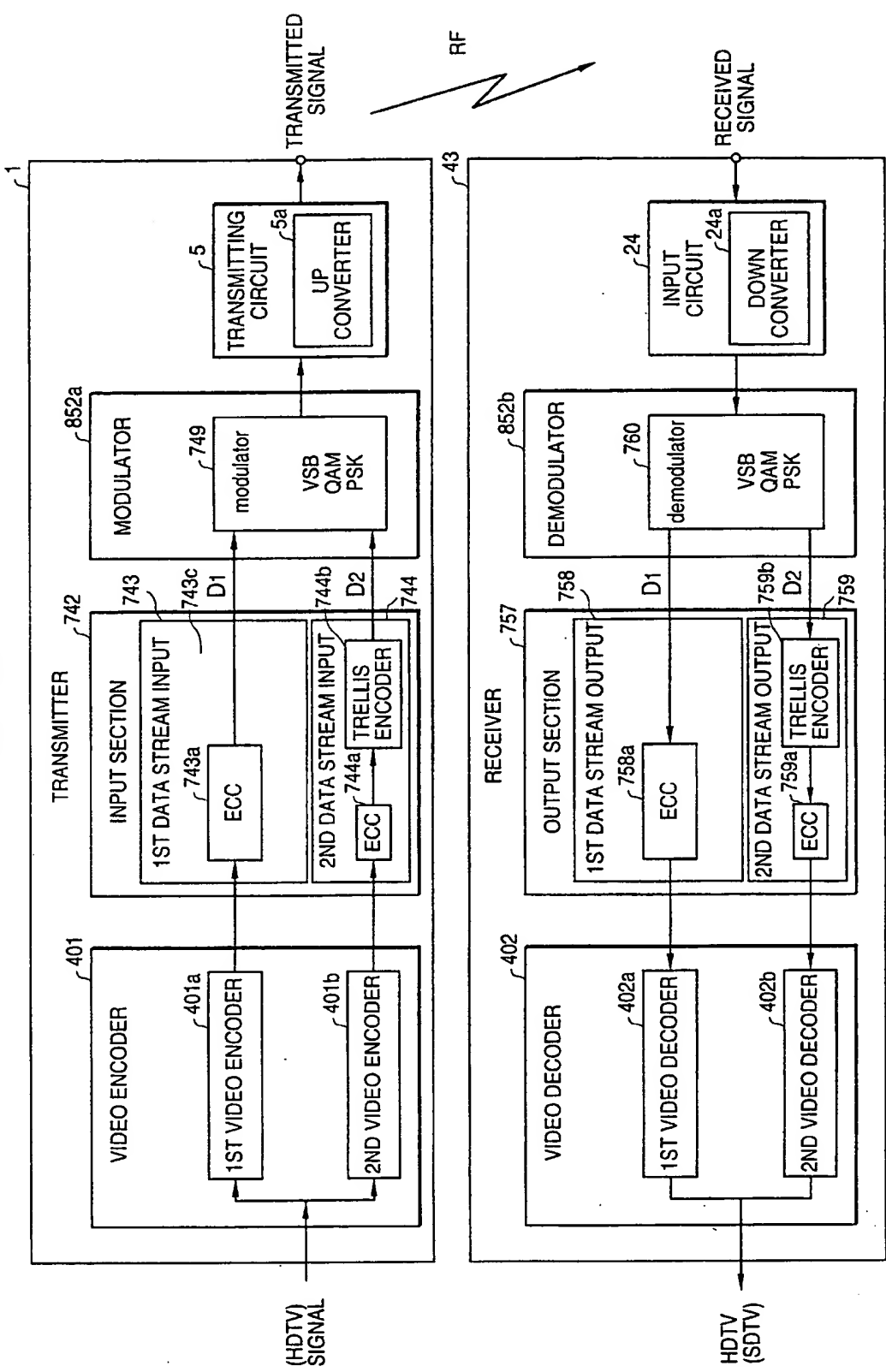


FIG. 157

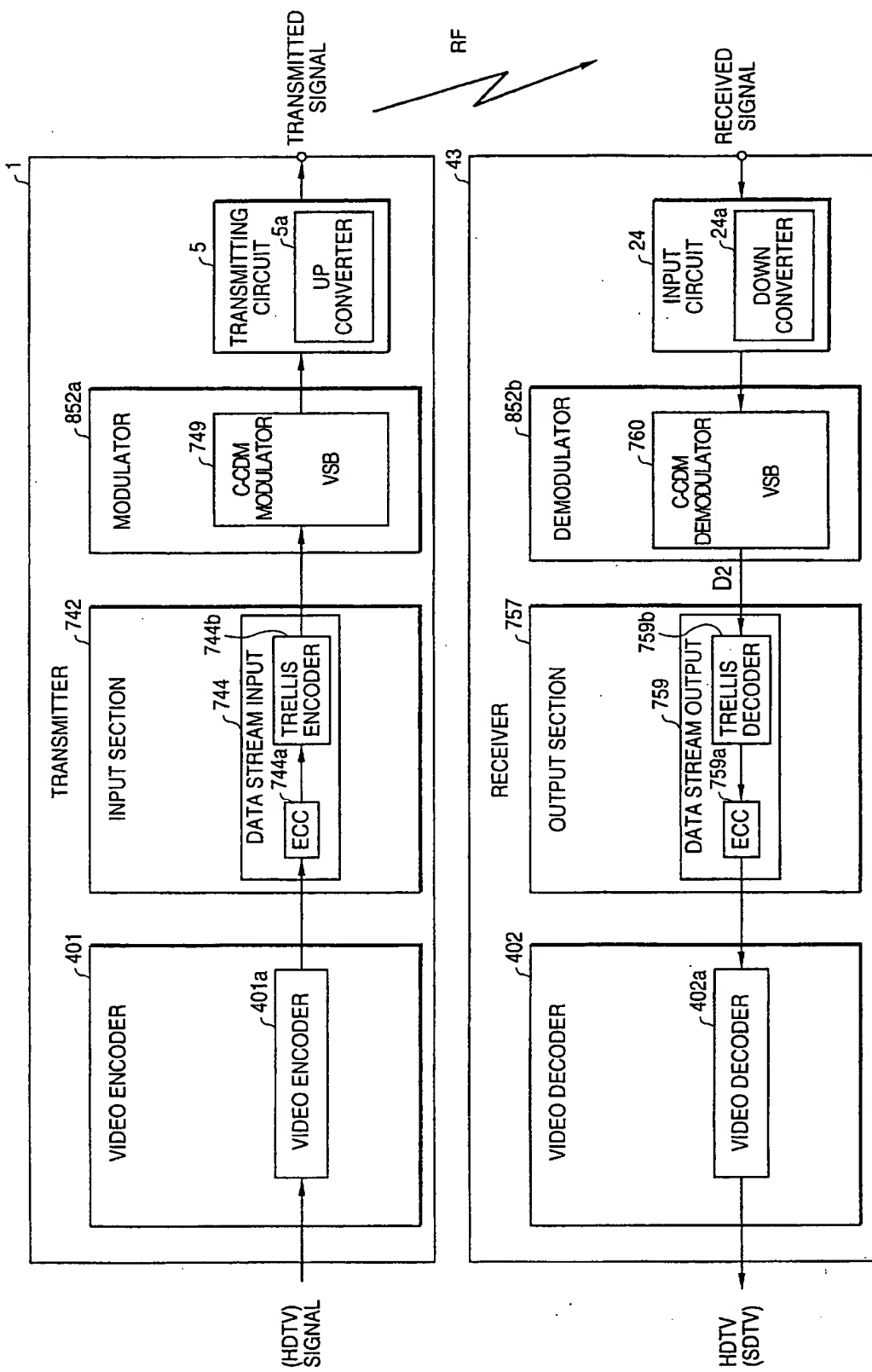
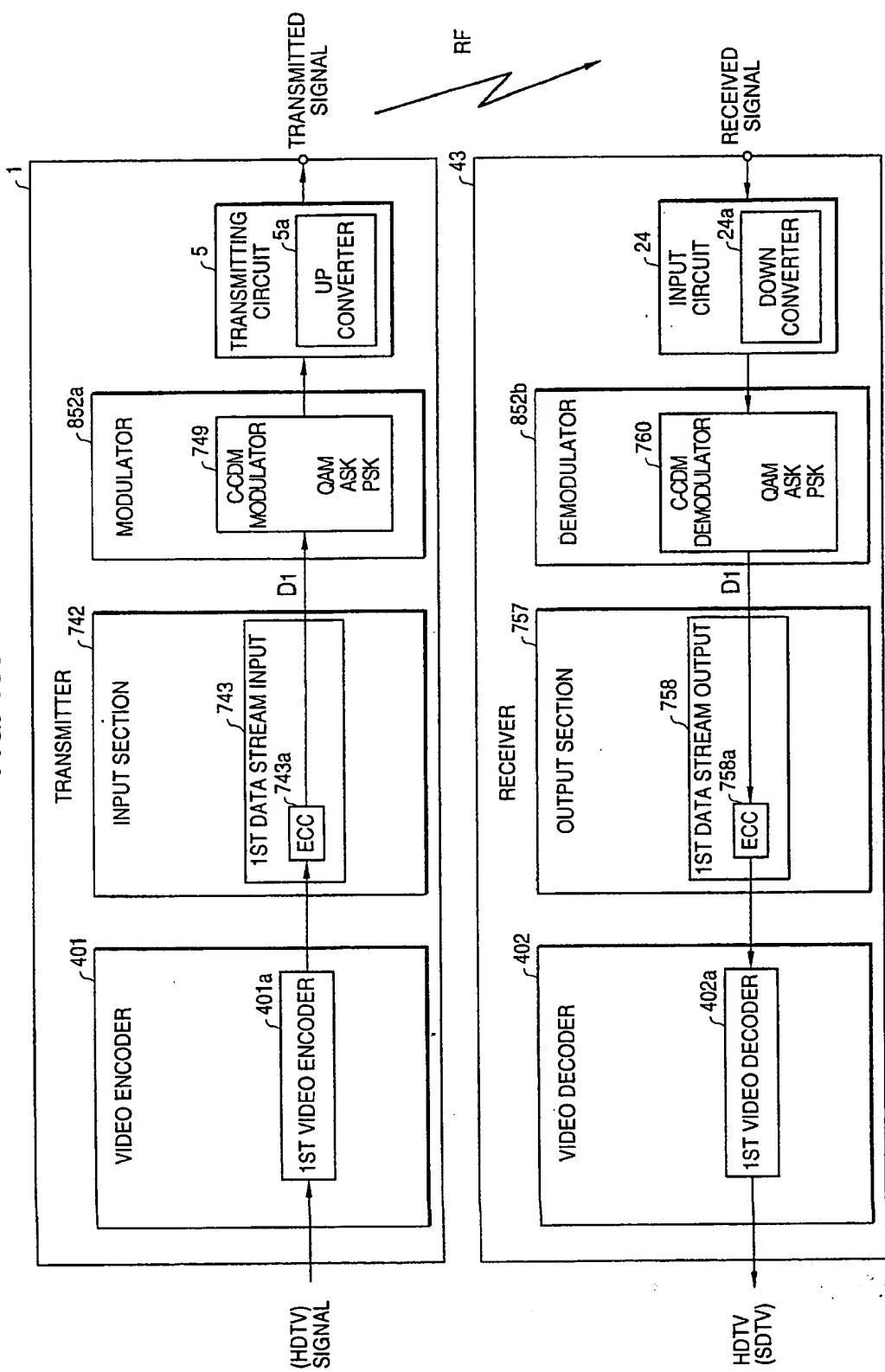


FIG. 158



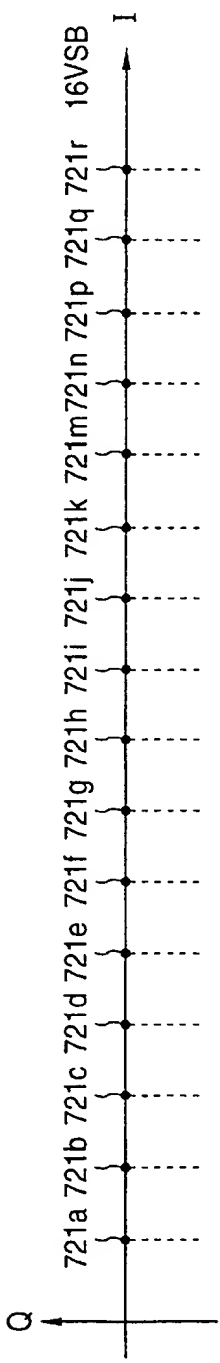


FIG. 159(a)

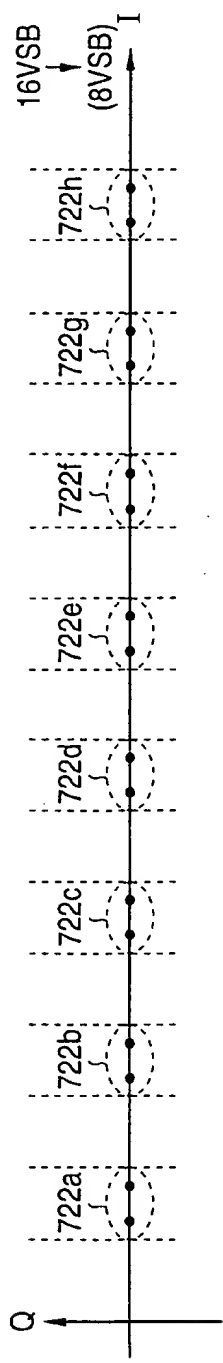


FIG. 159(b)

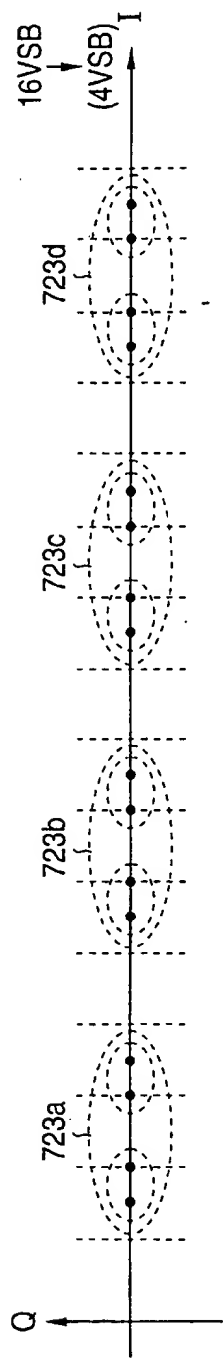


FIG. 159(c)

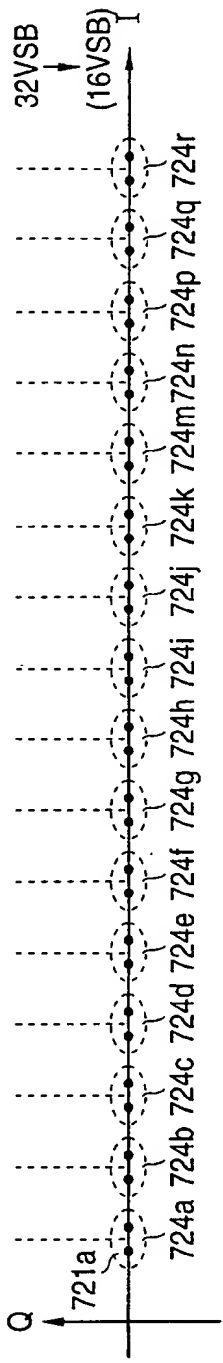


FIG. 159(d)

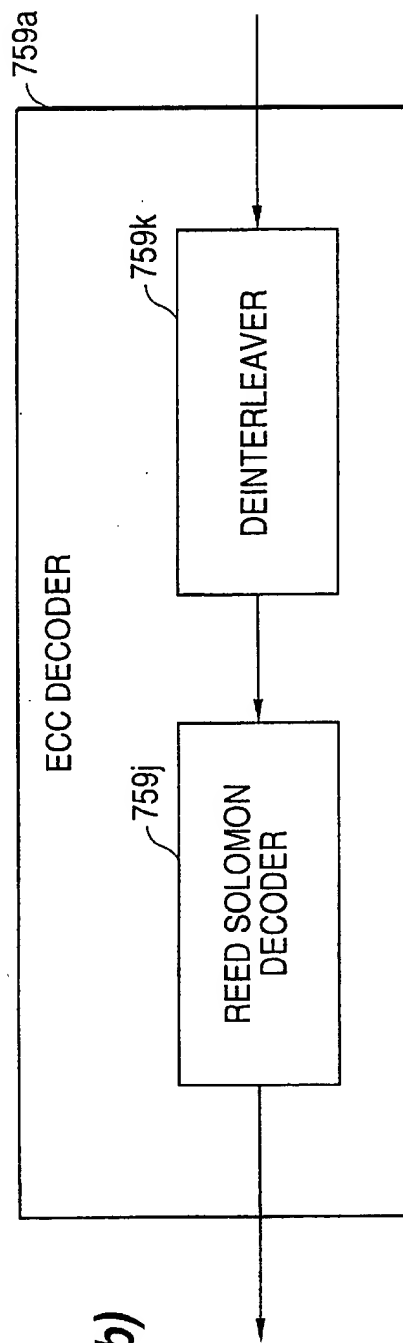
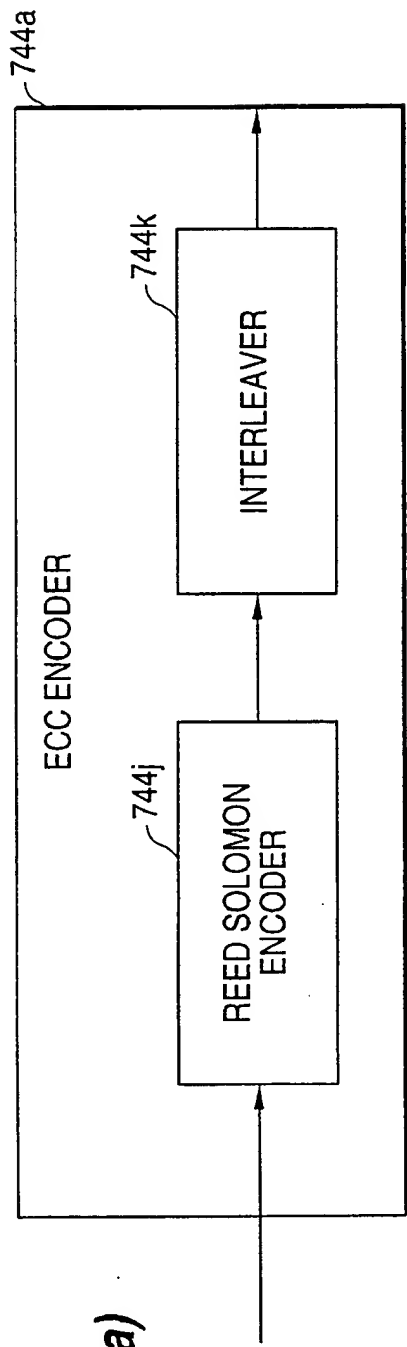


FIG. 161

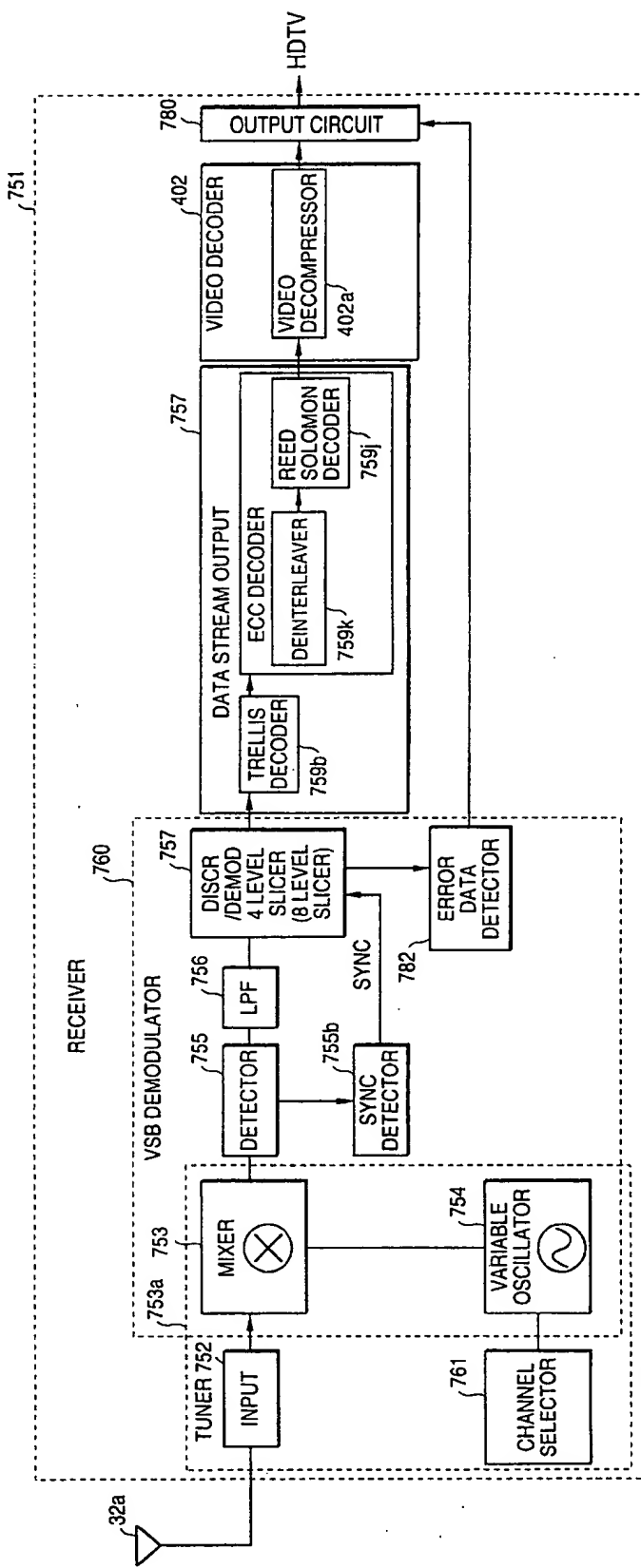
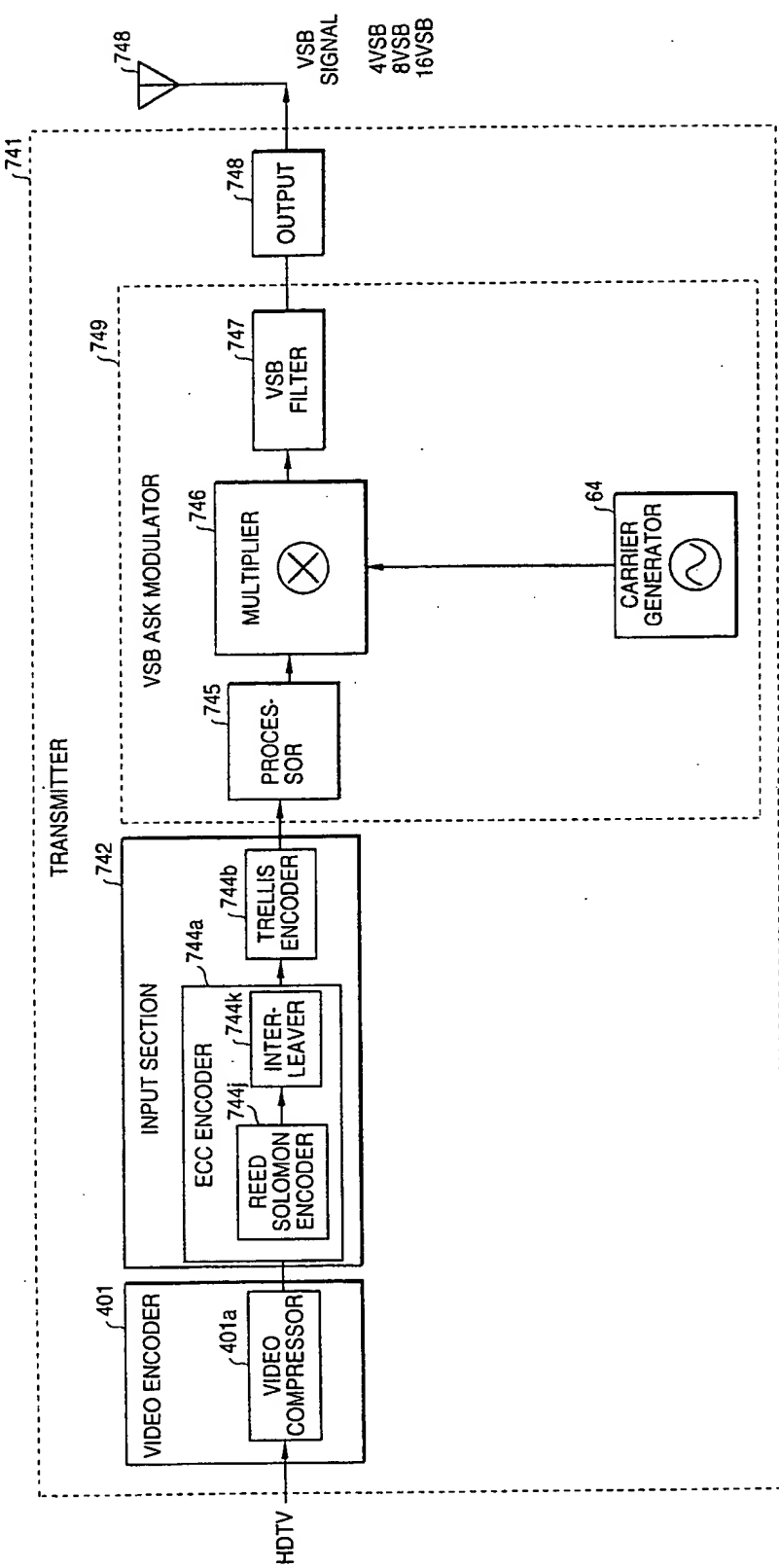
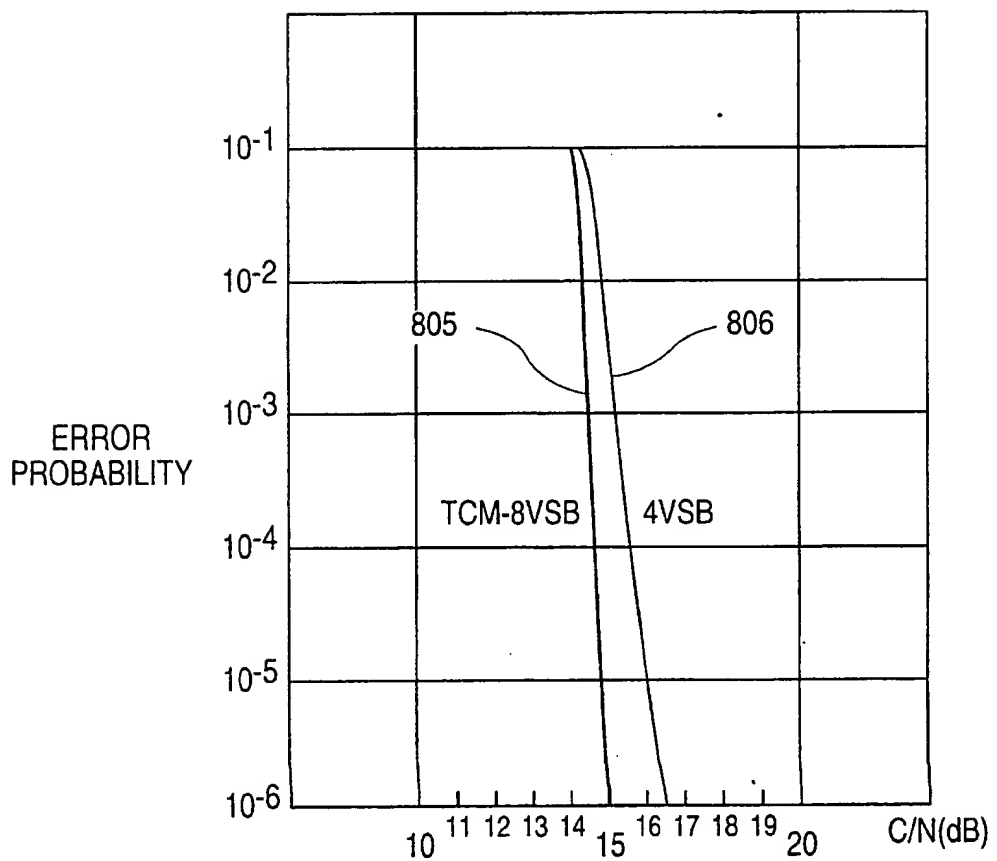
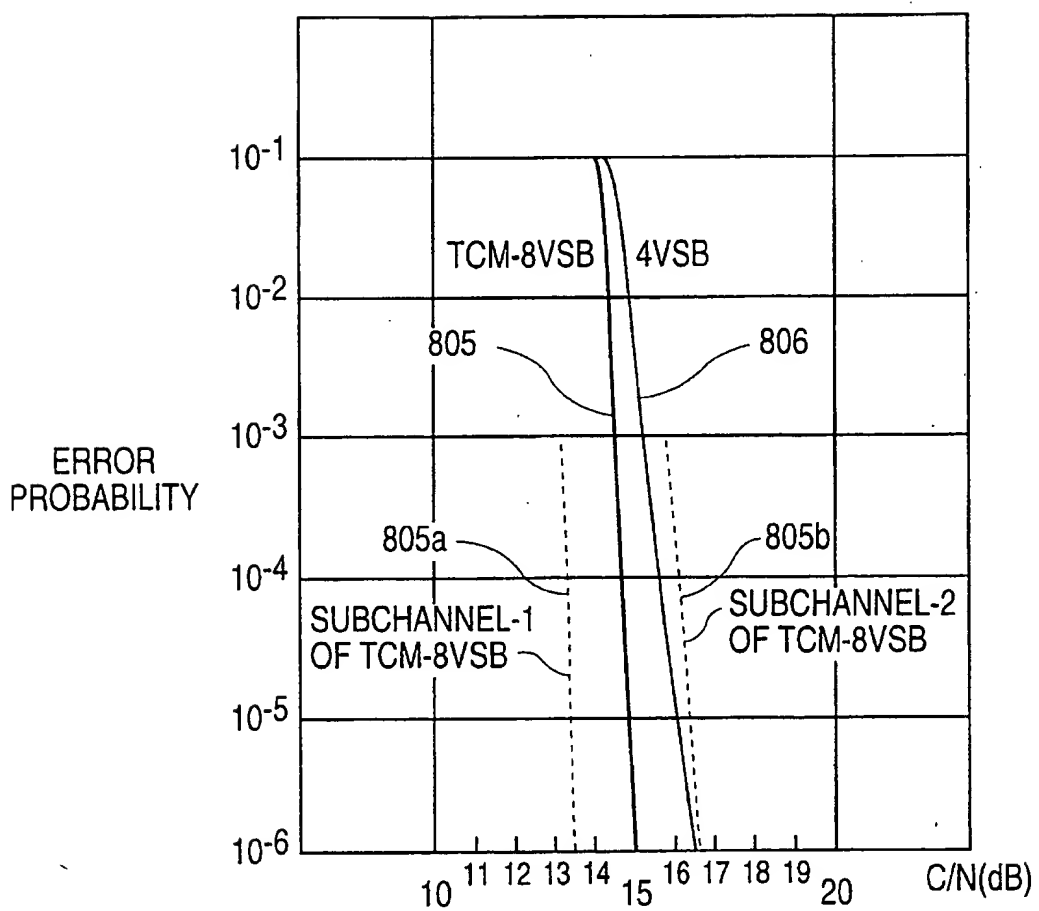
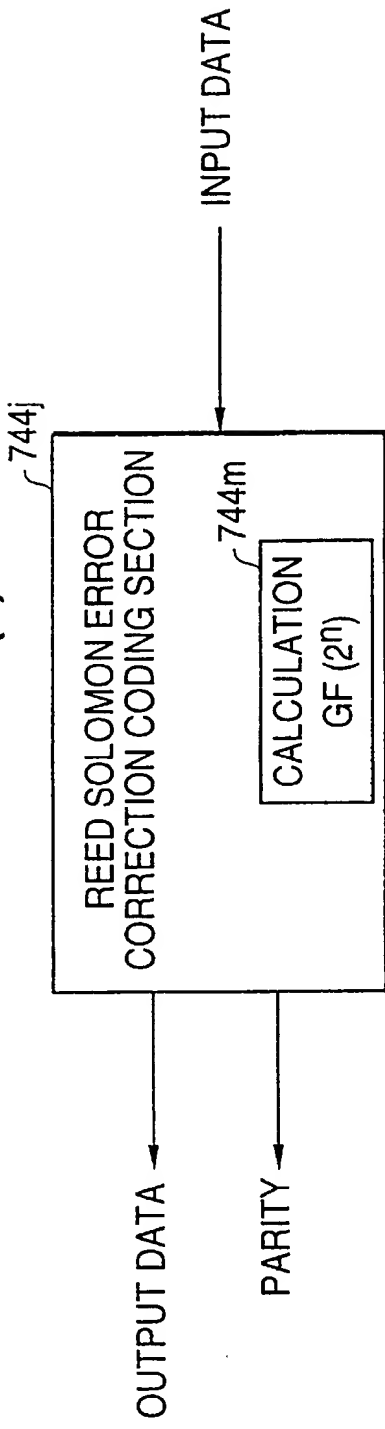
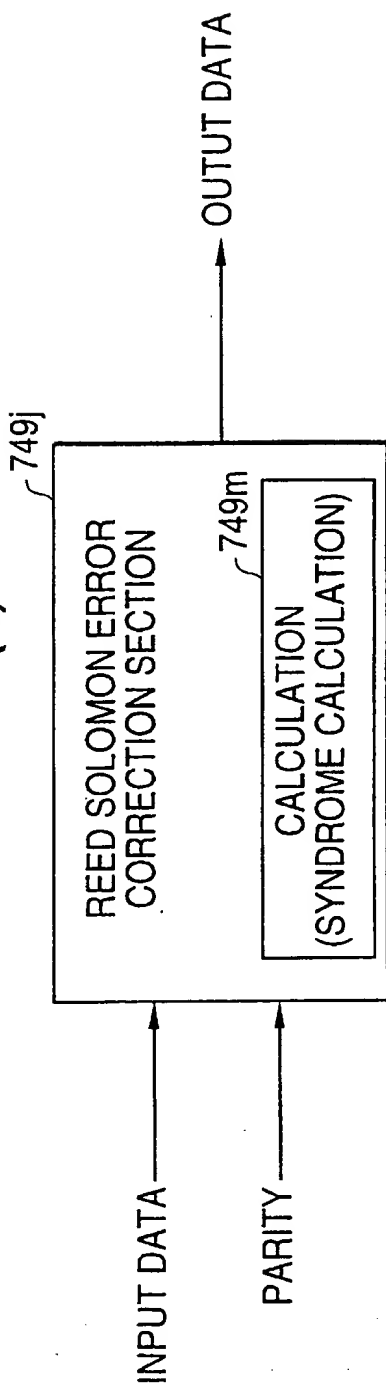


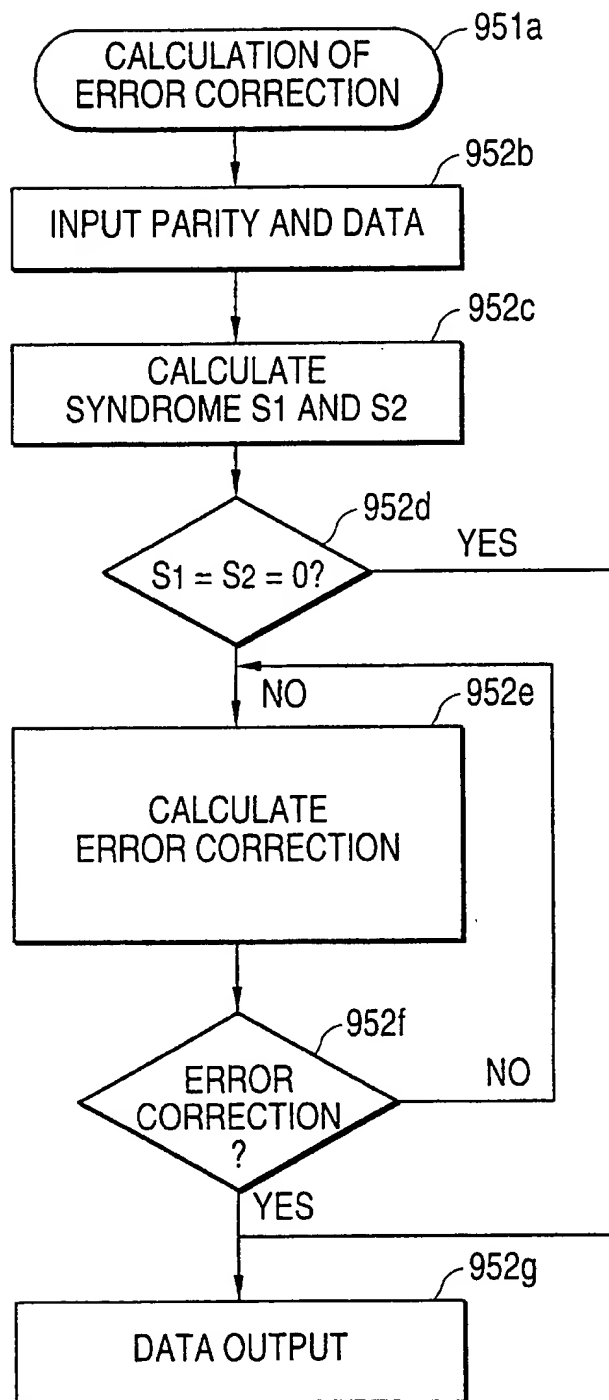
FIG. 162



**FIG. 163**

**FIG. 164**

**FIG. 165(a)****FIG. 165(b)**

**FIG. 166**

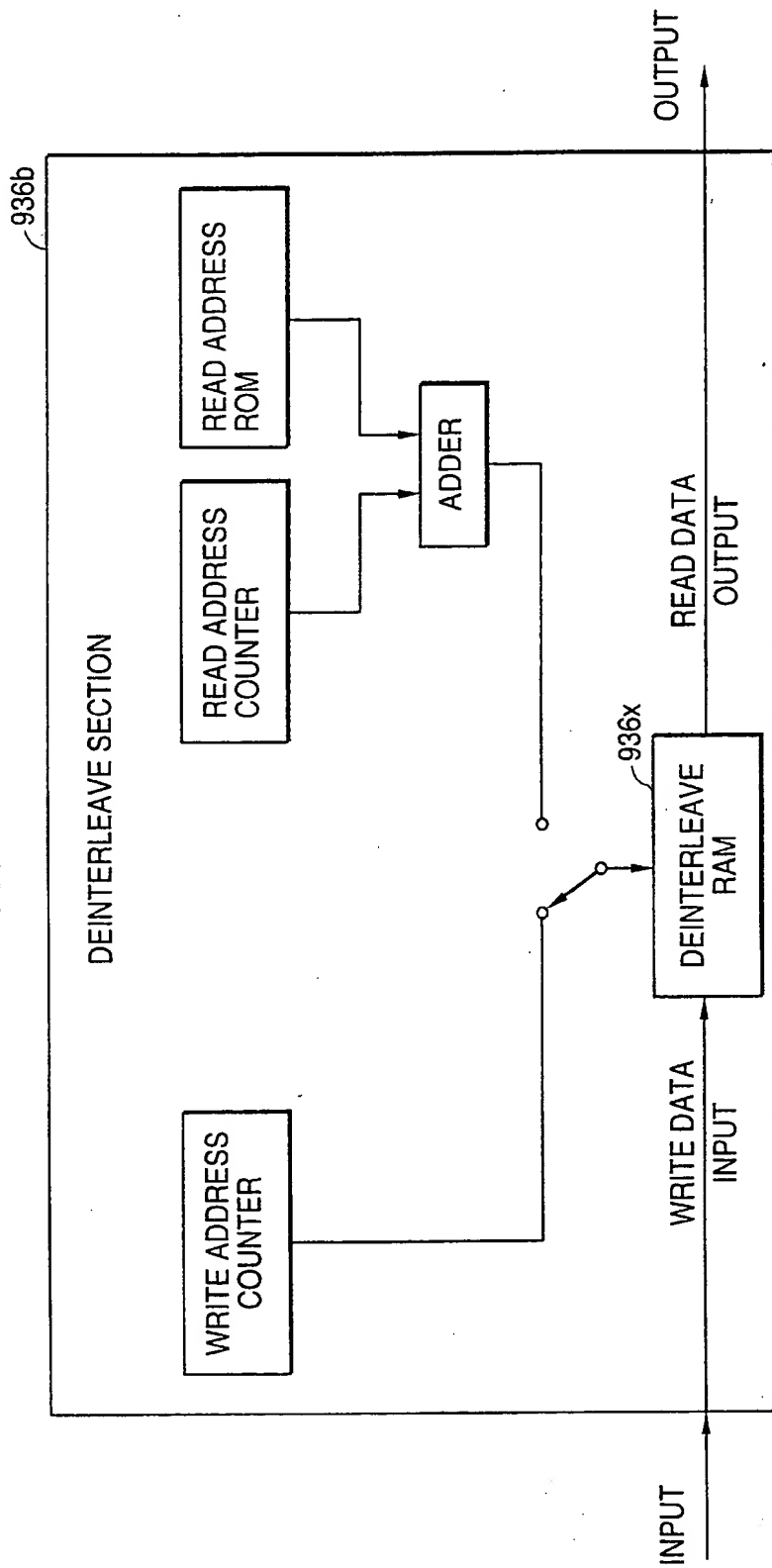
**FIG. 167**

FIG. 168(a)

INTERLEAVE TABLE

	1	2	3	4	5	6	7	C2 PARITY
1	A <sub>1</sub>	A <sub>2</sub>	A <sub>3</sub>	A <sub>4</sub>	A <sub>5</sub>	A <sub>6</sub>		954
2	B <sub>1</sub>	B <sub>2</sub>	B <sub>3</sub>	B <sub>4</sub>				951a
3	C <sub>1</sub>							
4	D <sub>1</sub>							
5	E <sub>1</sub>							
6	F <sub>1</sub>							
C1 PARITY								953

FIG. 168(b)

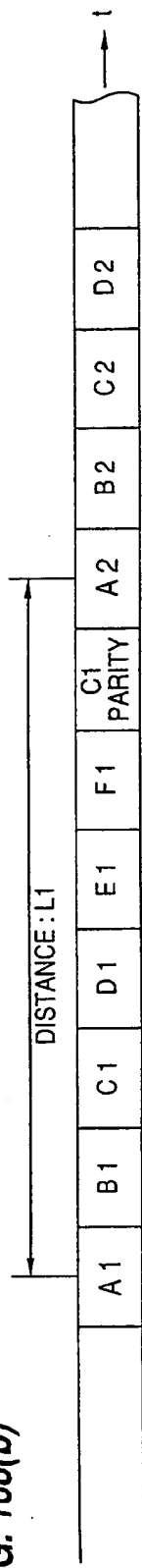


FIG. 169

## COMPARISON OF REDUNDANCY

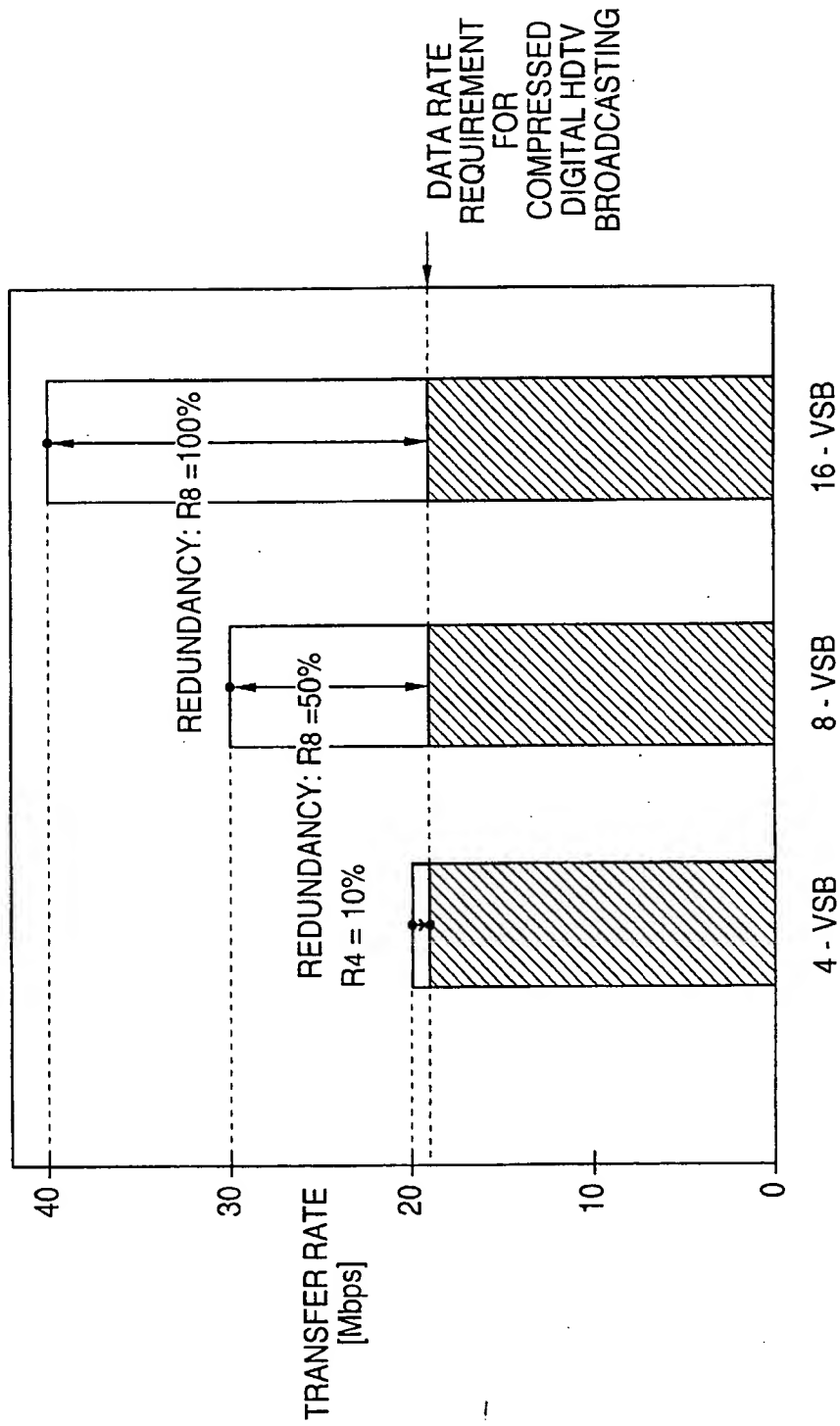


FIG. 170

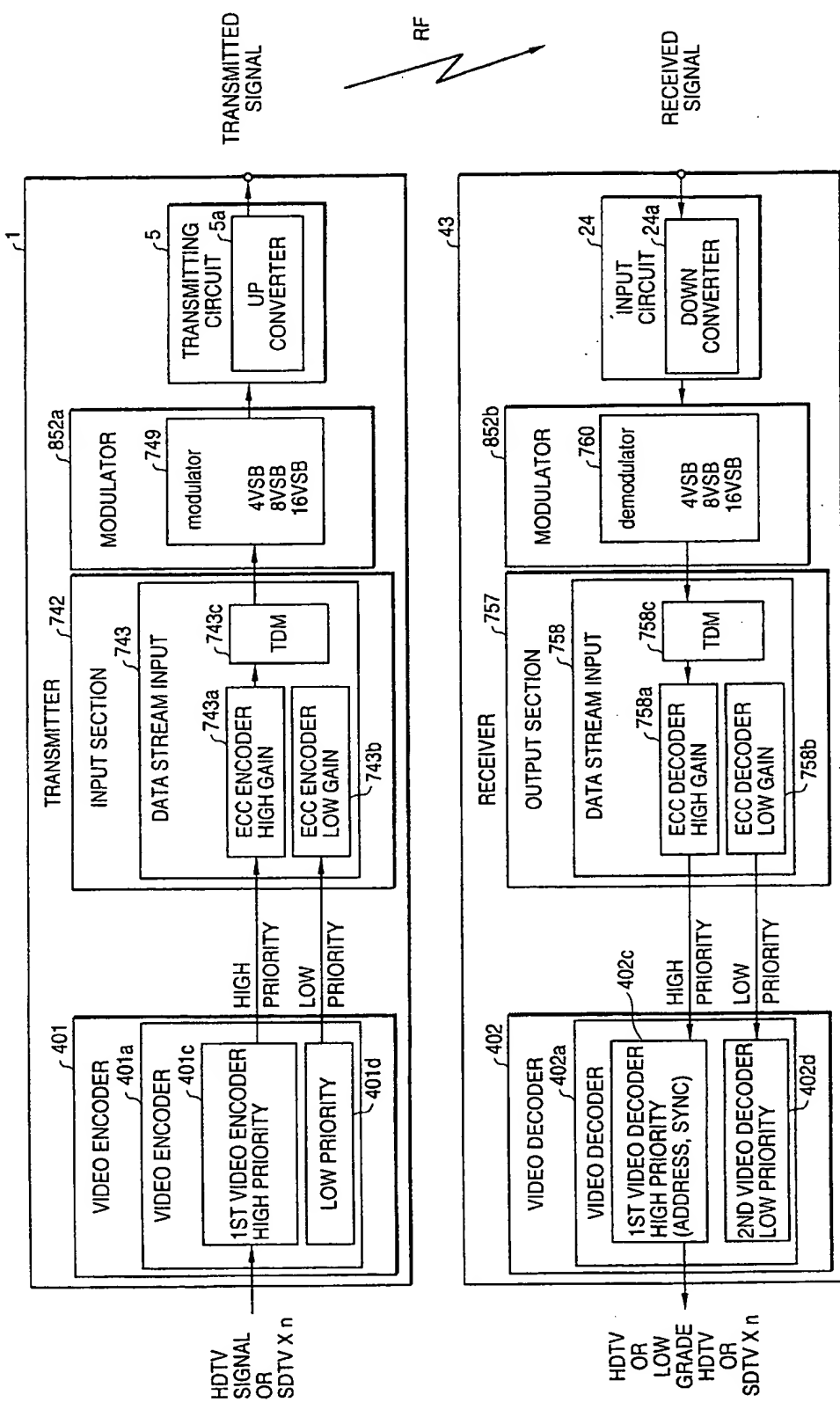


FIG. 171

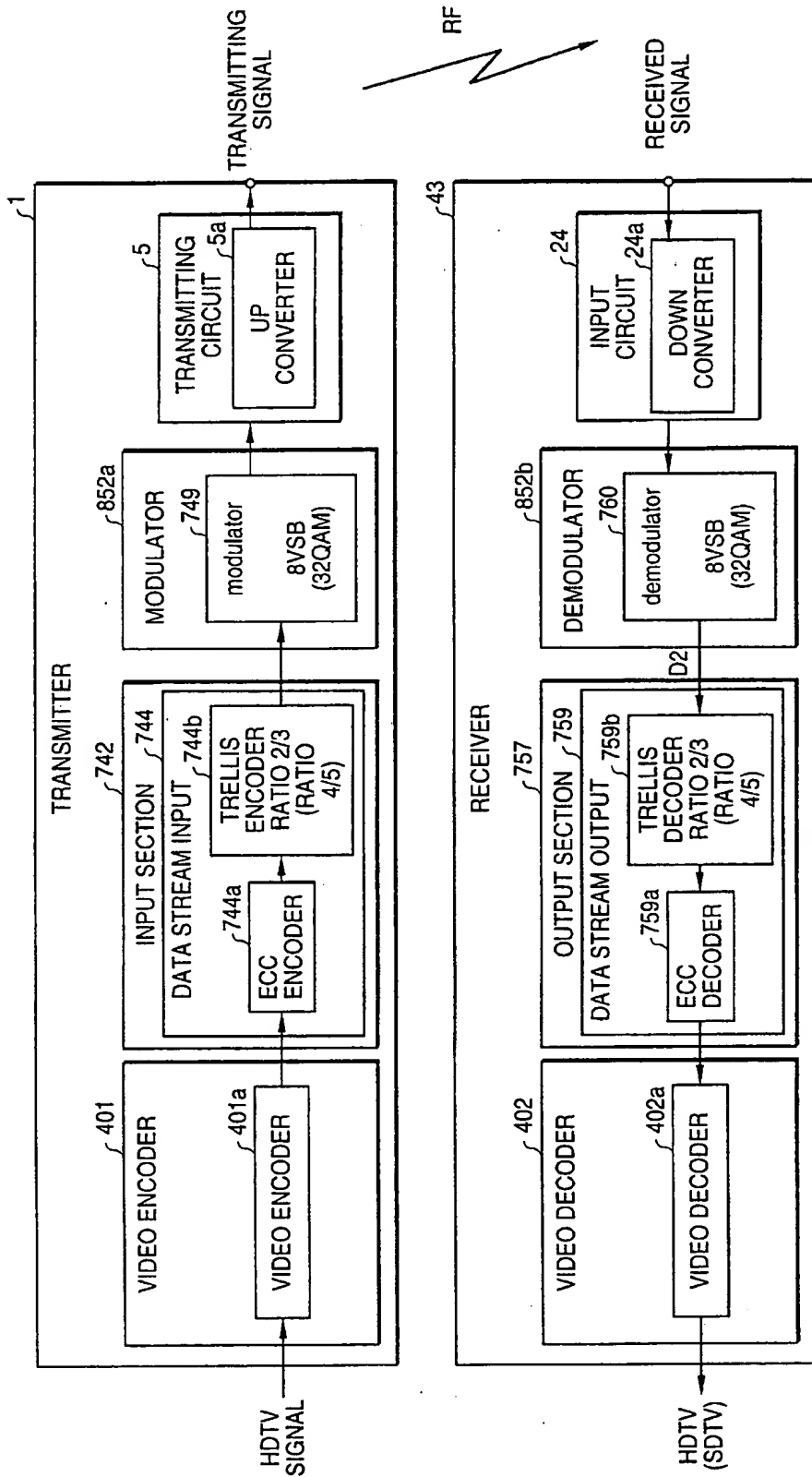
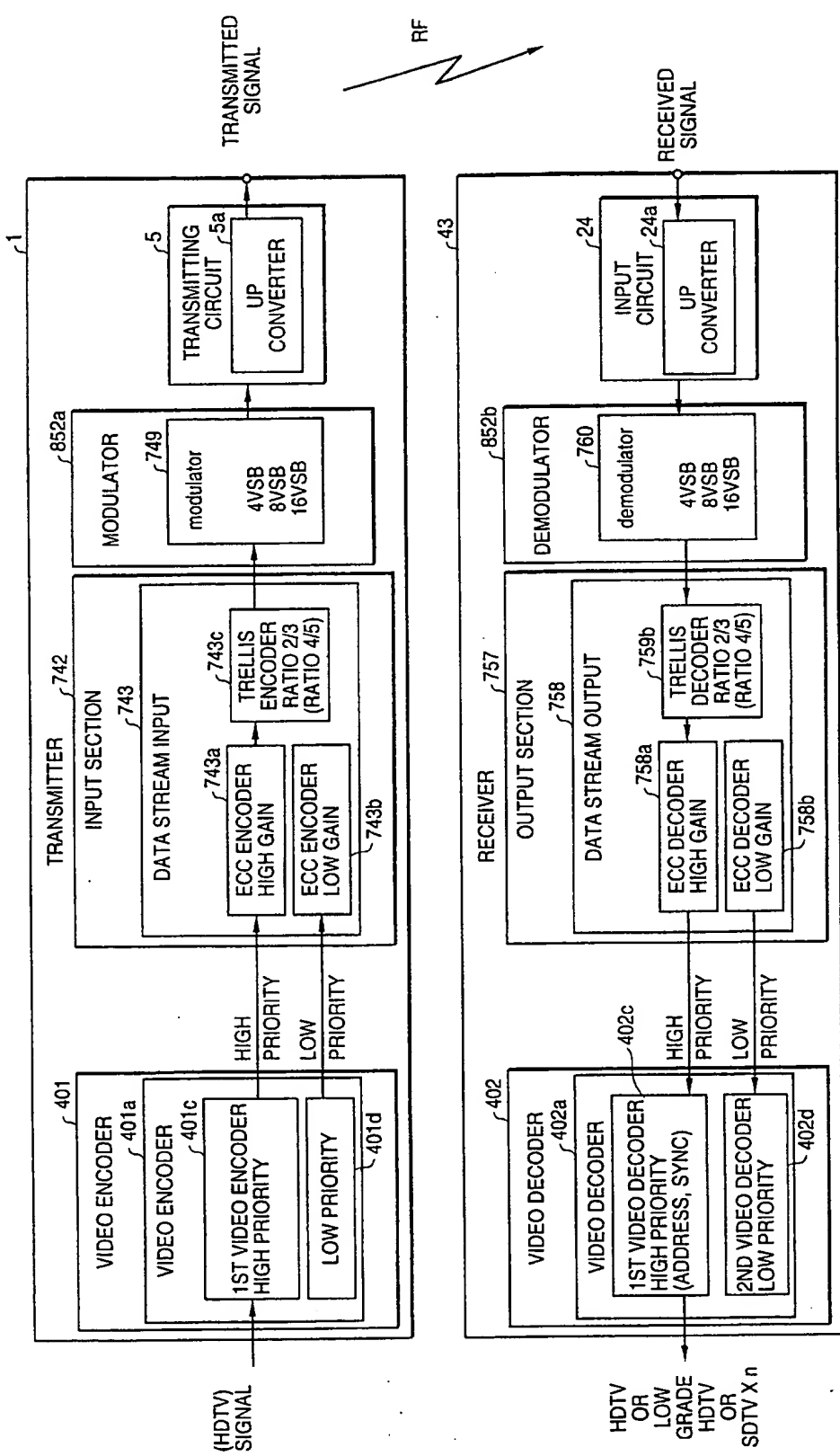


FIG. 172



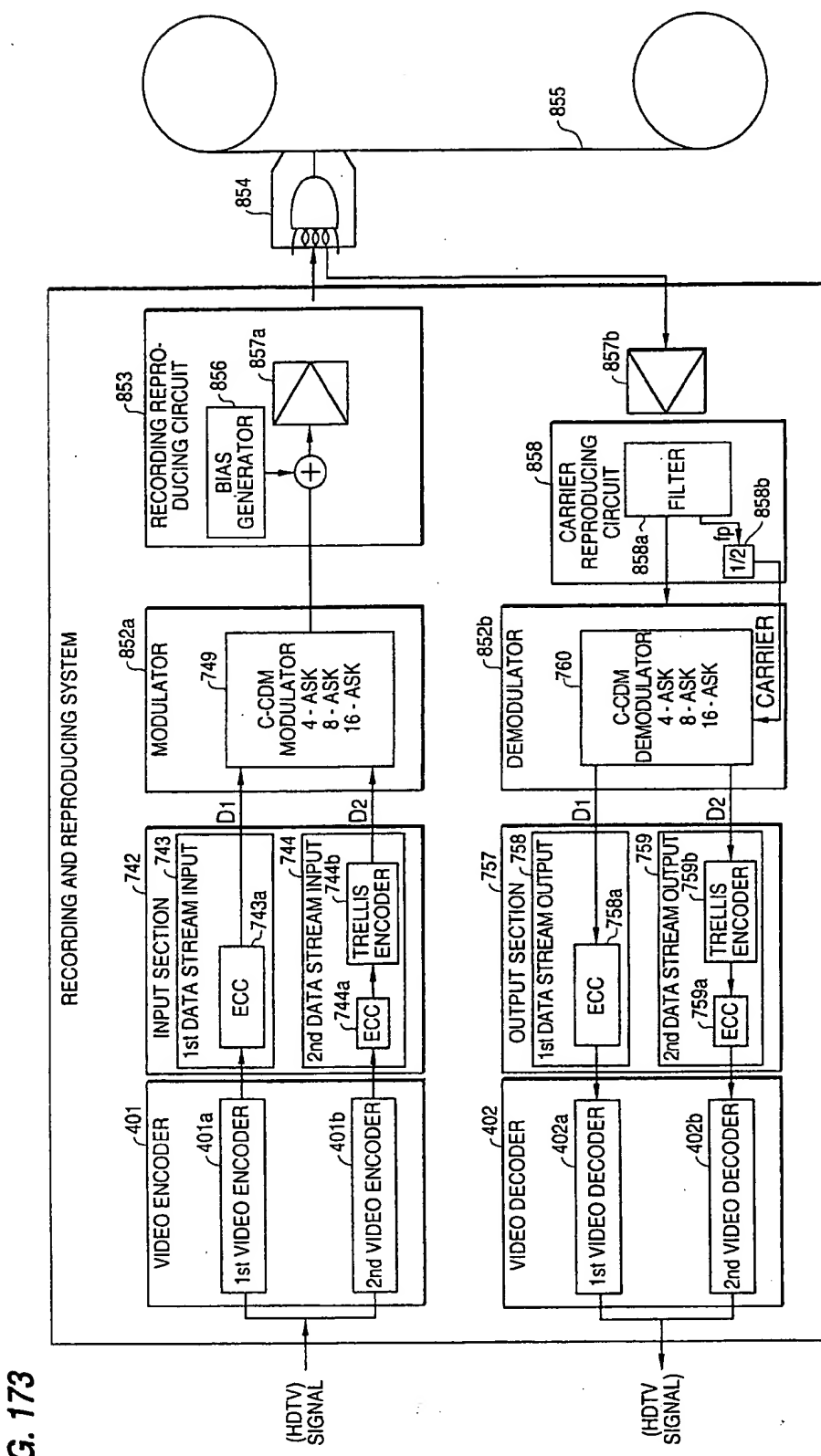
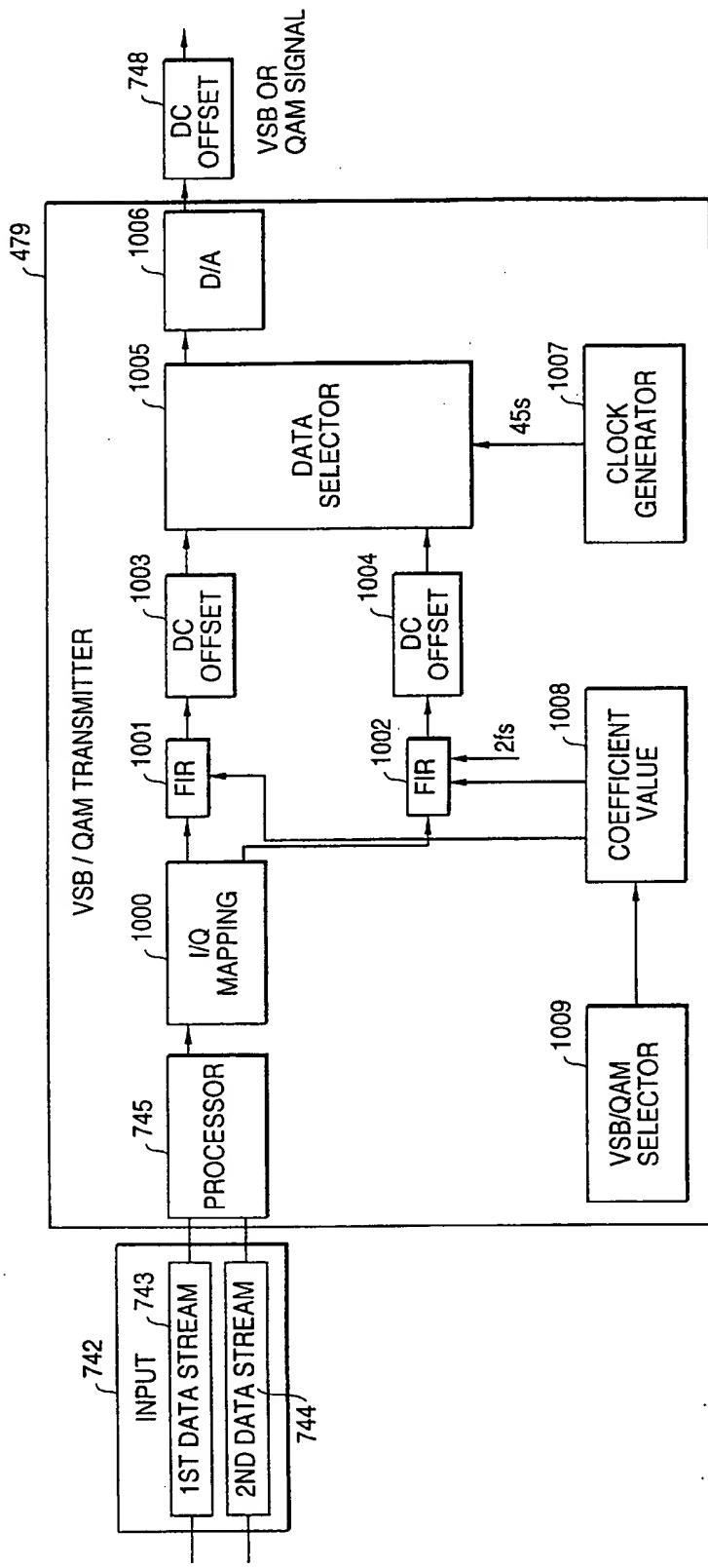


FIG. 173

FIG. 174



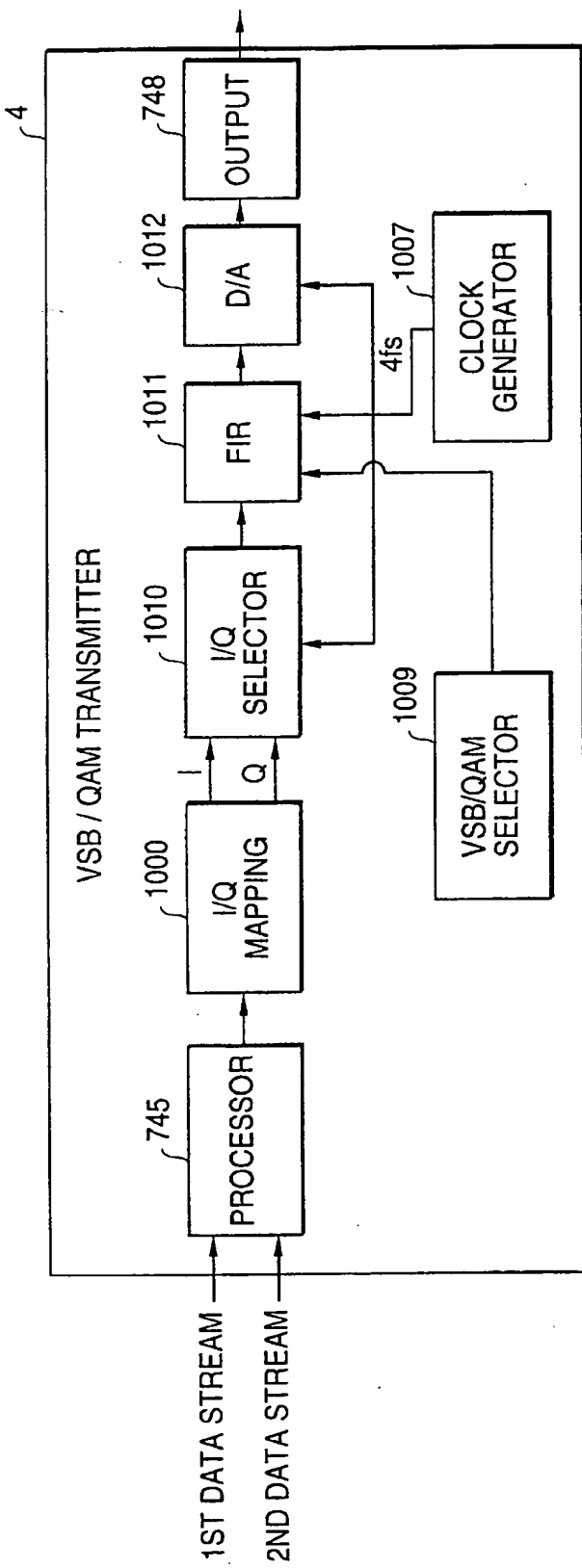
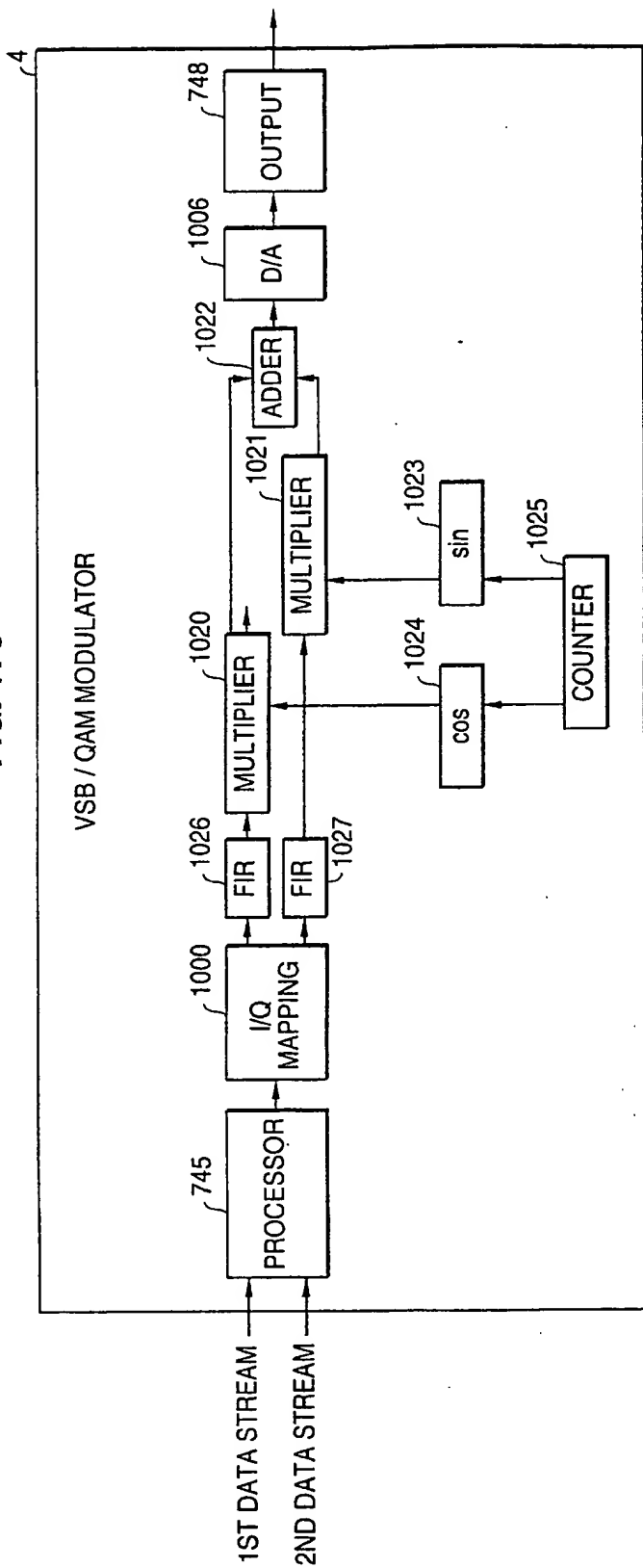
**FIG. 175**

FIG. 176



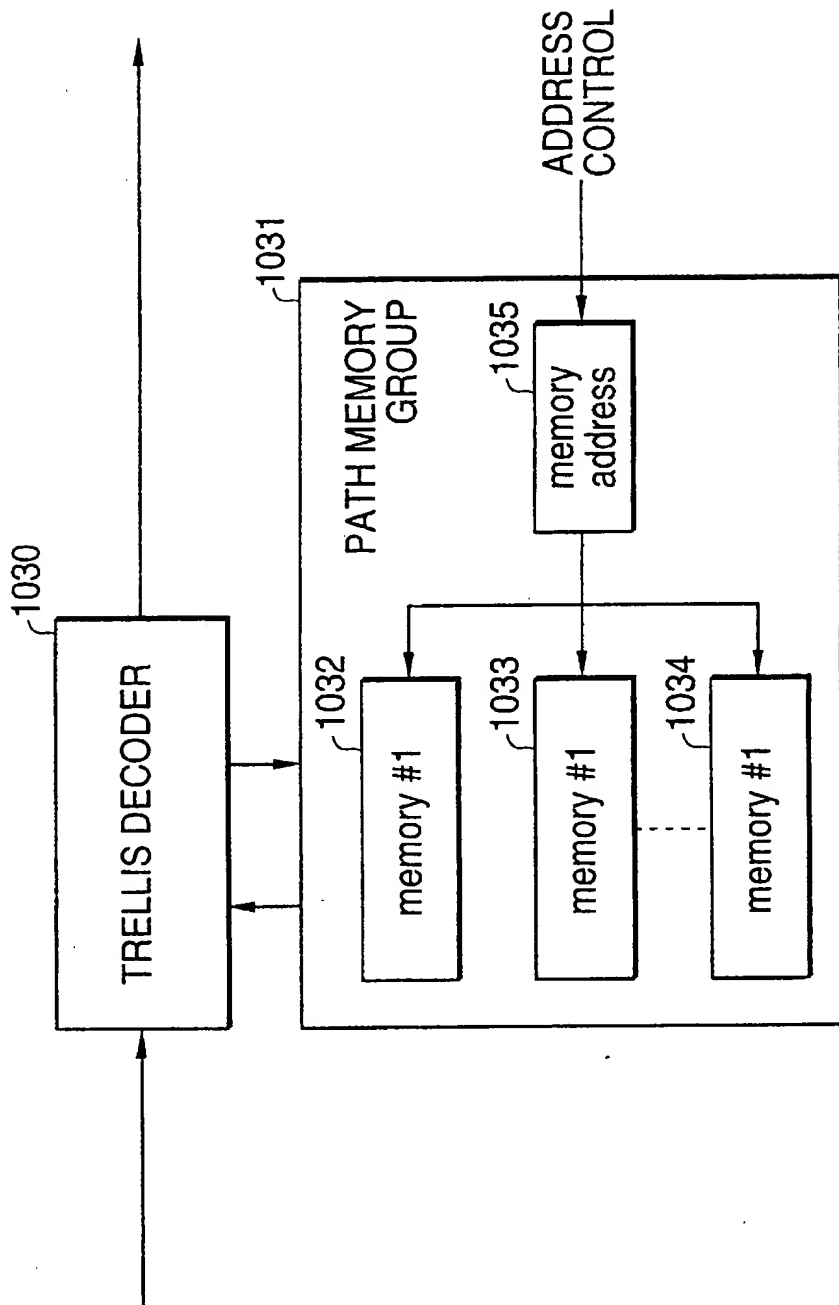
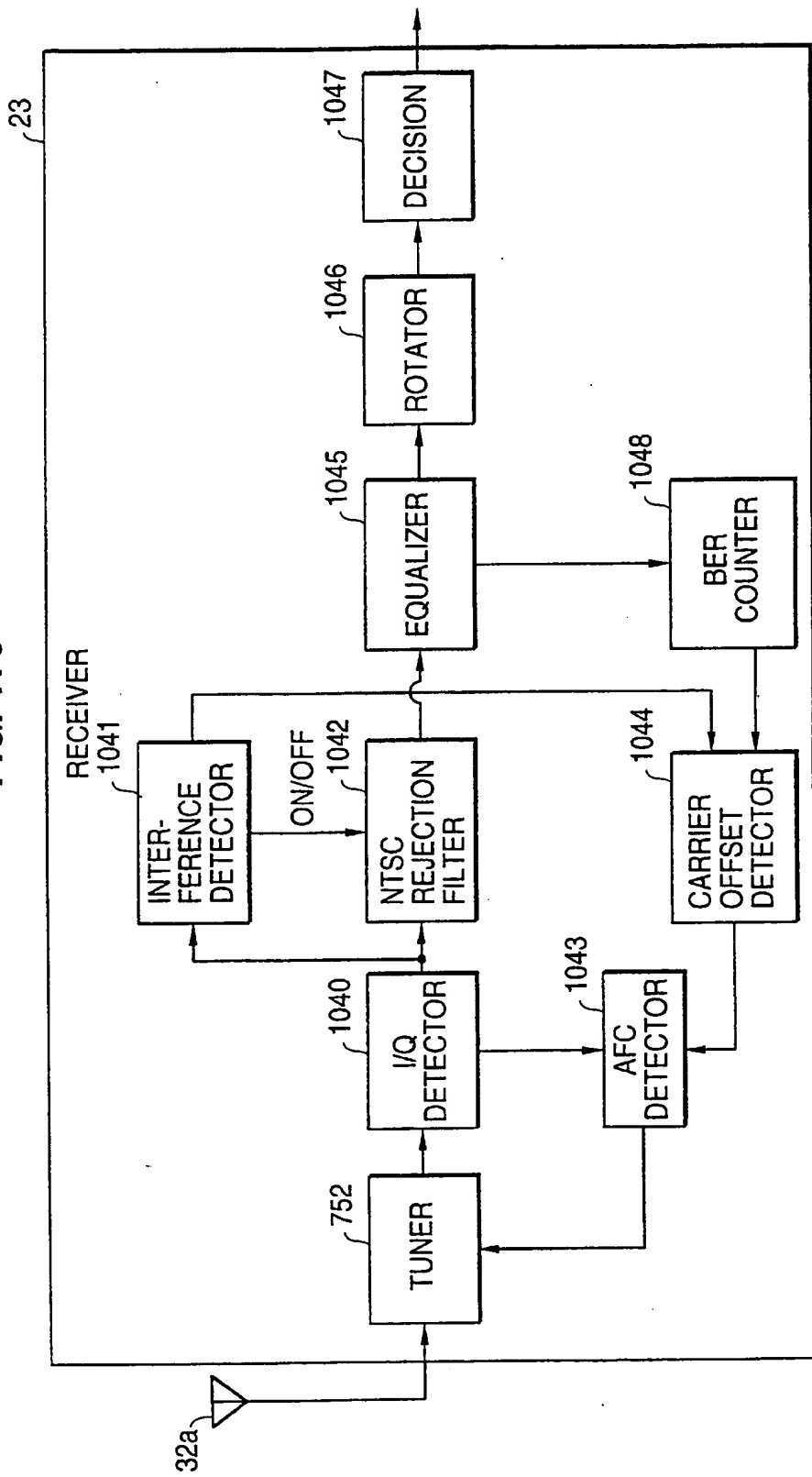
**FIG. 177**

FIG. 178



**FIG. 179**